

PRZEGLĄD ELEKTROTECHNICZNY

ORGAN STOWARZYSZENIA ELEKTRYKÓW POLSKICH
CENTRALNEGO ZARZĄDU ENERGETYKI, CENTRALNEGO ZARZĄDU PRZEMYSŁU ELEKTROTECHNICZNEGO
Redaktor inż. Tadeusz Czaplicki

Rok XXIII

Warszawa, 21 czerwca 1947 r.

Zeszyt 5'6

KRONIKA

XIX. Energia atomowa.

Jesteśmy w przede dniu oddania na użytek i pożytek ludzkości nowej i najpotężniejszej spośród poznanych dotychczas postaci energii, mianowicie energii, uwięzionej w jądrze atomu. Dziś energia atomowa jest jeszcze najstraszniejszą formą broni wojennej, jest przedmiotem międzynarodowej gry politycznej w Organizacji Narodów Zjednoczonych, lecz można chyba twierdzić, że niedaleki jest dzień, kiedy ta energia stanie się źródłem wielkich dobrodziejstw w pracy pokojowej człowieka.

W każdym razie energia atomowa nie jest dziś tylko przedmiotem badań naukowych w laboratorium fizyka, lecz jest również przedmiotem pracy techniczno-przemysłowej inżyniera, bo przecież sporządzenie nawet bomb atomowych wymaga specjalnie przystosowanych do tego celu fabryk. Fizycy wynaleźli sposób wyzwolenia energii z atomu, technicy przejmą eksploatację energii atomowej.

Według dzisiejszego stanu naszej wiedzy oczekujemy, że wyzyskanie energii atomowej do celów pokojowych w dużej skali będzie się odbywało w nowego typu elektrowni i mianowicie w nowego typu elektrowni ciepłej, że energia atomowa, a ściślej mówiąc energia wiązaniowa jądra atomowego, będzie najpierw przetwarzana w energię ciepłą, a następnie z energii ciepłej będzie stosowanymi obecnie metodami przetwarzana w energię elektryczną, w tę najbardziej doskonałą i najbardziej uniwersalną postać energii użytkowej w życiu dzisiejszego człowieka.

Energia atomowa zjawia się więc nie jako zastępstwo i nie jako konkurencja energii elektrycznej, lecz jako nowe źródło energii elektrycznej. Dzisiejsza elektroenergetyka całkowicie zachowuje swoje obecne stanowisko, a waga jej przez pozyskanie nowego i obfitego źródła energii, dającej się przetwarzać w prąd elektryczny, raczej wzrośnie. Cały przewrót w dotychczasowej elektroenergetyce, wywołany odkryciem sposobu wyzwolenia energii wewnątrzjądrowej, polega z partykularnego punktu widzenia samej elektroenergetyki na tym, że do takich źródeł pierwotnych energii ciepłej, jak węgiel, ropa i różne roślinne odpadki palne przybrywa nam energia, utajona wewnątrz atomu. Ponieważ, jak dotychczas, energię atomową wydobywa się z uranu, więc uran jest właściwym surowcem pierwotnym, analogicznym do węgla. Niekiedy nazywają go z tego powodu „paliwem atomowym” dla przyszłej elektrowni ciepłej, co jest, oczywiście, nieścisłe, gdyż energię atomową wydobywa się z uranu przecież nie na drodze spalania, rozumianego w zwykłym sensie.

Natomiast z punktu widzenia ogólnej gospodarki energetycznej człowieka na ziemi wyzwolenie energii atomowej stwarza przewrót o zgoła niezwykłej doniosłości, otwiera bowiem drogę do zaoszczędzenia węgla, którego zasoby na ziemi są jednak ograniczone, a który może być wyzyskany do innych procesów chemicznych o większym znaczeniu niż proste spalanie w celu wydobycia z niego określonej liczby kalorii, do procesów, gdzie węgiel jest wręcz niezastąpiony. Już przed kilkudziesięciu laty wielki przyrodnik W. Thomson (lord Kelvin) uważał za krótkowidztwo człowieka spalanie przez, niego węgla w olbrzymich ilościach w piecach i pod kotłami w celu uzyskania ciepła i tłumaczył to lekkomyślne marnotrawstwo swych współczesnych tym, że żaden z nich nie dożyje tego momentu, kiedy człowiekowi węgla zabraknie.

Należy nadmienić, że energia atomowa, poza dostarczeniem energii elektrycznej za pośrednictwem ciepła, znajduje w twórczej pracy pokojowej człowieka jeszcze inne zastosowania, np. jako zastępstwo materiałów kruszących, wybuchowych itp. przy budowie tuneli, dróg, przy prze-

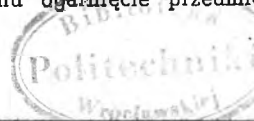
zrucaniu koryta rzek itd. Te burzące zdolności energii atomowej znalazły właśnie pierwsze zastosowanie praktyczne w wojnie ostatniej nad dwu miastami japońskimi.

Z wyluszczonej wyżej względów energia atomowa jest już od dwu lat przedmiotem bliskiego zainteresowania energetyków i właśnie elektroenergetyków całego świata. Nie za wczesnie będzie, jeżeli i energetycy polscy zapoznają się bliżej z tą dziedziną. Wprowadzić nie ma u nas warunków naglających po temu, najpierw dlatego, że jeszcze jesteśmy pochłonięci dźwiganiem się ze swych straszliwych zniszczeń wojennych, które odrzuciły nas o duży kawał drogi wstecz od krajów przodujących, za którymi jeszcze przed wojną wlekliśmy się w ogonie, i mamy na razie jeszcze inne, pilniejsze zadania do spełnienia niż budowę u siebie „elektrowni atomowych”, następnie dlatego, że właśnie w węgiel jako źródło energii ciepłej jesteśmy zaopatrzeni obficie w przeciwieństwie do niektórych innych krajów, które cierpią na dotkliwy brak węgla, natomiast kraj nasz posiada, jak się zdaje, dość ubogie zasoby surowców, które dziś mogą być praktycznym źródłem energii atomowej (rudę uranową, torową itp.).

Zapoznanie się bliższe energetyków polskich z praktycznym zastosowaniem energii atomowej ma uzasadnienie, płynące nie tylko z potrzeby zaspokojenia ciekawości fachowej, lecz również z pewnego sentymentu narodowego, bo przecież naród nasz jeszcze w mrokach najczarniejszej niewoli wydał człowieka, którego mógł przyczynić się poważnie do tego wielkiego odkrycia, od którego ludzkość oczekuje dziś dobroczynnych skutków, bo przecież Maria Skłodowska-Curie należy do tych, którzy przez swoje wstępne odkrycia utworowali drogę do wielkiej zdobyczy myśli naukowej w fizyce, jaką jest wyzwolenie energii jądra atomowego.

Praca prof. Szczeniowskiego, której pierwsza część jest podana na dalszych stronicach niniejszego zeszytu, ma być wprowadzeniem energetyków polskich w nową dziedzinę techniki energetycznej, ma być niejako ich encyklopedijką, która w bardzo zwięzłej, lecz jasnej i przystępnej formie zapoznaje nas zarówno z podstawami teoretycznymi tej dziedziny, jak i z rozwiązaniami praktycznymi, które w dotychczasowej technice atomowej znalazły zastosowanie. Ta druga część jest na razie dość skąpa, a to dlatego, że o ile teoretyczne zasady wyzwolenia energii z jądra atomu są fizykom całego świata naogół znane, o tyle właśnie praktyczne sposoby tego wyzwolenia, zwłaszcza w szczegółach technicznych, są dotychczas odkryte najwięcej tajemnicą. Długo ta tajemnica utrzymać się nie da, bo skoro zasady naukowe są znane, to rozwiązań technicznych można znaleźć kilka, może nawet lepszych od ukrywanych obecnie. A zresztą przecież i w zakresie podstaw naukowych bynajmniej nie doszliśmy do kresu. Nawet sobie dziś wyobrazić nie potrafimy, jakimi dalszymi zdobyczami może nas obdarzyć pracowity wysiłek myśli badawczej człowieka w dziedzinie wyzwolenia i użytkowania na dobro ludzkości energii, zawartej w atomie.

Praca prof. Szczeniowskiego będzie dobrym punktem wyjścia dla każdego energetyka polskiego do zapoznania się z całokształtem naszej wiedzy o energii atomowej. Atom nie jest dziś jakąś cząsteczką, która stanowi kres prostoty w budowie materii, jak to się uważało kiedyś, jeszcze przed pół wiekiem. Atom jest dziś tworem o budowie złożonej. I starszy inżynier-energetyk, który przez dłuższy okres czasu nie śledził rozwoju tego działu fizyki, będzie może oszołomiony skomplikowaną budową atomu, do której doszli fizycy z biegiem czasu. Praca prof. Szczeniowskiego znakomicie ułatwi mu ogarnięcie przedmiotu



zwłaszcza przy pomocy literatury wstępnej, polecanej przez autora.

Niezawodnie energetyk, któremu los wyznaczy pracę w elektrowni atomowej, przystąpi do niej nie bez pewnego wzruszenia. Wszak tu inżynier wkroczy w swej pracy praktycznej po raz pierwszy na teren, gdzie leżą w gruzach filary całego jego dotychczasowego światopoglądu w dziedzinie energetyki. Wprawdzie każdy inżynier słyszał o wynikach, do których doszli fizycy w swych dociekaniach, lecz każdy inżynier miał dotychczas prawo uważać te wyniki za „teorię”, która w niczym nie zmienia podstawowych pojęć naukowych, na których opiera się jego praca praktyczna.

Inżynier-energetyk miał prawo stać dotychczas na stanowisku, że u podstaw wszystkich zjawisk, z którymi on ma do czynienia w swej pracy, leżą dwa odrębne pojęcia — pojęcie materii i pojęcie energii, i że podstawowymi prawami, które rządzą wszystkimi zjawiskami w zakresie jego działalności, są dwa odrębne prawa: zasada zachowania materii (masy) i zasada zachowania energii. Nie ma inżyniera, który by nie słyszał o obwieszczonej światu już przed 40 z górą laty teorii względności Einsteina, teorii, która, między innymi, głosiła zasadę identyczności materii (masy) i energii. Ale to rewelacyjne odkrycie miało dotychczas w oczach inżyniera wartość właśnie „teorii” bez żadnych praktycznych skutków w jego dotychczasowej pracy.

To samo należy powiedzieć o dawnych poglądach na budowę materii, która miała we wszystkich swoich najróżnorodniejszych postaciach składać się z ograniczonej liczby pierwiastków, jako tworów wyjściowych, zgoła odrębnych, dopuszczających jedynie rozmaite połączenia i kombinacje między sobą z wykluczeniem możliwości przemiany jednego pierwiastka w drugi. I ta hipoteza naukowa runęła razem z dawnym przeświadczeniem o istnieniu dwu odrębnych pojęć — materii i energii.

Dotychczas inżynier-energetyk miał do czynienia w swej pracy technicznej najwyżej z przemianami chemicznymi, w szczególności w obecnych elektrowniach ciepłych spotykał się tylko z procesami spalania węgla lub innych paliw. W niedalekiej przyszłości inżynier-energetyk będzie w praktyce nowych elektrowni atomowych przetwarzał jeden pierwiastek w drugi, a więc będzie realizował to, co było (z niskich wprawdzie pobudek) marzeniem alchemików średniowiecznych, wyśmiewanych dość złośliwie przez oficjalną naukę przyrodniczą w ciągu całego XIX stulecia.

Dotychczas inżynier-energetyk prowadził bardzo ściśle obliczenia, oparte na ustalaniu dwu odrębnych bilansów — bilansu materii (masy) i bilansu energii. W przyszłej elektrowni atomowej będzie się opierał tylko na jednym bilansie — masowo-energetycznym, gdyż będzie miał do czynienia z procesami, w których masa przetwarza się w energię i odwrotnie.

XX. Nowy typ siłowni ciepłej.

Klasyczną formą siłowni ciepłej w dzisiejszej elektroenergetyce, panującą zresztą już dziesiątki lat, jest urządzenie turbinowe na parę wodną. Rozwój tego typu siłowni ciepłej szedł z biegiem czasu w kierunku zwiększenia mocy jednostek kotłowych oraz zespołów turbinowych, w szczególności turbin jednokadłubowych o 3000 obr./min., oraz w kierunku podwyższenia prężności i temperatury pary.

Obok tego postępu w instalacjach wodnoparowych istniały od dawna i istnieją dziś poszukiwania innych typów siłowni ciepłych w celu dalszego podniesienia sprawności ciepłej, a z nią i sprawności gospodarczej, jak również w celu podniesienia pewności ruchu.

Na wymienienie tutaj zasługuje zastąpienie w urządzeniach parowych wody innym płynem, a mianowicie rtęcią, której para wyróżnia się wysoką temperaturą przy umiarkowanym ciśnieniu. Usiłowania osiągnięcia postępu na tej drodze doprowadziły do instalacji parowych łączonych — wodno-rtęciowych. Skropliny pary rtęciowej ma bowiem tak wysoką temperaturę, że mogą być użyte do wytwarzania pary wodnej. Innymi słowy w instalacji połączonej skraplacz rtęciowy jest jednocześnie kotłem dla instalacji wodnoparowej. Na kilka lat przed ostatnią wojną instalacje takie powstały w Ameryce, przy czym zespoły rtęciowo-parowe miały po 20 MW, a w połączeniu z zespołami wodno-parowymi moc ich dochodziła do 53 MW.

Inną nową formą siłowni ciepłych, którą tu należy wymienić i która jest więcej znana, są turbiny gazowe spalnowe. Mają one za zadanie połączyć korzyści i zalety maszyn tłokowych (silników spalinowych) i turbin parowych, a jednocześnie podnieść pewność ruchu, niema bowiem w instalacjach gazowo-turbinowych żadnych tłoków, korbowodów, zaworów sterowniczych, niema kotłów, skraplaczy, chłodziń itp. Dochodzą jednak sprężarki i inne nowe części składowe instalacji.

Nowością z okresu ostatniej wojny są siłownie ciepłe powietrzno-turbinowe, w których czyste powietrze, nagrzewane zzewnątrz, pracuje w obiegu zamkniętym. Typ ten opracowała światowa firma szwajcarska. Bliżej zapozna się z nim czytelnik z podanego dalej artykułu prof. Ukłańskiego. Oczekuje się, że typ ten pozwoli osiągnąć większą sprawność i większą moc jednostek niż to jest możliwe w powszechnie dziś stosowanych instalacjach parowo-turbinowych lub w instalacjach gazowo-turbinowych. Doświadczenia w elektrowniach z wielkimi zespołami powietrzno-turbinowymi wymienionego typu dotychczas nie ma.

XXI. Sukces naszego przemysłu kablowego.

Wytwórczość fabryk kablowych, objętych przez Zjednoczenie przemysłu kabli i przewodów, osiągnęła w lutym r. b. pod względem swej wartości w złotych przedwojennych średni miesięczny poziom z roku 1938, mianowicie 4,75 mln. zł według cen 1937 r. (według cen dzisiejszych suma ta przekracza 158 mln. zł). W marcu r. b. osiągnięto wytwórczość o 6% większą. Wagowo wytwórczość dzienna wszystkich naszych fabryk kablowych wyniosła w lutym r. b. około 56 t, w marcu r. b. około 64 t.

W związku z tym sukcesem godnym odnotowania mamy prawo liczyć, że nasz przemysł kablowy będzie pierwszym działem polskiego przemysłu elektrotechnicznego, który pokusi się o wywóz swych wyrobów za granicę. Pragnęlibyśmy, aby nastąpiło to jak najrychlej. Nie zapominajmy ani na chwilę o tym, co mówił minister przemysłu na Kongresie Techników Polskich w r. ub. (PE, 1946, z. 4, str. 128):

„Zagadnienie eksportu to jest zagadnienie dominujące w życiu gospodarczym zniszczonych krajów Europy”.

„Albo będziemy eksportować, albo będziemy się staczać w dół i będziemy się coraz bardziej degradować”.

„Nikt nie da kredytu tym, którzy swoim eksportem nie potrafią na rynku wykazać swej siły”.

Błędem byłoby na stałe, na długą przyszłość, przerzucić cały ciężar naszego eksportu na węgiel. Możemy, bo musimy godzić się na pewien czas z wywozem tego największego skarbu, jakim natura nas obdarzyła, ale ambicją naszą, dążeniem naszym ustawicznym, i to od dziś, pomimo upadku, w jakim znajduje się nasza gospodarka, powinno być przechodzenie jak najrychlej od eksportu surowców, a zwłaszcza węgla, do wywozu materiału uszlachetnionego pracą polskich rąk i mózgow, do wyższej klasy przedmiotów wymiany handlowej między narodami. Do „wykazania swej siły” eksportem nie wystarczą tak prymitywne co do swego pochodzenia (nie co do swej wartości) artykuły, jak bryła węgla lub kurze jajko.

Tak się składa pomyślnie, że pomimo wielkich zniszczeń w naszym przemyśle elektrotechnicznym właśnie w łonie tego przemysłu dział kablowy znajduje się w takiej sytuacji, że bynajmniej nie jest utopią myśl o wywozie naszych kabli za granicę już dziś. Wysoka jakość wyrobów naszych fabryk kablowych jeszcze z czasów przedwojennych całkowicie upoważnia nas do tego rodzaju ambicji.

Ważne jest to, żebyśmy nie szczędzili wysiłków na zrealizowanie tej idei, gdyż może być ono dobrym przykładem dla innych gałęzi polskiego przemysłu przetwórczego. Ważne jest to, żebyśmy jak najrychlej zapoczątkowali wywóz swych wyrobów kablowych za granicę, gdyż z każdym półroczem przyjdzie nam to coraz trudniej w miarę tego, jak poszczególne kraje przemysłowe zaspokoją swe własne nadzwyczajne potrzeby okresu powojennego.

Słabą stroną dążeń naszych do stworzenia eksportu wyrobów kablowych jest to, że nie mamy własnych surowców do produkcji tego artykułu i że surowce, niezbędne na nasze własne potrzeby w dziedzinie kabli, zdobywamy z wielkim trudem. Ale są przecież możliwe transakcje z zagranicznymi odbiorcami naszych kabli, uwarunkowane dostarczeniem surowców przez zleceniodawcę. Doprowadzenie do takich transakcji warte jest nawet dużego zachodu.

Tadeusz Czaplicki

PROF. DR SZCZEPAN SZCZENIOWSKI

Energia atomowa

I. WIADOMOŚCI WSTĘPNE

1. Budowa atomów.

Atomy mają budowę złożoną. Atom składa się z jądra, posiadającego ładunek dodatni, i ze znajdujących się w otoczeniu tego jądra elektronów. Całkowita niemal masa atomu skupiona jest w jądrze: masa jednego elektronu wynosi za ledwie 1/1838 masy najlżejszego atomu — atomu wodoru.

Każdy elektron posiada ładunek ujemny wielkości $1,60 \cdot 10^{-19}$ As (amperosekund czyli kulombów). Ładunek ten stanowi najmniejszą niepodzielną wartość ładunku istniejącą w przyrodzie. Ten elementarny ładunek elektryczny przyjęto w fizyce atomów uważać za jednostkę ładunku i oznaczać literą e , a więc $1e = 1,60 \cdot 10^{-19}$ As.

Każdy atom jest elektrycznie obojętny, a zatem ładunek dodatni jądra musi wynosić Z ładunków elementarnych, jeżeli Z oznacza liczbę elektronów wewnątrz atomu.

Bardzo rozpowszechniony jest model atomu Rutherforda-Bohra, według którego elektrony krążą dokoła jądra, podobnie jak planety dokoła słońca. Model ten jest według dzisiejszego stanu naszej wiedzy przybliżony jedynie. Elektronów wewnątrz atomu nie można rozpatrywać jako zwykłych cząstek materialnych; są one właściwie tworami, nie mającymi dokładnych odpowiedników w otaczającym nas świecie makroskopowym. Prócz cech takich, jakie mają cząstki materialne, cech korpuskularnych, posiadają one również cechy falowe. Elektron można zatem wiązać z układem pewnych fal i ten punkt widzenia jest właściwszy w szeregu wypadków. Fale te, tzw. fale materii, posiadają długość zależną od pędu elektronu i równą h/p , jeśli h oznacza podstawową dla fizyki stałą, tzw. stałą Plancka, równą $6,62 \cdot 10^{-34}$ Ws² (wat \times sec²), a p — pęd elektronu. Atom można również rozpatrywać jako przestrzenny układ stojących fal materii. Należy jednak podkreślić, że fale te, zwłaszcza dla atomów wieloelektronowych, mają charakter abstrakcyjny: dla atomu Z-elektronowego są to fale w przestrzeni 3Z-wymiarowej.

Nie tylko elektrony posiadają cechy falowe. Cechy takie posiadają również jądra i ich składniki; długości fal jądrowych wyrażają się tym samym wzorem, co długości fal elektronowych.

Wymiary atomów, obliczone w oparciu o teorię kinetyczną materii, są rzędu 10^{-8} — 10^{-7} cm, inaczej rzędu 1—10 Å (1 Ångström = 10^{-8} cm). Wymiary jąder atomowych, które można ustalić badając rozproszenie wiązki promieni α (czyli bardzo szybkich jąder helu) przy przejściu przez warstwę materii, są o wiele mniejsze, rzędu 10^{-13} — 10^{-12} cm, promień zaś elektronu wynosi $1,4 \cdot 10^{-13}$ cm^{*)}.

Jak widzimy, atom ma budowę niemal pustą we wnętrzu. Jest on nieprzenikliwy dla innych atomów ze względu na bardzo duże siły odpychające między powłokami elektronowymi, które to siły ujawniają się przy bezpośrednim zbliżeniu się atomów do siebie. Są to siły odpychające (kulombowskie), działające pomiędzy ujemnymi ładunkami elektronów. Cząstkę α , zawierającą dodatni ładunek elektryczny, nie ulegają tym siłom odpychającym i ze względu na swą bardzo wielką (w skali atomowej) energię kinetyczną przebiegają bez przeszkód przez atomowy rój elektronów, zbliżając się mniej lub więcej do jądra. Bardzo wielkie elektryczne siły odpychające między dodatnią cząstką α i dodatnim jądrem powodują zbieżenie tych nielicznych — ze względu na bardzo małe rozmiary jądra — cząstek, które znalazły się w bezpośrednim sąsiedztwie jądra. Siły te mogą osiągać wartość kilku kilopondów (kilopond oznacza kilogram jako jednostkę siły).

Własności chemiczne i zwykle własności fizyczne materii, takie jak gęstość, sprężystość, przewodnictwo elektryczne, własności magnetyczne itp., zależą tylko od budowy powłoki elektronowej atomów, z których składa się dana materia. Budowa powłoki tej zależy wyłącznie od liczby elektronów, a więc od ładunku, zawartego w jądrze. Powłoka posiada budowę warstwową, a w wszystkich wspomnianych wyżej własnościach decyduje przede wszystkim najbardziej zewnętrzna warstwa elektronów.

^{*)} Nie należy wyobrażać sobie elektronu w postaci kulki o tym promieniu. Promień elektronu jest tu rozumiany jako wielkość, obliczona w założeniu, że masa elektronu o tym promieniu jest równoważna energii jego pola elektrostatycznego.

Głębsze warstwy elektronowe wchodzą w grę dopiero przy oddziaływaniu czynników na tyle energicznych, że mogą przebić się do tych warstw. Czynnikiem takim są promienie X (inaczej rentgenowskie). Widma charakterystyczne promieni X pierwiastków zależą przede wszystkim od ładunku jądra. Zależność ta jest bardzo prosta: częstotliwość drgań linii widma promieni X o najkrótszej fali, tzw. linii K_{α} , dana jest przez wzór

$$\nu = (Z - s)^2 \cdot 3R/4,$$

gdzie Z oznacza ładunek jądra, mierzony w ładunkach elementarnych (e), s — pewną stałą bliską jedności, R zaś tzw. stałą Rydberga.

Liczba Z oznacza jednocześnie numer porządkowy jądra atomu w tablicy układu naturalnego pierwiastków, ułożonej przez Mendelejewa niemal przed 80 laty. Mendelejew układał pierwiastki według ich ciężarów atomowych, okazało się jednak, że w kilku wypadkach ze względu na własności chemiczne należało odstąpić od tego porządku. Dzisiaj badanie widma promieni X pozwala od razu ustalić miejsce pierwiastka w tablicy układu naturalnego. Obecnie znamy 96 typów atomów. Cztery ostatnie są to atomy syntetyczne, wytworzone w ciągu ostatnich lat.

Ważną rolę w fizyce atomu odgrywa wartość tzw. liczby Avogadry N , tj. liczby atomów w kilogramoatomie. Liczba ta wynosi $6,02 \cdot 10^{26}$ tyle więc atomów zawiera 1.008 kg wodoru lub 16 kg tlenu lub 238,1 kg uranu itd. Dla uzmysłowienia sobie tej niesłychanie wielkiej liczby Kelvin dał takie porównanie: gdybyśmy do oceanu wlały szklanekę ciężkiej wody i wymieszali ją dokładnie z wodą wszystkich oceanów, a następnie gdziekolwiek zaczerpnęli z oceanu szklanekę wody, pochodzących z naszej ciężkiej wody. Ta wielka wartość liczby Avogadry ogranicza możliwości wykorzystania technicznego różnych reakcji jądrowych ze względu na to, że chociaż potrafimy wywołać reakcję nawet w tyśiącach miliardów jąder atomowych, daje to nam tylko niezmiernie małe masy pierwiastków powstających w reakcji.

2. Energetyka atomów.

Każdy atom może istnieć w szeregu stanów o określonej energii. Inaczej mówiąc, każdy atom ma szereg poziomów energetycznych. Różnice energii tych poziomów ustalamy badając widma atomów — optyczne i promieni X. Charakterystyczna dla świata atomów jest zatem nieciągłość zespołu możliwych wartości energii atomu. Atom może trwać przez czas dowolnie długi tylko w stanie o najmniejszej energii. Stany o energii większej są nietrwałe i atom przechodzi z nich do stanów o energii mniejszej.

Energie, z którymi mamy do czynienia w powłoce elektronowej atomu, są w gruncie rzeczy natury elektromagnetycznej: są to energie związane z polem elektrycznym jądra i polami elektrycznymi oraz magnetycznymi, wytwarzanymi przez poruszające się we wnętrzu atomu elektrony. Gdy atom przechodzi samorzutnie z k -tego stanu do l -tego, wyzwoleń energię $W_k - W_l$ odnajdujemy w energii wypromieniowanego kwantu promieniowania, fotonu, zawierającego energię $h\nu = W_k - W_l$ i posiadającego skierowany pęd $h\nu/c$ (c — predkość światła, ν — częstotliwość drgań światła wypromieniowanego). Wyzwolenie energii może być również wywołane przez zetknięcie się atomu z innym atomem, bądź inną drobiną; energia wyzwolona ujawnia się wówczas przez przyrost energii kinetycznej zderzających się z atomem cząsteczek, a dalej wskutek zderzeń tych cząsteczek z innymi przechodzi ostatecznie w ciepło.

Energie atomów czy jąder mierzymy w fizyce zwykle w jednostkach, nazwanych elektronowoltami i oznaczanych przez eV. 1eV jest to praca ładunku elementarnego, przeniesionego między punktami o różnicy potencjałów 1 V, a więc: $1eV = 1,60 \cdot 10^{-19}$ VAs = $4,45 \cdot 10^{-26}$ kWh = $3,83 \cdot 10^{-23}$ kcal. Stąd 1 keV = $4,45 \cdot 10^{-23}$ kWh i 1 MeV = $4,45 \cdot 10^{-20}$ kWh. Widzimy, że elektronowolt jest bardzo małą jednostką.

Energie wchodzące w grę w powłoce elektronowej atomu, są to energie elektronów tej powłoki, a mianowicie ich energie w polu elektrostatycznym jądra i reszty elektronów atomu. Weźmy pod uwagę atom o numerze porządkowym Z. Dla najbardziej nazwętną wysuniętego elektronu wpływ ładunku jądra Ze jest przesłonięty przez wpływ

Z—1 elektronów zewnętrznych; jeśli więc promień atomu jest r , to rząd wielkości potencjału w powłoce zewnętrznej wyniesie $e/4\pi\epsilon_0 r$ woltów, gdzie $\epsilon_0 = 0,886 \cdot 10^{-13}$ As/Vcm. Promień r jest rzędu 10^{-8} — 10^{-7} cm; wynika stąd, że potencjał ten jest rzędu kilku lub kilkunastu woltów. Tyleż zatem elektrowoltów wyniesie energia najbardziej zewnętrznej elektronów.

Energie, wyzwalone w reakcjach chemicznych, mierzymy zwykle w kilokaloriach na mol. Ale mol zawiera $6,02 \cdot 10^{23}$ drobin, a więc w przeliczeniu na jedną drobinę czy atom 1 kcal/mol odpowiada $1/6,02 \cdot 10^{23} \cdot 3,83 \cdot 10^{-23} = 4,35 \cdot 10^{-2}$ eV i odwrotnie $1\text{eV} = 23$ kcal/mol. Wyzwolenie energii kilku elektronowoltów na atom czy drobinę daje zatem już kilkadziesiąt kilokalorii w przeliczeniu na mol. Spalanie węgla, a więc jedna z reakcji wyzwających największą energię, daje zaledwie około 100 kcal na mol; podobnego rzędu są ilości ciepła wyzwalone przy spalaniu ropy.

Już sięgnięcie do wewnętrznych powłok elektronowych atomu wymaga użycia dużo większych energii, wynoszących tysiące elektronowoltów; tegoż rzędu energie posiadają fotony promieni X. O wiele jeszcze większe energie spotykamy w fizyce jądra, a więc gdy chodzi o procesy, w których ulega zmianom energia, zawarta w jądrze atomu. Tu nadmienimy, że to, co powszechnie nazywa się dzisiaj „energją atomową” właściwiej byłoby nazywać energją wewnątrzjądrową.

3. Zasada równoważności energii i masy.

Energie, z którymi mamy do czynienia w jądrach atomów, są tak wielkie, że dają możliwość doświadczalnego sprawdzenia zasadniczego dla dzisiejszej fizyki prawa równoważności energii i masy. Prawo to, sformułowane przez Einsteina w r. 1905 jako jeden z wyników szczególnej teorii względności, orzeka, że każda energia posiada pewną masę i, odwrotnie, że każda masa równoważna jest pewnej energii. Zależność między energią W (w ergach) a równoważną jej masą m (w gramach) dana jest przez związek:

$$W = mc^2 \text{ albo } m = W/c^2,$$

gdzie $c = 3 \cdot 10^{10}$ cm/s jest prędkością światła. Ze względu na bardzo wielką wartość prędkości światła masa, odpowiadająca pewnej określonej energii, jest na ogół bardzo mała i, odwrotnie, energia odpowiadająca np. masie 1 grama jest bardzo wielka. Można łatwo obliczyć, że

$$1 \text{ g} = 25 \cdot 10^9 \text{ kWh} = 21,5 \cdot 10^9 \text{ kcal} = 5,62 \cdot 10^{26} \text{ MeV}$$

$$1 \text{ kWh} = 4 \cdot 10^{-8} \text{ g}; 1 \text{ kcal} = 4,65 \cdot 10^{-11} \text{ g}$$

Jeśli weźmiemy pod uwagę, że przy spalaniu 1 kg dobrego węgla wywiązuje się 8000 cal czyli 9,3 kWh energii, widzimy, że 1 g jakiegokolwiek materii równoważny jest energii, wywiązującej się przy spalaniu 2700 ton węgla.

Równoważność energii i masy oznacza, że masę należy uważać za pewną formę energii, za najbardziej skondensowaną formę energii. Jest to stan rzeczy zupełnie analogiczny do stosunku pomiędzy ciepłem a energią mechaniczną. Kwadrat prędkości światła odgrywa rolę mechanicznego równoważnika ciepła.

Należy zauważyć, że całkowita zamiana masy na energię jest zjawiskiem obserwowanym w wypadkach wyjątkowych tylko i, jak się dzisiaj wydaje, wywołanie tego rodzaju przemiany na wielką skalę jest i pozostanie przez długi jeszcze czas nie możliwe. Dzisiaj w najkorzystniejszych warunkach potrafimy przy użyciu uranu czy plutonu zmienić w energię jedynie około 1/1000 masy tych pierwiastków.

Całkowitą przemianę masy w energię, dematerializację materii, zaobserwowano przy zderzeniach elektronów z pozytronami. Pozytrony są to elektrony dodatnie, a więc cząstki o masie dokładnie równej masie elektronu i posiadające dodatni ładunek elektryczny e . Pozytrony, wykryte po raz pierwszy w r. 1930 przez fizyka amerykańskiego Andersona w promieniowaniu kosmicznym, są cząstkami nietrwałymi. Przy zderzeniu pozytronu z elektronem obie te cząstki znikają, a na ich miejsce powstają dwa fotony, tak że spełniona jest zasada zachowania pędu oraz uogólniona zasada zachowania energii (masy).

Istnieją poszlaki, że pewne bogate w energię fotony obserwowane w promieniach kosmicznych powstają w związku z dematerializacją protonów (jąder wodoru), przy czym proces ten mógłby być związany z istnieniem hipotetycznych ujemnych protonów, to jest cząstek o masie protonu, lecz mających ujemny ładunek elementarny. Są to jednak sprawy, które wymagają jeszcze dalszych badań. Dotychczas nie obserwowano z całą pewnością całkowitej

dematerializacji cząstek o masie tego rzędu co masa jądra atomu. Obserwowano natomiast dematerializację niecałkowitą tzw. mezonów — cząstek, o których będzie mowa niżej (§ 19), a których masa jest około 240 razy większa od masy elektronu. Mezon przelatarza się w tym wypadku w elektron i foton.

Nie jest wykluczone, że istnieje zasada, ograniczająca możliwości przemiany materii w energię, — coś przypominającego pod pewnymi względami drugą zasadę termodynamiki.

Równoważność masy i energii pociąga za sobą ważne skutki. Wynika z niej bowiem, że ściśle biorąc zasady zachowania masy i zachowania energii, podstawowe w fizyce, nie są słuszne. Jeżeli np. bierzemy pod uwagę ciało, poruszające się z coraz większą prędkością, a więc posiadające coraz większą energię kinetyczną, to masa tego ciała musi również rosnąć. Teoria względności doprowadza do wniosku, że masa m ciała, poruszającego się z prędkością v , jest dana przez wzór

$$(1) \quad m = \frac{m_0}{\sqrt{1 - v^2/c^2}},$$

gdzie m_0 oznacza tzw. masę spoczynkową. Jeśli mianownik po prawej stronie rozwinieśmy w szereg potęgowy, znajdziemy

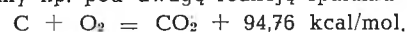
$$(2) \quad m = m_0 \left(1 + \frac{1}{2} \frac{v^2}{c^2} + \frac{3}{8} \frac{v^4}{c^4} + \dots \right).$$

Mnożąc obie strony przez c^2 , znajdziemy stąd:

$$(3) \quad mc^2 = m_0 c^2 + \frac{1}{2} m_0 v^2 + \frac{3}{8} m_0 v^2 \cdot v^2/c^2 + \dots$$

Pierwszy wyraz ostatniego rozwinięcia oznacza energię równoważną masie spoczynkowej m_0 , dalsze wyrazy — energię kinetyczną. W szczególności drugi wyraz jest to poprostu klasyczne wyrażenie na energię kinetyczną ciała o masie m_0 , poruszającego się z prędkością v . Następne wyrazy — to poprawka wyrażenia na energię kinetyczną, wymagana przez teorię względności. Jak widać, poprawka ta uzyskuje dostrzegalne wartości dopiero dla prędkości v nie znikomo małych wobec c , skąd wynika, że w praktyce zawsze wystarcza posługiwanie się wzorem klasycznym.

Z wzoru (2) wynika dalej, że przyrost masy związany z energią kinetyczną jest bardzo mały. Aby masa wzrosła o $0,001\%$, prędkość musi sięgać 300 km/sek.; przy prędkościach rzędu kilometra na sekundę zmiana masy wynosi zaledwie dziesięciomilionowe pro mille, a więc jest zupełnie znikoma. W najbardziej energicznych reakcjach chemicznych masa energii reakcji jest również niewymierzalna mała. Weźmy np. pod uwagę reakcję spalania węgla:



Ciepło spalania kilomola chemicznie czystego węgla wynosi zatem 94760 kcal. Według znanego nam już zamiennika odpowiada to $94,76 \cdot 10^3 \cdot 4,65 \cdot 10^{-11} \text{ g} = 4,41 \cdot 10^{-3} \text{ mg}$. A więc zmiana masy nie daje się zmierzyć nawet przy użyciu najczulszych wag, gdyż wynosi cztery tysięczne miligramu na dwaście kilogramów. Nic więc dziwnego, że i zasada zachowania masy i zasada zachowania energii pozostają każda oddzielnie w mocy w zwykłej chemii i technice. Jeśli jednak chodzi o zjawiska, w których mamy do czynienia z energią wewnątrzjądrową, to — jak już nadmieniono — ilości energii, z którymi ma się wówczas do czynienia, są tak wielkie, że nie można już nie liczyć się ze zmianą masy. Zamiast zasad zachowania energii i zachowania masy mamy wówczas jedną uogólnioną zasadę zachowania energii, przy czym w bilansie energii należy uwzględnić równoważniki energetyczne mas. Równie dobrze można posługiwać się równoważną uogólnioną zasadą zachowania masy, przy czym uwzględnić należy masowe równoważniki energii.

4. Promieniotwórczość naturalna.

Energia wewnątrzjądrowa wyzwala się w zjawiskach promieniotwórczości i w tych właśnie zjawiskach po raz pierwszy z nią się zetknięto. Promieniotwórczość uranu wykryta została w r. 1896 przez Becquerela; najpowszechniej znanym ciałem promieniotwórczym jest rad, wykryty w roku 1898 przez Curie-Skłodowską. Dzisiaj znamy około czterdziestu pierwiastków promieniotwórczych naturalnych, spotykanych w przyrodzie, oraz kilkaset odmian pierwiastków promieniotwórczych sztucznych. Promieniotwórczość, jak wiemy dzisiaj, polega na nietrwałości jąder atomów. Nietrwałe, a więc promieniotwórcze, są wszystkie najcięższe

jądra, poczynając od pierwiastka Nr 84 (polonu), ale znamy również kilka pierwiastków promieniotwórczych lżejszych; należą do nich potas ($Z = 19$), rubid ($Z = 37$), samar ($Z = 62$) i kasjop ($Z = 71$).

Jądra, podobnie jak atomy, mogą istnieć w szeregu nieciągłym stanów o określonych energiach. Jądra nietrwałe samorzutnie przechodzą ze swojego stanu początkowego do innego stanu, przy czym wyzwala się pewna — stosunkowo bardzo znaczna — energia na koszt energii wewnątrzjądrowej. Energia ta wyzwala się w formie fotonu, przy czym jądro nietrwałe przechodzi prosto do stanu o niższej energii, bądź też jądro to ulega przemianom, przy czym zostaje wyrzucona cząstka α (tj. jądro helu) albo elektron; w pierwiastkach sztucznie promieniotwórczych może też być wyrzucony pozytron. Przemiana jądra może wreszcie polegać na schwytaniu przez jądro elektronu z najgłębszej, najbliższej jądra warstwy elektronowej, tzw. warstwy K.

Gdy z jądra zostaje wyrzucona cząstka α , mówimy o promieniowaniu α , gdy elektron — o promieniowaniu β^- , gdy pozytron — o promieniowaniu β^+ , gdy foton — o promieniowaniu γ . Schwytanie elektronu nosi nazwę przemiany K. Każdemu przejściu jądra w stan o niższej energii towarzyszy zawsze jedno tylko z wymienionych promieniowań, przemiana K towarzyszy zawsze przegrupowanie w powłocę elektronowej, otaczającej jądro, i wysłanie fotonu X.

Podstawowe prawo przemian promieniotwórczych orzeka, że przemiany te zachodzą zupełnie przypadkowo, niezależnie od poprzedniej historii jądra. Dla jądra, znajdującego się w określonym stanie początkowym, istnieje zupełnie określone prawdopodobieństwo, że ulegnie ono pewnej określonej przemianie w ciągu najbliższej jednostki czasu. Prawdopodobieństwo to oznaczać będziemy symbolem λ . W takim razie z N jąder promieniotwórczych, z jakimi mamy do czynienia w chwili t , w odstępie czasu dt ulegnie rozpadowi $\lambda N dt$. A zatem mamy wiązek różniczkowy $dN = -N \lambda dt$, skąd po scałkowaniu $N = N_0 e^{-\lambda t}$, gdzie N_0 oznacza liczbę jąder promieniotwórczych w chwili $t = 0$. Zamiast podawać wartość λ najczęściej podaje się w tablicach tzw. okres połowicznego rozpadu (przepełowienia), a więc czas T , po którym upływie połowa początkowej liczby atomów (jąder) ulega rozpadowi. Dla radu okres ten wynosi 1580 lat, dla uranu $4,56 \cdot 10^9$ lat.

Jak już wspomniano, przemianom ciał promieniotwórczych towarzyszy stałe wydzielanie energii. Energia ta zamienia się ostatecznie w ciepło, zwłaszcza jeżeli preparat np. radu otoczmy warstwą ołowiu, pochłaniającą wszelkie wysyłane przez rad promienie. Jak wykazują dokładne pomiary, 1 gram radu (wraz z powstałymi zeń produktami jego przemian) wydziela na godzinę 0,14 kcal ciepła. Jest to ilość niewielka, ale trzeba pamiętać, że po upływie 1580 lat gram ten rozpadnie się do połowy, a w ciągu tego czasu wydzielone ciepło będzie tak wielkie, jakie moglibyśmy uzyskać przez spalenie 0,25 ton węgla. Tak więc ilości energii, z którymi mamy do czynienia w rozpadzie promieniotwórczym, są bardzo wielkie — wyzwala się tu już energia wewnątrzjądrowa, tylko że szybkość wydzielania się tej energii jest znikomo mała i, co ważniejsze, nie potrafimy żadnymi zwykłymi sposobami wpłynąć na tę szybkość.

II. PODSTAWY FIZYKI JĄDRA (NUKLEONIKI)

5. Masa jądra, liczba masowa, izotopy.

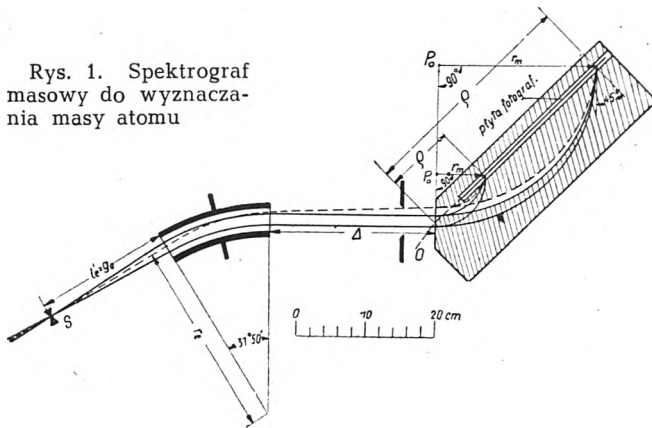
Jedną z najważniejszych cech jądra jest jego masa; dokładne wyznaczenie mas jąder atomowych jest sprawą zasadniczej wagi dla fizyki jądra atomu, czyli nukleoniki według zaproponowanej przez fizyków amerykańskich nazwy. Zasadniczo mierzymy masę jądra nie wprost, lecz wyznaczamy dla jonu badanego atomu stosunek ładunku do masy (q/m). Jon jednowartościowy posiada ładunek elementarny dodatni, jon dwuwartościowy — dwa takie ładunki itd.

Podstawowym narzędziem, służącym do wyznaczania mas atomów czy jąder atomowych, jest tzw. spektrograf masowy, zbudowany przez Astona w roku 1919, a później ulepszony przez innych badaczy.

Zasadę działania ulepszanego spektrografu masowego o podwójnym zogniskowaniu wiązek jonów przedstawia rys. 1. W odpowiednio wypróżnionej rurze wyładowczej, w której panuje ciśnienie kilku setnych mm słupa rtęci, wytwarza się tzw. promienie kanalikowe. W rurze takiej w kierunku od katody do anody biegnie strumień ujemnie naładowanych elektronów, w kierunku zaś przeciwnym strumień dodatnio naładowanych jonów. Przez wąskie otwo-

ry w katodzie (kanaliki, stąd nazwa promieni) jony te przedostają się w dokładnie opróżniony z powietrza przy pomocy silnych pomp obszar poza katodą i następnie przez szczelinę S przedostają się do właściwego spektrografu masowego. W przyrządzie tym przebiegają one przede wszystkim przez odpowiednio zakrzywiony kondensator. Przy właściwym doborze wartości pola elektrycznego i kąta odchylenia torów promieni kanalikowych kondensator działa jak tzw. kolimator w zwykłym spektrografie optycznym, to znaczy przetwarza wiązkę rozbieżną wychodzącą ze

Rys. 1. Spektrograf masowy do wyznaczania masy atomu



szczeliny S w wiązkę równoległą. Wiązka ta, zdiagnozowana, dostaje się następnie do pola magnetycznego prostopadłego do płaszczyzny rysunku (na rysunku pole to jest zakreskowane) i to pole, również odpowiednio dobrane, działa na wiązkę równoległą promieni kanalikowych jak pryzmat, rozszczepiając ją na wiązki, odpowiadające różnym wartościom q/m , a następnie skupia każdą z tych wiązek w jednym punkcie, stanowiącym jakgdyby obraz szczeliny S. Jeżeli szczelina jest długa i wąska, obraz ten ma postać wąskiej linii, przypominającej wyglądem linie widmowe. Poszczególne obrazy szczeliny, odpowiadające różnym wartościom q/m , układają się wzdłuż prostej; gdy wzdłuż tej prostej ułożymy błonę fotograficzną, otrzymamy po jej wywołaniu obraz, przypominający widmo optyczne. Z położenia linii można wyznaczyć wartości q/m , a dalej wartości m .

Pomiary tego rodzaju prowadzą przede wszystkim do bardzo ważnego wniosku, że wszystkie niemal pierwiastki — z bardzo nielicznymi wyjątkami — posiadają izotopy. Izotopami nazywamy dwa atomy, posiadające ten sam numer porządkowy Z i ten sam układ warstw elektronowych, a więc zajmujące to samo miejsce w tablicy układu naturalnego (stąd nazwa, oznaczająca to samo po grecku), lecz różniące się masą i innymi własnościami jąder. Przypomnijmy, że izotopy zostały wykryte po raz pierwszy wśród naturalnych pierwiastków promieniotwórczych, gdzie pierwiastki o zupełnie różnych okresach tzw. przepełowienia (§ 4) posiadają identyczne własności fizyczne i chemiczne, a więc to samo Z . Dzisiaj znamy już dokładnie skład izotopowy wszystkich pierwiastków. Najbardziej znanym spośród izotopów jest izotop wodoru — tzw. ciężki wódór lub deuter. W przeciwieństwie do innych izotopów posiada on własności wyraźnie różne od wodoru, co tłumaczy się stosunkowo znaczną wartością stosunku ciężarów atomowych tych dwóch izotopów. Stosunek ten jest bliski 2, gdy dla innych izotopów jest on naogół bliski 1. Ponieważ własności atomów zależą jednak w pewnym stopniu od masy jądra, tak znaczny stosunek mas powoduje wyjątkowo dostrzegalną różnicę własności wodoru i deuteru. To usprawiedliwia odrębną nazwę dla ciężkiego wodoru i odrębną symbol chemiczny (D).

Druga prawidłowość, zauważona przez Astona, polega na tym, że ciężary atomowe izotopów wyrażają się wszystkie bez wyjątku liczbami bliskimi całkowitym. Ciężary atomowe pierwiastków wykazują nieraz b. wyraźne odstępstwa od liczb całkowitych, tak np. ciężar atomowy chloru (Cl) wyraża się liczbą 35,45, ale zawsze okazuje się w tych wypadkach, że dany pierwiastek jest mieszaniną dwu lub więcej izotopów o ciężarach atomowych bardzo bliskich liczbom całkowitym. Wobec tego dla charakterystyki jąder przyjęto wprowadzić drugą liczbę całkowitą, tak zwaną liczbę masową A , a więc liczbę całkowitą naj-

bliższą ciężarowi atomowemu izotopu. Izotop charakteryzujemy zatem przez symbol chemiczny zaopatrzonego w dwie liczby — dolna oznacza numer porządkowy Z , górna — liczbę masową A , a więc np. izotopy chloru mają symbole $^{35}_{17}\text{Cl}$ i $^{37}_{17}\text{Cl}$. Często podajemy tylko liczbę masową, gdyż symbol chemiczny sam przez się określa Z . W związku z tym warto wspomnieć o skali ciężarów atomowych. W chemii za jednostkę ciężaru atomowego przyjmujemy 1/16 ciężaru atomowego tlenu; inaczej mówiąc kładziemy ciężar atomowy tlenu równy 16,0000. Wiemy jednak dzisiaj, że tlen stanowi mieszaninę trzech izotopów: O^{16} (99 76%), O^{17} (0,04%) i O^{18} (0,20%). Wobec tego w fizyce jądra za jednostkę masy atomów przyjęto 1/16 masy atomu najlżejszego z izotopów tlenu. Powstaje stąd drobna różnica w ciężarach atomowych (masach) atomów, tak że masa wyrażona w jednostkach fizycznych jest równa 1,000 275 masy w jednostkach chemicznych. Różnica ta gra już rolę przy ścisłych pomiarach mas atomów. Jednostka masy równa się $1,66 \cdot 10^{-24}$ g, w przeliczeniu zaś na jednostki energii — $9,32 \cdot 10^8$ MeV, albo wreszcie $1,49 \cdot 10^{-10}$ wateosekund.

6. Moment magnetyczny i mechaniczny (kręt) jądra.

Z innych własności fizycznych jąder wymienimy jeszcze ich momenty magnetyczne i momenty mechaniczne. Jakościowo można sobie uzmysłowić te momenty zakładając, że jądra wykonują ruch wirowy dookoła własnych osi. Ponieważ jądra zawierają ładunki elektryczne, więc z ruchem takim prócz momentu mechanicznego (krętu) związany jest i moment magnetyczny.

Analiza budowy widm atomowych i zachowania się tych widm, gdy atom poddamy działaniu silnych pól magnetycznych, pozwala określić moment magnetyczny i kręt (spin) elektronu. Kręt elektronu równy jest $\frac{1}{2}h/2\pi$, jego zaś moment magnetyczny $he/4\pi mc$, gdzie m oznacza masę spoczynkową elektronu, e zaś jego ładunek.

Moment magnetyczny i kręt jąder atomowych wywierają również pewien, choć słaby, wpływ na budowę widm atomów i cząsteczek i na zachowanie się widm, gdy atom poddamy działaniu silnych pól magnetycznych. Pomiar wykazują, że kręt jądrowy jest zawsze wielokrotnością $\frac{1}{2}h/2\pi$, choć może być i zerem, natomiast momenty magnetyczne jąder są zawsze rzędu $he/4\pi Mc$, gdzie M jest masą spoczynkową protonu ale nie są wielokrotnościami tej wielkości. Dla przykładu przytoczymy dane dla kilku jąder (kręt w jednostkach $h/2\pi$, moment magnetyczny w jednostkach $he/4\pi Mc$).

Jądro	Kręt	Moment magnetyczny
H^1	$\frac{1}{2}$	2,785
O^2	1	0,855
He^4	0	—
N^{14}	1	0,402

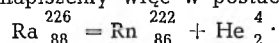
Ze względu na to, że proton posiada masę 1838 razy większą niż elektron, momenty magnetyczne jąder są na ogół parę tysięcy razy mniejsze od momentu magnetycznego elektronu.

7. Reakcje jądrowe.

W rozwoju fizyki jądrowej dużą rolę odegrało odkrycie w r. 1932 przez Chadwicka neutronu, to jest elementarnej elektrycznie obojętnej cząstki materii o masie niemal równej masie protonu.

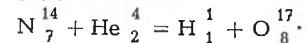
Neutrony pojawiają się w szeregu tzw. reakcji jądrowych, to znaczy właściwie w szeregu przemian jądrowych, wywołanych sztucznie przez bombardowanie jąder różnymi pociskami atomowymi.

Pociskami naturalnymi, nadającymi się bardzo dobrze do wywoływania reakcji jądrowych, są przede wszystkim cząstki α , wyrzucane z ciał promieniotwórczych. Przemiany promieniotwórcze są to właściwie naturalne reakcje jądrowe. Weźmy np. pod uwagę rad. Co sekundę pewien określony ułamek jąder radu rozpada się, wyrzucając cząstki α o dużej energii (mierzonej na MeV); jądra, które uległy rozkładowi, przemieniają się w jądra zupełnie innego pierwiastka — radonu. W naszych oznaczeniach cząstka α przypiszemy symbol He^4 (jest ona jądrem helu); reakcję rozpadu jądra radu napiszemy więc w postaci:



Rutherford pierwszy zaobserwował w roku 1919 rozpad jądra trwałego pod wpływem bombardowania cząstkami α .

Reakcja jądrowa zaobserwowana przezeń polegała na wchłonięciu cząstki α przez jądro azotu, które w związku z tym wyrzuca proton i przemienia się w jądro tlenu. Reakcję tę napiszemy w postaci:



Krótszy sposób zapisu tej reakcji jest: $\text{N}^{14} (\alpha, p) \text{O}^{17}$; przytem p oznacza tu proton wyrzucony z jądra. Zwróćmy jeszcze uwagę na to, że w reakcji takiej suma ładunków jąder (liczby dolne) jest ta sama po obu stronach, co jest wyrazem zasady zachowania ładunku elektrycznego.

Po r. 1919 zaobserwowano szereg analogicznych reakcji, wywołanych przez cząstki α ciał promieniotwórczych, przenikające do wnętrza różnych lekkich jąder; nie znaleziono jednak po dziś dzień reakcji wywoływanych przez cząstki β (elektrony czy pozytrony).

Gdy bombardujemy jądro cząstkami α (czy jakimiś innymi cząstkami), sprawą bardzo ważną jest wydajność reakcji, tj. liczba jąder przetworzonych w stosunku do liczby bombardujących cząstek α . Wydajność tę wyrażamy zwykle przez tak zwany przekrój czynny jądra względem danej reakcji. W tym celu wyobraźmy sobie cząstki bombardujące jako punkty materialne, jądra zaś trafione — jako tarcze o powierzchni σ . Jeżeli oznaczymy przez ν liczbę zaobserwowanych reakcji, przez n — liczbę cząstek bombardujących, wreszcie przez N — liczbę jąder bombardowanych na 1 cm^2 bombardowanej powierzchni (bierzemy tu pod uwagę wszystkie jądra w całej objętości, przenikanej przez cząstki bombardujące), to przekrój czynny σ jądra względem uważanej reakcji dany jest przez wzór:

$$\sigma = \frac{\nu}{n \cdot N} \text{ lub inaczej } \sigma N = \frac{\nu}{n}$$

W drugiej postaci wzór ten oznacza co następuje: jeżeli założymy, że każda cząstka bombardująca, trafiająca powierzchnię σ wywołuje reakcję, to stosunek liczby wywołanych reakcji do liczby cząstek bombardujących równy jest sumie przekrojów czynnych jąder, przypadającej na 1 cm^2 powierzchni bombardowanej.

Reakcje jądrowe badamy dzisiaj różnymi metodami; bardzo często stosuje się w tym celu metodę komory Wilsona, która pozwala uzyskać fotografie stereoskopowe śladów torów cząstek, biorących udział w reakcji (ślady te są to wąziutkie pasemka mgły, skraplającej się w przesyconej parze wodnej na jonach, wytworzonych przez szybkie cząstki na swej drodze). Stosuje się również w tym celu tzw. liczniki Geigera-Müllera, a więc w zasadzie układy elektryczne o równowadze chwiejnej, w których jonizacja, wywołana przez przebiegającą szybką cząstkę, wystarcza do wywołania wyładowania elektrycznego; wreszcie stosuje się odpowiednio czule komory jonizacyjne. Schemat urządzenia licznika Geigera-Müllera przedstawia rys. 2. Jest to cienkościenny walec aluminiowy lub mosiężny, w którym rozciągnięto osiowo na izolatorach drukim np. wolframowy o średnicy około 0,1 mm. Pomiedzy druckiem a ścianką wytwarzamy napięcie rzędu 1500 V, przy czym biegun dodatni łączymy z druckiem. Licznik wypełnia się np. argonem (ciśnienie około 100 mm Hg) z domieszką acetonu (ciśnienie 10 mm Hg).

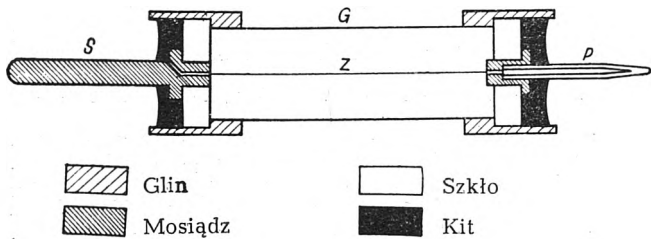
8. Przenikanie dodatnio naładowanych cząstek do wnętrza jąder atomowych.

Należy podkreślić, że cząstka α może wywołać reakcję jądrową tylko wówczas, gdy zderzy się z jądrem, a więc pokona kulombowskie siły odpychające pomiędzy jądrem a nią samą.

Im większą energię posiada cząstka α , tym silniejsze odpychanie może ona pokonać, jednak najbardziej energiczne naturalne cząstki α nie mogą pokonać odpychania średnio ciężkich jąder — już jądra chloru nie dają się rozbić naturalnymi cząstkami α .

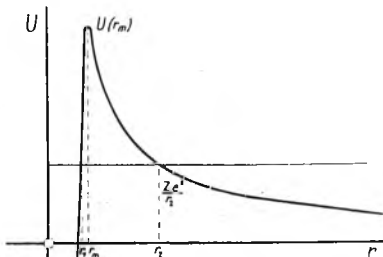
Cząstki α naturalne posiadają energie rzędu kilku MeV (najbardziej energiczne cząstki α z toru C' mają 8,95 MeV); toteż dużą sensację wywołały w r. 1932 doświadczenia Cockcrofta i Waltona, którym udało się poraz pierwszy rozbić jądro, a mianowicie jądro litu, stosunkowo powolnymi sztucznie przyspieszonymi protonami o energii 600 keV. Późniejsze badania wykazały, że już protony o energii 10 keV mogą wywołać reakcje jądrowe w litie. Proste przeliczenie wykazuje, że energia tak powolnych protonów nie wystarcza do pokonania odpychania jąder litu — protony zostają zawrócone wstecz daleko jeszcze przed jądrami litu.

Aby zrozumieć ten paradoksalny na pozór wynik, wykreślmy energię potencjalną protonu o ładunku e w polu jądra o ładunku Ze w zależności od odległości protonu od środka jądra (rys. 3). Jądro i proton możemy uważać za ciała o symetrii kulistej, które działają na siebie elektrycz-



U góry:

Rys. 2. Licznik Geigera-Müllera do badania reakcji jądrowych.



Z boku:

Rys. 3. Energia potencjalna protonu (tj. jądra wodoru) w polu innego jądra o kilkakrotnie większym ładunku w zależności od odległości między środkami jąder.

nie jak ładunki punktowe, umieszczone w środkach kul. Proton, znajdujący się w odległości r od naszego jądra, posiada zatem energię potencjalną $\frac{Ze^2}{r}$ w jednostkach cgs lub $\frac{Ze^2}{4\pi r \epsilon_0}$ watosek.

Energia ta nie rośnie nieograniczenie w miarę zbliżania się protonu do środka jądra. Wiemy (§ 15), że we wnętrzu jądra działają charakterystyczne siły jądrowe, powodujące wzajemne przyciąganie się cząstek elementarnych, z których składa się jądro. Siły te działają przyciągająco i na proton, znajdujący się już w bezpośredniej bliskości jądra, i powodują, że po przejściu przez maksimum energia jego potencjalna maleje i nawet staje się ujemną. W rezultacie wnętrze jądra chronione jest przed cząstkami dodatnio naładowanymi „wałem potencjału”, który nie dopuszcza cząstek tych do wnętrza jądra. Tak przynajmniej wygląda sprawa z punktu widzenia mechaniki klasycznej. Cząstka dodatnio naładowana powinna zawracać, gdy jej początkowa energia kinetyczna, zaznaczona na rysunku prostą równoległą do osi odciętych, zrówna się z energią potencjalną, gdy więc prosta energii przetnie krzywą energii potencjalnej w odległości r_2 od środka jądra.

Należy jednak pamiętać, że cechy korpuskularne nie wyczerpują własności protonu; posiada on i cechy falowe. Proton w ruchu uważać można za falę materii o bardzo małej długości, a ściślej za skończonych rozmiarów grupę fal, złożoną z fal o nieco różnych długościach. W mechanice falowej wykazuje się, że fale materii posiadają bardzo silną dyspersję, a więc prędkość ich wybitnie zależy od długości fali. Dla fal takich tak zwana prędkość grupy jest zupełnie inna, niż prędkość każdej z fal składowych. Prędkość grupy jest to prędkość punktu maksymalnego natężenia fal w grupie, a więc punktu, gdzie wszystkie fale składowe wzmacniają się przez interferencję. Ponieważ fale biegną z różnymi prędkościami, więc maksimum interferencji przesuwa się w stosunku do fal poszczególnych — stąd inna wartość prędkości grupy. Prędkość grupy fal materii jest mianowicie dokładnie równa prędkości cząstki materialnej, a więc w tym wypadku protonu.

Wał potencjału nie stanowi absolutnej przegrody dla fal materii. Przenikają one, jak pokazuje rachunek, do jego

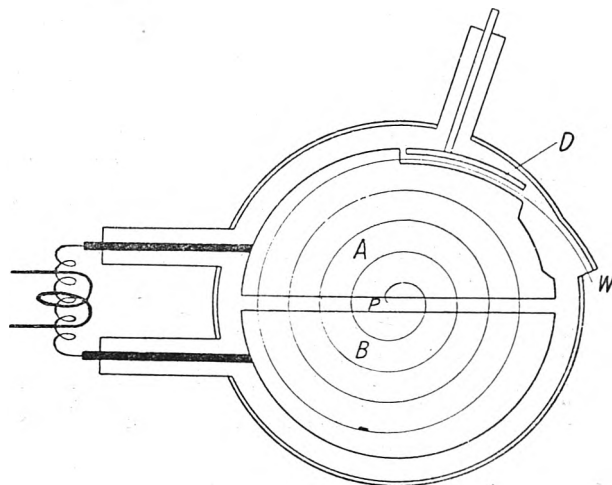
wnętrza, przy czym ich natężenie maleje jednak wykładniczo w miarę przesuwania się w głąb wału. Przenikają one tym łatwiej przez wał potencjału, im mniej szczyt jego przewyższa energię protonu. Wynika stąd, że gdy szerokość wału w punktach przecięcia z prostą energii ($r_2 - r_1$ na rysunku) jest niezbyt wielka i gdy prosta energii cząstki nie przebiega zbyt daleko od jego szczytu, wówczas fale te z dostrzegalnym natężeniem przenikną do wnętrza jądra. Ale natężenie fal materii w pewnym punkcie jest miarą prawdopodobieństwa znalezienia odpowiedniej cząstki materialnej w tym punkcie; takie jest właśnie znaczenie fizyczne tych fal. A zatem we wspomnianym wypadku istnieje skończone prawdopodobieństwo przeniknięcia protonu do wnętrza jądra.

Fale materii, odpowiadające protonom o energii 10 keV, mają odpowiednie warunki, by mogły jeszcze przeniknąć do wnętrza jądra litu poprzez wał potencjału chroniący je od zewnątrz. Jest to tzw. przenikanie tunelowe, nie mające odpowiednika w mechanice klasycznej. Pozwala ono na wywoływanie reakcji jądrowych przy pomocy dodatnio naładowanych cząstek materii o energiach o wiele mniejszych, niż należałoby przewidywać na podstawie rozważań klasycznych.

9. Metody wytwarzania ciężkich cząstek o dużej energii.

Odkrycie Cockcrofta i Waltona zapoczątkowało okres burzliwego rozwoju fizyki jądra. Należało przede wszystkim wypracować metody, pozwalające uzyskiwać silne strumienie naładowanych dodatnio cząstek o dużej energii, sięgającej wielu setek tysięcy i milionów elektronowoltów. Zagadnienie techniczne nadawania protonom, deuteronom i cząstkom α tak dużej energii można rozwiązać różnymi sposobami. Cockcroft i Walton przy pomocy odpowiedniego układu kenotronów i kondensatorów zwielokrotniali wysokie napięcie dawane przez transformator i uzyskiwali niemal stały wysoki potencjał względem ziemi; późniejsi konstruktorzy uzyskali na tej drodze różnice potencjałów do 3 MV, co pozwalało nadać protonom i deuteronom energię 3 MeV, cząstkom zaś α (z których każda ma ładunek 2e) 6 MeV.

Pominiemy tu opis powyższych urządzeń, jak i generatorów elektrostatycznych wysokiego napięcia, które są właściwie dawno znanymi maszynami elektrostatycznymi, zmodyfikowanymi stosownie do dzisiejszego stanu techniki. Wspomnimy tu tylko o najważniejszym z tych urządzeń, tzw. cyklotronie, stanowiącym technicznie najlepsze rozwiązanie zagadnienia wytwarzania szybkich jonów.



Rys. 4. Cyklotron do wytwarzania jonów o dużej energii.

Cyklotron zbudowany został przez fizyka amerykańskiego Lawrence'a w r. 1930. Zasadę działania cyklotronu przedstawia schematycznie rys. 4. Główną część stanowi płaska komora walcowa, w której znajdują się dwie elektrody A i B w kształcie również płaskich wewnątrz pustych półwalców; komora połączona jest z silną pompą próżniową, tak że ciśnienie w jej wnętrzu jest rzędu $10^{-4} - 10^{-5}$ mm Hg. Komora umieszczona jest między biegunami silnego elektromagnesu; linie magnetyczne są prostopadłe do płaszczyzny rysunku. Elektrody A i B połączone są z generatorem krótkich fal elektromagnetycznych (rzędu 30 metrów)

dużej mocy (przeszło 100 kW w największych cyklotronach), tak że między A i B wytwarza się zmienne napięcie. Ze względów technicznych, a mianowicie ze względu na potrzebę wytwarzania skupionych i intensywnych wiązek jonów, korzystne jest stosowanie wysokiego napięcia o wartości U_{\max} rzędu kilkuset kV. W środku komory, w punkcie P , znajduje się źródło jonów, wytwarzanych przez bombardowanie gazu we wnętrzu komory strumieniem elektronów z rozżarzonej katody pomocniczej.

Jony, które pod działaniem pola elektrycznego uzyskały pewną prędkość v , opisują pod wpływem poprzecznego pola magnet. koła o prom. $r = mv/qB$ (w jedn. cgs); czas obiegu koła jest $T = \frac{2\pi r}{v} = \frac{2\pi m}{qB}$, gdzie q jest ładunek jonu, B —

indukcja magnetyczna. Dopóki można nie liczyć się z zależnością masy od prędkości jonów, mamy okres obiegu niezależny od prędkości jonu. Jeżeli teraz okres drgań generatora równy jest okresowi obiegów, wówczas jon, który w odpowiedniej fazie drgania elektrycznego pociągnięty zostanie ku elektrodzie A , po opisaniu półkoła trafi znów na dobrą fazę w szczelinie między elektrodami i będzie ponownie przyspieszony ku elektrodzie B , gdzie opisze półkoło o większym promieniu. W ten sposób za każdym obiegiem jon uzyskuje energię $2qU_{\max}$. Największą możliwą prędkość jon uzyskuje wtedy, gdy promień ostatniego opisywanego przezeń półkoła zrówna się z promieniem R elektrody. Mamy wówczas $v = R \frac{qB}{m}$, stąd największa energia jonu jest

$W = \frac{1}{2} mv^2 = \frac{1}{2} R^2 \frac{q^2 B^2}{m}$. Dla jonów o ładunku Zq energia byłaby przy tej samej masie Z^2 razy większa. Ale z drugiej strony, według powiedzianego wyżej, częstotliwość drgań pola elektrycznego

$$\mu = \frac{1}{T} = \frac{qB}{2\pi m}, \text{ długość zaś fali tych drgań } \lambda = cT = \frac{2\pi mc}{qB}.$$

$$\text{Znajdziemy zatem ostatecznie } W = 2 \pi^2 c^2 m \frac{R^2}{\lambda^2} = C \cdot \frac{R^2}{\lambda^2}.$$

Jeśli R wyrazimy w centymetrach, λ zaś w metrach, to chcąc otrzymać energię w MeV należy dla protonów położyć $C = 1,83$, dla deuteronów $C = 3,66$ i dla jąder helu $C = 7,32$.

Jon, który zbliża się już po swym torze spiralnym do brzegu elektrody, zostaje wychylony w bok przez elektrodę pomocniczą D i skierowany na zewnątrz komory. W ten sposób uzyskujemy stosunkowo bardzo silny strumień szybkich cząstek, bez porównania bardziej intensywny, niż dawany przez najsilniejszy preparat radu czy innego ciała promieniotwórczego. Tym też tłumaczy się podstawowe znaczenie cyklotronu dla rozwoju nukleoniki.

Największy czynny cyklotron uruchomiony przez Lawrence'a w Kalifornii, posiada następujące dane: $R = 75$ cm, waga elektromagnesu 220 ton, energia protonów wynosi 8 MeV, deuteronów — 16 MeV, sztucznych cząstek α — 32 MeV. Koszt budowy wyniósł około 200 000 dolarów. Natężenie prądu deuteronów wynosi 200 μ A. W budowie jest cyklotron o średnicy pola magnetycznego $2R = 470$ cm i o wadze elektromagnesu 4900 ton; ma on dawać cząstki α o energii rzędu 100 MeV.

W r. 1940 Stany Zjednoczone rozporządzały około 20 cyklotronami czynnymi lub w budowie; we wszystkich innych krajach razem liczba cyklotronów nie sięgała dziesięciu. Dzisiaj liczba cyklotronów w Stanach Zjednoczonych jest zapewne jeszcze większa.

Dodatkową trudnością w budowie cyklotronów na energię cząstek rzędu 100 MeV jest zaznaczający się już wyraźnie przyrost masy, powodujący rozstrojenie rezonansu pomiędzy częstotliwością drgań pola elektrycznego a częstotliwością obiegów cząsteczki. Jeśli chodzi o elektrony, wpływ zmienności masy zaznacza się u nich przy tak stosunkowo niskich energiach (nie można pogardzać zmiennością masy elektronu już dla energii rzędu 10 keV), że cyklotron nie nadaje się do ich rozpędzania. Problem uzyskiwania intensywnych wiązek elektronów o dużej energii został rozwiązany dopiero w r. 1941 przez tzw. betatron fizyka amerykańskiego Kersta. W r. 1945 zapoczątkowane zostało równocześnie przez fizyka amerykańskiego Mac Millana i przez fizyka radzieckiego Wekslera inne urządzenie, tzw. synchrotron. Zarówno betatron, jak i synchrotron są do pewnego stopnia analogiczne

do cyklotronu; w budowie są urządzenia, które pozwolą otrzymać elektrony o energii rzędu 1000 MeV.

10. Chemia jądrowa.

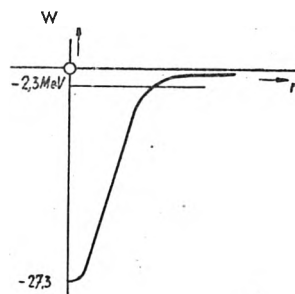
Zastosowanie sztucznie wytwarzanych cząstek o dużej energii do bombardowania jąder atomowych przyniosło bardzo szybki rozwój nukleoniki, a przede wszystkim jej działu, który można by nazwać chemią jądrową, czy transmutacyjną. Znamy już dzisiaj około 1000 różnych reakcji jądrowych; wspomniemy tu tylko o najważniejszych ich typach.

Bardzo często spotykamy się z wypadkiem, kiedy na skutek reakcji jądrowej powstaje pierwiastek nietrwały, sztucznie promieniotwórczy. Znamy dzisiaj około 300 typów jąder sztucznie promieniotwórczych; jądra te w olbrzymiej większości wysyłają promienie β^- lub β^+ (elektrony lub pozytrony). Badanie promieniotwórczości tych jąder rzuciło dużo światła na całe niewystarczająco jeszcze dzisiaj opracowane przez teorię zagadnienie promieniowania β . Różne typy reakcji rozróżniamy według cząstek wywołujących reakcję i cząstek wyrzucanych z jąder w czasie reakcji. Cząstki dla uproszczenia oznaczamy symbolami: α (jądro helu), p (proton), n (neutron), d (deuteron), γ (foton promieniowania γ). Tak więc np. reakcja zapisana w skrócie: $Al^{27}(\alpha, p)Si^{30}$ oznacza, że jądro glinu o liczbie masowej 27, do którego wnętrza przedostała się cząstka α , wyrzuciła proton i przetwarza się w jądro izotopu krzemu o liczbie masowej 30.

Fizyk włoski Fermi pierwszy zwrócił uwagę w r. 1933 na wielką skuteczność neutronów, zwłaszcza powolnych, w wywoływaniu reakcji jądrowych i wraz ze swymi uczniami zbadał działanie neutronów na większość pierwiastków. Już wtedy zwrócił on uwagę na zachowanie się uranu bombardowanego przez neutrony; do sprawy tej jeszcze powrócimy (§ 22).

11. Neutrony.

Neutron, jak już wiemy (§ 7), jest cząstką elektrycznie obojętną, nie podlega więc przy zbliżaniu się do jądra działaniu sił odpychających i dopiero w bezpośrednim sąsiedztwie jądra doznaje działania sił wewnątrzjądrowych. Energia potencjalna neutronu w polu protonu ma zatem przebieg wskazany na rys. 5. Jak widzimy, w stosunku do neutronów nie istnieje żaden wał potencjału, chroniący wnętrze jądra; tym się tłumaczy wielką skuteczność neutronów w wywoływaniu przemian jądrowych.



Rys. 5. Zależność energii potencjalnej neutronu w polu protonu od odległości między środkami obu cząstek.

Gdy neutron spadnie na dno „studni potencjału” we wnętrzu jądra, cała różnica jego energii początkowej i energii na dnie studni zostaje wyzwolona; jeśli neutron ma pozostać w jądrze, energia ta musi być oddana przez jądro na zewnątrz bądź w postaci energii kinetycznej innej cząstki wyrzuczonej z jądra i pracy jej wyzwolenia z jądra, bądź też w postaci energii fotonu γ .

Jak widać z wykresu energii, można spodziewać się, że najbardziej skuteczne będą powolne neutrony, one bowiem mogą najłatwiej być związane w jądrze ze względu na najmniejszą wyzwoloną przy tym ilość energii, a również stosunkowo najdłużej znajdują się one w bliskości jądra, gdy je mijają.

W związku ze znaczeniem neutronów dla fizyki jądra należy powiedzieć pare słów o źródłach neutronów. Neutronów swobodnych nie spotykamy na ogół w przyrodzie (co prawda w promieniowaniu kosmicznym na poziomie morza istnieje pewien ułamek neutronów, jest ich jednak zbyt mało dla jakichkolwiek zastosowań do reakcji jądrowych). Źródłem ich są więc reakcje jądrowe. Pierwszym źródłem neutronów była reakcja $Be^9(\alpha, n)C^{12}$, lub w postaci bardziej rozwiniętej: $4Be^9 + 2He^4 \rightarrow 6C^{12} + 0n^1$. W zapisie tego rodzaju

*) W pracowni uniwersyteckiej w Berkeley.

traktujemy neutron jako jądro o liczbie porządkowej 0 i liczbie masowej 1. Cząstki α , używane w tej reakcji, zaobserwowane przez Bothego i Beckera, pochodzą z preparatu polonu. Reakcja ta do dzisiaj używana jest w laboratoriach jako źródło neutronów; daje ona neutrony o różnych energiach, dochodzących do 13,7 MeV.

Jedną z najbardziej wydajnych reakcji dających neutrony jest reakcja $D^2 (d,n) He^3$, czyli: ${}_1D^2 + {}_1D^2 \rightarrow {}_2He^3 + {}_0n^1$. Reakcja ta polega na bombardowaniu jakiegoś preparatu ciężkiego wodoru deuteronami o energii zazwyczaj rzędu paruset keV. Daje ona szybkie neutrony o energii rzędu 2,5 MeV. Inną reakcją, lepiej nadającą się, gdy rozporządzamy deuteronami o dużej energii, jest: $Li^7 (d,n) He^4$; daje ona stosunkowo duże ilości szybkich neutronów o energii 13,6 MeV. Powolne neutrony otrzymujemy z neutronów szybkich, wykorzystując ich stratę energii przy zderzeniach sprężystych z napotkanymi jądrami. Nie każde jądro trafione przez neutron ulega przemianie. Część jąder trafionych odrzuca z powrotem neutrony, przy czym zderzenie jądra z neutronem ma zwykle charakter sprężysty, choć zdarzają się i zderzenia niesprężyste. Przypomnijmy tu, że światem atomów rządzą prawa typu statystycznego: określone jest tylko prawdopodobieństwo schwytania neutronu przez trafione jądro; które jądro schwyci neutron, a które ulegnie zderzeniu sprężystemu — tego nam prawa podstawowe nie mówią; jest to typowe zdarzenie niezdeterminowane.

Z praw zachowania energii i pędu, które muszą być spełnione przy zderzeniu sprężystym (mówimy tu, oczywiście, o prawach tych w sensie uogólnionym, z uwzględnieniem zmian masy), wynika, że przy zderzeniu sprężystym ze stonkunkowo bardzo wolno poruszającym się jądrem neutron traci tym większy ułamek swej energii im bliższy jedności jest stosunek mas jądra i neutronu. Wynika stąd natychmiast, że neutrony przechodzące przez warstwę materii, która zawiera lekkie jądra, ulegną wybitnemu zwolnieniu; gdy warstwa materii będzie dostatecznie gruba, neutrony utracą wskutek zderzeń całą niemal swą energię i pozostanie im średnio tylko energia równa średniej energii kinetycznej beładnego ruchu cieplnego drobin materii. Trafione po drodze jądra również ulegną sprężystem zderzeniom z innymi i w ten sposób cała nadwyżka energii neutronów zamieni się w ciepło. Bardzo powolne neutrony otrzymywane w ten sposób nazywamy neutronami termicznymi; średnia ich energia kinetyczna wynosi w temperaturze pokojowej 0,028 eV.

Ponieważ proton posiada masę niemal równą masie neutronu, wodór najbardziej skutecznie zwalnia neutrony. Neutron przy zderzeniu z protonem oddaje mu średnio 60% swej energii, a wobec tego bardzo szybko traci swą energię, przebywając warstwę wodoru lub ciała zawierającego wodór.

Weźmy dla przykładu pod uwagę neutron o energii początkowej 5 MeV. Poniższa tabliczka podaje przeciętną energię takiego neutronu po doznaniu szeregu zderzeń z protonami:

Liczba zderzeń	0	1	2	3	6	9	12
Energia neutronu (MeV)	5	2	0,8	0,3	0,18	0,001	0,0001

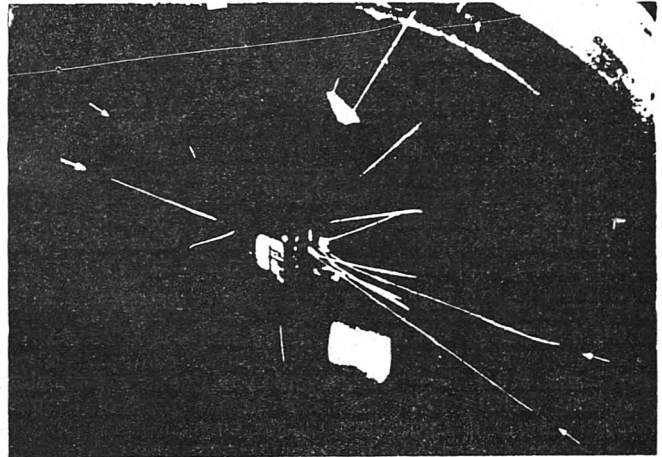
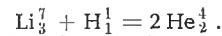
Jak widać stąd, wystarczy około dwudziestu zderzeń, by neutron utracił całkowitą swą nadwyżkę energii i stał się neutronem termicznym.

Im jądro jest cięższe, tym mniej jest skuteczne w zwalnianiu neutronów, ale jeszcze tylko około 200 zderzeń z jądrami węgla zahamuje neutrony o energii 1 MeV do prędkości, odpowiadającej przeciętnej energii ruchu cieplnego. Jeśli chodzi o samo tylko zwolnienie neutronów, wodór nie jest najlepszym ciałem ze względu na to, że przy zderzeniach pewien ułamek neutronów zostaje związany z protonami, tworząc deuterony. Najlepiej nadawałby się do zwalniania neutronów ciężki wodór, którego jądra tylko zwalniają neutrony. Nieco gorzej nadaje się hel, ale jeszcze beryl i, jak wspomnieliśmy, węgiel również nadają się do zwalniania neutronów.

12. Bilanse energetyczno-masowe reakcji jądrowych.

Reakcje jądrowe nadają się bardzo dobrze do sprawdzenia uogólnionej zasady zachowania energii. Jeśli mianowicie do badania reakcji jądrowych zastosujemy komorę Wilsona, wówczas można w sprzyjających warunkach uzyskać fotografię zderzenia jądrowego przy którym nastąpiła re-

akcja. Klasyyczny przykład takiej reakcji daje rys. 6, przedstawiający fotografię reakcji



Rys. 6. Rozbite jądro ciężkiego izotopu litu przez proton (jądro wodoru) na dwa jądra helu.

Jądro ciężkiego izotopu litu, do którego wnętrza przedostał się proton, rozpada się na dwie cząstki α , których tor widziemy na fotografii. Napiszmy bilans energetyczny tej reakcji. Energię cząstek α można stosunkowo bardzo dokładnie (z dokładnością do 0,1 MeV) określić z długości jej toru. Naładowane cząstki, przebiegając przez materię, bardzo szybko tracą swą energię na jonizację napotkanych po drodze atomów; jonizacja nagle ustaje, gdy energia spadnie do wartości rzędu 20–30 eV. Tym się tłumaczy, że np. w powietrzu pod ciśnieniem normalnym istnieje dokładnie zbadany związek pomiędzy energią cząstki α a długością jej toru.

Zacznijmy od bilansu samych mas. Masy cząstek, biorących udział w reakcji, są nam znane bardzo dokładnie z pomiarów wykonanych przy pomocy spektrografu masowego. Mamy zatem po lewej stronie

$$7,01818 + 1,00813 = 8,02631.$$

Po prawej stronie znajdujemy:

$$2 \cdot 4,00389 = 8,00778,$$

a więc o 0,01853 atomowych jednostek masy mniej. Jak widzimy, występuje bardzo wyraźny niedobór masy i odpowiadać mu musi wywiązanie równoważnej energii. Według naszego zmiennika (§ 5) jednostka masy odpowiada $9,32 \cdot 10^2$ MeV, a zatem nasz niedobór masy oznaczać musi, że wywiązała się energia:

$$0,01853 \cdot 9,32 \cdot 10^2 \text{ MeV} = 17,27 \text{ MeV}.$$

Otóż z drugiej strony pomiar energii cząstek α wykazuje, że każda z nich ma energię 8,6 MeV, a więc razem mają one energię 17,2 MeV, co odpowiada w granicach dokładności pomiarów przewidywaniom. W bilansie energii pominięto energię protonów, gdyż reakcję tę możemy wywołać już przy pomocy protonów o energii kilkudziesięciu keV, o co można nie dbać w granicach dokładności pomiarów.

Energetyczne bilanse reakcji mogą być użyte do bardzo dokładnego wyznaczenia mas jąder; energie cząstek, biorących udział w reakcji, można wyznaczyć z dokładnością do 0,1 MeV, co odpowiada 0,0001 jednostek atomowych masy. Poniżej podajemy najdokładniejsze dzisiaj wartości mas kilku najlżejszych jąder:

H^1	1,00813	Li^6	6,01690
n^1	1,00893	Li^7	7,01818
D^2	2,01472	Be^8	8,00777
H^3	3,01704	Be^9	9,01497
He^3	3,01701	Be^{10}	10,01605
He^4	4,00389	Be^{11}	11,01286.

Są to masy odpowiednich atomów, a nie jąder. W bilansach energii nie gra to roli, gdyż równania reakcji muszą spełniać zasadę zachowania ładunku — suma ładunków po stronie lewej musi być równa sumie ładunków po stronie prawej. Ale atom ma tyle elektronów, ile wynosi ładunek jądra, wyrażony w ładunkach elementarnych, a więc biorąc masy atomów zamiast mas jąder dodajemy po obu stro-

nach równania te same liczby elektronów. Tylko gdy chodzi o sztuczną promieniotwórczość β mogą powstać pewne wątpliwości, ale i tu przy zachowaniu pewnej ostrożności można postąpić się masami elektrycznie obojętnych atomów.

13. Sprawność reakcji jądrowych.

Sprawność reakcji jądrowych jest bardzo mała, co wynika z bardzo małych przekrojów czynnych jąder na związanie cząstek bombardujących. Rzeczywisty przekrój jądra waha się od $6,9 \cdot 10^{-28}$ cm² (proton) do $2,4 \cdot 10^{-24}$ cm² (dla uranu). Przekrój czynny dla cząstek naładowanych, o energii przekraczającej wysokość wału potencjału, jest średnio dziesięciokrotnie mniejszy; dla cząstek naładowanych, o energii dorównującej wysokości wału potencjału, przekrój ten jest jeszcze mniejszy i szybko maleje w miarę zmniejszania się energii cząstki. Dla powolnych neutronów przekroje czynne mogą być w niektórych wypadkach o wiele większe. Tak np. przeciętny przekrój czynny jądra kadmu na wiązanie neutronów termicznych jest $2900 \cdot 10^{-24}$ cm², boru $510 \cdot 10^{-24}$ cm², a gadolinu (jedna z tzw. ziem rzadkich) $50000 \cdot 10^{-24}$ cm². Tak wielkie przekroje czynne trudno zrozumieć z punktu widzenia korpuskularnego: neutron doznaje przecież działania sił jądrowych dopiero w bezpośrednim sąsiedztwie jądra. Ale neutron posiada również i własności falowe; fale materii, odpowiadające neutronom termicznym, mają długość rzędu 10^{-8} cm; gdy trafiają one na przeszkodę w postaci jądra, rozchodzenie się fal może być zakłócone, zwłaszcza wówczas, gdy energia neutronu odpowiada jednej z możliwych wartości energii jądra, gdy więc mamy do czynienia z tzw. rezonansem neutronowym (§ 25). Tym rezonansem tłumaczą się anormalnie duże przekroje czynne niektórych jąder wobec neutronów. Dla powolnych cząstek naładowanych wał potencjału chroniący wewnątrz jądra jest przeszkodą nie do pokonania.

Przy obliczaniu sprawności reakcji trzeba brać pod uwagę, że cząstki naładowane nawet o dużej energii przenikają mogą tylko bardzo niewielką grubość jakiegokolwiek materii w stanie stałym czy ciekłym ze względu na bardzo szybką stratę energii na jonizację napotkanych atomów. Wobec tego np. cząstki α ciał promieniotwórczych naturalnych mogą przeniknąć w głąb płytki metalowej zaledwie na 0,01 mm; zrozumieliśmy, że sprawność reakcji jest w tych warunkach znikomo mała. Tylko wyjątkowo daje się zaobserwować sprawność rzędu 10^{-4} , to znaczy, że jedna cząstka na 10000 wywoła daną reakcję. Najczęściej sprawności są rzędu 10^{-5} — 10^{-7} . W związku z tym stoi niemożność wykorzystania zwykłych reakcji jądrowych na skalę techniczną. Weźmy dla przykładu wspomnianą już reakcję $\text{Li}^7 (\alpha, n) \text{He}^4$. Dla protonów o energii 0,4 MeV mamy sprawność 10^{-7} ; dla wywołania jednej reakcji, która daje nam energię 17,2 MeV, trzeba zatem użyć 10^7 protonów o energii sumarycznej $4 \cdot 10^6$ MeV. Sprawność energetyczna reakcji wynosi więc $17,2/4 \cdot 10^6 = 4,3 \cdot 10^{-6}$, co jest oczywiście znikomo małe. Sprawności energetyczne poprawiają się przy użyciu do bombardowania cząstek o dużej energii, ale i w najkorzystniejszych warunkach uzyskać możemy dzisiaj najwyżej sprawność rzędu paru procentów. Ten wzrost sprawności wiąże się z tym, że cząstki o bardzo dużej energii mają o wiele większy zasięg, a tym samym wzrasta prawdopodobieństwo, że na swej drodze natrafiają na jądro i wywołują jego przemianę, związaną z wyzwoleniem energii jądrowej.

III. BUDOWA JĄDRA ATOMOWEGO

14. Składniki jąder atomowych.

Zagadnienie budowy jądra i natury sił wewnątrzjądrowych oraz energii wewnątrzjądrowej przeszło przez parę faz. Jądra ciał promieniotwórczych wysyłają elektrony β , przypuszczano więc początkowo, że elektrony te pochodzą z jądra i w nim zatem się znajdują. Ponadto w reakcjach jądrowych, wywołanych działaniem cząstek α , obserwowano wyrzucanie z jąder protonów. Z powyższych względów do r. 1932 panował pogląd, że jądra atomowe składają się z protonów i elektronów; cząstkę α uważano za jądro, złożone z 4 protonów i 2 elektronów. Pogląd ten jednak natknął się na szereg trudności teoretycznych, np. w sprawie momentów magnetycznych jąder. Momenty te są (§ 6) tysiące razy mniejsze od momentu magnetycznego elektronu, co jest zupełnie niezrozumiałe, gdy elektrony wchodzi w skład jądra. Były i inne trudności.

Sytuacja wyjaśniła się z chwilą odkrycia neutronów w roku 1932. Pojawianie się neutronów w wyniku reakcji jądrowych świadczyło, że są one wyrzucane z jąder, a więc są cegiełkami składowymi jąder. Już zatem w r. 1932 fizyk radziecki Iwanienko i niezależnie niemiecki teoretyk Heisenberg wysunęli pogląd, że jądro atomowe składa się wyłącznie z protonów i neutronów. Pogląd ten został obszernie ugruntowany przez Heisenberga i dzisiaj stanowi podstawowe założenie teorii budowy jądra. Duże zasługi dla teorii jądra położyli następnie fizyk włoski Fermi, niemiecki Bethe oraz Bohr, twórca teorii budowy atomu.

Można ustalić pewną analogię pomiędzy budową atomu a budową jądra atomowego. Atom składa się z jądra i z krążących dookoła niego elektronów (§ 1); jądro i elektrony powiązane są siłami pola elektrycznego, a więc siłami kulombowskimi. Atom może znajdować się w różnych stanach energetycznych i, przechodząc z jednego z nich do drugiego, wysyła lub pochłania fotony. Ale fotony te nie istnieją w atomie: fotony wysyłane powstają dopiero w chwili przejścia atomu do niższego stanu energetycznego, przy czym atom trwa w stanie wyższym przez pewien skończony, choć bardzo krótki (rzędu 10^{-8} sek.) czas, a potem dopiero wyrzuca foton; analogicznie, atom pochłania foton przy przejściu ze stanu niższego w stan energetycznie wyższy, ale foton ten w atomie przestaje istnieć.

Jeśli chodzi teraz o jądro atomowe, składa się ono zatem z protonów i neutronów, związanych pomiędzy sobą siłami wewnątrzjądrowymi. Inaczej mówiąc, podobnie jak atom jest związany w jedną całość polem elektromagnetycznym, w którym kąpią się jakby jądro i elektrony, tak i jądro związane jest w całość polem sił wewnątrzjądrowych, w którym kąpią się neutrony i protony. O siłach tych wiemy narazie tyle tylko, że działają one wyłącznie na bardzo małe odległości.

Z jądra można wytrącić protony i neutrony, ale znamy przecież i elektrony oraz pozytrony pochodzenia jądrowego: promienie β^- i β^+ . Otóż te elektrony i pozytrony nie zjawiają się podczas samych reakcji jądrowych, ale źródłem ich są nowe jądra powstające wskutek reakcji i pojawiają się one średnio dopiero po pewnym czasie. Czas opóźnienia emisji cząstki β może sięgać od ułamka sekundy do lat. A zatem powstające wskutek reakcji jądro jest sztucznie promieniotwórcze; jest ono w pierwszej chwili w stanie o energii wyższej niż normalnie i po pewnym czasie przechodzi w stan normalny, przy czym wybiega zeń elektron lub pozytron. Należy więc przypuścić, jak to pierwszy sformułował wyraźnie Fermi, że cząstka β powstaje właśnie w związku z przejściem jądra w stan o niższej energii, a nie istnieje we wnętrzu jądra.

Weźmy teraz pod uwagę jądro o numerze porządkowym Z i liczbie masowej A ; według naszego założenia składać się ono musi z Z protonów i $A-Z$ neutronów. Gdy z jądra wyrzucony zostaje elektron ujemny, to ze względu na podstawową zasadę zachowania ładunku elektrycznego, ważną bez zastrzeżeń zawsze, ładunek jądra musi wzrosnąć o 1; nowopowstałe jądro ma więc numer porządkowy $Z + 1$, a liczbę masową tę samą A . Jądro to ma zatem $Z + 1$ protonów i $A-Z - 1$ neutronów. A więc zmiana w porównaniu z jądrem wyjściowym polega na wzroście liczby protonów o 1 i zmniejszeniu się liczby neutronów o 1. Podobnie przy emisji pozytronu rośnie liczba neutronów o 1, liczba zaś protonów maleje o jeden. Ten stan rzeczy, jak i inne fakty, o których tu nie wspominamy, nasuwają przyjęty dziś powszechnie pogląd, że protony i neutrony są to dwa stany jednej i tej samej cząstki, którą nazwiemy nukleonem. Gdy nukleon jądrowy przechodzi ze stanu neutronowego w stan protonowy, powstaje elektron, unoszący ze sobą wyzwoloną energię; podobnie, gdy nukleon ze stanu protonowego przechodzi w stan neutronowy, zostaje wyrzucony pozytron.

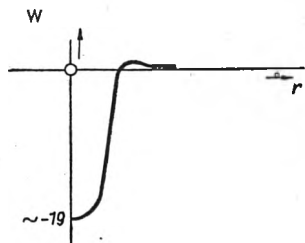
15. Siły wewnątrzjądrowe i energia wiązania jądra.

Najważniejszym zagadnieniem teorii jądra staje się teraz pole sił wewnątrzjądrowych, jego własności i natura. Siły te możemy badać dwoma sposobami: pośrednio, mierząc energie jąder o różnym składzie i znajdujących się w różnych stanach, i bezpośrednio, badając wzajemne działania nukleonów na siebie.

Tą drugą drogą poszli fizycy amerykańscy, rozporządzający urządzeniami, pozwalającymi uzyskiwać intensywne

wiązki protonów o energii kilkunastu MeV. Protony takie, przechodząc przez wodór, mogą przewyższyć odpychanie kulombowskie jąder wodoru (a więc również protonów) i zbliżyć się do nich na tak małą odległość, że powinno dać się wyraźnie odczuć działanie sił jądrowych. Działanie to można wykryć i poznać, badając rozkład natężeń rozproszonych przy przejściu przez warstwę wodoru protonów w zależności od kąta rozproszenia.

Mechanika falowa pozwala wyprowadzić wzór, dający tę zależność w wypadku działania samych sił kulombowskich. Doświadczenia, wykonane przez fizyków amerykańskich, wykazały, że między protonami prócz sił odpychających kulombowskich działają na małych odległościach siły przyciągające, jądrowe, zupełnie innej natury. Przebieg związanej z tymi siłami energii potencjalnej wzajemnej dwu protonów w zależności od ich odległości można przedstawić schematycznie krzywą na rys. 7. Jak widzimy, istnieje w tym wypadku głęboka studnia potencjału, ale dotychczasowe doświadczenia nad rozpraszaniem protonów przez protony nie pozwalają wyznaczyć dokładnie jej kształtu; można wyznaczyć dokładnie jedynie pole objęte krzywą na rysunku i z grubsza ocenić średnicę studni. Dopiero doświadczenia z protonami o energii o wiele większej niż stosowana dotychczas rzuca więcej światła na zależność sił jądrowych od odległości między nukleonami. Na tej drodze osiągnięto ostatnio duże postępy: w roku bieżącym (1947) ogłoszono pomiary rozpraszania protonów o energii 15 MeV na protonach.



Rys. 7. Zależność energii potencjalnej dwu protonów od odległości między nimi.

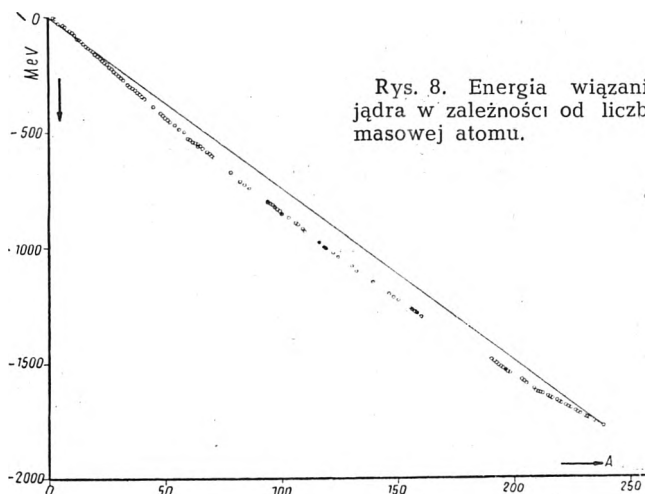
Bezpośrednie zbadanie na drodze analogicznej sił między neutronami a protonami jest o wiele trudniejsze, gdyż jeszcze przed kilku laty było rzeczą bardzo trudną wytwarzanie dostatecznie intensywnej i wąskiej wiązki neutronów (dzisiaj w wiązku z wyzwalaniem energii jądrowej na dużą skalę sprawa ta wygląda inaczej). W każdym razie dane doświadczalne wskazują, że siły jądrowe działające między protonami i neutronami są tegoż rzędu, co i siły między dwoma protonami. Dla uproszczenia będziemy więc mówić po prostu o siłach działających między dwoma nukleonami, zakładając, że i siły między dwoma neutronami są też tego samego rzędu, na co wskazują również dokładne pomiary mas jąder.

Weźmy mianowicie pod uwagę atom o numerze porządkowym Z i liczbie masowej A , który składa się z Z protonów oraz $A - Z$ neutronów. Ponieważ w atomowych jednostkach masa atomu wodoru wynosi 1,00813, masa zaś neutronu 1,00895, masa naszego atomu powinna wynosić:

$$Z \cdot 1,00813 + (A - Z) \cdot 1,00895 = A \cdot (1 + 0,00895 - \frac{Z}{A} \cdot 0,00082),$$

a zatem powinna przewyższać liczbę masową o nie całe 9 ‰. Pomiary mas atomów wykazują jednak, że dokładna masa atomu jest nawet nieco mniejsza od liczby masowej; tylko dla najlżejszych i najcięższych atomów masa jest nieco większa od liczby masowej. A zatem wszystkie atomy wykazują niedobór masy, rzędu 0,85%. Taką niedobór jest zupełnie zrozumiałą z punktu widzenia równoważności energii i masy. Jeśli mamy do czynienia z jakimkolwiek jądrem, jest ono silnie związane siłami wewnątrzjądrowymi. By jądro to rozdzielić na składowe nukleony, trzeba wykonać pracę przeciw tym siłom, a zatem energia rozdzielonych nukleonów jest większa od energii tych nukleonów związanych w jądrze. Tej nadwyżce energii odpowiada nadwyżka masy: suma mas składowych nukleonów musi być zatem większa od masy jądra. Niedobór masy jest więc po wyrażeniu go w jednostkach energii miarą energii wiązania. Ponieważ, okręgi biorąc, atomowa jednostka masy jest równa 1000 MeV (§ 5), więc niedobór masy wynosi, z grubsza biorąc, nieco ponad $8A$ MeV. Jest to wynik bardzo ważny; świadczy on o tym, że energia

wiązania jest z grubsza proporcjonalna do liczby nukleonów w jądrze; średnia energia wiązania na jeden nukleon wynosi, okręgi licząc, 8 MeV. Wyraźne odstępstwa od tej reguły występują dla najlżejszych i najcięższych jąder. W deuteronie energia wiązania jednego nukleonu wynosi zaledwie 1 MeV; w jądrach najcięższych średnia energia wiązania jednego nukleonu spada do około 7,7 MeV, a więc



Rys. 8. Energia wiązania jądra w zależności od liczby masowej atomu.

jądra te są słabiej związane od jąder lżejszych. Wynika stąd od razu, że łatwiej jest jądro najcięższe rozbić i łatwiej jest nukleonowi wydostać się z jego wnętrza.

Rys. 8 przedstawia zmierzone wartości energii wiązania jąder w MeV w zależności od liczby masowej. Dla najcięższych jąder całkowita energia wiązania jest rzędu 2000 MeV.

16. Objętość jądra i charakter sił wewnątrzjądrowych.

Dalsze światło na siły wewnątrzjądrowe rzucają nam dane co do rozmiarów jąder atomowych. Średnice jąder można określać z badań nad rozpraszaniem cząstek α (i neutronów) przez nie; zapoczątkował te badania Rutherford jeszcze w r. 1911. Im cząstka α bardziej zbliży się do jądra, tym bardziej zbczy ze swej drogi pod działaniem kulombowskiego odpychania jądra (cząstki α w kulombowskim polu jądra poruszają się po hyperbolach); ale dla największych kątów odchylenia liczby cząstek odchylnych nie zgadzają się z tymi, których należy oczekiwać na skutek działania sił kulombowskich. Ujawnia się tu wpływ sił wewnątrzjądrowych i z danych doświadczalnych można wywnioskować, jaki jest obszar działania tych sił, który utożsamiamy w przybliżeniu z jądrem. Takie przypisanie ostrej granicy jądra jest możliwe tylko dlatego, że siły wewnątrzjądrowe maleją bardzo szybko ze wzrostem odległości. Dane doświadczalne prowadzą do wniosku, że objętość jądra jest proporcjonalna w przybliżeniu do liczby masowej A : $V = C \cdot A$. Jeśli jądro uważać będziemy za kulę o promieniu R , to wobec tego $R = d \cdot A^{1/3}$, gdzie $d = 1,42 \cdot 10^{-13}$ cm.

Fakt, że energia wiązania jądra i jego objętość są proporcjonalne do liczby nukleonów w jądrze, nasuwa analogię do stosunków, jakie spotykamy w kropli cieczy. Kropla posiada określoną objętość, proporcjonalną do swej masy, a więc i do liczby zawartych w niej drobów. Innymi słowy, ciecz posiada określoną stałą gęstość. Na rozdzielanie drobów, to znaczy na odparowanie kropli, musimy zużyć energię cieplną również w ilości proporcjonalnej do liczby drobów w kropli. Energii wiązania jądra odpowiada ciepło skroplenia, wydzielane przy tworzeniu się kropli z pary. I w bryle ciała stałego napotykały podobne stosunki, ale bryłka taka posiada budowę makro- lub mikrokrystaliczną, a więc atomy są w niej ułożone w sposób prawidłowy, podczas gdy w jądrze raczej należy zakładać brak uporządkowania nukleonów, a więc analogię do stosunków panujących w cieczy.

Proporcjonalność ciepła skroplenia kropli cieczy oraz objętości kropli do ilości drobów w kropli wynikają z charakteru sił międzydrobinowych. Są to tzw. siły van der Waalsa, działające tylko na bardzo małych odległościach i bardzo szybko malejące w miarę wzrostu odległości między drobinami. Każda drobina cieczy podlega działaniu

tylko drobin sąsiednich, zawartych w „sferze działania” danej drobin. Wobec tego średnia energia wiązania przypadająca na drobinę jest zupełnie określona i nie zależy od objętości kropli. Inaczej byłoby, gdyby w miarę wzrostu odległości drobin siły międzydrobinowe malały powoli tylko; wówczas nie można by mówić o określonej sferze działania i energia wiązania zależałaby od liczby par drobin w kropli, a więc rosłaby o wiele szybciej, niż liczba drobin. Analogia pomiędzy jądrem atomowym a kroplą cieczy jest więc wywołana przez to, że siły wewnątrzjądrowe przypominają siły van der Waalsa tym, że mają bardzo mały zasięg, mały nawet w porównaniu z wymiarami jądra (zwłaszcza ciężkiego), inaczej mówiąc, że bardzo szybko maleją w miarę wzrostu odległości między nukleonami, co pozwala mówić o sferze działania tych sił.

17. Dokładniejsza analiza energii wiązania jąder.

Rozpatrzmy jeszcze nieco dokładniej energię wiązania jądra, zawierającego A nukleonów, w tym Z protonów. Przypuścimy, że nukleony są kulami, ułożonymi możliwie najciaśniej; wtedy każda kula styka się z dwunastu innymi. Obliczając energię wiązania jądra, trzeba uwzględnić działania tylko między wziętym pod uwagę nukleonem i jego bezpośrednimi sąsiadami. Będziemy zakładali w dalszym ciągu, że siły wewnątrzjądrowe nie zależą od stanu nukleonu, a więc od tego, czy jest on protonem, czy neutronem. Oznaczmy przez $-W_0$ energię potencjalną wiązania dwu sąsiadujących bezpośrednio ze sobą nukleonów. Dla wiązania każdej z 12 par nukleonów, które należy brać pod uwagę, połowa energii przypada na nukleon środkowy, połowa — na nukleon stykający się z nim. A zatem całkowita energia wiązania przypadająca na nasz wzięty pod uwagę nukleon wynosi $-6W_0$. Całkowita energia wiązania jądra wynosi zatem $-6W_0A$. Ale musimy tu uwzględnić dwie ważne poprawki. Podobnie jak kropla cieczy, tak i nasze jądro „kropelowe” posiada powierzchnię, na której występuje odpowiednik napięcia powierzchniowego cieczy. Każdy z nukleonów na powierzchni jądra styka się bezpośrednio tylko z sześciu innymi, leżącymi w głębi cieczy, po drugiej zaś stronie powierzchni nie ma już nukleonów. Wynika stąd, że na nukleon powierzchniowy przypada energia wiązania mniejsza, wynosząca tylko $-3W_0$; na każdy nukleon powierzchniowy mamy więc niedobór ujemnej energii wiązania, wynoszący $3W_0$. Oznaczmy średnią odległość pomiędzy nukleonami w jądrze przez a ; wówczas grubość warstwy powierzchniowej jądra jest równa a . Jeśli promień jądra oznaczmy przez R , to objętość warstwy powierzchniowej jest $4\pi R^2a$. Wobec tego zawiera ona $\frac{4\pi R^2a}{\frac{4}{3}\pi R^3} \cdot A = \frac{3a}{R} \cdot A$ nukleonów. A więc poprawka energii ze względu na „napięcie powierzchniowe” jądra wynosi $+9 \frac{a}{R} \cdot A W_0$. Musimy ponad to uwzględnić jeszcze energię potencjalną kulombowskich sił wzajemnego odpychania się protonów. Można by ją wyliczyć, biorąc pod uwagę, że w jądrze mamy Z protonów, a więc $\frac{Z(Z-1)}{2}$ par protonów, i obliczając

średnią energię jednej pary. Prościej i z wystarczającą dokładnością obliczymy jednak tę energię, zakładając, że ładunek Ze jądra rozkłada się równomiernie w całej jego objętości, że jądro stanowi zatem kulę, której ładunek rozłożony jest ze stałą gęstością objętościową. Energia potencjalna takiej kuli wynosi według wzoru wyprowadzonego w elektrostatyce $\frac{3}{5} \frac{Z^2 e^2}{R}$, gdzie R oznacza znów promień kuli.

A zatem całkowita energia wiązania jądra wynosi

$$W = -6W_0A + 9 \frac{a}{R} W_0A + \frac{3}{5} \frac{Z^2 e^2}{R}$$

średnia energia wiązania na jeden nukleon wynosi zatem

$$W_1 = \frac{W}{A} = -6W_0 + \frac{9a}{R} W_0 + \frac{3}{5} \frac{Z^2 e^2}{AR}$$

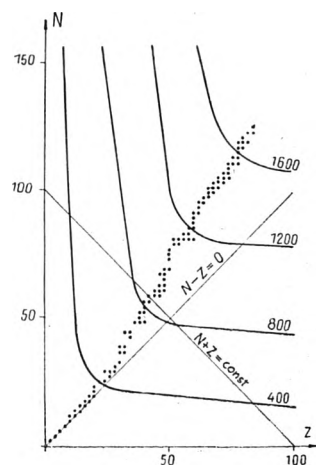
Ponieważ $R \propto A^{1/3}$ oraz $Z \propto A$, mamy ostatecznie:

$$W_1 = -w_1 + w_2 A^{-1/3} + w_3 A^{2/3},$$

gdzie w_1, w_2 i w_3 oznaczają pewne stałe

Dane, dotyczące energii wiązania wszystkich znanych jąder, można przedstawić dokładniej, niż na rys. 8, przy pomocy tzw. powierzchni energii. Powierzchnię tę budujemy w sposób następujący. W płaszczyźnie poziomej na dwu do siebie nawzajem prostopadłych osiach odkładamy liczbę protonów w jądrze Z i liczbę neutronów w jądrze $N = A - Z$. Dla każdego znanego trwałego czy promie-

niotwórczego jądra odkładamy pod tą płaszczyzną poziomą jego ujemną energię wiązania, równoważną niedoborowi masy, znanemu z danych doświadczalnych. Powierzchnia energetyczna otrzymana w ten sposób przedstawiona jest warstwicowo na rys. 9.



Rys. 9. Warstwicowy obraz powierzchni energetycznych (energia wiązania jądra w zależności od liczby protonów i liczby neutronów w jądrze).

Jak widać z warstwic, powierzchnia energetyczna stanowi rodzaj wąwozu czy rynny, opadającej ku dołowi w miarę wzrostu N i Z . Na dnie rynny leżą jądra najtrwalsze o największym niedoborze masy, na jej bokach wznoszących się ku górze rozmieszczone są jądra nietrwałe o sztucznej promieniotwórczości. W jądrach najtrwalszych mamy w miarę wzrostu liczby masowej coraz większą nadwyżkę protonów nad neutronami ($N - Z = A - 2Z$); dla uranu $N - Z = 46$; w najlżejszych jądrach $N = Z$. Powstanie nadwyżki neutronów jest jakościowo jasne. W ciężkich jądrach mamy znaczne ilości protonów; ich siły wzajemnego odpychania rozsadzają jądro, trzeba je więc skompensować pewną nadwyżką neutronów, która prowadzi do zwiększenia energii wiązania jądra. Dla najlżejszych jąder trwałych mamy $N = Z$; dla jąder tych wpływ sił kulombowskich jest stosunkowo słaby, wnioskujemy stąd zatem, że w nieobecności ładunków elektrycznych jądra najsilniej związane miałyby $N = Z$. Wyciągamy stąd z kolei wniosek, że siły wewnątrzjądrowe między neutronami a protonami muszą być nieco większe od sił tej samej natury, działających między dwoma protonami czy też dwoma neutronami. Założenie takie stanowi już nieco lepsze przybliżenie w porównaniu z naszym pierwotnym założeniem, że z punktu widzenia sił wewnątrzjądrowych jest rzeczą obojętną, czy mamy do czynienia z neutronem, czy z protonem.

Jeżeli przetniemy powierzchnię energii płaszczyzną $N + Z = A = \text{const.}$, wzdłuż linii przecięcia ułożą się tzw. izobary. Linie te mają w przybliżeniu kształt paraboli, dla lekkich jąder osi ich symetrii będzie prosta przecięcia płaszczyzny tej z płaszczyzną $N - Z = 0$. Wyciągamy stąd wniosek, że przy niedbaniu o siły kulombowskie możemy energię wiązania na jeden nukleon ująć przybliżonym wzorem:

$$w_1 = 6 \cdot W_0 \cdot \left\{ 1 - \gamma \frac{(N - Z)^2}{(N + Z)^2} \right\}$$

Jest to równanie paraboli przecięcia o osiach w_1 i $(N - Z)/(N + Z)$; ponieważ w_1 zależy tylko od stosunku N/Z , dzielimy $(N - Z)$ przez $(N + Z)$. Ostatecznie zatem nasz wzór na energię wiązania należy w drugim przybliżeniu napisać w postaci:

$$W_1 = -6W_0 \cdot \left\{ 1 - \gamma \frac{(N - Z)^2}{(N + Z)^2} \right\} + 9 \frac{a}{R} W_0 + \frac{3}{5} \frac{Z^2 e^2}{AR}$$

Dane doświadczalne pozwalają wyznaczyć wartości stałych, figurujących w tym wzorze, tak, że przybiera on postać liczbową następującą (W_1 wyrażone w MeV):

$$W_1 = -14.66 \left\{ 1 - 1.40 \cdot \left(\frac{A - 2Z}{A} \right)^2 \right\} + 15.4 A^{-1/3} + 0.602 A^{-4/3} Z^2.$$

Najtrwalsze jądra znajdziemy stąd przy stałym A z warunkunku $\frac{dW_1}{dZ} = 0$.

18. Analogia pomiędzy siłami wewnątrzjądrowymi a siłami chemicznymi.

Dokładna analiza energii wiązania izotopów trwałych ujawnia pewne dalsze cechy sił wewnątrzjądrowych. Oka-

zuje się mianowicie, że najsilniej związane są jądra o parzystej liczbie i neutronów i protonów; odwrotnie, najsłabiej związane są jądra o nieparzystej liczbie i protonów i neutronów; jądra takie są z nielicznymi wyjątkami nietrwałe. Pośrednie stanowisko zajmują jądra parzysto-nieparzyste (parzyste Z i nieparzyste N lub odwrotnie).

Ten stan rzeczy prowadzi do pewnej modyfikacji poglądów na charakter sił wewnątrzjądrowych. Rozważania oparte na mechanice falowej prowadzą do wniosku, że siły wewnątrzjądrowe przypominają swym charakterem te siły (będziemy je nazywać chemicznymi), które wiążą ze sobą atomy w drobinie. Siły chemiczne wykazują pewną podstawową cechę charakterystyczną, a mianowicie ulegają one wysyceniu. Np. w drobinie wody H_2O mamy atom tlenu związany z dwoma atomami wodoru; wartościowość tlenu jest wysyciona, a więc nie może on już wiązać dalszych atomów. Analogiczna sytuacja panuje w jądrze. Dokładne dane co do energii wiązania jąder wskazują na to, iż każdy proton może wiązać co najwyżej dwa neutrony i, odwrotnie, każdy neutron dwa protony. Tym się tłumaczy rola liczby dwa w budowie jądra i wyróżnienie jąder parzysto-parzystych; w jądrach tych mianowicie wszystkie „wartościowości” protonów i neutronów zostają wykorzystane.

Szczególnie silnie związane jest jądro helu (cząstka α). Energia jego wiązania wynosi aż 28,2 MeV; wiązanie dwu protonów i dwu neutronów w cząstkę α jest więc energetycznie bardzo korzystne. Tym się tłumaczy wyrzucanie cząstek α przez jądra promieniotwórcze. Cząstka α tworząca się w jądrze ma do rozporządzenia dużą energię kinetyczną, która w słabiej związanych ciężkich jądrach pozwala jej wyostać się „tunelowo” z jądra.

Siły chemiczne wywodzą się, jak wykazuje mechanika falowa, z pola kulombowskiego pomiędzy elektronami i jądrami atomów. Weźmy najprostszą drobinę, H_2 ; mamy w niej dwa atomy wodoru związane właśnie siłami chemicznymi. Każdy atom jest z punktu widzenia mechaniki falowej układem stojących fal materii, ale w drobinie wodoru mamy dwa układy takie, identyczne i działające jeden na drugi siłami przyciągania elektrycznego. W tych warunkach występuje zjawisko rezonansu, które spowoduje okresowe narastanie i słabnięcie drgań każdego z układów — podobnie jak to obserwujemy w znanym doświadczeniu z dwoma jednakowej długości wahadłami. Tego rodzaju zmiany amplitud drgań można opisać w następujący sposób: układ dwu atomów wykonuje właściwie dwa drgania o stałych amplitudach, lecz różnych częstotliwościach, nakładające się na siebie. Częstotliwość jednego z tych drgań jest nieco większa od częstotliwości drgań każdego z układów branych oddzielnie, częstotliwość drugiego nieco mniejsza. Ponieważ w mechanice falowej częstotliwościom drgań fal materii odpowiadają ustalone energie układów, drobiną może zatem istnieć w dwu określonych stanach energetycznych. Gdy zbadamy zależności energii tych stanów od odległości pomiędzy atomami, okazuje się, że jeden z nich odpowiada przyciąganiu się atomów, a więc tworzeniu się drobin, drugi odpychaniu, a więc nie ma znaczenia dla wytłumaczenia sił chemicznych. Siły chemiczne wprowadzone w ten sposób okazują wysycenie także właśnie, jakiego wymaga ich charakter. Wysycenie to wiąże się z tym, że kręty dwu elektronów drobin H_2 muszą mieć zwroty wprost przeciwne.

Zobaczmy jeszcze, jak wyglądają siły chemiczne w obrazie korpuskularnym; weźmy dla uproszczenia jon H_2^+ , a więc dwa protony i jeden tylko elektron. Otóż elektron ten może być równie dobrze związany z jednym, jak i z drugim protonem; w zjonizowanej drobinie wodoru elektron ten wędruje od jednego protonu do drugiego. W ten sposób następuje wymiana pędu i energii pomiędzy dwoma atomami, z których składa się drobiną — ale zmiana pędu atomu jest równoważna działaniu siły. A więc siły wiążące drobinę H_2^+ mogą być nazwane siłami wymiennymi, gdyż uwarunkowane są przez ciągłą wymianę elektronu pomiędzy jej atomami.

Pole kulombowskie można też, jak pokazał Dirac, rozpatrywać jako pole sił wymiennych. Weźmy pod uwagę np. dwa elektrony w ruchu; każdy z nich znajduje się w elektromagnetycznym polu drugiego i podlega działaniu sił tego pola. Tak więc wzajemne działanie elektronów na siebie odbywa się za pośrednictwem pola elektromagnetycznego. Ale sprzężenie elektronów z polem elektroma-

gnetycznym oznacza z punktu widzenia korpuskularnego możliwość emitowania przez jeden z elektronów fotonu, który zostaje pochłonięty przez drugi. W związku z tym siły wzajemnego oddziaływania na siebie elektronów dają się sprowadzić do wymiany pędu za pośrednictwem „wirtualnych” (możliwych) fotonów. W analogiczny sposób można też opisać i statyczne pole kulombowskie między elektronami. Fotony wirtualne nie są czymś rzeczywiście istniejącym — jest to tylko możliwość opisu; energia, wyzwalamąca się przy przejściach atomu z jednego stanu energetycznego do drugiego, ujawnia się już jednak w istnieniu fotonów rzeczywistych. Fotony wirtualne można nazwać korpuskularnym ujęciem pola elektromagnetycznego.

19. Teoria pola sił wewnątrzjądrowych: mezony.

Fermi pierwszy spróbował zastosować powyższy sposób opisu wzajemnych działań cząstek na siebie do wyjaśnienia natury sił wewnątrzjądrowych. Siły te nie dadzą się sprowadzić do pola elektromagnetycznego; Fermi założył zatem istnienie specjalnego pola, którego korpuskularnym ujęciem były u niego pary wirtualnych cząstek — elektronów i tzw. neutrynów, do których za chwilę powrócimy, omawiając teorię promieni β .

Teoria Fermiego nie dała wprawdzie zadowalających wyników, myśl jej przewodnia została jednak w roku 1935 przejęta w zmodyfikowanej formie przez japończyka Yukawę, który założył, że siły wewnątrzjądrowe z punktu widzenia korpuskularnego sprowadzają się do wymiany pędu pomiędzy nukleonami za pośrednictwem hipotetycznych wirtualnych cząstek o masie pośredniej między masami protonu a elektronu. Cząstki te nazwano później mezonami. Yukawa zakładał istnienie mezonów dodatnich i ujemnych; gdy proton wysłał mezon dodatni, staje się neutronem, gdy neutron wysłał mezon ujemny — staje się protonem. Mezonowi należało przypisać masę około 200 razy większą od masy elektronu, by wytłumaczyć bardzo mały zasięg sił wewnątrzjądrowych; ponad to należało mu przypisać kręt równy $h/2\pi$.

Teoria Yukawy wyglądała początkowo bardzo abstrakcyjnie, jednak już w 1936 r. zwróciła ona na siebie powszechną uwagę, gdyż w roku tym wykryto dowody istnienia w promieniowaniu kosmicznym cząstek naładowanych, zachowujących się tak właśnie, jak hipotetyczne mezony Yukawy.

Liczny szereg prac, poświęcony mezonom w czasie dziesięciu lat ostatnich, nie doprowadził jednak do całkowitego wyjaśnienia sytuacji. Dzisiaj nie ulega już wprawdzie wątpliwości istnienie mezonów w promieniowaniu kosmicznym; wiemy dalej, że są to cząstki nietrwałe, których średni czas życia jest rzędu $2 \cdot 10^{-8}$ sekundy. Jednak wszelkie wysiłki teoretyków, zmierzające do sprowadzenia sił wewnątrzjądrowych do wymiany wirtualnych mezonów pomiędzy nukleonami, nie dały właściwie wyników zadowalających, tak że sprawa natury sił wewnątrzjądrowych jest wciąż jeszcze nader ciemna, choć niewątpliwie teoria mezonowa tych sił zawiera w sobie część prawdy.

Wiele światła będzie można rzucić na te sprawy z chwilą, gdy potrafimy wytworzyć szybkie elektrony i jony o energiach rzędu kilkuset MeV, co będzie możliwe w ciągu niedługiego czasu, gdy zostanie ukończona rozpoczęta już budowa wielkich betatronów i synchrotronów (§ 9). Masa spoczynkowa mezonu w jednostkach energetycznych wynosi około 100 MeV, a więc jądro może emitować mezony dopiero wówczas, gdy ma ono do rozporządzenia energię tego rzędu lub większą. Gdy zatem będziemy rozporządzać elektronami o energii kilkuset MeV i cząstkami ciężkimi o energii 100 MeV, które dadzą nowy cyklotron kalifornijski oraz budowane obecnie synchrotrony, wówczas będzie prawdopodobnie możliwe wytwarzanie sztucznych mezonów w dużych ilościach, co rzuci nowe światło na ich naturę.

20. Hipoteza istnienia neutryna.

Należy tu jeszcze wspomnieć o dzisiejszych poglądach na promienie β . Wyniki doświadczalne badań nad tymi promieniami były niezrozumiałe z punktu widzenia teorii. Okazało się przede wszystkim, że wbrew wymaganiom teorii kręt nie zostaje zachowany przy emisji promieni β . W mechanice falowej wyrażamy kręt w jednostkach $h/2\pi$ (§ 6); w jednostkach tych kręt elektronów jest równy $\frac{1}{2}$. Gdy jednak jądro o kręcie całkowitym wyrzuci elektron β , jądro nowopowstałe posiada, jak pokazują dane doświad-

czalne, znów kręt całkowity, wbrew zasadzie zachowania krętu. Dalej, przy emisji cząstek β jądro początkowe i jądro końcowe posiadają każde zupełnie określoną energię, jednak energia emitowanych elektronów nie jest równa różnicy tych dwu energii, a przeciwnie elektrony β posiadać mogą wszelkie wartości energii pomiędzy 0 a tą różnicą. Sprawa wygląda więc tak, jak gdyby i zasada zachowania energii nie była spełniona w promieniowaniu β , gdyż najdokładniejsze badania wykazały, że przy przemianie β prócz elektronów nie powstają żadne inne promieniowania, których energia dałaby się uchwycić i zmierzyć. Tak więc stoimy wobec faktu, że energia wyzwolona w przemianie β jest wyraźnie większa od całkowitej energii promieni β , wyrzucanych w czasie tej przemiany, i nie widać, co się dzieje z resztą tej rozporządzonej energii.

W związku z tymi trudnościami, które skłoniły pewnych teoretyków nawet do powątpiewania w słuszność zasady zachowania energii w zjawiskach jądrowych, Pauli (teoretyk szwajcarski) wysunął hipotezę, że promieniowanie β polega na równoczesnym wyrzuceniu z jądra prócz elektronu czy pozytronu hipotetycznej cząstki, neutryna. Neutrony byłyby cząstką o znikomym małej masie spoczynkowej i elektrycznie obojętną, a więc nadzwyczaj przenikliwą i nieuchwytną. Wszelkie metody pomiaru energii wypromieniowanej z jądra nie uwzględniają neutryn, które są dla nich nieuchwytnie i stąd powstaje pozorny według Paulego niedobór energii. Suma energii elektronu i neutryna, wyrzuconych jednocześnie z jądra, jest zawsze stała, równa rozporządzonej energii jądra, lecz energia ta może bardzo rozmaicie rozkładać się pomiędzy elektron a neutryno. Neutryno przypisujemy kręt $\frac{1}{2} \cdot h/2\pi$, a w ten sposób zasada zachowania krętu zostaje spełniona.

Hipotezę neutryn wiąże się dzisiaj z teorią mezonów. Zakładamy mianowicie, że energia jądrowa, wyzwolona przy przejściu jądra atomu wysyłającego promienie β w stan o niższej energii, ujawnia się zasadniczo w postaci mezonu. Dopóki jednak energia ta jest mniejsza od około 100 MeV, nie wystarcza ona na sformowanie mezonu rzeczywistego; powstaje jedynie mezon wirtualny, rozpadający się natychmiast na elektron (czy pozytron) i neutryno. Dopiero przy rozporządzonej energii rzędu 100 MeV można byłoby spodziewać się powstania rzeczywistych mezonów.

Hipoteza neutryn nie może być uważana za zadowalającą, dopóki nie potrafimy wykazać doświadczalnie w jakiś sposób istnienia neutryna. Bezpośrednie uchwycenie neutryna jest, z uwagi na jego przypuszczalne własności, sprawą raczej beznadziejną; dowodów jego istnienia szuka się na drodze pośredniej. Chodzi o to, że układ, złożony z jądra atomu, elektronu i neutryna, musi prócz zasady zachowania energii spełniać również zasadę zachowania pędu. Jeżeli jądro początkowo było w spoczynku, pęd jego był równy zeru; suma pędów elektronu β , neutryna i pozostałego jądra musi zatem być równa zeru. Neutryno musi posiadać określoną pęd, a wobec tego suma pędów jądra atomu i elektronu musi być różna od zera. Ale dokładny pomiar pędu jądra, odskakującego wstecz przy emisji β , jest rzeczą nader trudną, zwłaszcza gdy mamy do czynienia z ciężkimi jądrami ciał naturalnie promieniotwórczych. Najbardziej obiecujące wydaje się do tego celu oparcie się na przemianach K , a więc na chwytności elektronów z najgłębszych warstw elektronowych atomu przez jądro. I takiemu chwytności elektronu towarzyszyć musi wyrzucenie neutryna, bilansującego energię i kręt. Otóż elektron K posiada pęd znikomym mały wobec pędu wyrzuczonego neutryna. Gdyby nie było tego neutryna, jądro atomu nie doznałoby zatem dostrzegalnego odskoku. Fakt, że jądro doznaje odskoku przy przemianie K jest już zatem poważną poszlaką istnienia neutryna. Allen, fizyk amerykański, zmierzył w r. 1941 odskoki jąder berylu, doznających przemiany K (chodzi, oczywiście, o możliwie lekkie jądro); okazało się, że odskoki te nie tylko istnieją, ale i wartości ich są takie, jakie powinny być w wypadku istnienia neutryna. Doświadczenia Allena stanowią dzisiaj najbardziej bezpośredni dowód istnienia neutryna.

21. Reakcje jądrowe z punktu widzenia modelu kropłowego jądra.

Jądro, zwłaszcza pierwiastka ciężkiego, możemy w pierwszym przybliżeniu uważać za kroplę cieczy jądrowej. Ciecz ta bardzo się oczywiście różni od wszystkich nam znanych, gdyż wiążącymi siłami są w niej nie siły van der Waalsa,

lecz miliony razy od nich większe siły wewnątrzjądrowe. Gęstość cieczy jądrowej jest niesłychanie wielka — około $1,4 \cdot 10^{14}$ g/cm³; możemy jej również przypisać określoną temperaturę. (Należy oczywiście zdawać sobie sprawę z tego, że jest to tylko obraz przybliżony, gdyż w jądrze najcięższego nawet atomu znajduje się jeszcze zbyt mało nukleonów na to, by można było ściśle stosować zwykle pojęcia termodynamiczne). Gdy do wnętrza jądra-kropki dostanie się z zewnątrz cząstka materialna (neutron, proton, deuteron czy cząstka α), zostaje ona związana, tak że powstaje chwilowo „jądro złożone”. Wyzwala się przy tym energia wiązania w postaci energii kinetycznej, która rozkłada się równomiernie pomiędzy wszystkie nukleony jądra złożonego i przetwarza się wobec tego w energię cieplną. Jądro złożone, powstające przez wchłonięcie cząstki materialnej, ma zatem wysoką temperaturę — można ocenić jej wysokość, na dziesiątki miliardów stopni. Temperatura jądra podnosi się również i wtedy, gdy wchłania ono fotony γ .

Energię cieplną jądra-kropki można uważać za energię jego drgań, podobnie jak w teorii ciepła właściwego ciał stałych traktujemy energię cieplną kryształu jako sumę energii wszelkich możliwych jego drgań. Innymi słowy, wzrost temperatury jądra polega na tym, że kropka cieczy jądrowej zostaje pobudzona do znacznie bardziej energicznych drgań. Skutkiem tych drgań któryś z nukleonów może uzyskać chwilowo energię kinetyczną wystarczającą do wydostania się z jądra; najłatwiej będzie wydostać się, oczywiście, neutronowi, albowiem proton, czy cząstka α muszą wydostać się „tunelem” przez wał potencjału. Ale rozżarzona kropka może również promieniować; promieniowanie polega w tym wypadku na wysyłaniu fotonów γ . Istnieją zatem różne możliwości utraty energii przez rozżarzone jądro i prawdopodobieństwa tych różnych możliwych procesów są różne. Najczęściej, oczywiście, nastąpi proces najbardziej prawdopodobny.

Sięgając do analogii ze zwykłą cieczą, powiemy, że przedostawanie się cząstek materialnych do wnętrza jądra jest procesem analogicznym do skraplania pary na powierzchni kropki cieczy. Energia wiązania cząstki — to odpowiednik ciepła skraplania, które podnosi temperaturę kropki. Kropka cieczy o temperaturze wyższej od otoczenia utraci po pewnym czasie swą nadwyżkę ciepła, ostygnie, bądź przez promieniowanie (podczerwone, gdy temperatura nie jest zbyt wysoka, widzialne w temperaturach wyższych), bądź przez parowanie, połączone z pochłanianiem ciepła parowania. Analogicznie możemy powiedzieć, że jądro złożone, powstające wskutek wchłonięcia cząstki materialnej, może utracić swą nadwyżkę energii bądź przez promieniowanie, bądź przez „wyparowanie” cząstki materialnej. Z tego punktu widzenia reakcje jądrowe zachodzą dwoma etapami: pierwszy to związanie, „skroplenie” cząstki bombardującej, drugi — to „wyparowanie” jakiejś cząstki z jądra.

Gdy do wnętrza jądra przenika cząstka o dużej energii, wówczas temperatura jądra złożonego jest tak wysoka, iż „wyparowuje” ono nie jedną, lecz dwie lub więcej nawet cząstek. Znamy np. szereg reakcji typu $(n, 2n)$, w których jądro wchłania szybki neutron, a wyrzuca dwa neutrony powolniejsze. Cząstka wyparowana może być tej samej natury, co wchłonięta. Gdy np. jądro bombardujemy neutronami, neutron może zostać wchłonięty i następnie może zostać wyrzucony znów neutron. Jeśli neutron wyrzucony ma mniejszą energię kinetyczną, niż wchłonięty, mówimy wówczas o nie sprężystym rozpraszaniu neutronów przez jądro. Gdy neutron wyrzucony ma tę samą energię, mówimy o rozpraszaniu neutronów anormalnym. Chodzi o to, że przy rozpraszaniu normalnym neutron ulega tylko zderzeniu sprężystemu z jądrem, przy czym ze względu na dużą masę jądra zachowuje niemal bez zmiany swą energię. Rozpraszanie anormalne różni się od normalnego, sprężystego innym rozkładem kątowym neutronów rozproszonych.

Gdy energia cząstki wchłanianej jest bardzo duża, gdy więc temperatura jądra kropki staje się nawet w skali jądrowej bardzo wysoka, cała kropka może wyparować, czyli innymi słowy może nastąpić wówczas wybuchowy rozpad jądra na części składowe. W przyrodzie istnieją cząstki o energiach dostatecznie wielkich do wywołania tego zjawiska; są to cząstki kosmiczne, a w szczególności mezony promieni kosmicznych. W roku 1945 fizyk radziecki Żdanow otrzymał fotografię takiego typu wybuchu jądra atomu w emulsji fotograficznej, w którym jądro równocześnie wy-

zruciło 35 cząstek jonizujących. Prawdopodobnie chodziło tu o wybuchowy rozpad jądra bromu ($Z = 35$).

Gdy jądro traci swą nadwyżkę energii przez promieniotwórczość γ , wówczas uzyskujemy w wyniku reakcji jądro o większej masie. Tego typu jest często spotykana reakcja jądrowa (n, γ).

IV. NOWY TYP REAKCJI JĄDROWEJ — PĘKNIĘCIE JĄDRA.

22. Wykrycie reakcji pęknięcia jądra uranu.

Omówione wyżej reakcje jądrowe (z wyjątkiem może reakcji wybuchowego wyparowania jądra, które jednak wywoływane są tylko przez cząstki kosmiczne o energiach dzisiaj nie osiągalnych w warunkach ziemskich) nie nadają się do wyzwalań energii wewnątrzjądrowej ze względu na swą bardzo małą wydajność (§ 13). W tym stanie rzeczy aż do roku 1939 wykorzystywanie energii jądrowej w warunkach ziemskich na wielką skalę wydawało się — jeśli w ogóle było by możliwe — sprawą dalekiej przyszłości. Jednakże sytuacja uległa całkowitej zmianie z chwilą wykrycia nowego typu reakcji jądrowych, dokonanego pod koniec 1938 r. przez badaczy niemieckich Hahna i Strassmanna. Badacze ci od kilku lat zajmowali się pierwiastkami o sztucznej promieniotwórczości, powstającymi na skutek bombardowania uranu neutronami.

Już Fermi w 1933 r. zauważył sztuczną promieniotwórczość uranu, wywołaną przez neutrony, ale okazało się od razu, że promieniotwórczość ta ma charakter znacznie bardziej skomplikowany, niż u innych pierwiastków. Fermi i inni badacze przypuszczali początkowo, że wskutek kilku następujących po sobie rozpadów pobudzonego do sztucznej promieniotwórczości jądra uranu powstaje szereg tzw. „transuranów”, czyli pierwiastków o numerze porządkowym wyższym od uranu, a więc mających $Z > 92$. Systematyczne badania Hahna i Strassmanna doprowadziły jednak w roku 1938 do wykazania z całą pewnością, iż jednym z ciał powstających wskutek bombardowania uranu neutronami jest bar, a więc pierwiastek leżący mniej więcej w połowie tablicy układu naturalnego.

Praca Hahna i Strassmanna, ogłoszona w początku stycznia 1939 r., wzbudziła olbrzymie zainteresowanie. Chodziło tu niewątpliwie o zupełnie nowy typ reakcji. Już w parę tygodni po tej pierwszej publikacji Frisch i Liza Meitner, emigranci niemieccy, pracujący wówczas w Kopenhadze u Bohra, podali właściwą interpretację obserwacji Hahna i Strassmanna. Chodziło tu mianowicie ich zdaniem o pęknięcie (rozszczenie się) jądra złożonego, powstałego z uranu skutkiem wchłonięcia neutronu. Jądro to rozszczepiało się na dwa niemal równej masy odłamki, z których jednym było właśnie jądro baru.

Interpretacja ta, zakomunikowana przez Bohra, bawiącego wówczas w Stanach Zjednoczonych, na zjeździe fizyków amerykańskich, pobudziła ich do gorączkowej działalności. W ciągu najbliższego miesiąca interpretacja Frischa i L. Meitner została potwierdzona całkowicie przez prace, wykonane w kilku laboratoriach w Stanach Zjednoczonych oraz przez Joliotę i współpracowników w Paryżu. W dalszym ciągu w r. 1939 w coraz szybszym tempie ukazał się liczny szereg prac z ważniejszych laboratoriów fizycznych całego świata: Stanów Zjednoczonych, Anglii, Francji, Niemiec, Włoch, Z. S. R. R., Danii, Holandii, Polski. W ciągu 1939 r. ukazało się już około 100 prac, poświęconych pękaniu jąder uranu i toru (tor zachowuje się analogicznie do uranu). Wybuch wojny nie zmniejszył początkowo w sposób widoczny tempa pojawiania się nowych prac, ale poczynając od połowy 1940 r. raptownie przestały się ukazywać prace fizyków amerykańskich i angielskich, poświęcone temu tematowi. W latach 1941 — 1943 ukazało się jeszcze kilka prac niemieckich, poświęconych stronie raczej chemicznej niż fizycznej zjawiska, aż wreszcie w latach 1944-45 temat ten niemal zniknął z czasopism fizycznych całego świata.

Rok 1945 przyniósł, jak wiemy, dramatyczne wyjaśnienie tego stanu rzeczy. Poczynając od roku 1940 stało się rzeczą jasną, że pęknięcie jąder uranu może być wykorzystane do wyzwalań energii jądrowej w wielkich ilościach, i wobec tego państwa wojujące, zwłaszcza Stany Zjednoczone i Wielka Brytania (za na znacznie mniejszą skalę i później — Niemcy), rozpoczęły zakrojone na wielką skalę prace nad wykorzystaniem tej energii do celów

wojennych. W rezultacie wyniki dalszych badań nad pękaniem jąder uranu stały się zazdrośnie strzeżoną tajemnicą państwową. Ten stan rzeczy trwa jeszcze po dziś dzień, tym bardziej, że, jak powszechnie wiadomo, prace zespołu fizyków amerykańsko - angielsko - kanadyjskich doprowadziły do konstrukcji bomby atomowej.

Jednakże prace, które ukazały się w ciągu pierwszych 18 miesięcy od wykrycia zjawiska pęknięcia jądra uranu, zawierają już wszystkie dane zasadnicze, pozwalające nader dokładnie zorientować się w możliwościach wykorzystania energii wewnątrzjądrowej na skalę techniczną. Dużo danych zawiera również raport urzędowy amerykański H. D. Smytha o zastosowaniu energii atomowej do celów wojennych. Z raportu tego skorzystamy w dalszym ciągu obszernie.

23. Teoria Bohra-Wheelera.

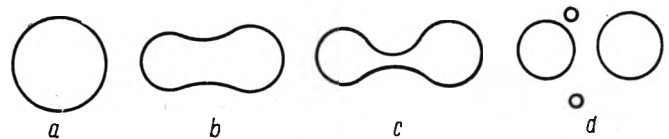
Pierwszą próbę teoretycznego ujęcia pęknięcia jądra atomu uranu podali Bohr i Wheeler we wrześniu 1939 r. Rozpatrywali oni zjawisko to z punktu widzenia modelu jądra-kropki. Gdy jądro ciężkie wiąże neutron, wyzwala się energia (§ 11). Przeciętna energia wiązania nukleonu w takim jądrze wynosi około 7,7 MeV, dokładniejsza dyskusja prowadzi jednak do wniosku, że energia, wyzwolona przy związaniu neutronu w bardzo ciężkim jądrze złożonym, zwłaszcza nieparzysto-nieparzystym lub nieparzysto-parzystym, jest wyraźnie mniejsza, co stoi w związku z charakterem niby chemicznym sił wewnątrz jądrowych.

Energie wiązania neutronów W_n w najcięższych jądrach przejściowych (złożonych), tworzących się przez pochwylenie neutronu, są według Bohra i Wheelera takie, jak podano w tabl. I.

Tablica I.

$U_{92}^{234} - 6,4 \text{ MeV}$	$Th_{90}^{233} - 5,2 \text{ MeV}$
$U_{92}^{236} - 6,4 \text{ „}$	$Pa_{91}^{232} - 5,4 \text{ „}$
$U_{92}^{239} - 5,2 \text{ „}$	$Pu_{94}^{240} - 6,3 \text{ „}$

Energia wiązania neutronu w jądrze złożonym rozkłada się mniej więcej równomiernie pomiędzy jego nukleony w postaci energii drgań kropki. Drgania te są analogiczne do drgania kropki zwykłej cieczy pod wpływem napięcia powierzchniowego. Jądro kuliste przybiera w trakcie tych drgań kształty wydłużone (rys. 10). Jednakże w cieczy jądrowej działają prócz sił nuklearnych jeszcze i siły kulombowskie między jednakowo naładowanymi protonami; siły te rozpychają jądro i kompensują częściowo trzymające kropkę w całości napięcie powierzchniowe. Gdy kropka drgająca przybiera postać przewężoną wskazaną na rys. 10, wytwarzają się duże siły odpychające pomiędzy



Rys. 10. Analogia między odkształcaniem jądra a odkształcaniem kropki cieczy.

dwiema jej częściami, oddzielenymi przewężeniem. Jeśli ładunek kropki jest dostatecznie duży, a więc numer porządkowy Z dostatecznie wysoki, siły te, jak pokazuje rachunek przeprowadzony przez Bohra i Wheelera, są dostatecznie duże, by pokonać siły spójności jądra i wystarczą do rozerwania jądra na dwie mniejsze, niemal równe, części. Rachunek pokazuje, że o możliwości takiego rozszczepienia się jądra decyduje ułamek Z^2/A (z grubsza biorąc ułamek ten jest miarą stosunku energii elektrycznej jądra, która rośnie jak kwadrat jego ładunku, a więc Z^2 , do energii wiązania jądra, proporcjonalnej do A); dokładniejsza analiza danych doświadczalnych w świetle przybliżonej teorii Bohra i Wheelera pokazuje, że dla $(Z^2/A)_{gr} = 47,8$ jądro pęka przy każdym odkształceniu. Ale już dla mniejszych wartości Z^2/A nastąpić może rozszczepienie jądra. Dla krytycznej wartości $(Z^2/A)_g$ jądro staje się nie trwałym już dla dowolnie małych odkształceń; dla mniejszych wartości Z^2/A jądro staje się nie trwałym przy określonych dużych odkształceniach. Bohr i Wheeler obliczyli w przybliżeniu energię potrzebną do wywołania krytycznego odkształcenia, prowadzącego już

bezpośrednio do pęknięcia jądra. Wykres na rys. 11 podaje tę energię krytyczną jako funkcję stosunku $(Z^2/A)/(Z^2/A)_{gr}$. Krzywa ta prowadzi do wartości energii krytycznej W_f , podanych w tabl. II.

Każde z tych jąder ma do rozporządzenia energię wiązania W_n podaną w tabl. I. Nadwyżka energii krytycznej W_f nad rozporządzalną W_n , $W_f - W_n$, jest wobec tego dana przez liczbę w tabl. III.

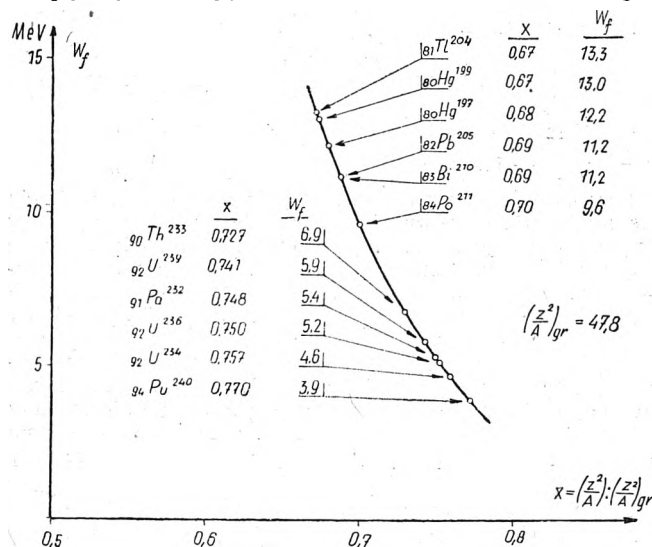
Tablica II.

Th $^{233}_{90}$ — 6,9 MeV	U $^{234}_{92}$ — 4,6 MeV
U $^{239}_{92}$ — 5,9 „	Pu $^{240}_{94}$ — 3,9 „
Pa $^{232}_{91}$ — 5,4 „	
U $^{236}_{92}$ — 5,2 „	

Tablica III.

Th $^{233}_{90}$ — 1,7 MeV	U $^{234}_{92}$ — —1,8 MeV
U $^{239}_{92}$ — 0,7 „	Pu $^{240}_{94}$ — —2,4 „
Pa $^{232}_{91}$ — 0,0 „	
U $^{236}_{92}$ — —1,0 „	

Z danych zawartych w tabl. III wynika, że w jądrach U^{234} , U^{236} , Pu^{240} i ew. Pa^{232} już wskutek samego wiązania neutronu wyzwala się energia wystarczająca do wywołania ich pęknięcia. W jądrach natomiast U^{239} i Th^{233} energia



Rys. 11. Energia krytyczna, wywołująca pęknięcie jądra różnych pierwiastków.

wiązania neutronu nie jest wystarczająca; mogą one rozszczepić się tylko wtedy, gdy neutron przenikający do jądra ma dostateczną energię kinetyczną do pokrycia różnicy $W_f - W_n$. Widzimy więc, iż teoria Bohra i Wheelera prowadzi do całkowicie zgodnego z doświadczeniem wniosku, że jądra izotopów uranu U^{235} i U^{233} , oraz plutonu Pu^{239} mogą ulec rozszczepieniu już pod wpływem neutronów o dowolnie małej energii, a więc termicznych, podczas gdy do rozszczepienia uranu 238 i toru 232 potrzeba już neutronów o energii ponad pewną wartość krytyczną: energia krytyczna wynosi dla uranu 238 około 0,7 MeV, dla toru 232 zaś około 1,7 MeV. Pośrednie stanowisko zajmuje protaktyn 231; doświadczenie wykazuje, że dla wywołania pęknięcia jego jądra wystarczają już neutrony stosunkowo powolne, teoretycznie zaś jego energia krytyczna powinna być bliska zera.

Z wykresu przytoczonego na rys. 11 wynika, że nie ma nadziei, by możliwe było wywołanie łańcuchowej reakcji rozszczepienia jądra na skalę techniczną w innych pierwiastkach, niż uran, tor, i pluton. Nie mogą tu, oczywiście, wchodzić w grę pierwiastki promieniotwórcze naturalne inne niż tor i uran, gdyż w przyrodzie istnieją one w znikomych ilościach ze względu na swe stosunkowo krótkie

okresy przepołowienia. Można by myśleć o wykorzystaniu najcięższych z pośród trwałych jąder, a więc jąder bizmutu i ołowiu. Ale już dla najbardziej obiecującego z tych pierwiastków, a mianowicie bizmutu 209, energia krytyczna sięga 11,2 MeV, a więc dla wywołania jego rozszczepienia neutrony muszą posiadać conajmniej energię około 5 MeV, podczas gdy energia neutronów wyrzucanych przy pęknięciu jądra wynosi zaledwie około 1 MeV. W stosie atomowym uranowym z domieszką tego bizmutu możnaby wprawdzie wytwarzać polon 210 o okresie przepołowienia 136 dni, ale i dla tego jądra krytyczna energia W_f wynosi 9,6 MeV, a więc dla jego rozszczepienia należałoby użyć neutronów o energii conajmniej około 3,2 MeV, również wykluczającej możliwość wytworzenia się reakcji łańcuchowej.

24. Dane doświadczalne, dotyczące pęknięcia najcięższych jąder.

Omówimy teraz dane doświadczalne, dotyczące pęknięcia jądra uranu (i toru), a opublikowane do połowy 1940 r.

Przy pęknięciu jądra jednego z tych pierwiastków wskutek wchłonięcia neutronu wydziela się bardzo znaczna energia, rzędu 180 MeV. Wyzdzielanie się tak dużych ilości energii wynika od razu z podanych poprzednio danych, dotyczących energii wiązania jąder. W jądrach najcięższych nukleony są związane stosunkowo nieco słabiej, najsilniej związane są one w jądrach o liczbie masowej bliskiej 100. Dla jąder o liczbie masowej równej 120 średnia energia wiązania nukleonów wynosi 8,42 MeV, dla jąder o liczbie masowej 240 wynosi 7,63. Jeśli takie bardzo ciężkie jądro rozpadnie się na dwa o liczbach masowych po 120, to na każdy nukleon wyzwoli się energia wynosząca 0,8 MeV, razem więc wywiąże się około 190 MeV energii, zgodnie z doświadczeniem.

Pod wpływem odpychających sił elektrycznych części rozpadającej się kropki-jądra uzyskują bardzo duże energie kinetyczne, po kilkadziesiąt MeV każda; suma tych energii dorównywa niemal wyzwolonej energii jądrowej. Pęknięcie jądra nie odbywa się w sposób jednoznaczny — jest to zresztą wiadome z danych doświadczalnych — tworzące się kropki cząstkowe nie muszą być jednakowych rozmiarów.

Okazuje się dalej, że izotopy, z których składa się uran naturalny, zachowują się bardzo różnie pod działaniem neutronów. Uran zawiera dwa główne izotopy: U^{238} i U^{235} ; drugiego z nich zaledwie 0,7%. Jądro uranu 238 rozszczepia się jedynie pod działaniem neutronów o energii przekraczającej 1 MeV, uran 235 rozszczepia się natomiast już pod działaniem neutronów termicznych; o tej różnicy w zachowaniu się izotopów uranu wiemy już z rozważań teoretycznych podanych w § 23. Przekrój czynny uranu 238 na pęknięcie pod działaniem neutronów o energii powyżej 2 MeV wynosi $0,5 \cdot 10^{-24} \text{cm}^2$; natomiast przekrój czynny uranu 235 na rozszczepienie neutronami termicznymi wynosi $3,5 \cdot 10^{-22} \text{cm}^2$, a więc jest 700 razy większy. Uran 235 rozszczepia się również pod działaniem neutronów szybkich; jego odpowiedni przekrój czynny nie był zmierzony do 1940 r.; nie rozporządzano wówczas dostatecznymi ilościami czystego uranu 235; dopiero w 1943 r. w związku z pracami nad bombą atomową wytworzono znaczne ilości tego izotopu i określono dokładnie jego własności, dane te nie zostały jednak ogłoszone. Można jednak ocenić ten przekrój na podstawie rozważań teoretycznych Bohra i Wheelera: powinien on wynosić około $2,4 \cdot 10^{-22} \text{cm}^2$, a więc być około 5 razy większym, niż dla uranu 238.

Przez pęknięcie jądra uranu 235 powstają sztuczne promieniotwórcze jądra pierwiastków o Z, leżącym pomiędzy 32 a 44 (grupa lżejsza), oraz pierwiastków o Z, leżącym między 48 a 62 (grupa cięższa). Każde jądro uranu daje jeden pierwiastek z grupy lżejszej i jeden z grupy cięższej, tak by suma ich numerów porządkowych wynosiła 92. Najczęściej spotyka się podział masy jądra w stosunku 2:3, a więc pary $Br^{85} - La^{57}$; $Rb^{87} - Cs^{55}$; $Sr^{88} - Xs^{54}$ itd. Jądro uranu 238 pęka na części o masach niewiele się różniących; powstają przy tym jądra o Z, leżącym między 44 a 50.

Wszystkie jądra, powstające wskutek rozszczepienia najcięższych jąder, mają nadwyżkę neutronów w stosunku do trwałych jąder odpowiednich pierwiastków, gdyż najcięższe jądra zawierają, jak już wspomniano (§ 17), stosunkowo więcej neutronów niż jądra lżejsze. A więc jądra, powstające

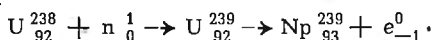
wskutek rozszczepienia się jądra uranu, są nietrwałe — sztucznie promieniotwórcze; wysyłają one mianowicie promienie β^- , zmniejszając swą nadwyżkę neutronów. Czasy przepołowienia sztucznie promieniotwórczych cząstek jądra uranu są bardzo rozmaite — wahają się od ułamków sekundy do roku i więcej; dla kilku najważniejszych z tych pierwiastków czasy przepołowienia są rzędu paru miesięcy. Wśród odłamków i powstających z nich przez promieniowanie β^- dalszych jąder znaleziono również jądra (promieniotwórcze) niewykrytych dotychczas w przyrodzie pierwiastków $Z = 43$ (tzw. technet-manganowiec) i $Z = 61$ (ziemia rzadka).

Wszystkie te sztucznie promieniotwórcze pierwiastki powstają w znacznych ilościach jako produkty uboczne w tzw. stosach atomowych, oraz przy wybuchu bomby atomowej. Prócz promieni β^- wysyłają one również promienie γ .

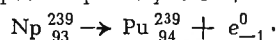
Najważniejszą dla techniki właściwość rozszczepienia się jądra uranu stanowi to, że aktowi pęknięcia jądra towarzyszy wyrzucenie przeciętnie 2 do 3 neutronów (dokładna wartość tej liczby nie została opublikowana) o energii około 1 MeV. Pewna drobna część tych neutronów jest wyrzucana z opóźnieniem; około 1% wszystkich neutronów, powstających wskutek pęknięć jąder uranu, wykazuje opóźnienie emisji nie mniejsze od 0,01 sekundy, a 0,07% neutronów — opóźnienie powyżej 1 minuty. Krótko mówiąc, przy pękaniu jąder uranu powstają jądra, wykazujące nieznaną przed tem promieniotwórczość neutronową — samorzutne wyrzucanie neutronów.

25. Rezonansowe chwytnie neutronów przez jądra uranu i toru; neptun, pluton i uran 233.

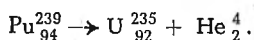
Okazało się również, że uran 238 wiąże szczególnie łatwo neutrony o energii około 38 eV, a więc stosunkowo powolne, o prędkościach rzędu kilkudziesięciu km/sek. Jest to tzw. rezonansowe chwytnie neutronów (§ 13), polegające na tym, że energia wiązania neutronu, zwiększona o jego energię kinetyczną, odpowiada dokładnie jednej z możliwych ustalonych wartości energii jądra wzbudzonego (jądro, podobnie jak i atom, posiada prócz stanu normalnego o najniższej wartości energii nieskończony szereg stanów wzbudzonych o energiach większych); przekrój czynny jądra U^{238} na wiązanie takiego rezonansowego neutronu jest rzędu $1,2 \cdot 10^{-21}$ cm², a więc stosunkowo bardzo znaczny. Powstające jądro złożone uranu 239 jest nietrwałe i ulega przemianie promieniotwórczej, przechodząc skutkiem emisji elektronu w pierwiastek o numerze porządkowym 93, nazywany neptunem:



Okres przepołowienia uranu 239 wynosi 23 minuty. Powstający w ten sposób izotop neptunu jest znów pierwiastkiem promieniotwórczym, wysyłającym promienie β^- i przetwarzającym się wskutek tego w pierwiastek o numerze porządkowym $Z = 94$, nazywany plutonem. Okres połowicznego rozpadu Np^{239} wynosi 2,3 dnia:



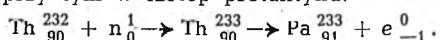
Pluton jest również pierwiastkiem promieniotwórczym, ale wysyła on promienie α i przetwarza się wskutek tego z powrotem w uran 235:



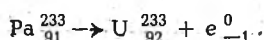
Okres przepołowienia plutonu 239 wynosi około 24000 lat; jest to więc pierwiastek bardziej długowieczny niż rad, dla którego okres ten wynosi 1580 lat.

Jądro toru, Th 232, również pęka wskutek wchłonięcia szybkiego neutronu. Najniższa energia neutronu, powodującego rozszczepienie jądra toru wynosi około 2,0 MeV, a więc tor rozszczepia się znacznie trudniej niż uran. Przekrój czynny toru na pęknięcie pod działaniem szybkich neutronów wynosi zaledwie $0,1 \cdot 10^{-24}$ cm².

Podobnie, jak uran 238, tor 232 wiąże rezonansowo stosunkowo powolne neutrony, przechodząc w promieniotwórczy izotop, tor 233; tor ten wysyła promienie β^- , przechodząc przy tym w izotop protaktynu:



Czas przepołowienia toru 233 wynosi 26 minut. Protaktyn 233 znów wysyła promienie β^- , przechodząc w izotop uranu, uran 233:



Czas przepołowienia protaktynu 233 wynosi 27,4 dnia. Uran 233 jest pierwiastkiem promieniotwórczym długowiecznym; wysyła on promienie α , a okres jego połowicznego rozpadu wynosi kilka tysięcy lat. Jak pokazują oceny, oparte na teorii pęknięcia jąder ciężkich Bohra-Wheelera (§ 23), uran 233 ulega rozszczepieniu wskutek wiązania neutronów termicznych, przy czym jego przekrój czynny na pęknięcie powinien być jeszcze większy, niż uranu 235.

Rozszczepieniu pod działaniem stosunkowo powolnych neutronów podlega również i znajdujący się w przyrodzie protaktyn 231; nie ulega on jednak rozszczepieniu pod działaniem neutronów termicznych, gdyż tu, jak pokazuje doświadczenie, potrzebne są neutrony o energii większej od 0,3 MeV.

Już w 1939 r. dwaj młodzi fizycy radzieccy, Flerow i Pietrzak¹⁾, zauważyli, że jądra uranu podlegają również samorzutnemu pękaniu. Doświadczenia kontrolne, przeprowadzone na dużych głębokościach, wykazały, że nie może to być pęknięcie pod działaniem neutronów, zawartych w promieniach kosmicznych; rozszczepień obserwowanych było na to o wiele za dużo.

Późniejsze pomiary innych badaczy pozwoliły dokładnie określić czas przepołowienia uranu ze względu na samorzutne pęknięcie: w naturalnym uranie czas ten wynosi $3,1 \cdot 10^{15}$ lat. Również i jądra toru rozszczepiają się samorzutnie; czas przepołowienia toru ze względu na samorzutne rozszczepianie się jego jąder jest jednak kilkaset razy dłuższy niż dla uranu.

Teoria Bohra i Wheelera pozwala wysnuć dalsze wnioski, potwierdzone przez doświadczenie. Wynika z niej więc, że odłamki rozszczepiających się jąder powinny być promieniotwórcze, a mianowicie ulegać kilku następującym po sobie przemianom β^- ze względu na stosunkowo znaczny nadmiar w nich protonów, o czym wspominaliśmy już poprzednio (§ 24). Wynika z niej również, że oba jądra-krople cząstkowe, powstające z pierwotnego jądra-kropki są „rozżarzone” do wysokiej temperatury, a zatem że istnieje duże prawdopodobieństwo wyparowania przez nie neutronów, co rzeczywiście, jak już wiemy, zaobserwowano. Poza tym promieniotwórcze jądra cząstkowe, jak wynika z rozważań Bohra-Wheelera, znajdują się na ogół po każdej emisji β^- w stanie wzbudzonym, inaczej mówiąc, stanowią rozżarzone krople cieczy jądrowej, a wobec tego i po emisjach β^- może również nastąpić „parowanie” neutronów. Tym się tłumaczy wspomniana wyżej emisja neutronów opóźnionych. Wreszcie model Bohra i Wheelera pozwala przewidzieć samorzutne rozszczepianie się jąder uranu i toru z uwagi na występowanie wspomnianego wyżej (§ 8) efektu tunelowego, który pozwala jądro rozszczepić się z pewnym określonym, choć bardzo małym prawdopodobieństwem, nawet gdy nie rozporządza ono wystarczającą na to energią drgań.

Jak widzimy, teoria Bohra-Wheelera daje całkowicie zadawalający, choć jeszcze na pół jakościowy tylko, obraz procesu rozszczepiania się ciężkiego jądra.

Dok. nast.

¹⁾ Pietrzak jest z pochodzenia Polakiem, rodem z Łomżyńskiego.

Statystyka zelektryfikowanych gromad wiejskich w Polsce

Jako uzupełnienie tablicy statystycznej, podanej w PE, 1947 z. 1/2, str. 30, wpłynęły następujące dane dla terenu Zjednoczenia Energetycznego Okręgu Mazurskiego (XIII):

1. zelektryfikowano w 1945 r. 28 gromad, w 1946 r. — 114 gromad;

2. plan na 1947 r. przewiduje zelektryfikowanie 75 gromad.

Ogółem więc na terenie dwunastu zjednoczeń energetycznych zelektryfikowano

w 1945 r. — 295 gromad;

w 1946 r. — 566 gromad;

przewiduje się zelektryfikowanie na tym terenie w 1947 r. 575 gromad.

Obszar Okręgu Mazurskiego, jak i wszystkich innych okręgów, pokazany jest na mapce, zamieszczonej w PE, 1946, z. 1, str. 26.

PROF. INŻ. A. UKLAŃSKI

Siłownia cieplna powietrzna

1. Wstęp.

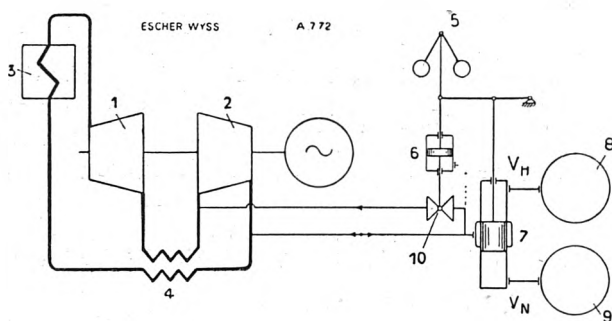
Począwszy od maja 1939 r., w ciągu lat wojennych, a także już w okresie powojennym ukazało się w zagranicznych pismach technicznych kilka prac, opisujących siłownię cieplną na gorące powietrze w obiegu zamkniętym („siłownię aerodynamiczną”) w wykonaniu wytwórni szwajcarskiej Escher Wyss w Zurychu¹⁾. W polskiej prasie technicznej powojennej ukazała się w „Przeglądzie Górniczym” (1946, nr. 3—4) oryginalna praca dr. inż. O. Popowicza p. t. „Turbin gazowe”, zawierająca krótką wzmiankę o turbinie powietrznej, pracującej w obiegu zamkniętym.

Ze względu na dużą sprawność obiegu i ciekawe własności, interesujące energetyków, temat ten zasługuje na szersze potraktowanie. Opracowanie niniejsze o charakterze sprawozdawczym, oparte na wymienionych źródłach, ma na celu bliższe zapoznanie energetyków polskich z tematem.

Prace nad nowym systemem siłowni cieplnej, zaproponowanym przez dr. Ackereta, profesora Politechniki Zuryckiej i dr. Kellera, kierownika stacji doświadczalnej wytwórni Escher Wyss, podjęte były w r. 1935. Budowę siłowni doświadczalnej rozpoczęto w r. 1936, a uruchomienie jej nastąpiło latem 1939 r. Próby, doświadczenia i ulepszenia, hamowane warunkami wojennymi, trwały kilka lat. Wykonane w r. 1944 oficjalne badania zakończyły pierwszy okres rozwoju.

2. Zasada działania.

W lutym 1938 r. udzielony był „Towarzystwu Studiów Technicznych” w Zurychu przez Urząd Patentowy R. P. patent na wynalazek, zgłoszony w lipcu 1936 r. w Polsce (a w lipcu 1935 r. w Szwajcarii) p. t. „Sposób regulacji mocy siłowni cieplnych, w których gazowy czynnik roboczy, zwłaszcza powietrze, krąży stale pod pewnym nadciśnieniem w zamkniętym obiegu kołowym, oraz siłownia do wykonywania tego sposobu”. Według opisu patentowego gazowy czynnik roboczy, sprężony i ogrzany do wysokiej temperatury utrzymywanej na stałym poziomie, rozpręża się w wielostopniowej turbinie osiowej, oddając pracę zewnętrzną, po czym jest ponownie doprowadzany do wyższego ciśnienia w wielostopniowej osiowej sprężarce odśrodkowej. Wynalazek polegał na zmianie — przy zmianach obciążenia — ciśnienia czynnika roboczego we wszystkich miejscach obiegu w przybliżeniu proporcjonalnie do oddawanej mocy, celem zachowania niezmiennych spadków cieplnych i prędkości przepływu w turbinie i sprężarce, a skutkiem tego praktycznie stałej sprawności.



Rys. 1. Układ regulacji siłowni powietrznej.

Jest to główna zasada, na której opiera się nowy pomysł. Rys. 1. przedstawia uproszczony schemat pracy i regulacji urządzenia. Turbina 1 napędza sprężarkę 2 i generator prądu

¹⁾ a) Sprawozdanie prof. Quiby z Politechniki Zuryckiej z badań tej siłowni, przeprowadzonych w grudniu 1944 r. („Revue Polytechnique Suisse”, nr 23 i 24 z czerwca 1945 r.)

b) Artykuł dr. Ackereta i dr. Kellera („Engineering”, styczeń 1946 r.) To samo w tłumaczeniu niemieckim p. t. „Siłownia o zamkniętym obiegu gorącego powietrza. Instalacja AK - Escher Wyss”, znajduje się w roczniku 1944/45 wydawnictwa własnego wytwórni. Nazwa „AK” pochodzi od wymienionych nazwisk twórców instalacji.

c) Odczyt dr. Kellera p. t. „Dalszy rozwój instalacji AK - Escher Wyss”, ogłoszony w listopadzie 1945 r. przed „Gas and Oil Power Division” Amerykańskiego Stowarzyszenia Inżynierów Mechaników, drukowany w wyciągu również we wspomnianym roczniku.

elektrycznego. Przed wejściem do turbiny powietrze sprężone jest ogrzewane w ogrzewaczu 3. Powietrze, rozprężone w turbinie, oddaje w drodze do sprężarki część swego ciepła powietrzu, sprężonemu w wymienniku ciepła 4. Przed wejściem do sprężarki i w trakcie sprężania powietrze ulega chłodzeniu w chłodnicach, pominiętych w schemacie. Regulator odśrodkowy 5 pozostaje z jednej strony pod wpływem obrotów zespołu, z drugiej zaś — pod wpływem ciśnienia powietrza w obiegu za pośrednictwem posłuznika 6. Ruch regulatora oddziałuje na podwójny zawór 7. Przy wzroście obciążenia zawór ten wpuszcza do obiegu (mianowicie do przewodu tłocznego między sprężarką a wymiennikiem ciepła) powietrze ze zbiornika wysokoprężnego 8, zwiększając ilość i ciśnienie powietrza krążącego w obiegu. Wywołuje to natychmiastowe zwiększenie mocy turbiny (wobec niezmiennego chwilowo przeciwcisnienia) przy chwilowo zmniejszonej wydajności sprężarki, a zatem zwiększenie mocy użytecznej zespołu, po czym następuje stopniowe samoczynne wyrównanie stosunku ciśnień oraz — za pośrednictwem innego organu regulacji ręcznego czy samoczynnego — wyrównanie chwilowego spadku temperatury początkowej przez zwiększenie dopływu paliwa.

Przy spadku obciążenia zawór 7 wypuszcza powietrze z obiegu do zbiornika niskoprężnego 9, zmniejszając ciśnienie powietrza w obiegu i zarazem moc użyteczną zespołu, po czym — jak wyżej — następuje wyrównanie stosunku ciśnień oraz wyrównanie chwilowego wzrostu temperatury przez zmniejszenie dopływu paliwa.

Regulacja przez wypuszczanie powietrza sprężonego z obiegu lub ze zbiornika wysokoprężnego powoduje straty, pokrywane przez sprężarkę pomocniczą, niewidoczną na schemacie.

Ruch regulatora oddziałuje zarazem na zawór obwodowy 10, przez który część powietrza sprężonego może wrócić do przewodu ssącego sprężarki, omijając turbinę. Wzrost obciążenia powoduje przysmknięcie tego zaworu, spadek — otwarcie, czyli działania, wywołujące ten sam skutek, co ruchy zaworu 7. Zawór obwodowy, w przeciwieństwie do do zmiany poziomów ciśnień, powoduje straty nie przy regulacji, a w ruchu ustalonym, ponieważ jest zawsze nieco otwarty.

Regulację zaworem obwodowym wywołują już małe wahania obciążenia, gdy dopiero duże wprawiają w działanie regulację poziomów ciśnień. Każdej z tych regulacji odpowiada właściwa część skoku regulatora i zakres działania każdej może być nastawiony w ruchu.

W ruchu ustalonym zespół posłuznik 6 i zawór obwodowy 10 utrzymują stały stosunek pomiędzy obciążeniem a ciśnieniem powietrza w obiegu. Powiększenie ciśnienia wywołuje otwarcie zaworu obwodowego, a obniżenie ciśnienia — przysmknięcie.

3. Podstawy teoretyczne.

Oprócz zasady regulacji do poznania właściwości nowego pomysłu konieczne jest przypomnienie pewnych zasad teorii silników cieplnych.

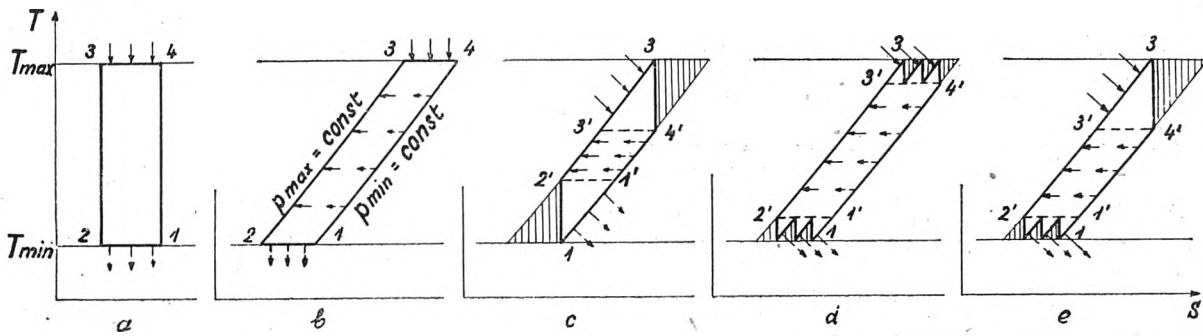
Idea Ackereta i Kellera jest jednym z etapów walki o udoskonalenie przemiany energii cieplnej na użyteczną pracę mechaniczną w silnikach cieplnych. W poszczególnych etapach tej walki chodzi przede wszystkim: 1) o rozsuniecie granicznych temperatur T_{max} i T_{min} obiegu cieplnego (zwłaszcza o podniesienie T_{max}), określających największą osiągalną sprawność obiegu, tzw. sprawność Carnota $\eta_c = (T_{max} - T_{min})$; 2) w danych ustalonych granicach temperatur — o zbliżeniu obiegu rzeczywistego ze stratami, czyli tzw. nieodwracalnego, do obiegu doskonałego bez strat, czyli odwracalnego, posiadającego sprawność Carnota.

Obiegiem doskonałym jest klasyczny obieg Carnota, składający się z 2 izoterm i 2 adiabat (rys. 2a), w którym doprowadzanie i odprowadzanie ciepła odbywa się tylko przy stałych temperaturach, mianowicie przy najwyższej i najniższej temperaturze obiegu.

Istnieje jeszcze inny obieg doskonały, posiadający sprawność Carnota. Jest nim obieg z regeneracją, w którym tylko część ciepła jest doprowadzana do czynnika izotermicznie przy najwyższej temperaturze T_{max} obiegu, a odprowa-

dzana przy najniższej temperaturze T_{min} również izotermicznie. Obok dwu głównych źródeł ciepła, górnego i dolnego, istnieje nieskończenie wiele źródeł o temperaturach stopniowo zniżających się od T_{max} do T_{min} . Zadaniem tych źródeł, zwanych regeneratorami, jest odbieranie ciepła o pewnej temperaturze podczas rozprężania się czynnika,

w obiegu otwartym, a więc zasysające z atmosfery powietrze potrzebne do spalania i wypuszczające rozprężone spaliny również do atmosfery. Jeżeli chodzi o silniki wirnikowe, znane były turbiny na spaliny odlotowe silników łokowych, przeznaczone do napędu dmuchaw doładowczych, turbiny spalinowe w zespołach sprężarkowych silników



Rys. 2. Porównanie różnych obiegu ciepłych.

przechowywanie tego ciepła i oddawanie go z powrotem czynnikiowi podczas sprężania, w tej samej ilości i przy tej samej temperaturze.

Granicznym wypadkiem takiego obiegu z regeneracją jest obieg, przedstawiony na rys. 2b, w którym rozprężanie, rozpoczęte w punkcie 3 kończy się w punkcie 4, odbywa się zatem tylko izotermicznie, jednocześnie z doprowadzaniem ciepła; podobnie sprężanie odbywa się również tylko izotermicznie, wzdłuż 1—2. Zamiast rozprężania i sprężania adiabatycznego, jak w obiegu według rys. 2a, występują przemiany izobaryczne, stałego ciśnienia, mianowicie linia chłodzenia 4—1, wzdłuż której odbierane jest — przy stałym ciśnieniu p_{min} — ciepło od czynnika rozprężonego, oraz linia ogrzewania 2—3, wzdłuż której ciepło jest oddawane przy stałym ciśnieniu p_{max} czynnikiowi sprężonemu. Sprawność takiego obiegu jest równa sprawności Carnota niezależnie od stosunku ciśnień $p_{max} : p_{min}$, z zastrzeżeniem tylko równości przyrostów entropii 3—4 i 2—1.

W dążeniu do podniesienia temperatury T_{max} obiegu naturalnym ograniczeniem jest wytrzymałość materiału, określona „granica pełzania”, malejącą ze wzrostem temperatury i ze wzrostem naprężeń materiału, a więc i ze wzrostem ciśnienia. Wyższe ciśnienia obniżają więc granicę stosowalności najwyższych temperatur. W szczególności niekorzystnym położeniu są tu silniki na parę wodną, której fizyczne właściwości z jednej strony wymagają wysokich ciśnień do osiągnięcia stosunkowo niezbyt wysokich temperatur, z drugiej zaś, przez doprowadzanie znacznej ilości ciepła do czynnika przy stałym ciśnieniu zamiast izotermicznie, oddalają obieg pary wodnej od obiegu Carnota. Obniżenie największego ciśnienia obiegu cieplnego w stosunku do normalnego obiegu pary wodnej z jednoczesnym podwyższeniem największej temperatury obiegu osiągnięto przez zastosowanie czynnika o znacznie wyższej temperaturze parowania niż woda, mianowicie rtęci. Sposób ten, wymagający zastosowania pary wodnej jako czynnika pomocniczego w obszarze niższych temperatur, a więc dwu obiegu ciepłych, nie znalazł powodzenia ze względu na złożoność urządzenia i trujące własności pary rtęci.

Drugim sposobem o istotnym przełomowym znaczeniu było zastosowanie systemu jednofazowego o dwu stopniach swobody (w odróżnieniu od systemu dwufazowego, woda-para, o jednym stopniu swobody), a więc gazu (spalin lub powietrza), który w danej temperaturze może mieć dowolne ciśnienie. Silnik cieplny gazowy wobec wielkiej objętości czynnika wymaga sprężarki, pochłaniającej znaczną część pracy rozprężania, to też znalazł swój wyraz przede wszystkim w silnikach spalinowych łokowych, dzięki łatwości i dobrej sprawności sprężania czynnika w tym samym cylindrze. Przez lepsze zbliżenie do obiegu Carnota dla silników parowych. W dziedzinie silników wirnikowych, a więc turbin gazowych, istotny rozwój rozpoczął się dopiero z chwilą rozwiązania budowy sprężarek osiowych o dużej sprawności.

Przedstawicielami systemu jednofazowego były dotychczas silniki spalinowe, łokowe lub wirnikowe, pracujące

odrutowych, wreszcie turbiny spalinowe do napędu generatorów prądu elektrycznego, a więc turbozespoły spalinowe prądowce budowy wytwórni szwajcarskiej Brown Boveri, które zyskały w ostatnich latach dość duże rozpowszechnienie. W silniku gazowym o obiegu zamkniętym czynnik roboczy nie ulega wydalaniu z obiegu, może więc nim być tylko powietrze lub gaz, nie biorący udziału w spalaniu, a służący tylko do przenoszenia ciepła spalin. Turbina powietrzna AK jest właśnie zrealizowaniem obiegu cieplnego jednofazowego zamkniętego.

W dążeniu do obciążenia obiegu cieplnego rzeczywistego do obiegu doskonałego o sprawności Carnota silnik parowy znowu jest w niekorzystnym położeniu, gdyż jego obieg różni się od obiegu doskonałego doprowadzeniem ciepła oraz sprężaniem nie adiabatycznym, lecz według krzywej granicznej $x = 0$. Z tych względów dla silników na parę wodną używa się, jako obiegu porównawczego, nie obiegu Carnota, lecz niedoskonałego obiegu Rankina, bliższego silnikowi rzeczywistemu. Aby częściowo wyrównać różnicę, wynikającą z odmiennego sprężania, stosuje się w turbinach parowych regenerację ciepła, chociaż niedoskonałą, bo zaledwie kilkostopniową, mianowicie podgrzewanie skroplin za pomocą pary odbieranej z turbiny podczas rozprężania. Aby także doprowadzenie ciepła do czynnika zbliżyć bardziej do izotermy, stosuje się — zresztą rzadko z powodu komplikacji — przegrzewanie międzystopniowe pary w miarę jej rozprężania się.

Rzeczywisty obieg silników spalinowych również odbiega od obiegu Carnota, chociaż mniej niż parowych i upodabnia się, zwłaszcza w turbinach ze spalaniem pod stałym ciśnieniem, do obiegu teoretycznego, składającego się z dwu izobar i dwu adiabat według rys. 2c, z doprowadzaniem ciepła pod stałym ciśnieniem p_{max} wzdłuż linii 2'—3, rozprężaniem adiabatycznym 3—4', oddawaniem ciepła przy stałym ciśnieniu p_{min} wzdłuż linii 4'—1 (w obiegu otwartym — atmosferze), wreszcie sprężaniem adiabatycznym 1—2'. Częściowe zbliżenie tego obiegu do obiegu doskonałego z regeneracją graniczną według rys. 2b można osiągnąć, ogrzewając czynnik sprężony ciepłem czynnika rozprężonego w wymienniku ciepła, a więc stosując regenerację, chociaż niedoskonałą. Regenerację taką stosować można zarówno w turbinach spalinowych z obiegiem otwartym, gdy ciepło spalin rozprężonych przechodzi w wymienniku do powietrza sprężonego, jak i w turbinach powietrznych AK z obiegiem zamkniętym, gdy ciepłem powietrza rozprężonego podgrzewa się w wymienniku powietrze sprężone. Regeneracja odbywa się z jednej strony wzdłuż linii 4'—1', a 2'—3' a drugiej. Regeneracja skracając linię (i ilość) doprowadzania ciepła z zewnątrz do 3'—3, jak i linię odprowadzania ciepła — do 1'—1. Stosowanie w obiegu zamkniętym czynnika czystego o stałym nadciśnieniu umożliwia regenerację bardziej doskonałą, niż w obiegu otwartym, tj. z mniejszą stratą temperatury pomiędzy czynnikiem grzejącym a ogrzewanym.

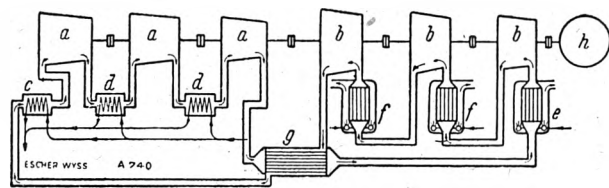
Dalsze zbliżenie obiegu według rys. 2c do obiegu według rys. 2b można osiągnąć przez zastąpienie adiabat izotermiami, tj. przez zastosowanie rozprężania i sprężania izotermicznego, połączonego z doprowadzaniem i odprowa-

dzaniem ciepła. Znowu jest to możliwe tylko w przybliżeniu przez stopniowe rozprężanie z ogrzewaniem międzystopniowym, jako też stopniowe sprężanie z chłodzeniem międzystopniowym. Jedno i drugie może być zastosowane zarówno w obiegu otwartym, jak i zamkniętym. Gorsze możliwości regeneracji w obiegu otwartym zmniejszają również korzyści chłodzenia międzystopniowego. Z drugiej strony większa gęstość czynnika w obiegu zamkniętym pozwala na lepsze chłodzenie. Z tych względów obieg powietrzny zamknięty umożliwia oprócz wydajnej regeneracji również kilkostopniowe chłodzenie czynnika podczas sprężania, nieużywane w obiegu otwartym, tj. w turbinie spaliniowej.

Rys. 2d przedstawia obieg z zastosowaniem trójstopniowego ogrzewania czynnika przy stałym ciśnieniu i trójstopniowego rozprężania adiabatycznego, jak też trójstopniowego chłodzenia przy trójstopniowym sprężaniu adiabatycznym. Obieg taki, w którym możliwe jest już daleko idące zbliżenie do obiegu doskonałego według rys. 2b, ma być według zamierzeń konstruktorów idealnym obiegiem siłowni powietrznej.

Rys. 2e odpowiada wreszcie obiegowi, w którym pominięto — jak w instalacji próbnej — stopniowe rozprężanie czynnika z międzystopniowym ogrzewaniem. Miarą zbliżenia poszczególnych obiegów według rys. 2c—d—e do obiegu doskonałego według rys. 2b jest zakres regeneracji $4'1'—2'3'$ oraz wielkość straconych pól, oznaczonych kreskowaniem przy liniach rozprężania 3—4' i sprężania 1—2'. W odróżnieniu od obiegu doskonałego sprawność obiegów według rys. 2c—d—e zależy od stosunku ciśnień $P_{max} : P_{min}$ i osiąga najlepsze wartości dla umiarkowanych wartości tego stosunku.

W granicach temperatur 600—300°C (wybranych dla przykładu) największa możliwa sprawność obiegu cieplnego wynosić będzie $\eta_c = 0,654$, sprawność obiegu Rankine'a w silniku parowym dla ciśnienia początkowego 30 ata będzie $\eta_R = 0,394$, sprawność obiegu według rys. 2c dla stosunku ciśnień $P_{max} : P_{min} = 4$ wyniesie 0,496, wreszcie sprawność obiegu według rys. 2e dla tego samego stosunku ciśnień będzie 0,582.



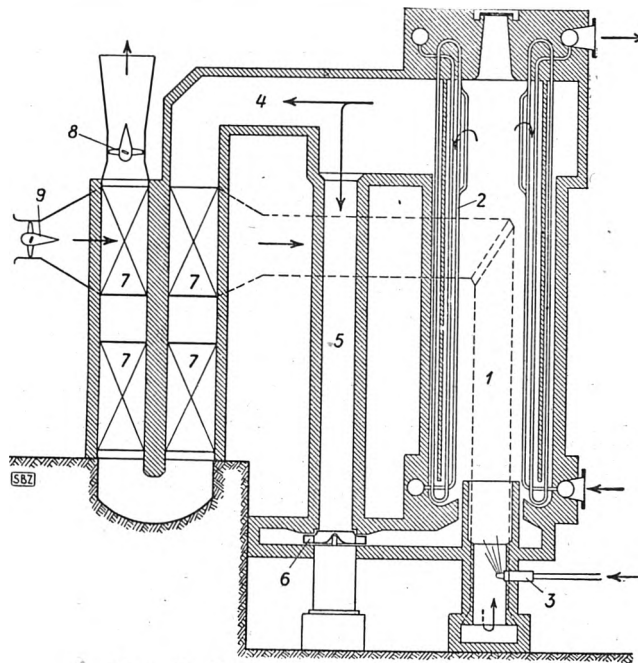
Rys. 3. Idealny układ siłowni powietrznej.

Idealny układ siłowni powietrznej, odpowiadający obiegowi według rys. 2d, przedstawia rys. 3. Przed wejściem do pierwszego kadłuba sprężarki a powietrze, które oddało już w wymienniku g dużą część swego ciepła, chłodzone jest w chłodnicy wstępnej c do możliwie najniższej temperatury. Pomiedzy pierwszym i drugim oraz drugim i trzecim kadłubem powietrze chłodzi się w chłodnicach pośrednich d. Powietrze, sprężone ostatecznie w ostatnim kadłubie, po podgrzaniu częściowym w wymienniku ciepła g ogrzewane jest ostatecznie w ogrzewaczu e i rozpręża się w kadłubach turbiny powietrznej b. Pomiedzy pierwszym i drugim oraz drugim i trzecim kadłubem turbiny następuje ogrzewanie ponowne powietrza w ogrzewaczach pośrednich f. Generator prądu elektrycznego oznaczony jest przez h.

4. Siłownia doświadczalna.

Instalacja doświadczalna zbudowana była przez wytwórnię Escher Wyss od razu na moc użyteczną stosunkowo dużą 2000 kW, aby mogła być użyta w normalnym ruchu fabrycznym. Uproszczenie układu w stosunku do idealnego (rys. 3) polegało przede wszystkim na braku ogrzewaczy pośrednich f i skróceniu turbiny do dwu kadłubów. Obieg porównawczy przedstawia rys. 2e. Ogólny układ instalacji odpowiadał przede wszystkim potrzebom doświadczalnym, bez względu na zbyt wielką długość lub nieodpowiedni wygląd. Okoliczność ta powodowała straty dodatkowe, ujawnione w badaniach oficjalnych. Podane dalej liczby charakteryzują pracę instalacji próbnej przy pełnym obciążeniu.

Powietrze sprężone do ok. 24 ata, podgrzane w wymienniku do ok. 365°C, ogrzane w ogrzewaczu do 650—700°C, rozpręża się w turbinie do ok. 6 ata, 400°C, po czym chłodzi się w wymienniku do ok. 100°C, a w chłodnicy wstępnej do ok. 20°C i przepływa z powrotem do sprężarki. Układ ogrzewacza powietrza przedstawiony jest na rys. 4. Ponieważ ciepło doprowadzone jest w ogrze-



Rys. 4. Układ ogrzewacza powietrza.

waczu przy wysokiej temperaturze czynnika, spaliny w ogrzewaczu ochładzają się niewiele. Wymaga to — dla zachowania odpowiedniej sprawności ogrzewacza — zastosowania urządzenia do podgrzewania powietrza, potrzebnego do spalania. Ropa, wtryskiwana przez palniki 3, spala się w przestrzeni paleniowej 1, ogrzewając w przeciwnym kierunku powietrze robocze w rurkach 2. Temperatura końcowa spalin po przejściu powierzchni ogrzewalnej wynosi ok. 650°C. Część spalin wraca kanałem 5 do paleniska dla obniżenia temperatury spalania. Dmuchawa 6 służy do wywołania cyrkulacji. Reszta spalin płynie kanałem 4 do podgrzewacza 7 powietrza, potrzebnego do spalania. Przez 8 oznaczony jest wentylator wyciągowy, przez 9 — podmuchowy.

Obie turbiny powietrzne, wysokoprężna i niskoprężna, o różnej liczbie obrotów, posiadają układ i wygląd podobny, jak w zespołach parowych, i wykonane są według systemu akcyjnego, normalnie stosowanego przez wytwórnię Escher Wyss. Turbina wysokoprężna o mocy 3000 kW, 8000 obr./min., napędza bezpośrednio sprężarkę. Turbina niskoprężna o 3000 obr./min. napędza generator o mocy 2000 kW. Obydwie turbiny są połączone przekładnią zębatą, której zadaniem jest przeniesienie w jedną lub drugą stronę ewent. nadwyżki mocy jednego z wirników turbiniowych. Rys. 5 przedstawia widok otwartej turbiny wysokoprężnej o 6 stopniach, średnicy 350 mm. Turbina niskoprężna posiada również 6 stopni, średnicy 720 mm. Charakterystyczną cechą turbin jest brak wszelkich organów odcinających, czy regulujących. Rys. 6 przedstawia widok otwartego kadłuba wysokoprężnego sprężarki osiowej o średnicy wieńców łopatkowych poniżej 300 mm. Część średnioprężna i niskoprężna posiadają średnicę niewiele większą.

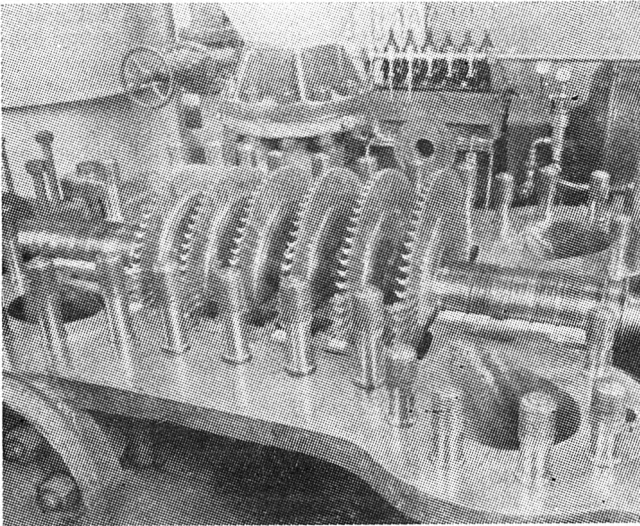
Wymiennik ciepła przeciwprądowy posiada układ poziomy. Powietrze sprężone o ciśnieniu 24 ata przepływa przez rurki, powietrze rozprężone o ciśnieniu 6 ata — na zewnątrz. Ciśnienie powietrza w zbiorniku wysokoprężnym przewyższa 1,5—2 razy największe ciśnienie obiegu. Charakterystyczną cechą regulacji urządzenia jest to, że znajduje się ona poza właściwym obiegiem powietrzny, że przez jej organy przepływa tylko zimne powietrze.

5. Wyniki badania instalacji próbnej.

Opisana wyżej pokrótce instalacja poddana była w grudniu 1944 r. oficjalnym badaniom i pomiarom przez prof.

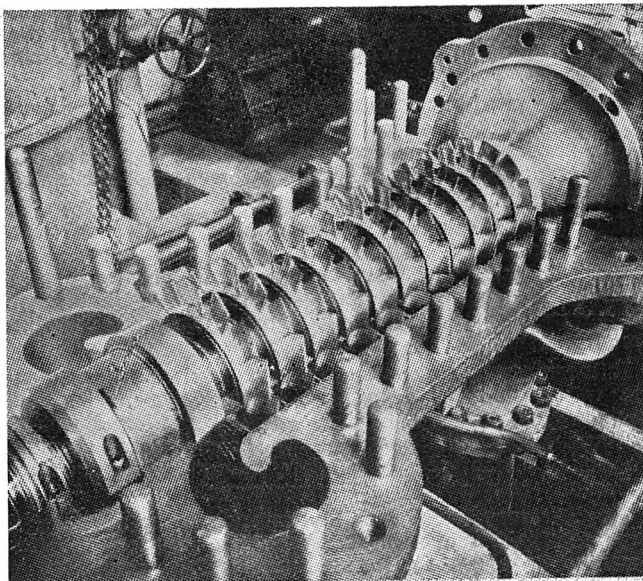
Quiby. Oprócz pomiarów zużycia paliwa dla oznaczenia sprawności cieplnej wykonano również próby regulacji.

Ze sprawozdania, zawierającego wyniki pomiarów, dowiadujemy się, że przy obciążeniu na zaciskach generatora 2044 kW i liczbie obrotów sprężarki 7600, generatora zaś 2850 na minutę stwierdzono zużycie 548 kg/h pa-



Rys. 5. Widok otwartego kadłuba wysokoprężnej turbiny powietrznej.

liwa o wartości opałowej dolnej 10160 kcal/kg. Zużycie powietrza do spalania wynosiło 8610 kg/h o temperaturze zasysania 52° C, wejściowej zaś do paleniska 555° C. Dalejsze wyniki: ilość spalin 9110 kg/h, temperatura wyjściowa 185° C, współczynnik nadmiaru powietrza 1,1, zawartość tlenu węgla O. Stwierdzono ilość powietrza roboczego w obiegu 19,4 kg/sec. Temperatura powietrza za ogrzewaczem wynosiła 689° C, stan przed turbiną: 24,12 ata, 687° C, za turbiną 6,75 ata, 443° C, spadek adiabatyczny zawartości ciepła 71,3 kcal/kg, spadek wewnętrzny 64,4



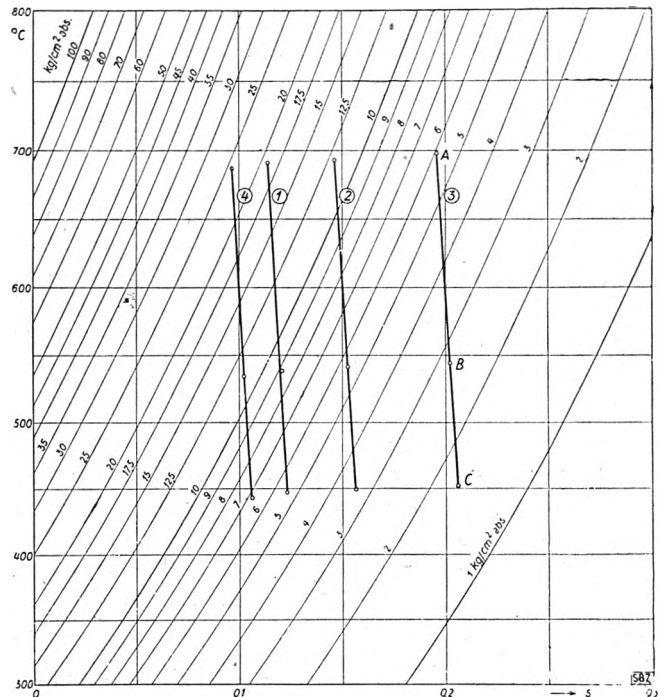
Rys. 6. Widok otwartego kadłuba wysokoprężnej sprężarki powietrznej.

kcal/kg, sprawność wewnętrzna 90,3%, stan powietrza przed sprężarką 6,47 ata, 16,4° C, za sprężarką 24,38 ata, 58,3° C, sprawność wewnętrzna izotermiczna sprężarki 76,6%.

Dodając do mocy na zaciskach straty w generatorze, otrzymujemy moc na sprężce 2111 kW; odejmując zaś ogólną moc napędów własnych 75,1 kW (wentylatory i pompa paliwowa 40,5 kW, pompa wody chłodzącej 3,8 kW, sprężarka pomocnicza do wyrównania strat powietrza 30,8 kW),

dochodzimy do mocy użytecznej 1968,9 kW. W stosunku do tej mocy zużycie ciepła wyniosło 2824,5 kcal/kWh, a sprawność cieplna urządzenia 30,5%, w stosunku zaś do mocy na sprężce 2111 kW zużycie ciepła 2641,6 kcal/kWh, sprawność 32,6%.

Krzywa sprawności cieplnej przy różnych obciążeniach wykazała przebieg płaski, spadając przy obciążeniu około 1/4 z wartości 32,6% na 25,5%. Analiza strat wykazała, że suma wszystkich strat obiegu z wyjątkiem strat w ogrzewaczu powietrza jest wielkością prawie stałą, a zatem, że zmienność sprawności cieplnej została spowodowana wyłącznie stratami w ogrzewaczu powietrza. Potwierdziły to wykresy rozprężania w układzie ts (rys. 7), które przy różnych obciążeniach wykazują ten sam przebieg, przesunięty równolegle. Punkt A oznacza wejście do turbiny wysokoprężnej, B do niskoprężnej, C wyjście z turbiny niskoprężnej.



Rys. 7. Krzywe rozprężania przy różnych obciążeniach zespołu.

Poza obserwacją regulacji w biegu jałowym, łatwości synchronizacji z siecią miejską itd. wykonano próby zasadnicze regulacji przy obciążeniu fabrycznym i na opory wodne. Wyniki przedstawione są na rys. 8. Część I przedstawia powiększenie obciążenia z 550 do 1210 kW w dwu nagłych skokach. Regulacja odbyła się przez doprowadzenie powietrza ze zbiornika. Wahanie obrotów nie przekroczyły 1%. W czasie tej próby dopływ paliwa nie był regulowany i temperatura przed turbiną spadała w tempie ok. 13° C na minutę. Część II dotyczy pracy zespołu na sieć fabryczną. Regulacja łatwo postępowała za wahaniami zapotrzebowania mocy. Część III przedstawia odciążenie z 1230 kW do 625 kW, regulowane częściowo przez otwarcie zaworu obwodowego, częściowo zaś przez wypuszczenie powietrza do zbiornika niskoprężnego. Wykres ciśnień potwierdza przewidywania teorii, że wskutek wypuszczenia powietrza z obiegu chwilowy spadek stosunku ciśnień powoduje niezwłoczny pożądany spadek mocy na długo przed osiągnięciem poziomu ciśnienia odpowiadającego nowemu obciążeniu. Wahanie liczby obrotów nie przewyższyły 1,2%.

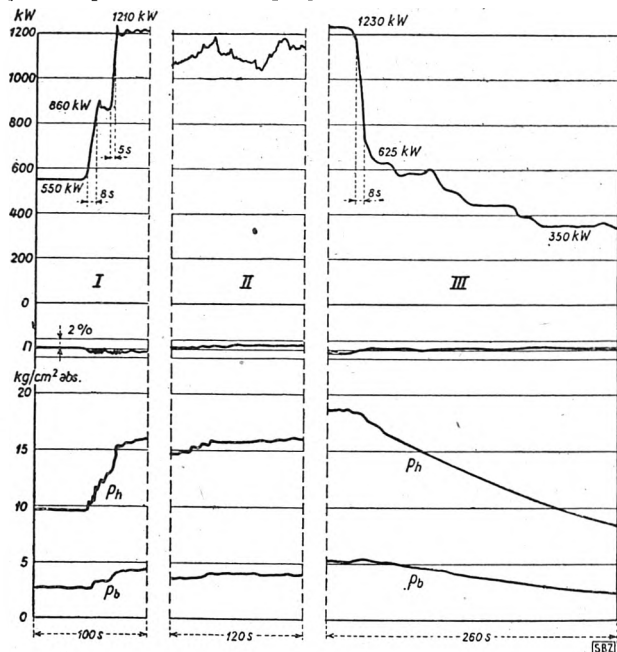
Regulacja dopływu paliwa, która w instalacji próbnej odbywała się ręcznie, nie samoczynnie, nie nastęrczała żadnych trudności.

Prof. Quiby stwierdza, że próby wykazały słuszność zasady regulacji i prawidłowość działania. Co do wysokości strat dodatkowych, wynikłych z doświadczalnego charakteru instalacji (zbyt długie rurociągi, za duże silniki napędów pomocniczych itd.), prof. Quiby ocenia je na 1,5%. O tyleż powiększyłaby się sprawność instalacji tej samej mocy, zbudowanej z wyeliminowaniem tych strat. Również

na sprawności sprężarki odbiło się wykonanie instalacji, jako obiektu doświadczalnego, o mocy, niezupełnie odpowiedniej dla tego typu maszyn. Dla większej mocy osiągnięto niezawodnie wyższe sprawności.

6. Charakterystyka siłowni.

Siłownia powietrzna jest próbą połączenia poszczególnych zalet termodynamicznych, konstrukcyjnych i ruchomych innych silników cieplnych. Zewnętrznie całość urzą-



Rys. 8. Wykresy regulacji siłowni powietrznej.

zenia przedstawia się jakby jedna aparatura powierzchniowa, podobna do instalacji chemicznej. Maszyny, turbina i sprężarka uderzająco małych wymiarów ustępują na plan dalszy.

W porównaniu z turbinami parowymi, jak też ze spalinowymi o obiegu otwartym, siłownię powietrzną wyróżniają korzystnie następujące cechy:

1. praca czystym powietrzem, co powiększa pewność ruchu i wyklucza spadek sprawności wobec braku zanieczyszczeń, osadów, nagryzień itp.;
2. mniejsze wymiary maszyn;
3. mniejsze różnice wysokości łopatek ze względu na wysokie przeciwcisnienie turbiny i ciśnienie początkowe sprężarki;
4. łatwość powiększenia mocy zespołu przez powiększenie gęstości czynnika roboczego w całym obiegu, czyli łatwość przeciążenia; jednocześnie łatwość dostosowania się do wyższych napiężeń przez obniżenie najwyższej temperatury obiegu;
5. mały spadek sprawności przy obciążeniach częściowych; jednocześnie łatwość dalszego wyrównania sprawności przez podniesienie najwyższej temperatury obiegu, dopuszczalne wobec mniejszych napiężeń;
6. zredukowanie liczby typów wobec możliwości zmiany mocy jednego typu w szerokich granicach przez przesuwanie granicznych ciśnień obiegu;
7. wyższa sprawność.

Niezależnie od tego należy jeszcze podkreślić następujące zalety w stosunku do siłowni turbinowych parowych:

1. zbędność wody zasilającej i wszystkich urządzeń, związanych z jej przygotowaniem i dostarczeniem;
2. mała liczba stopni turbiny wobec znacznie mniejszych spadków zawartości ciepła;
3. mniejsze zapotrzebowanie miejsca całego urządzenia;
4. niezależność temperatury czynnika od ciśnienia i stosowanie wyższych ciśnień nie dla wyższej sprawności, lecz dla osiągnięcia małych wymiarów;
5. zmniejszenie ilości wody chłodzącej nie tylko wobec ograniczenia jej zadania, ale i możliwości znacznie większego nagrzania tej wody;
6. możliwość wyzyskania ciepła odprowadzanego z wodą chłodzącą przez podwyższenie stopnia nagrzania i zastosowanie do celów ogrzewniczych;

7. swoboda w układzie siłowni wobec braku specjalnych wymagań co do prowadzenia skroplin, wody zasilającej itp.; istnieje np. możliwość ustawienia ogrzewacza powietrza poza budynkiem bez obawy zamarzania.

Wreszcie w porównaniu z obiegiem spalinowym otwartym należy uwydatnić następujące cechy:

1. mniejszą moc sprężarki w stosunku do mocy turbiny (w obiegu otwartym sprężarka zasysa i tłoczy nadmierne ilości powietrza, potrzebne do obniżenia temperatury spaliny);
2. większą gęstość czynnika roboczego, stąd mniejsze wymiary turbiny, a więc mniejsze zużycie drogich materiałów;
3. możliwość stosowania wyższych temperatur wobec bardziej równomiernego ogrzania czynnika roboczego i mniejszych wymiarów turbiny; jednoczesna łatwość utrzymania napiężeń w granicach 5—10 kg/mm² dla temperatur do 650° C i 2—5 kg/mm² do 750° C, zapewniających dostatecznie niską „szybkość pełzania” użytej stali;
4. wymiennik ciepła mniejszy wskutek większych ciśnień i prędkości, jako też czystego czynnika roboczego i możliwości stosowania rurek małej średnicy;
5. łatwość zastosowania paliwa gazowego przez zbędność osobnej sprężarki gazowej;
6. możliwość osiągnięcia wielkiej mocy użytecznej wobec mniejszych wymiarów ostatniego stopnia turbiny, a więc większej mocy granicznej turbiny, oraz mniejszej mocy sprężarki;
7. lepsze możliwości zastosowania paliwa stałego bądź w postaci pyłu węglowego, bądź w postaci gazu, po zgasowaniu w generatorach.

7. Widoki rozwoju.

Według przewidywań konstruktorów w dalszym rozwoju siłowni powietrznej możliwy jest bez nadmiernych trudności podział ogrzewacza na dwie części, czyli zastosowanie ogrzewania międzystopniowego, jak również podniesienie stosunku ciśnień. Pozwoli to jednocześnie na podniesienie sprawności i dalsze powiększenie mocy granicznej. Możliwy jest układ maszyn jednowałowy bez przekładni, co pozwoli na uproszczenie instalacji, albo dwuwałowy niesprzęgnięty (na jednym wale turbina wysokoprężna ze sprężarką, na drugim turbina niskoprężna z generatorem prądu elektrycznego), co pozwoli na wydatne zmniejszenie potrzebnej powierzchni. Już przy zastosowaniu ciśnienia 30 at da się osiągnąć moc użyteczną zespołu jednowałowego 100 000 kW, a przy ciśnieniu 60 at — moc 200 000 kW.

Siłownie powietrzne mogą być budowane bez podziemi, tj. w pomieszczeniach parterowych. Możliwe jest zastosowanie powietrza zamiast wody chłodzącej. Nie ma zasadniczych trudności w użyciu pyłu węglowego do ogrzewania powietrza.

Jako główne dziedziny zastosowania siłowni powietrznej można by ustalić: 1. siłownie dużej mocy, o ruchu ciągłym; 2. siłownie okrętowe; 3. siłownie na paliwo gazowe, w przemysłach o dużej ilości gazów odpadkowych (hutniczym, chemicznym itp.); 4. siłownie ogrzewnicze, dostarczające wody ogrzanej do 70—80° C do celów ogrzewniczych.

Interesujący projekt zastosowania zawiera wspomniany we wstępie odczyt dr Kellera. Dotyczy on użycia helu zamiast powietrza, a maszyny atomowej, jako źródła ciepła do ogrzewania helu. Specjalne własności helu w stosunku do reakcji atomowych pozwalałyby na ogrzewanie gazu bezpośrednio, bez użycia rurek ogrzewacza.

Co się tyczy możliwych do osiągnięcia sprawności, to przy założeniu danych konstrukcyjnych, leżących w sferze możliwości, i wszelkich ulepszeń można oczekiwać w instalacjach rzędu 10 000 kW i wyżej następujących wartości: temperatura powietrza przed sprężarką 20° C, przed turbiną 750° C, sprawność adiabatyka jednego kadłuba turbiny 92%, sprężarki 89%, sprawność mechaniczna turbiny i sprężarki 98,5%, stosunek ciśnień 3,5, różnica temperatur w wymienniku 20° C, współczynnik straty ciśnienia 0,06, współczynnik nadmiaru powietrza 1,2, temperatura spalin odlotowych 120° C, straty na promieniowanie 3,5%, napędy pomocnicze 6%, sprawność cieplna całej instalacji (stosunek energii na sprężkę do ciepła paliwa) 41,6%. Przy zastosowaniu międzystopniowego ogrzewania powietrza (tylko jednorazowego) sprawność wzrosłaby do 46,2%, co odpowiada zużyciu ciepła 1860 kcal/kWh.

8. Pogląd krytyczny.

Na podstawie tylko materiałów cytowanych we wstępie i przy braku doświadczeń ruchowych w innych instalacjach poza próbną trudno jest ustalić słabe strony nowego pomysłu. Bezsprzecznie należy do nich ogrzewacz powietrza.

Interesujące jest zestawienie porównawcze, wyjęte z wydawnictwa Brown Boveri ze stycznia 1946 r. Jako zalety instalacji spalinowej otwartej w przeciwstawieniu do powietrznej zamkniętej wysuwają się tam:

1. zbędność ogrzewacza powietrza, który ma być droższy, niż kocioł parowy odpowiedniej siłowni parowej;
2. mniejszy — w odniesieniu do powierzchni — koszt wymiennika, wobec niskich ciśnień;
3. zbędność urządzenia do chłodzenia powietrza;
4. niższa temperatura powietrza na ssaniu, której podwyższenie obniża moc i sprawność obiegu;
5. możliwość wyższych temperatur przed turbiną, nie ograniczonych przez temperaturę ścianek rur ogrzewacza.

Po odwróceniu tych sformułowań otrzymalibyśmy zestawienie słabych stron siłowni powietrznej, z których najbardziej istotną jest sprawa ogrzewacza, a więc kosztu, warunków pracy rurek, ich trwałości itp. Niewątpliwie komora spalania w turbinie spalinowej otwartej jest elementem konstrukcyjnym prostszym i tańszym, dzięki czemu instalacja spalinowa turbinowa ma być tańsza od siłowni dyzelskiej. Konstruktorzy siłowni powietrznej rzeczywiście przyznają, że w dzisiejszym stanie budowy ogrzewacz jest tak duży, jak nowoczesny kocioł wysokoprężny, oraz że koszt ogólny siłowni nie różni się wiele od siłowni parowej (z czego można by wnosić, że jest nieco wyższy).

Punkt 2 powyższego zestawienia wydaje się nieistotnym, wobec różnych wymiarów wymiennika, a punkt 4 — wobec łatwości uzyskania na innej podstawie wyższej mocy i sprawności właśnie w obiegu powietrznym zamkniętym. Wreszcie, jeżeli chodzi o punkt 5, konstruktorzy siłowni powietrznej podkreślają, że dobry współczynnik przejścia ciepła (dzięki wysokiemu ciśnieniu powietrza w ogrzewaczu) obniża temperaturę ścianek rur do takich granic, że mogą być w nich dopuszczone takie same naprężenia, jak w wirujących częściach turbiny. Rzeczywiście, pomiary wykazały, że w rurkach wewnętrznych, wystawionych bezpośrednio na działanie ognia, temperatura ścianek, wynosząca około 700° C, była zaledwie o kilkanaście stopni wyższa, niż temperatura powietrza przed turbiną. Najwyższa temperatura 600° C, stosowana w obiegu spalinowym otwartym, może być uważana za pośredni dowód gorszych warunków pracy. Niewątpliwie też rurki ogrzewacza powietrza pracują w lepszych warunkach, niż rurki przegrzewacza pary wodnej o bardzo wysokich temperaturach, atakującej materiał rurek reakcją utleniania.

W krytycznej ocenie siłowni powietrznej interesuje nas jeszcze sprawność. Otóż wykonywany jest obecnie zespół

spalinowy turbinowy o obiegu otwartym, mocy użytecznej 27000 kW, który — przy temperaturze powietrza 5° C — ma osiągnąć sprawność cieplną 34% (z uwzględnieniem już napędów pomocniczych), a to dzięki podwyższeniu ciśnienia spalania, sprężaniu powietrza w sprężarce dwukadłubowej i chłodzeniu między kadłubami, wreszcie zastosowaniu turbiny dwukadłubowej i ogrzewaniu ponownym spalin między kadłubami turbiny przez spalanie dodatkowego paliwa w drugiej komorze spalania przy niższym ciśnieniu niż w pierwszej.

W instalacji turbinowej parowej na najwyższą temperaturę 600° C, nie wykonanej, lecz dopiero obliczonej (Brown Boveri Revue, 1943 Nr 7/8), przy zastosowaniu ciśnienia 140 ata, przeciwcisnienia 0,04 ata, przegrzewania międzystopniowego pary na poziomie 35—30 ata znowu do temperatury 600° C, pięciostopniowego podgrzewania skroplin do 218° C, turbin o mocy 50 000 kW i kotłów normalnej budowy o sprawności 86%, sprawność cieplną całej instalacji wynosiłaby przy obciążeniu ekonomicznym 35%, czyli zużycie ciepła byłoby 2457 kcal/kWh. Przy zastosowaniu kotłów i przegrzewaczy Velox o sprawności 93% i podgrzewaniu skroplin tylko do 100° C sprawność wzrosłaby do 36,6%, a zużycie ciepła spadłoby do 2350 kcal/kWh.

Obydwie te sprawności — 34% i 36,6% (względnie 35%) — nie są, oczywiście, porównywalne z niższą sprawnością, osiągniętą w doświadczalnej siłowni powietrznej o mocy 2000 kW. Należałoby je porównywać tylko ze sprawnością siłowni dużej mocy, z dodatkowym międzystopniowym ogrzewaniem powietrza, dochodzącą według przewidywań konstruktorów do 46,2% (ob. rozdz. 7).

Rozpowszechnieniu siłowni powietrznej przeszkodziła niewątpliwie wojna. Byłoby rzeczą niesłuszną uważać dość liczne wypadki zastosowania siłowni spalinowych z obiegiem otwartym za dowód uzyskanej przez ten obieg przewagi nad obiegiem powietrznym zamkniętym. Przypisać je należy raczej szczególnym właściwościom instalacji o obiegu otwartym: małym kosztom instalacyjnym, prostocie budowy i obsługi, możliwości stosowania taniego paliwa odpadkowego (mazutu). Wszędzie tam, gdzie chodzi o rezerwę, uzupełnienie mocy i pracę dorywczą, względy te przeważają małe zużycie paliwa. Podwyższenie sprawności cieplnej wymaga już skomplikowania instalacji i nie może osiągnąć poziomu obiegu zamkniętego. Wydaje się, że zastosowanie siłowni powietrznej, wobec powojennych trudności paliwowych, pójdzie przede wszystkim w kierunku wyzyskania dobrej sprawności w instalacjach większej mocy. Znaczne osiągalne oszczędności w zużyciu paliwa w połączeniu z innymi zaletami wyznaczają siłowni powietrznej poważną rolę w przyszłości. Oszczędność w zużyciu paliwa w stosunku do najlepszych wyników, osiągalnych w siłowniach parowych, sądząc z uzasadnionych przewidywań konstruktorów, wyrazi się liczbą okrągłą 25%. Jest sprawą rachunku rentowności zdecydowanie, jaką zwyczajną kosztów inwestycyjnych uzasadni osiągnięta oszczędność.

INŻ. B. WITWIŃSKI

Energetyka Okręgu Warszawskiego

Treść: Główne cechy charakterystyczne poboru prądu elektrycznego w wielkim mieście i metoda badania tego poboru. Założenia pomocnicze i „hypoteza ludnościowa” (zaludnienie obszaru w poszczególnych latach oraz zawodowy podział ludności). Pobór mocy i energii elektrycznej w różnych latach i dla różnych grup odbiorców: oświetlenie, grzejnictwo domowe, przemysł, trakcja elektryczna, instytucje społeczne i państwowe. Istniejące i projektowane źródła do pokrycia zapotrzebowania energii. Sposób tego pokrycia w ciągu 25-letniego okresu, podany na uporządkowanych wykresach obciążeń rocznych. Program inwestycji energetycznych w postaci harmonogramu.

I. Założenia ogólne.

Energetyka jest jednym z poważnych fragmentów odbudowy i rozbudowy Okręgu Stołecznego przy jednoczesnej realizacji nowej koncepcji stołecznego zespołu miejskiego w ramach tworzącego się nowego ustroju społecznego i gospodarczego.

Budowa nowych urządzeń winna być poprzedzona projektowaniem, projektowanie zaś — planowaniem, przez które w elektroenergetyce rozumiemy przewidywanie głównych danych dla projektującego, odniesionych do dłuższego okresu czasu w odstępach np. co 5 lat. Badanie winno obejmować dłuższy okres czasu, ponieważ inwestycje energetyczne mają charakter długofalowy i są powiązane z zagadnieniem

przemysłu, komunikacji i transportu; regulacji rzek oraz z ogólną polityką demograficzną. Inwestycje te wymagają wzajemnego zharmonizowania na całym terenie państwa oraz dłuższego czasu budowy.

Musimy ustalić następujące dane: zapotrzebowanie roczne energii elektrycznej w kWh, ogólny szczyt mocy do pokrycia w kW, rozłożenie przestrzenne zapotrzebowania energii i mocy na poszczególne części rozpatrywanego obszaru, rozłożenie w czasie zapotrzebowania energii i mocy przez zaprojektowanie dziennej i rocznej zmienności tych wielkości oraz ewolucji w miarę upływu rozważanego okresu.

Planowanie takie, trudne nawet w okresie stabilizacji stosunków gospodarczych, jest szczególnie trudne w dobie obecnych znacznych zmian struktury społeczno-gospodarczej oraz w dobie powojennego gwałtownego rozwoju techniki. W okresie stabilizacji możemy przy planowaniu korzystać z wykresów, uzyskanych w czasie poprzednim, i poddać je ekstrapolacji, stosując dla kontroli porównanie z liczbami z innych krajów.

W niniejszym opracowaniu przyjęto następującą drogę. Na zasadzie prac badawczych, prowadzonych obecnie m.

ciągłych i nie znoszących przerwy i jest zelektryfikowanym przemysłem przetwórczym. Charakter ten powoduje na wykresie obciążenia niepożądane dla elektrowni doliny nocne.

8. Mały czas rocznego wyzyskania szczytu obciążenia, np. dla kilku miast europejskich w 1934 r.:

Wiedeń 3317 h, Kopenhaga 2560 h, Berlin 3040 h.

W wyniku powyższych przyczyn otrzymujemy dużą rozpiętość między rocznym szczytem i roczną doliną. Np. w Warszawie odpowiedni stosunek wynosił w 1938 r. 1 : 7,5; w zmienionych warunkach w r. 1946 wynosi on 1 : 5.

Niniejsze opracowanie oparto na następujących założeniach, wynikających częściowo ze zrealizowanej u nas organizacji energetyki i wogóle życia gospodarczego, częściowo zaś z obserwowanych tendencji rozwojowych.

a) Zakłada się planową i jednolicie dysponowaną współpracę wszystkich źródeł energii elektrycznej, dostępnych dla okręgu oraz wszystkich urządzeń sieciowych. Okręg Warszawski jest jednolicie kierowany przez Zjednoczenie Energetyczne i obejmuje (rys. 1) teren powiatów: warszawskiego, błońskiego, grójeckiego, mińskiego, pułtuskiego, radzyńskiego, węgrowskiego, sokołowskiego i półn. cz. garwolińskiego.

Ścisłejszy obszar Warszawy o miejskim i podmiejskim charakterze, gromadzący tereny, ciężące bezpośrednio do stolicy, nazywany jest w dalszym ciągu Warszawskim Zespołem Miejskim (WZM). Teren ten sięga (rys. 1) od Modlińska po Górę Kalwanię i od Zielonki po Pruszków, obejmuje zatem Warszawę w obecnych granicach administracyjnych i tereny peryferyjne.

b) Zakłada się, że dla grzeźnictwa domowego (oprócz grzania lokalni) stosuje się „częściej” elektryczność niż gaz i to w stos. 1 : 3. Należy, rozważając tę sprawę, uwzględnić okoliczność, że sieć gazowa istnieje lub będzie odbudowana w dzielnicy śródmiejskiej Warszawy i może w kilku dzielnicach mieszkaniowych, istniejących jako takie przed 1939 r. (Mokotów, Żolibórz). Ścisłe śródmieście zresztą przestanie zwolna być ośrodkiem mieszkalnym. Natomiast nowo-projektowane dzielnice mieszkalne prawdopodobnie nie otrzymają wogóle sieci gazowej. W tych warunkach zużycie gazu do celów grzeźnictwa domowego będzie się zmniejszać, jak to zresztą było i przed 1939 r. w Warszawie i w innych wielkich miastach w Europie.

c) Zakłada się, że zużycie en. elektr. na jednego mieszkańca będzie szybko wzrastać, osiągając w 1960 r. poziom głównych krajów zachodnio-europejskich. Należy zwrócić uwagę, że już w 1945 i 1946 r. obserwuje się oczekiwany lawinowy wzrost spożycia energii elektrycznej jak w całym państwie, tak i w Warszawie. Odnośne liczby przekroczyły już liczby z 1938 r. Mianowicie roczne spożycie w kWh na 1 mieszkańca wynosiło:

	1938 r.	1945 r.	1946 r.
w całej Polsce	113	157	225
w Warszawie	172	ok. 130	273

Przyczyny wzrostu spożycia energii elektrycznej w Polsce należy szukać w tempie rozwojowym głównych przemysłów, w przyłączeniu i zaludnieniu ziem odzyskanych, w żywiołowym pędzie do podniesienia poziomu życiowego, wreszcie w stosunkowej taniości prądu elektrycznego. Jak wiadomo bowiem ceny prądu i węgla (wolnorynkowe) są takie, że opłaca się elektryczne ogrzewanie każdego lokalu mieszkalnego. Poza tym ogólna polityka cen idzie po linii niskiej ceny prądu elektrycznego, jako artykułu pierwszej potrzeby dla ludności.

W dalszych obliczeniach odbiorcy energii elektrycznej będą podzieleni na grupy, a w obrębie każdej grupy będą przeprowadzone odrębne założenia i badanie udziału grupy w ogólnym szczycie oraz w ogólnym poborze prądu. Będą to następujące grupy:

- 1) oświetlenie i grzeźnictwo w gospodarstwach domowych,
- 2) oświetlenie i grzeźnictwo w lokalach handlowych i gastronomicznych,
- 3) oświetlenie i grzeźnictwo w biurach i instytucjach, urzędach, teatrach, szpitalach, szkołach itp.,
- 4) oświetlenie publiczne zewnętrzne ulic, reklam, lotnisk itp.,
- 5) trakcja elektryczna wszelkiego rodzaju — węzeł kolejowy P. K. P., miejska komunikacja, podmiejska komunikacja,

- 6) przemysł,
- 7) wodociągi, kanalizacja, odwodnienia, drogi wodne,
- 8) rzemiosło,
- 9) rolnictwo i ogrodnictwo,
- 10) zużycie własne elektrowni.

Z wymienionych grup decydujące znaczenie posiadają oświetlenie i grzeźnictwo domowe, trakcja elektryczna i przemysł.

Przed przystąpieniem do obliczeń należy rozważyć zagadnienie demograficzne, a więc wielkość zaludnienia, jego dynamikę oraz podział ludności na główne grupy. Opieramy się na dokonanych już pracach w tej dziedzinie (ob. m. inn. Skarpe Warszawską, nr 12 z 1946 r.). W tabl. 1 podajemy tzw. hipotezę ludnościową oddzielnie dla Warszawskiego Zespołu Miejskiego (WZM) i oddzielnie dla pozostałego obszaru okręgu energetycznego warszawskiego.

Tabl. 1. Zaludnienie okręgu.

Rok	Zaludnienie WZM	Zaludnienie pozostałej części okręgu	Zaludnienie całego okręgu
1946	610 000	650 000	1 260 000
1950	840 000	690 000	1 530 000
1955	1 000 000	725 000	1 725 000
1960	1 100 000	750 000	1 850 000
1965	1 180 000	780 000	1 960 000
1970	1 250 000	800 000	2 050 000

Liczba zawodowo czynnych w przemyśle na 1 mln. ludności 120 000

Liczba zawodowo czynnych w rzemiosle na 1 mln. ludności 55 000

Liczba zawodowo czynnych i biernych w rolnictwie tj. żyjących z pracy na roli, włączając członków rodzin, na 1 mln. ludności 100 000

Pojęcie „zawodowo czynny” oznacza mieszkańca osobicie wykonywującego daną zarobkową pracę. Pojęcie „zawodowo bierny” oznacza członków rodziny „zawodowo czynnego”, którzy sami nie pracują w danym zawodzie lub, co najwyżej, pomagają nieco, jak to bywa w rolnictwie.

Rozważania rozciągniemy na lata 1946, 1950, 1955, 1960, 1965 i 1970 dla każdej z 10 grup oddzielnie.

Na zasadzie liczb wyjściowych, przyjętych dla każdej grupy, obliczamy dla poszczególnych lat zapotrzebowanie energii (w kWh) i udział w szczycie (w kW). Wyniki podaje tabl. 5. Dane dla 1946 r. są punktem wyjściowym rozważań i nie są oparte na hipotezie, lecz na statystyce już posiadanej.

II. Obliczenie poboru mocy i energii.

Grupa I. Gospodarstwo domowe (oświetlenie i grzeźnictwo).

Zgodnie z podaną wyżej tablicą zaludnienia (tabl. 1) podano w tabl. 2 oddzielnie dla rozszerzonej Warszawy (WZM) i dla pozostałej części okręgu liczbę gospodarstw domowych oraz założone procenty ludności, korzystającej z prądu elektrycznego. Stąd ustalono liczby drobnych odbiorców prądu przyłączonych do sieci.

Tabl. 2. Gospodarstwa domowe.

Lata	WZM		Pozostała część okręgu		Liczba gospodarstw przyłącz. do sieci				
	a	b	a	b	WZM		Pozostała część okręgu		
					%		%		
1946	3,6	169 000	4,2	154 000	74	125 000	6,5	10 000	135 000
1950	3,6	233 000	4,0	172 000	75	175 000	10	17 200	192 200
1955	3,4	294 000	3,8	191 000	78	229 000	17	32 500	261 500
1960	3,4	324 000	3,8	197 000	85	275 000	40	78 800	353 800
1965	3,4	347 000	3,6	205 000	94	326 000	65	133 000	459 000
1970	3,4	368 000	3,6	290 000	96	353 000	80	176 000	529 000

Oznaczenia: a — liczba mieszkańców na 1 gospodarstwo domowe,

b — liczba gospodarstw domowych.

Opierając się na danych dotychczasowej praktyki, dotyczących miast polskich i zagranicznych, musimy zaprojektować średnią moc zainstalowaną na 1 gospodarstwo w kW,

udział w ogólnym szczytcie, wyrażony w kW i w % mocy zainstalowanej, roczny czas wyzyskania mocy zainstalowanej w godzinach.

Przewidujemy następujący rozwój zapotrzebowania.

W latach 1946—1950 ludność będzie anormalnie słończona. Stąd przy dążeniu do ułatwienia życia przez stosowanie prądu elektrycznego oraz wobec niskich taryf na prąd elektryczny otrzymamy anormalnie duży czas wyzyskania mocy. Zjawisko to występuje wyraźnie już w 1946 r.; jedyną tamą, powstrzymującą lawinowy wzrost poboru energii elektrycznej, są zakazy ze strony elektrowni, kontyngenty miesięczne oraz trudności nabywania grzejników.

Od 1955 r. do 1965 r. będzie występowało intensywne przechodzenie z grzejnictwa domowego gazowego na elektryczne. Również będą intensywnie rozbudowywane sieci i przyłączenia mieszkań, przy czym akcja ta w Warszawie z natury rzeczy wyprzedzać będzie resztę okręgu. Około r. 1965 będzie osiągnięty stan nasycenia charakterystyczny dla przodujących państw Europy.

Zakładamy dla oświetlenia i grzejnictwa domowego liczby, podane w tabl. 3.

Tabl. 3. Przewidywane zapotrzebowanie energii dla gospodarstw domowych.

	W końcu 1946	W końcu 1955	W końcu 1970
Moc przyłączona średnia na 1 odbiorcę w kW	0,300	0,900	3,000
Udział w ogóln. szczytcie: w % mocy zainstalowanej w kW	65	30	14
Roczne wyzyskanie mocy przyłączonej w h	0,195	0,270	0,420
Roczne spożycie na 1 odbiorcę w kWh	1950	850	400
	585	765	1 200

Liczby, dotyczące pośrednich lat, będą w dalszym opracowaniu wyśredniowane.

Z liczb mocy przeciętnej przyłączonej na 1 odbiorcę wynika, że przyrządy grzejne grają tu dużą rolę, wzrastającą z biegiem lat. Uzasadnieniem tych liczb mogą być następujące materiały, dotyczące polskich i zagranicznych warunków i zaczerpnięte z podanych źródeł:

a) Podług statystyki Elektrowni Miejskiej w Warszawie w 1936 r. średnia moc przyłączona u drobnego odbiorcy na oświetlenie i drobne grzejnictwo wynosiła 259 W, średnie zużycie roczne 143 kWh. Udział w oświetleniowym wzroście obciążenia był na 1 odbiorcę w 1937 r. 109 W, w 1938 r. 101 W.

Liczba ta oznacza przypadającą na jednego odbiorcę różnicę w listopadzie lub grudniu pomiędzy szczytem a średnim dziennym obciążeniem przed nastaniem zimy. Jest to zatem w warunkach warszawskich, gdzie prawie nie ma dużych kuchen elektrycznych, średni udział oświetlenia i drobnego grzejnictwa domowego w wieczorowym szczytcie zimowym. Liczba ta dla Warszawy wynosiła około 1 listopada 1946 r. blisko 160 W. Zawarte jest tu pewne zniekształcenie, wywołane przez udział biur i sklepów, zresztą nieduże ze względu na jesienny, a nie zimowy sezon. Natomiast większe jest może zniekształcenie z powodu piecyków (temperatura ok. + 3° C — zimna jesień!), które nie wchodzi do wieczorowego skoku obciążenia, obliczonego w powyższy sposób: włączane w różnych godzinach dnia i nocy piecyki nie biorą udziału w liczbie 160 W, mają zaś swój niewątpliwą udział w wieczorowym szczytcie.

b) W Zurychu (PE 1936, str. 12) średnia moc zainstalowana w 1932 r. na światło i drobne grzejnictwo była 500 W.

c) W Prawdze ta sama liczba w 1932 r. wynosiła 370 W.

d) W Niemczech podług Wirtschaftsgruppe Elektrizitätversorgung (WEV) — Grundfragen der Elektrizitätswirtschaft — w 1936 roku moc zainstalowana na światło i drobne grzejnictwo wynosiła przeciętnie w 1 instalacji 500 W, roczne wyzyskanie tej mocy było 400 h; moc zainstalowana mieszkań z kuchnią elektryczną wynosiła średnio 5500 W, roczne wyzyskanie tej mocy około 180 h; grzanie posiłków przy całkowitej elektryfikacji kuchni: średnie miesięczne zużycie 192 kWh na rodzinę; udział w szczytcie elektrowni 3—4% mocy zainstalowanej.

e) W Austrii podług Ratgeber ü Oester. Kleinabnehmer — Tarife (1934) przeciętnie: moc zainstalowana na światło i drobne grzejnictwo w 1 instalacji średnio w granicach 600—1200 W, roczne wyzyskanie 500—200 h, moc zainstalowana mieszkań z kuchnią elektryczną 2000—6000 W, roczny czas wyzyskania 500—300 h.

f) W Hamburgu (P. E., 1936, str. 12) średnia moc zainstalowana 369 W.

g) W Gdyni w grupie domów całkowicie zelektryfikowanych średnia moc zainstalowana (P.E., 1939, str. 540) w 1 mieszkaniu 4250 W, roczne wyzyskanie tej mocy 425 h, szczyt na 1 mieszkanie 325 W, roczne zużycie na 1 mieszkanie 1802 kWh.

h) W Łodzi w 1938 r. roczne zużycie na oświetlenie na 1 odbiorcę 166 kWh.

i) Podług Gospodarki Elektrycznej M. Altenberga w Römerstadt pod Frankfurtem, według danych z 1200 lokali całkowicie zelektryfikowanych przy średniej liczebności 1 rodziny — 3 osoby, zużycie na światło wyniosło 0,18 kWh dziennie na osobę, na gotowanie 0,77 kWh dziennie na osobę, na grzanie wody 1,43 kWh dziennie na osobę, razem 2,38 kWh, a więc roczne zużycie na rodzinę 2,33 · 365 · 3 = 2610 kWh. Udział kuchni o mocy 5,4 kW w szczytcie ogólnym — 15% mocy zainstalowanej.

j) Podług Mortzscha (Elektrisches Kochen, 1932) 1 kuchnia elektryczna bierze udział w szczytcie elektrowni mocą 200 W.

k) Podług V. Lista — Gospodarka Elektryczna — podwojenie spożycia energii w dużych przedsiębiorstwach elektryfikacyjnych następuje po 2—10 latach.

Udział grupy w ogólnym poborze prądu jest znaczny, zmniejsza ona czas rocznego użytkowania ogólnego szczytu obciążenia.

Grupa 2. Zakłady handlowe, gastronomiczne itp.

W grupie tej ujęte jest oświetlenie, grzejnictwo i drobna siła w sklepach, restauracjach, kawiarniach itp. Podług Małego Rocznika Statystycznego w 1938 r. ilość wykup. świadectw handl. w Warszawie była 33 115, w woj. Warszawskim 36 218.

Liczby te są ważne przy ówczesnym zaludnieniu w m. st. Warszawie 1 289 000 mieszk. i w woj. Warszawskim 2 740 000 mieszk. Na 1000 mieszkańców wypadało sklepów (a ściślej świadectw przemysłowych): w m. st. Warszawie 25,7, w woj. Warszawskim 13,2.

We wrześniu 1946 r. było w Warszawie na 1000 mieszkańców ok. 8 sklepów i zakładów gastronomicznych, przyłączonych do sieci elektrycznej. W pozostałej części okręgu liczba ta jest znacznie mniejsza.

Zakładamy, że organizacja rozdziału towarów ulegnie poprawie i że spółdzielnie będą odgrywać coraz bardziej wzrastającą rolę. W związku z tym liczba sklepów na 1000 mieszkańców będzie się zmniejszać po przejściowym wzroście, spowodowanym wzrostem prywatnego pośrednictwa i niedostatecznym jeszcze rozwojem spółdzielczości.

Przyjmujemy następujące ilości zakładów, przyłączonych do sieci na 1000 mieszkańców, włączając w to również zakłady gastronomiczne:

	W. Z. M.	Reszta okręgu
w latach 1946—50	5,5 zakł.	3,6 zakł.
" 1951—60	10 "	8 "
" 1961—70	8 "	7 "

Przyjmujemy, że procent sklepów i tym podobnych przedsiębiorstw, dołączonych do sieci elektrycznej, jest w stosunku do całkowitej liczby zakładów znacznie większy, niż dla mieszkań prywatnych.

Zakładamy następujące moce przyłączone, udział w szczytcie i roczny czas wyzyskania przeciętnie na 1 sklep itp.:

Moc przyłączona	Spółczynnik udziału w szczytcie	Roczny czas wyzyskania mocy przyłączonej
1946 0,4 kW	0,75	1200 h
1950 0,5 "		
1955 0,6 "		
1960 0,8 "		
1965 1,2 "		
1970 1,75 "		

Powyższe cyfry czasu wyzyskania podobne są do danych dla Berlina i Osnabrück, przytoczonych przez Seegera („Lichtverbrauch Europas”), oraz odpowiadają ogólnej ocenie wzrostu tej liczby.

Grupa 3. Biura i instytucje publiczne.

Do grupy tej należą nie tylko instytucje państwowe, lecz również samorządowe, spółdzielcze i inne. Należą tu również szkoły, szpitale itp. oraz biura prywatne.

Grupa ta gra nieoczekiwanie dużą rolę w poborze prądu i cechuje ją stosunkowo znaczne wyzyskanie mocy przyłączonej. Objaśnia się to okolicznością, że w tej grupie bezpośrednio użytkujący prąd nie płaci zań (płaci instytucja!); należą tu również często mieszkania prywatne pracowników, przyłączone do licznika instytucji. Elektryczne grzejnictwo jest w tej grupie znacznie rozpowszechnione. Nienaturalnie duże wyzyskanie mocy zainstalowanej w tej grupie (mieszkania przy biurach, piecyki w biurach!) będzie zmniejszać się w najbliższych latach w miarę normalizacji stosunków.

Liczba tego rodzaju instytucji odrębnych lokalowo na terenie okręgu sięga w końcu 1946 r. ok. 3000 z mocą zainstalowaną przeciętnie 4,8 kW, z rocznym czasem wyzyskania ok. 1100 h i ze współczynnikiem udziału w szczycie obciążenia 0,7. Liczby te wzrastają z biegiem lat z wyjątkiem współczynnika udziału w szczycie i rocznego czasu wyzyskania. Przepiętna moc przyłączona początkowo w miarę normalizacji stosunków maleje, w dalszych zaś latach wzrasta na skutek ogólnego postępu. Zakładamy zatem następujące liczby:

	Moc przyłącz. na 1 lokal	Liczba lokalów	Spółczynnik udziału w szczycie	Roczny czas wyzyskania mocy przyłączonej
1946	4,8 kW	3000	0,7	1100 h
1950	3,0 kW	5100		730 "
1955		5400		730 "
1960	4,0 kW	7500		700 "
1965		8250		650 "
1970		9000		650 "

Grupa 4. Oświetlenie publiczne zewnętrzne.

Do tej grupy zaliczono oświetlenie ulic, reklam, fontain, dróg dojazdowych itp. Przyjęto, że w r. 1951 będzie osiągnięte zapotrzebowanie mocy i energii zbliżone do liczb z 1938 r. tj.

W Elektrowni Warszawskiej	7 943 000 kWh
W Elektrowni Pruskowskiej	713 000 kWh
	8 656 000 kWh.

Zakładając 3000 h rocznego wyzyskania, otrzymamy moc zainstalowaną 1938 r. w zaokrągleniu 3000 kW.

Wzrost ilości lamp elektrycznych do oświetlenia publicznego w Warszawie wynosił od 1929 r. do 1932 r. 23%. Odpowiednie liczby dla miast zagranicznych były: Wiedeń 24%, Zurych 35%, Praga 45%, Rzym 14%, Budapeszt 30% (według Seegera, Der Lichtverbrauch Europas).

Założono, zgodnie z programem odbudowy stolicy oraz z ogólną tendencją w Europie, zaznaczoną w wymienionej książce Seegera, wzrost mocy lamp po 1950 r. w wysokości 100% w ciągu 5 lat; w dalszych latach liczba ta maleje.

Roczny czas wyzyskania oświetlenia publicznego zależy od stosunku ilości lamp całonocnych do ilości lamp północnych. W pierwszym powojennym roku czas ten wynosi 3500 h, a więc znaczną przewagę mają lampy całonocne. W 1950 r. i w dalszych latach następuje wzrost liczby lamp północnych i spadek czasu wyzyskania mocy. Zasadniczo jednak ze wzrostem dobrobytu i rozwojem stolicy nastąpi tendencja przechodzenia na lampy całonocne, wskutek czego czas wyzyskania znacznie znów wzrasta. Udział grupy oświetlenia publicznego w ogólnym szczycie przyjęto całą mocą. Moce te, założone dla poszczególnych lat, są następujące:

1946 — 1200 kW	1960 — 7000 kW
1950 — 2400 "	1965 — 9500 "
1955 — 5000 "	1970 — 12000 "

Zużycie energii na oświetlenie publiczne stanowi 2—3% całkowitego zużycia. Jest to zgodne z danymi dla głównych miast europejskich, przytoczonymi w cytowanej pracy Seegera.

Grupa 5. Trakcja elektryczna wszelkich rodzajów.

Należy tu trakcja osobowa i towarowa na zelektryfikowanych liniach węzła warszawskiego P. K. P., miejska komunikacja elektryczna — tramwaje, elektrobusey i kolejki podziemna, podmiejskie kolejki elektryczne.

Dane, dotyczące obciążenia i pracy potrzebnej dla trakcji, zaczerpnięto z informacji dostarczonych przez Wydział Elektryczny P. K. P. oraz przez Miejskie Zakłady Komunikacyjne.

Jako szczyt włączony do zestawień szczytu ogólnego przyjęto sumę arytmetyczną szczytów 15-minutowych, powiększając tę liczbę dla lat 1946 i 1950 o ok. 20% ze względu na małą jeszcze gęstość ruchu i pochodzące stąd ostrzejsze występowanie szczytów chwilowych, które same w sobie mogą przekraczać szczyty 15-minutowe o 100—200%.

Roczne wyzyskanie szczytu grupowego zaprojektowano w grupie trakcji elektrycznej od 2750 h w 1946 r. do 3700 h w 1970 r. Grupa ta zatem początkowo zmniejsza wyzyskanie szczytu całości, po 1955 r. zaś wpływ jej zmienia się na odwrotny.

Przyjęto, że cały szczyt obliczony w powyższy sposób wchodzi do szczytu obciążenia okręgu. Oto jakie są liczby przyjętego udziału grupy trakcji w szczycie okręgu, jak również roczne wyzyskanie:

1946 — 6000 kW — 2750 h	1960 — 75000 kW — 3500 h
1950 — 13000 " — 3200 "	1965 — 115000 " — 3600 "
1955 — 35000 " — 3400 "	1970 — 150000 " — 3700 "

Grupa 6. Przemysł.

Przemysł stołeczny ma specjalny charakter, odpowiadający określeniu „przemysł przetwórczy”. Rozumie się przez to następujące rodzaje przemysłu, które mają skłonność do grupowania się w dużym mieście stołecznym, odległym od baz surowcowych: mineralny, metalowy, elektrotechniczny, chemiczny, włókienniczy, papierniczy, skórzany, drzewny, spożywczy, poligraficzny, precyzyjny.

Rzeczywiście przemysł okręgu warszawskiego przed 1939 r. dawał taki właśnie obraz. Wymienione przemysły nie wymagają dowozu ciężkich objętościowych surowców i środków transportu o dużej zdolności przepustowej, natomiast wymagają wysoko kwalifikowanej pracy ludzkiej, są dobrze zelektryfikowane, wymagają ciepła i gazu, również bliskości pracowni badawczych, kontaktu z rzeczoznawcami. Przemysły te mogą być tylko w nieznacznym stopniu uciążliwe dla otoczenia. Powyższymi okolicznościami tłumaczy się, że właśnie te, a nie inne gałęzie przemysłu grupowały się w sposób naturalny w okręgu stolicy. Jest rzeczą prawdopodobną, że i w zmienionych warunkach społeczno-gospodarczych pozostaną w okręgu stołecznym te same rodzaje przemysłu, ponieważ wymienione cechy przemysłu wielkomiejskiego nie są związane wyłącznie z warunkami dawnymi.

Podług Mał. Roczn. Statyst. z 1939 r. dla wymienionych kategorii przemysłu były miarodajne po odpowiednim przeliczeniu następujące dane, dotyczące całej Polski i 1936 r.:

Moc silników różn. rodzajów na 1 pracown.	1,98 kW
To samo odnośnie siln. elektrycznych	1,12 kW
Ilość zakładów przemysł. (I—VII kateg. świad. przemysł.), czynnych w 1937 r.:	
w Warszawie	2676
w woj. Warszawskim	1177
w całej Polsce	24362

Ilość pracowników najemnych w zakł. i latach j. w.	
w Warszawie	99817
w woj. Warszawskim	43337
w całej Polsce	794796

Zużycie energii elektrycznej na 1 pracownika	
rocznie dla całej Polski	2140 kWh
Roczne wyzyskanie mocy siln. elektr.	1920 h

W tablicy 4 przytoczono zużycie energii i jej koszt dla różnych rodzajów przemysłu podług włoskich danych.

W grupie „przemysł” nie uwzględniamy urządzeń użyteczności publicznej, jak elektrownie, wodociągi, komunikacja itp.

Obliczenie przypuszczalnego zapotrzebowania mocy i energii elektrycznej przez przemysł można by dokonać kilkoma

drogami. Więc można by zaprojektować: a) rodzaje przemysłu dla danego okręgu, b) rozmiary produkcji każdego rodzaju, liczbę zakładów przemysłowych itp., c) zużycie energii elektrycznej dla produkcji o zaprojektowanej pojemności, d) zmianę powyższych charakterystycznych liczb w ciągu rozważanego okresu. Stąd można by uzyskać zapotrzebowanie energii przez przemysł.

Metoda powyższa kryje jednak zbyt dużo niewiadomych i jest bardzo skomplikowana, będąc jednocześnie metodą

Tabl. 4. Zużycie energii elektrycznej w przemyśle i jej koszt podług włoskich danych z lat 1931 — 1932¹⁾

Przemysł	Spółczynnik elektryfikacji ²⁾		Koszt robocizny (w lirach na godz.)		Zużycie energii w kWh na 100 lirów wydatków na robociznę ³⁾	
	1931	1932	1931	1932	1931	1932
Papierniczy	3,57	4,00	1,81	1,78	197,2	224,7
Metalurgiczny	2,89	3,38	2,58	2,50	112,0	135,2
Chemiczny	1,42	1,85	2,12	2,06	66,9	89,8
Spożywczy	1,34	1,48	1,94	1,92	69,0	77,0
Włókienniczy	0,65	0,75	1,49	1,44	43,6	52,0
Mechaniczny	0,59	0,62	2,58	2,50	22,8	24,8
Ceramiczny i szklany	0,64	0,61	2,15	2,09	29,7	29,1
Górnictwo	0,45	0,53	2,14	1,96	21,0	27,0
Budowlany	0,33	0,37	2,13	2,06	15,4	17,9
Drzewny	0,37	0,37	1,89	1,84	19,5	20,1
Graficzny	0,22	0,24	2,41	2,45	9,1	9,8
Odzieżowy	0,09	0,10	1,56	1,49	5,7	6,7

¹⁾ Wyciąg z biuletynu Komisji Propagandowej Związku Elektrowni Polskich, wrzesień 1935 r., nr 2 (59-63), str. 50.

²⁾ Spółcz. elektryfikacji jest to stosunek zużytych kWh do liczby robotniko-godzin.

³⁾ Średni koszt energii dla przemysłu wynosił w tych latach prawdopodobnie około 0,7 lira/kWh.

najbardziej przejrzystej syntezy. Sposób ten lepiej nadaje się do planowania zużycia energii elektrycznej np. w okręgu górniczym lub hutniczym, w okręgu jednolitego ciężkiego przemysłu.

W niniejszym opracowaniu i wobec rodzajów przemysłu, których rozmiar wytwórczości niepomierne trudniej jest zaprojektować niż np. w górnictwie węglowym, zastosowano metodę inną: wychodząc z liczby ludności zawodowo czynnej w przemyśle (tzn. liczby pracowników bez wliczenia rodzin) oraz z przyjętego na współczesnym poziomie stopnia zelektryfikowania przemysłu, zaprojektowano zużycie energii elektrycznej na 1 robotnika. Stąd otrzymano zużycie mocy i energii przez przemysł w miarę rozwoju stolicy.

Na podstawie specjalnych badań statystycznych i demograficznych przyjęto, że ilość zawodowo czynnych w przemyśle wyniesie na obszarze W. Z. M., poczynając od 1955 r., 12% ludności. Przed 1955 r. założono liczby mniejsze.

Uwzględniono okoliczność, że do r. 1955 przemysł budowlany będzie przemysłem głównie zatrudniającym ludność Warszawy. Powstawanie innych rodzajów przemysłu będzie w tym czasie jeszcze hamowane w Warszawie ze względu na warunki mieszkaniowe. W tym więc okresie zużycie en. el. na 1 robotnika będzie bardzo małe, co odpowiada przemysłowi budowlanemu i co ulegnie zmianie dopiero po 1955 r., kiedy malejąca liczba zatrudnionych w budownictwie będzie uzupełniona wzrastającą liczbą zatrudnionych w przemyśle przetwórczym.

Założono dalej, że siedzibą przemysłu będzie obszar W. Z. M., pozostały zaś teren okręgu będzie rolniczym, oraz że stopień zelektryfikowania przemysłu będzie stałe wzrastał, osiągając ok. r. 1960 stan sprzed 1939 r., a w r. 1970 — stan czołowych pod tym względem krajów Europy.

Na podstawie powyższych założeń otrzymano następującą tabelę liczby robotników zawodowo czynnych oraz zaprojektowano moce, zainstalowane na 1 robotnika, zaliczając tu napęd, oświetlenie i grzejnictwo:

w 1946 — 61.000 rob. — 0,26 kW	mocy zainst. na 1 rob.
w 1950 — 84.000 " — 0,3 " " " " " 1 "	
w 1955 — 120.000 " — 0,4 " " " " " 1 "	
w 1960 — 132.000 " — 0,8 " " " " " 1 "	
w 1965 — 142.000 " — 1,40 " " " " " 1 "	
w 1970 — 150.000 " — 2,50 " " " " " 1 "	

Cytowane źródło WEV podaje jako czas rocznego wyzyskania szczytu grupy przemysłu miejskiego: od 1960 — do 3570 h, zależnie od rodzaju przemysłu.

Jak widać z danych przytoczonych dla Lwowa, Berlina i Osnabrück przez M. Altenberga (Gospod. Elektr.) do szczytu oświetleniowego wielkiego miasta wchodzi około 50% grupowego szczytu przemysłu. Uwzględnimy podług Lista tzw. stopień zapotrzebowania, czyli stosunek

$$\frac{\text{własny szczyt poboru grupy}}{\text{moc zainstalowana}} = 50\%$$

Otrzymamy, że przemysł wchodzi do szczytu oświetleniowego mocą równą 25% swej mocy zainstalowanej. Liczba ta dotyczy lat 1946—1955. W r. 1960 przyjęto 30%, dla lat 1965—1970 — 35%.

Roczne wyzyskanie mocy zainstalowanej przyjmujemy w niniejszym opracowaniu od 1700 do 2000 h (w 1970 r.)

Gr. 6 — przemysł ma, jak wynika z tego, wyzyskanie roczne swego udziału w szczycie ogólnym od 6800 do 5700 h. Grupa ta zatem ma wpływ na całość odbioru w kierunku zwiększenia czasu wyzyskania szczytu poboru w okręgu.

Dla porównania przewidywań ze stanem rzeczywistym z niedawnej przeszłości nadmienimy, że w r. 1938—39 suma szczytów 30 zakładów większego przemysłu w Elektrowni Miejskiej w Warszawie wynosiła 12600 kW. Natomiast w dn. 6. 7. 1938 (dzień powszedni) średnie dzienne obciążenie było o 12000 kW większe niż obciążenie o g. 6 rano.

Uwzględniając, że w tym dziennym obciążeniu miała swój udział również trakcja i, z drugiej strony, że część przemysłu pracowała również w nocy, dojdziemy do prawdopodobnej liczby 13000 kW, jako grupowego szczytu przemysłu w El. Warsz. w 1938 r.

Grupa 7. Wodociągi, kanalizacja, odwodnienie, drogi wodne.

Przyjęto obciążenie w kW i spożycie energii w kWh dla okresu 1946 — 70 podług danych, uzyskanych z właściwych działów gospodarki miejskiej w Warszawie. Całe zapotrzebowanie mocy potraktowano jako udział w szczycie.

Grupa 8. Rzemiosło.

Założono (p. uwagę do tablicy załudnienia), że liczba rzemieślników poczynając od 1955 r. równa jest 5,5% ogółu ludności. Stąd otrzymano podane niżej liczby dla lat 1955—1970, w latach zaś 1946 i 1950 jako jeszcze nie normalnych założono liczby zmniejszone:

1946 — 25000 rzemieślników	1960 — 102000 rzemieślników
1950 — 45000 " "	1965 — 107000 " "
1955 — 95000 " "	1970 — 112500 " "

Porównamy te liczby z liczbami sprzed 1939 r. Podług Mał. Roczn. Statyst. z 1939 r. wydanych kart rzemieślniczych w 1937 r. było: w m. st. Warszawie 23 166, w woj. warszawskim 39 037. Obecny teren okręgu stanowi około 1/3 terenu b. woj. warszawskiego. Do obliczenia rzemieślników w 1939 r. na terenie obecnego okręgu wprowadzimy jednak współczynnik 0,5, by uwzględnić większe zgęszczenie ludności w pobliżu Warszawy. Załóżmy w 1939 r. liczbę kart rzemieślniczych na terenie okręgu była 23 166 + 19 518 = 42 684, w zaokrągleniu 43 000.

Jeżeli założyć, że na 1 kartę rzemieślniczą przypada 2 rzemieślników, otrzymamy dla 1939 r. liczbę tych ostatnich 86 000. Założona dla 1946 r. liczba rzemieślników jest znacznie mniejsza, co odpowiada rzeczywistości.

Zaprojektowaniu podlegają moce zainstalowane na grzejnictwo i drobny napęd w warsztatach rzemieślniczych (bez uwzględnienia światła nawet, gdy warsztat jest jednocześnie mieszkaniem) oraz odpowiednie zużycie energii.

Zaprojektowano następujące wielkości:

Moc zainst. na 1 rzemieślnika	Spółcz. udz. w szczycie	Roczne wyzyskanie mocy zainstalowanej
1946 — 0,035 kW	0,2	150 h
1950 — 0,05 " "		
1955 — 0,075 " "		
1960 — 0,125 " "		
1965 — 0,175 " "		
1970 — 0,225 " "	250 h	

Na zasadzie tych danych ułożono liczby, które weszły w skład ogólnego zestawienia.

Przytaczamy dane dotyczące rzemiosła z literatury.

Podług cytowanego źródła WEV dla całych Niemiec w 1936 r. liczby zawarte są w następujących granicach:

śr. moc przyłącz. 1,5 — 5,0 kW
 śr. czas rocznego użytk. 200 h
 śr. roczne zużycie 100—1000 kWh.

Podług cytowanego źródła austriackiego „Ratgeber”: dla rzemiosła pracującego w dzień, stosunek udziału w szczycie ogólnym do mocy zainstalowanej jest równy 0,41 — 0,2, śr. roczne wyzyskanie 300—600 h.

Grupa 9. Światło, siła i grzejnictwo w osiedlach rolniczych i ogrodniczych.

Energia elektryczna zużyta w mieszkaniach rolników nie jest uwzględniona w tym rozdziale.

W warunkach podmiejskich rolnictwo i ogrodnictwo, znajdujące się na terenie okręgu, ma inny charakter, niż na obszarach czysto rolniczych, to też normalne średnie liczby zużycia nie zawsze znajdują tu zastosowanie.

Tablica 5. Obciążenia szczytowe i roczna produkcja energii
 (Liczby, dotyczące mocy w MW, są podane na koniec odpowiedniego roku)

Grupa	Wyszczególnienie	1946 r.	1950 r.	1955 r.	1960 r.	1965 r.	1970 r.
1. Oświetlenie i grzejnictwo domowe	Liczba gospod. przyłączonych (tys.)	135,0	192,2	261,5	353,8	459,0	529,0
	Moc przyłącz. na 1 gospodarstwo (kW)	0,3	0,5	0,9	1,5	2,3	3,0
	Spółcz. udziału w szczycie ogólnym	0,65	0,45	0,3	0,23	0,18	0,14
	Udział w szczycie ogólnym (MW)	26,3	43,2	70,6	122,0	190,0	222,0
	Roczne wyzyskanie mocy przyłącz. (h)	1950	1100	850	650	500	400
	Roczny pobór energii (10 ³ MWh)	79,0	105,7	200,0	368,0	528,0	636,0
2. Oświetlenie i grzejn. w lokalach handl. i gastronomicznych	Liczba lokali przyłączonych (tys.)	5,38	8,96	15,8	17,0	15,0	15,0
	Moc przyłączona na 1 lokal (kW)	0,4	0,5	0,6	0,8	1,2	1,75
	Spółcz. udziału w szczycie ogólnym	0,75	0,75	0,75	0,75	0,75	0,75
	Udział w szczycie ogólnym (MW)	1,6	3,4	7,1	10,2	13,5	19,8
	Roczne wyzyskanie mocy przyłącz. (h)	1200	1000	1000	1000	1000	1000
	Roczny pobór energii (10 ³ MWh)	2,6	4,5	9,5	13,6	18,0	24,9
3. Oświetlenie i grzejnictwo w biurach i instyt. publicznych	Liczba lokali (tys.)	3,0	5,1	5,4	7,5	8,25	9,0
	Moc przyłączona na 1 lokal (kW)	4,8	3,0	3,0	4,0	4,0	4,0
	Udział w szczycie ogólnym (MW)	10,0	10,7	11,3	21,0	23,1	25,2
	Roczne wyzyskanie mocy przyłącz. (h)	1100	730	730	700	650	650
	Roczny pobór energii (10 ³ MWh)	15,8	11,4	11,8	21,0	21,5	23,4
4. Oświetlenie publiczne zewnętrzne	Moc przyłączona i udział w szczycie ogólnym (MW)	1,2	2,4	5,0	7,0	9,5	12,0
	Roczne wyzyskanie mocy przyłącz. (h)	3500	3000	3400	3400	3800	3800
	Roczny pobór energii (10 ³ MWh)	4,2	7,2	17,0	23,8	36,1	45,6
5. Trakcja elektryczna wszelkich rodzajów	Chwilowy szczyt, wchodzący do szczytu ogólnego (MW)	6,0	13,0	35,0	75,0	115,0	150,0
	Roczne wyzysk. szczytu ogóln. (h)	2750	3200	3400	3500	3600	3700
	Roczny pobór energii (10 ³ MWh)	16,5	41,6	119,0	263,0	413,0	555,0
6. Przemysł	Moc przyłączona (MW)	16,0	25,2	48,0	105,5	200,0	375,0
	Udział w szczycie ogólnym (MW)	4,0	6,3	12,0	32,0	70,0	131,0
	Roczne wyzyskanie mocy przyłącz. (h)	1700	1700	1700	1700	2000	2000
	Roczny pobór energii (10 ³ MWh)	27,2	42,8	81,5	179,0	400,0	750,0
7. Wodociągi, kanalizacja, drogi wodne	Udział w szczycie ogólnym (MW)	1,5	2,5	3,1	4,5	4,9	6,3
	Roczny pobór energii (10 ³ MWh)	8,0	14,5	19,5	25,5	29,5	38,5
8. Rzemiosło	Moc przyłączona (MW)	0,875	2,25	7,125	12,75	18,8	25,35
	Udział w szczycie ogólnym (MW)	0,2	0,5	1,4	2,6	3,8	5,1
	Roczne wyzyskanie mocy przyłącz. (h)	150	150	150	250	250	250
	Roczny pobór energii (10 ³ MWh)	0,3	0,7	2,1	6,4	9,4	12,5
9. Rolnictwo i ogrodnictwo	Moc przyłączona (MW)	0,59	4,72	16,5	32,4	62,0	104,0
	Udział w szczycie ogólnym (MW)	0,1	0,5	1,7	3,2	6,2	10,4
	Roczne wyzyskanie mocy przyłącz. (h)	150	150	150	250	250	250
	Roczny pobór energii (10 ³ MWh)	0,1	0,7	2,5	8,1	15,5	25,1
10. Zużycie własne elektrowni	Udział w szczycie ogólnym (MW)	2,0	3,0	5,0	8,0	15,0	20,0
	Roczny pobór energii (10 ³ MWh)	14,5	21,6	25,0	56,0	60,0	80,0
Razem wszystkie grupy	Szczyt ogólny u odbiorców (MW)	52,9	85,5	152,2	285,5	451,0	601,8
	Roczny pobór energii (10 ³ MWh)	168,2	250,7	487,9	964,4	1531,0	2191,0
	Po doliczeniu 10% na straty w sieci otrzymuje się w zaokrągleniu:						
	Szczyt ogólny u źródeł energii (MW)	58	94	167	314	496	662
	Roczna produkcja (10 ³ MWh)	185	276	537	1061	1685	2410
	Roczne wyzyskanie szczytu (h)	3190	2940	3380	3400	3400	3640
	Roczne spożycie energii na 1 mieszkańca (kWh)	147	180	310	574	860	1175

Założono liczbę gospodarstw rolniczych i ogrodniczych 59 000 w 1946 r. Liczba ta w dalszych latach nie ulega zmianie. Jest ona 1^{1/2} raza mniejsza, niż liczba gospodarstw na rozpatrywanym terenie podług Mał. Roczn. Statyst. za 1939 r. W ten sposób uwzględniono okoliczność, że w terenie podstołecznym objekty rolne znajdują częstokroć inne przeznaczenie; również uwzględniono naprawę ustroju rolnego przez scalenie b. drobnych gospodarstw.

Założono następujące dane poboru:

Moc zainst. w kW na 1 gospodarstwo	Spółczynnik udz. w szczycie ogóln.	Roczne wyzysk. mocy zainst. w h
1946 — 0,1	0,1	150
1950 — 0,4		
1955 — 0,7		
1960 — 1,0		
1965 — 1,5		
1970 — 2,0		250

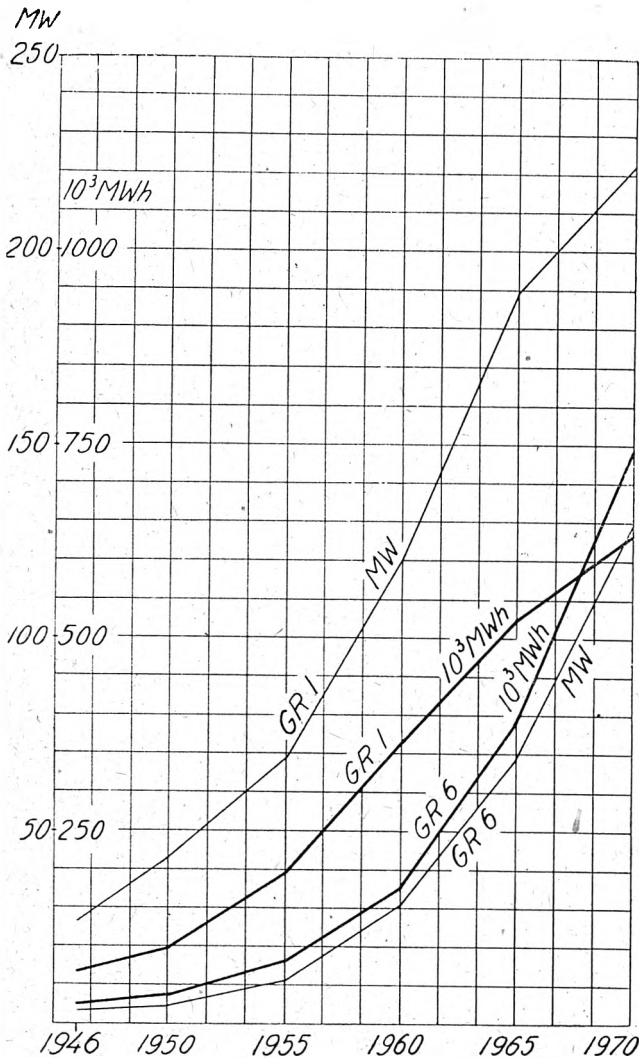
Założono, że liczba zelektryfikowanych gospodarstw jest następująca według podanego procentu do liczby ogólnej 59 000:

1946 — 10% — 5 900	1960 — 55% — 32 400
1950 — 20% — 11 800	1965 — 70% — 41 300
1955 — 40% — 23 600	1970 — 85% — 50 200

Przytaczamy dane, dotyczące rolnictwa z literatury.

Podług cytowanego wydawnictwa austr. „Ratgeber” na 1 gospodarstwo przypada:

moc zainst. na światło 0,2—0,46 kW
 „ „ na siłę 1,8—2,4 kW



Rys. 2 Zapotrzebowanie mocy i energii w Okręgu Energ. Warsz. dla gospodarstwa domowego (GR. 1) i przemysłu (GR. 6). Jako moc rozumie się udział w szczycie okręgu.

roczne wyzysk. mocy zainst. na światło 320—450 h
 „ „ „ „ na siłę 28—88 h

Na 100 ha zagospodarowanej ziemi przypada:

zużycie roczne 2200—3500 kWh
 moc zainst. na siłę 7,5—17 kW.

Podług artykułu J. Czarnowskiego (P. E., 1938, str. 2) na 100 ha zużycie roczne wynosi 1325 kWh (dot. Zemwaru).

Podług Polsk. Komit. Energet. (dane z 1935 r.):
 przeciętne roczne zużycie 16,5—37,5 kWh/ha
 szczyt 73,8 W/ha

zatem śr. roczne wyzyskanie szczytu: $\frac{26}{0,074} = 351$ h.

Odbiór energii elektrycznej w grupie 9 nie jest charakterystyczny dla Okręgu Warszawskiego i gra bardzo małą rolę.

Grupa 10. Zużycie własne elektrowni.

Do r. 1950 włącznie jest to zużycie odbudowanych elektrowni w Warszawie (przy Wybrzeżu Kościuszkowskim) oraz w Pruszkowie, obliczone podług stanu faktycznego w 1946 r. (Elektr. I i II).

W 1955 r. będzie już pracowała nowa elektrownia ciepła w Warszawie, prawdopodobnie na Żeraniu (Elektr. III). Stara elektrownia w Warszawie, nim ulegnie zdemontowaniu ok. 1959 r., będzie grać rolę rezerwowej i szczytowej. Zatem w 1955 r. moc w grupie zużycia własnego równa będzie sumie mocy urządzeń w nowej i w starych elektrowniach, a czas wyzyskania będzie zmniejszony.

W 1960 r. wejdą już do ruchu nowe urządzenia, zwiększające moc elektrowni III, i jednocześnie ulegnie zdemontowaniu stara elektrownia warszawska (Elektr. I). W rezultacie moc w grupie 10 oraz czas rocznego wyzyskania wzrośnie.

Ok. 1965 r. będzie uruchomiona Elektr. IV, co wpłynie na dalszy wzrost mocy w grupie zużycia własnego elektrowni. Należy przy tym uwzględnić, że elektrownia IV będzie grała rolę szczytowej, zatem jej urządzenia własne będą wyzyskane przez krótki czas w roku, co wpłynie zmniejszająco na ogólny czas wyzyskania mocy w danej grupie.

Zestawienie danych zużycia własnego:

Moc w kW	Spółczynnik udz. w szczycie	Czas roczn. wyzysk. mocy (h)
1946 — 2000	1,0	7200
1950 — 3000		7200
1955 — 5000		5000
1960 — 8000		7000
1965 — 15000		4000
1970 — 20000		4000

III. Wyniki obliczenia zapotrzebowania energii.

Tablica 5 zawiera dla okresu od 1946 do 1970 r. wszystkie dane poboru prądu w poszczególnych grupach oraz sumaryczne.

Szczyt ogólny dla okręgu otrzymano przez zsumowanie dla każdego roku udziałów grup w szczycie ogólnym bez uwzględnienia współczynnika jednoczesności, który został już uwzględniony przy obliczeniu mocy dla poszczególnych grup. Straty mocy, związane z rozdziałem prądu, oraz straty energii na przesyłanie przyjęto w wysokości 10%.

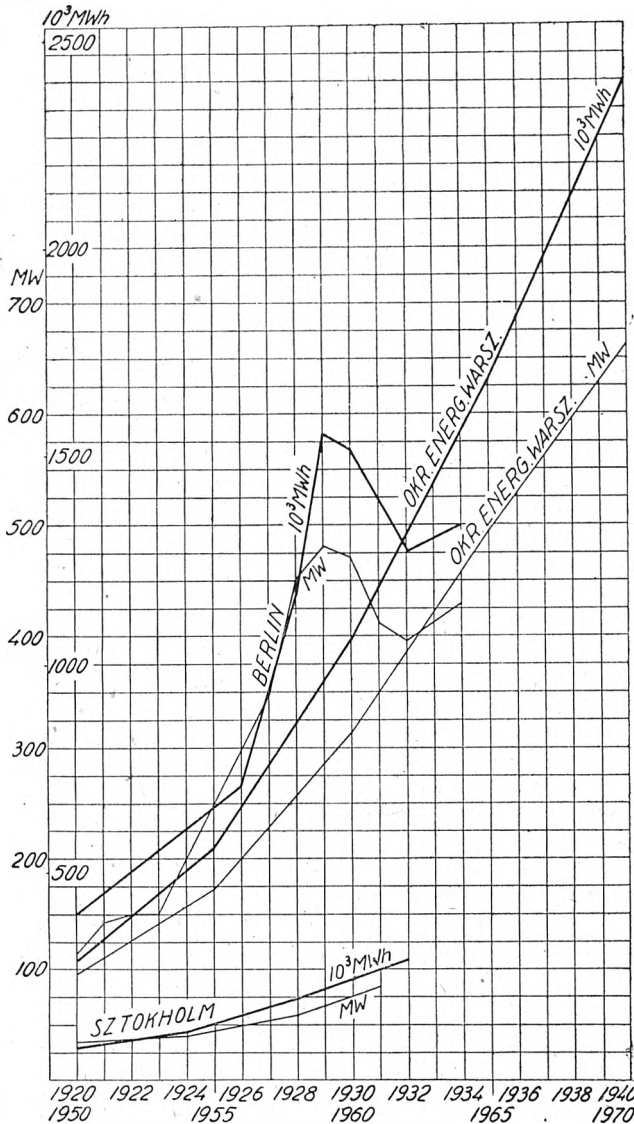
Wyniki są podane również w formie wykresów na rys. 2 dla grupy 1 (oświetlenie i grzejnictwo domowe) i grupy 6 (przemysł) oraz na rys. 3 dla ogólnego zużycia mocy i energii w okręgu. Na rys. 3 dla porównania narzucono również wzrost zużycia prądu dla dużych miast europejskich — Berlina i Sztokholmu w okresie przedwojennym (1920—1934).

Jak widać z wykresów, stosunkowy wzrost spożycia mocy i energii jest największy w pięcioleciach 1950—1955 i 1955—1960. Przed 1950 r. odbudowa mieszkań i przemysłu za małe jeszcze kroki poczyni, by wywołać duży wzrost spożycia energii. Natomiast po 1950 r. na skutek postępującej odbudowy „życie w Warszawie stanie się łatwiejsze i rozpocznie się większy wzrost zużycia na gospodarstwa domowe, odbudowujący się przemysł i trakcje.

Później odegra również rolę i odbije się na zużyciu energii elektrycznej przechodzenie w grzejnictwie domowym z gazowych kuchenek na elektryczne.

Po 1960 r. nastąpi pewne nasylenie na poziomie liczb zużycia przodujących krajów, po czym wzrost będzie miał tendencję malejącą, o ile nie nastąpią większe, a nie dające się przewidzieć zmiany w technice.

Jeżeli rozważymy wykresy (p. rys. 2) obrazujące zużycie w poszczególnych grupach, to zauważymy, że szybkość



Rys. 3. Ogólne zapotrzebowanie mocy i energii w Okr. Energ. Warsz. do wszystkich celów (1950-70) oraz analogiczne dane dla Berlina i Sztokholmu (1920-1934).

wzrostu w gr. ośw. i gospodarstwa domowego po 1960 r. maleje, natomiast w grupie przemysłu utrzymuje się przez cały badany okres. Zrozumiałą jest rzeczą, że do stanu nasylenia energią w grupie przemysłu jesteśmy b. daleko, poza tym zaś odbudowa i budowa przemysłu będzie trwać nieprzerwanie.

Dla porównania przytoczymy statystykę rocznego zużycia energii elektr. w dużych miastach europejskich w latach 1933 lub 1934 (P. E., 1936, str. 9 i nast.):

	kWh/mieszk.	Roczne wyzysk. w stos. do szczytu całości (h)
Paryż	247	3062
Berlin	293	3040
Wiedeń	178	3317
Hamburg	362	3780
Budapeszt	227	3900
Praga	216	3780
Amsterdam	334	3380
Kopenhaga	218	2560
Sztokholm	471	3279
Sztutgart	284	3400
Zurych	730	3820

Przy porównaniu z liczbami dla Okręgu Warsz. należy uwzględnić, że liczby powyższej tablicy dotyczą samych miast tj. bez okręgu podmiejskiego. Poza tym nie wynika z tej tabeli, czy i w jakim stopniu w danych tych jest uwzględniona elektryczna trakcja kolejowa.

Statystyka produkcji energii elektrycznej w Polsce od 1925 r. jest podana w PE, 1947, z. 1, str. 57. Dane dla m. Warszawy podaje tabl. 6.

Tabl. 6. Spożycie energii w m. st. Warszawie.

Rok	Ogółem w mln. kWh	kWh na 1 mieszk.	Wzrost w %
1934	104,7	87	—
1935	115,5	95	9,2
1936	129,2	105	10,5
1937	160,0	130	23,8
1938	217,5	172	32,3
1945	49,0	ok. 122	—
1946	159,3	ok. 306	—

IV. Sposób pokrycia zapotrzebowania Okręgu.

By nadać danym, ujętym w tabl. 5 postać, ułatwiającą wnioski co do sposobu pokrycia zapotrzebowania energii i mocy, należy zaprojektować na podstawie tych danych tzw. roczny uporządkowany wykres obciążenia.

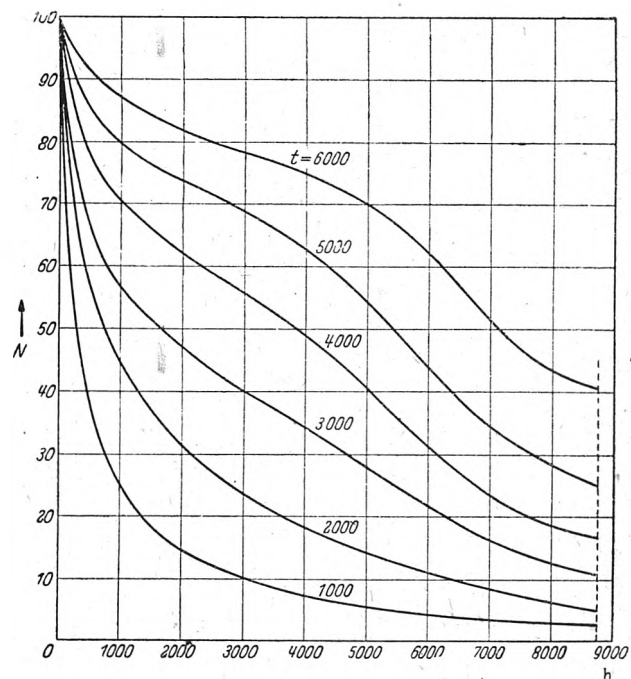
Zatrzymamy się bliżej na roku 1950, dla którego dane są następujące: 94 MW — roczny szczyt obciążenia, 276.10³ kWh — zapotrzebowanie energii i 2940 h — roczne wyzyskanie szczytu.

Na zasadzie zbadania wykresów obciążeń letnich w Warszawie, Lwowie, Pradze itp. ustalamy, że minimum obciążenia jest równe dla podobnych warunków ok. 13% szczytu i trwa bardzo krótko, stanowiąc jednocześnie podstawę obciążenia przez 8760 h rocznie. Również szczyt obciążenia trwa b. krótko. Natomiast moc o 10% mniejsza od szczytu trwa już rocznie ok. 60 h. Średnia moc roczna wynosi w naszym przypadku

$$\frac{276000}{8760} = 31,5 \text{ MW}$$

Jeżeli dla uporządkowanego wykresu skala obciążenia wynosi: 1 cm = 5 MW, a skala czasu 1 cm = 500 h, to 1 cm² oznacza 5000 · 500 = 2500000 kWh.

Na rys. 4, zaczerpniętym z dzieła L. Musiła — Die Gesamtplanung von Dampfkraftwerken, podany jest pęczek uporządkowanych wykresów dla różnego rocznego wyzyskania szczytu i dla warunków obciążenia w dużych mia-



Rys. 4. Uporządkowane wykresy rocznego obciążenia w dużych miastach (L. Musil).

stach. Przy pomocy tych krzywych rysujemy krzywą, której przebieg winien być taki, by pole, zawarte pomiędzy nią a obu osiami, wyobrażało we właściwej skali energię roczną $276 \cdot 10^9$ MWh, największa zaś i najmniejsza rzędna krzywej odpowiadały powyżej przytoczonym danym. Krzywa taka dla 1950 r. przedstawiona jest na rys. 5, 6, 7 i 8. Metoda jest przybliżona, jednak nadaje się do zaprojektowania pokrycia obciążenia.

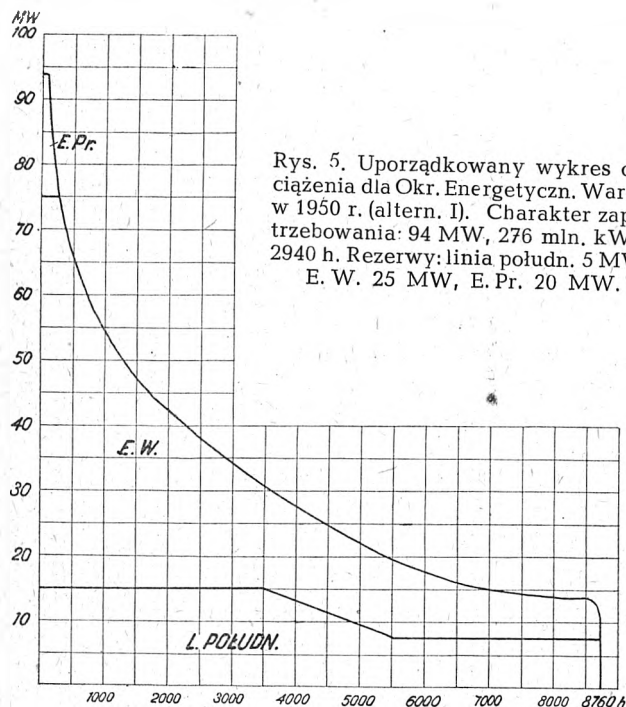
Uwzględnimy następujące źródła pokrycia w różnych latach zapotrzebowania energii elektrycznej Okręgu Warszawskiego:

1. Elektrownia Warszawska (E. W.) na Wybrz. Kościuszkowskim, nazwana Elektrownią I, odbudowana do krańcowej mocy 85 MW, dysponowanej w końcu 1947 r.

2. Elektrownia Pruszkowska (E. Pr.), nazwana Elektrownią II, odbudowana do mocy 39 MW, dysponowanej w 1948 r.

3. Linia południowa*) na 150 kV z Rożnowa przez Starachowice do Warszawy o zdolności przesyłowej: 1 tor — 45 MW, 2 tor — 90 MW. Obecnie (początek 1947 r.) dysponuje się na podstacji w Szamotach (kraniec północny linii rożnowskiej) 1 transformatorem o mocy 12,5 MW. Liczba ta oznacza zatem praktyczną zdolność dostawy linii południowej. W końcu 1947 r. liczyć się należy z uruchomieniem drugiego takiego transformatora i podwojeniem tej mocy. W dalszym ciągu od 1955 r. aż do r. 1964 będziemy linię południową uważać jako źródło mocy 45 MW. Wprawdzie łatwo jest przez dodanie drugiego toru podnieść tę moc do ok. 90 MW, jednak wobec braku w okręgu krakowskim większych i wolnych mocy mało jeszcze prawdopodobne jest uzyskanie z tej linii stałej dostawy większej, niż 40—45 MW, włączając w to dostawę z Rożnowa. Dodanie drugiego toru na linii południowej miałyby zatem za skutek narazie jedynie zwiększenie pewności ruchu. Poczynając natomiast od 1965 r., uważamy linię południową za dostawcę mocy 90 MW dwoma torami. Zagadnienie linii południowej, jej roli w ogólnym układzie energetycznym państwa, jej napięcia (jest np. propozycja przejścia na 110 kV) i zdolności przesyłowej wymaga specjalnego opracowania.

4. Projektowana linia zachodnia na 220 kV Zagłębie—Łódź—Warszawa. Linią tą będzie można przesłać z Zagłębia do Warszawy moc ok. 200 MW dwoma torami. Odpowied-



Rys. 5. Uporządkowany wykres obciążenia dla Okr. Energetyczn. Warsz. w 1950 r. (altern. I). Charakter zapotrzebowania: 94 MW, 276 mln. kWh, 2940 h. Rezerwy: linia połudn. 5 MW, E. W. 25 MW, E. Pr. 20 MW.

nie moce będą do dyspozycji w Zagłębiu Węglowym. Linia obsługiwać będzie również Łódź. Zakłada się, że 1 tor będzie oddany do dyspozycji w 1949 r. z mocą 50 MW, od 1953 r. zaś 100 MW. W 1958 r. byłby oddany do ruchu drugi tor z mocą od razu 100 MW.

*) W braku ustalonych nazw dla dwu linii najwyższych napięć — rożnowskiej i śląskiej — nazywamy je w niniejszej pracy „południową”, i „zachodnią”.

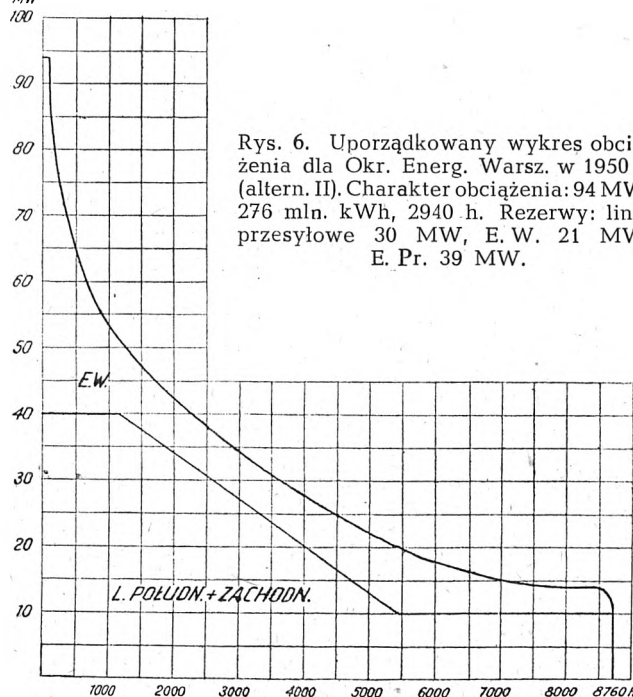
5. Projektowana nowa elektrownia ciepła (III) na Żeraniu z mocą początkową 50 MW i ostateczną 200 MW. Etapy rozbudowy: w 1951 r. do dyspozycji 50 MW, w 1956 r. — 100 MW, w 1960 r. — 200 MW lub wyżej.

6. Projektowana elektrownia ciepła (IV) z mocą ostateczną 300 MW. Etapy rozbudowy: w 1965 r. do dyspozycji 200 MW, w 1970 r. — 300 MW lub wyżej. Elektrownia ta miałaby prawdopodobnie charakter szczytowej.

7. Siły wodne środkowej Wisły o łącznej mocy 90 MW.

Energetyka Okręgu Warszawskiego w 1950 r.

Rozważmy 4 alternatywy pokrycia zapotrzebowania, oczekiwanego w 1950 r. w Okręgu Warszawskim. W każdej z nich możliwe są różne warianty współpracy źródeł energii



Rys. 6. Uporządkowany wykres obciążenia dla Okr. Energetyczn. Warsz. w 1950 r. (altern. II). Charakter obciążenia: 94 MW, 276 mln. kWh, 2940 h. Rezerwy: linie przesyłowe 30 MW, E. W. 21 MW, E. Pr. 39 MW.

i różne ich role zależne od warunków, które teraz jeszcze trudno jest przewidzieć. Jednak przed realizacją projektów winny być dokonane ściślejsze kalkulacje gospodarcze.

Alternatywa I. Na rys. 5. przedstawiony jest sposób pokrycia obciążenia okręgu w założeniu stanu z końca 1948 r., a mianowicie stanu następującego:

a) E. W. i E. Pr. są odbudowane do mocy 85 wzgl. 39 MW.

b) Linia południowa ma 1 tor i 2 transformatory po 12500 kVA, zatem jej przepływność wynosi 20000 kW. W mocy tej Rożnów bierze udział, zależny od lokalnej gospodarki energetycznej tej szyny zbiorczej, którą zasila Rożnów. Sam Rożnów np. (o ile nie są pobudowane inne zakłady współpracujące, jak Czchów) może czasem dawać w pewnych okresach roku tylko 6 MW. Jeżeli linii południowej zlecić pokrycie obciążenia większego, to brakującą moc muszą dostarczyć dla niej inne źródła — wodne lub ciepłne.

c) Żadnych nowych inwestycji energetycznych niema.

W tych warunkach pokrycie obciążenia jest, jak widzimy z wykresu, możliwe. Podstawowe obciążenie pokrywa do 15 MW linia południowa. Resztę daje pełna moc Elektrowni Warszawskiej i Elektrowni Pruszkowskiej. Ilości energii, przypadające na każdy zakład, wynikają z rys. 5. Dla uproszczenia linia, oddzielająca pola wykresu, które oznaczają pracę poszczególnych źródeł energii, jest linią łamaną, co w przybliżeniu oddaje sposób pracy każdego źródła.

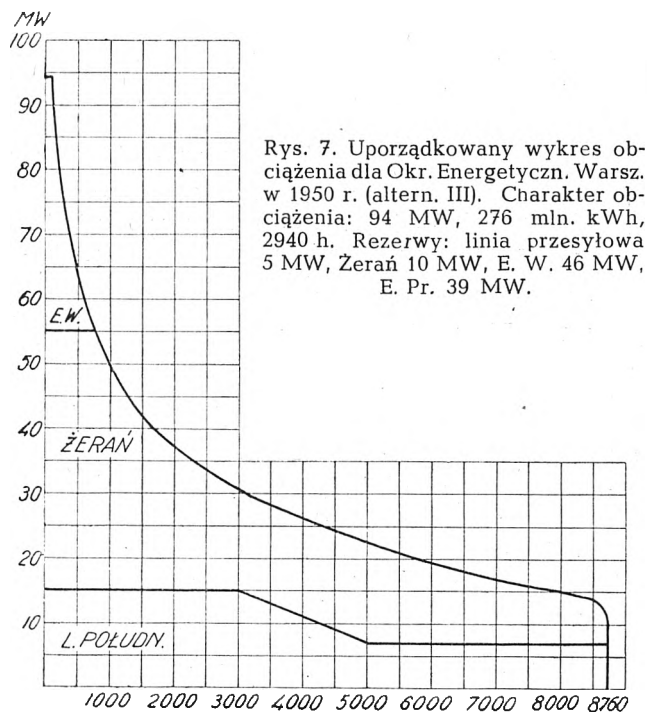
Ruch zespołowy, prowadzony zgodnie z wykresem na rys. 5, jest b. niedoskonały, ponieważ urządzenia odbudowanych elektrowni w Warszawie i w Pruszkowie są niepewne i często muszą być wycofywane z ruchu. Jest to wynikiem ciężkich uszkodzeń wojennych. W tych warunkach teoretyczne rezerwy (w E. W. 25 MW, w E. Pr. 20 MW, na linii przesyłowej 5 MW) są niewystarczające, zwłaszcza

jeżeli uwzględnimy, że linia południowa nie ma rezerwy i może wypaść z ruchu. Oczywiście, okręg stołeczny winien mieć w piątym roku po zakończeniu wojny bardziej pewny układ energetyczny.

Alternatywa II (rys. 6). Oprócz stanu j. w. z 1948 r. jest jeszcze do dyspozycji linia zachodnia o 1 torze i o przepływności 100 MW, lecz o zdolności dostawy do 50 MW ze względu na moc, którą można dysponować na Śląsku.

Pokrycie obciążenia, jak widać z wykresu, jest następujące. Podstawowe obciążenie do 40 MW pokrywa linia południowa łącznie z linią zachodnią. Środek i szczyt obciążenia pokrywa Elektrownia Warszawska. W rezerwie są: Elektr. Warsz. (21 MW), Elektr. Pruszk. (39 MW), linie przesyłowe (30 MW). Rezerwa jest lepsza niż w altern. I. i może być uznana za wystarczającą.

Alternatywa III (rys. 7). Oprócz stanu z 1948 r. mamy jeszcze do dyspozycji Elektrownię na Żeraniu z 1



Rys. 7. Uporządkowany wykres obciążenia dla Okr. Energetyczn. Warsz. w 1950 r. (altern. III). Charakter obciążenia: 94 MW, 276 mln. kWh, 2940 h. Rezerwy: linia przesyłowa 5 MW, Żerań 10 MW, E. W. 46 MW, E. Pr. 39 MW.

zespołem o mocy 50 MW. Jak widać z wykresu, podstawowe obciążenie do 15 MW pokrywa linia południowa. Środkowe obciążenie pokrywa Żerań, pracujący z mocą 40 MW. Resztę pokrywa Elektrownia Warszawska mocą 39 MW. W rezerwie są: linia przesyłowa 5 MW, Elektrownia Warszawska 46 MW, Elektrownia Pruszkowska 39 MW, Żerań 10 MW. Rezerwa jest wystarczająca.

Alternatywa IV (rys. 8). Oprócz stanu z 1948 r. mamy jeszcze do dyspozycji: a) elektrownię na Żeraniu z 1 zespołem o mocy 50 MW i b) linię zachodnią o przepływności 100 MW, lecz jak w altern. II o zdolności dostawy 50 MW. W tym wypadku mamy w Warszawie szereg źródeł energii i możliwość rozmaitego pokrycia wykresu zapotrzebowania. Wytyczne prace byłyby następujące: a) utrzymanie jednoczesne w ruchu obu linii dalekonośnych i rozłożenie pomiędzy nimi obciążenia podług zasady najkorzystniejszej pracy całości energetyki, b) utrzymanie jednocześnie z liniami również stałe w ruchu elektrowni w Warszawie, np. Żerania.

Na wykresie (rys. 8) wskazany jest podług altern. IV dla Okręgu Warszawskiego jeden ze sposobów współpracy energetycznej w 1950 r. Jak widać, zarówno Żerań, jak i Elektrownia Warszawska pokrywają oprócz środka i szczytu jeszcze drobne obciążenie podstawowe, ponieważ nie są odłączane w okresach spadku obciążenia. To samo dotyczy również wykresów alternatyw II i III.

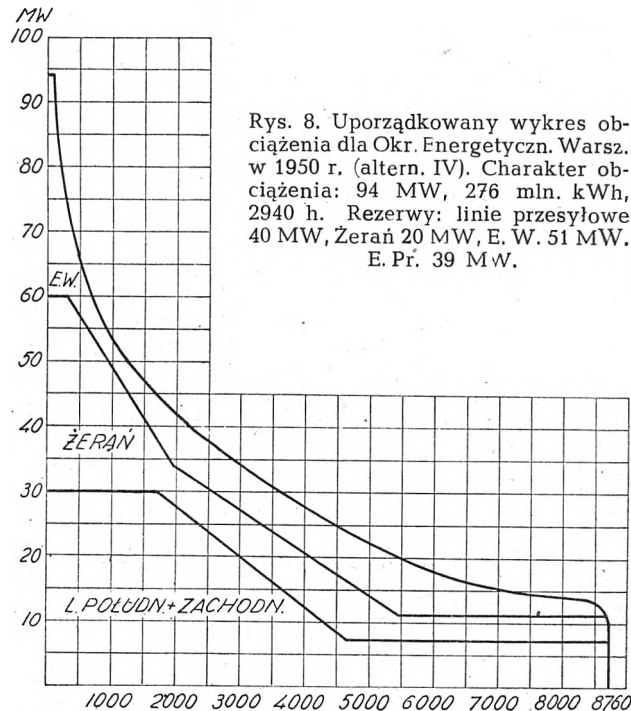
W alternatywie IV mamy obfitą rezerwę: Elektrownia Warsz. (51 MW), Elektr. Pruszk. (39 MW), Żerań (20 MW), linie przesyłowe (40 MW).

Z rozważań czterech alternatyw pokrycia obciążenia na 1950 r. i mając na widoku należyte zabezpieczenie dostawy

prądu dla Stołecznego Okręgu, wyciągamy następujące wnioski:

1. Konieczne jest doprowadzenie w najbliższym czasie (do r. 1948) odbudowy elektrowni do następujących mocy: Elektr. Warsz. 85 MW, Elektr. Pruszk. 39 MW.

2. Konieczna jest w najbliższym okresie budowa drugiej linii zasilającej stolicę — ze Śląska przez Łódź. Linia ta



Rys. 8. Uporządkowany wykres obciążenia dla Okr. Energetyczn. Warsz. w 1950 r. (altern. IV). Charakter obciążenia: 94 MW, 276 mln. kWh, 2940 h. Rezerwy: linie przesyłowe 40 MW, Żerań 20 MW, E. W. 51 MW, E. Pr. 39 MW.

nazwana „zachodnią”, przewidziana jest we wszystkich bez wyjątku projektach polskich sieci najwyższych napięć i celowość jej była niejednokrotnie nasświetlana. Poza tym zamknęłaby ona kontur sieci najwyższego napięcia, podnosząc pewność działania każdego z odcinków. Zdolność przesyłowa linii tej winna być ok. 100 MW na 1 tor.

3. Konieczna jest budowa w najbliższym okresie nowej siłowni cieplnej w Warszawie, nazwanej w niniejszym opracowaniu Żeraniem, o mocy w pierwszym etapie budowy 50 MW.

Z rozważania wykresów i alternatyw II i III dla energetyki r. 1950 mogłoby się wydawać, że wystarczy mieć w 1950 r. oprócz stanu z r. 1948 jedno z dwojga: linię zachodnią z mocą dostawy ok. 50 MW, lub też wytwórnię na Żeraniu z mocą 50 MW.

Rozwiązania takie są doraźnie wystarczające, nie może być jednak żadne z nich oddzielnie przyjęte na dłuższy okres nawet z warunkiem zwiększenia mocy dostawy linii zachodniej lub mocy nowej siłowni, a to dla następujących przyczyn:

Sama linia zachodnia (bez Żerania) podług alternatywy II zapewnia wprawdzie pokrycie mocy z wystarczającą co do mocy rezerwą. Jest to jednak pokrycie niepełnowartościowe, ponieważ linie napowietrzne stosunkowo łatwo podlegają wypadnięciu z ruchu, wymagają okresowych wyłączeń itp. Podług statystyki niem. (Rüdenberg) na 100 km sieci wysokich napięć przypada rocznie od 0,5 do 5 zakłóceń, połączonych z wyłączeniami. Podług danych z polskich sieci oraz podług danych amerykańskich liczba ta jest nieraz kilkakrotnie większa. Liczba ta nie obejmuje zgóry zamierzonych wyłączeń w związku z eksploatacją linii.

Poza tym, istniejąca Elektrownia Warszawska jest przestarzała, niewłaściwie usytuowana, niemożliwa do rozbudowy, stąd zasadniczo budowa nowej elektrowni w Warszawie jest uznaną koniecznością. Przed 1939 r. decyzje w tej sprawie zapadły i odpowiednie prace wstępne były rozpoczęte.

Sam Żerań (bez linii zachodniej) zapewniłby w 1950 r. podług alt. III pokrycie mocy z wystarczającą rezerwą. Należy jednak uwzględnić, że termin ukończenia budowy,

stach. Przy pomocy tych krzywych rysujemy krzywą, której przebieg winien być taki, by pole, zawarte pomiędzy nią a obu osiami, wyobrażało we właściwej skali energię roczną 276.10^3 MWh, największa zaś i najmniejsza rzędna krzywej odpowiadały powyżej przytoczonym danym. Krzywa taka dla 1950 r. przedstawiona jest na rys. 5, 6, 7 i 8. Metoda jest przybliżona, jednak nadaje się do zaprojektowania pokrycia obciążenia.

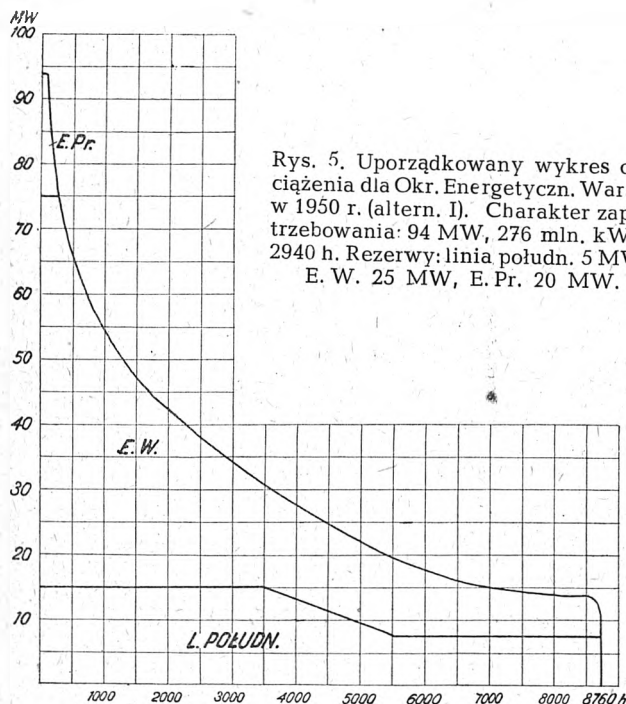
Uwzględnimy następujące źródła pokrycia w różnych latach zapotrzebowania energii elektrycznej Okręgu Warszawskiego:

1. Elektrownia Warszawska (E. W.) na Wybrz. Kościuszkowski, nazwana Elektrownią I, odbudowana do krańcowej mocy 85 MW, dysponowanej w końcu 1947 r.

2. Elektrownia Pruszkowska (E. Pr.), nazwana Elektrownią II, odbudowana do mocy 39 MW, dysponowanej w 1948 r.

3. Linia południowa*) na 150 kV z Rożnowa przez Starachowice do Warszawy o zdolności przesyłowej: 1 tor — 45 MW, 2 tory — 90 MW. Obecnie (początek 1947 r.) dysponuje się na podstacji w Szamotach (kraniec północny linii rożnowskiej) 1 transformatorem o mocy 12,5 MW. Liczba ta oznacza zatem praktyczną zdolność dostawy linii południowej. W końcu 1947 r. liczyć się należy z uruchomieniem drugiego takiego transformatora i podwojeniem tej mocy. W dalszym ciągu od 1955 r. aż do r. 1964 będziemy linię południową uważać jako źródło mocy 45 MW. Wprowadzenie łatwe jest przez dodanie drugiego toru podnieść tę moc do ok. 90 MW, jednak wobec braku w okręgu krakowskim większych i wolnych mocy mało jeszcze prawdopodobne jest uzyskanie z tej linii stałej dostawy większej, niż 40—45 MW, włączając w to dostawę z Rożnowa. Dodanie drugiego toru na linii południowej miałyby zatem za skutek narazie jedynie zwiększenie pewności ruchu. Poczynając natomiast od 1965 r., uważamy linię południową za dostawcę mocy 90 MW dwoma torami. Zagadnienie linii południowej, jej roli w ogólnym układzie energetycznym państwa, jej napięcia (jest np. propozycja przejścia na 110 kV) i zdolności przesyłowej wymaga specjalnego opracowania.

4. Projektowana linia zachodnia na 220 kV Zagłębie—Łódź—Warszawa. Linią tą będzie można przesłać z Zagłębia do Warszawy moc ok. 200 MW dwoma torami. Odpowied-



Rys. 5. Uporządkowany wykres obciążenia dla Okr. Energetyczn. Warsz. w 1950 r. (altern. I). Charakter zapotrzebowania: 94 MW, 276 mln. kWh, 2940 h. Rezerwy: linia połudn. 5 MW, E. W. 25 MW, E. Pr. 20 MW.

nie moce będą do dyspozycji w Zagłębiu Węglowym. Linia obsługiwać będzie również Łódź. Zakłada się, że 1 tor będzie oddany do dyspozycji w 1949 r. z mocą 50 MW, od 1953 r. zaś 100 MW. W 1958 r. byłoby oddany do ruchu drugi tor z mocą od razu 100 MW.

*) W braku ustalonych nazw dla dwu linii najwyższych napięć — rożnowskiej i śląskiej — nazywamy je w niniejszej pracy „południową”, i „zachodnią”.

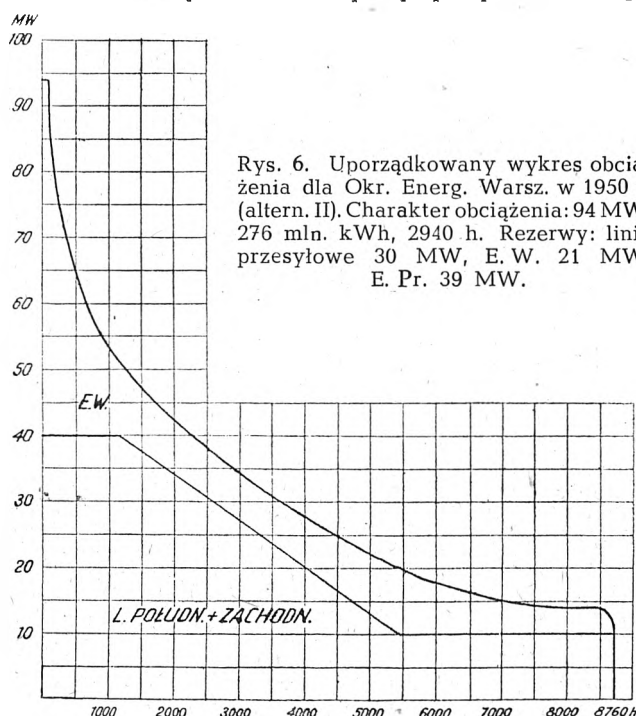
5. Projektowana nowa elektrownia ciepła (III) na Żeraniu z mocą początkową 50 MW i ostateczną 200 MW. Etapy rozbudowy: w 1951 r. do dyspozycji 50 MW, w 1956 r. — 100 MW, w 1960 r. — 200 MW lub więcej.

6. Projektowana elektrownia ciepła (IV) z mocą ostateczną 300 MW. Etapy rozbudowy: w 1965 r. do dyspozycji 200 MW, w 1970 r. — 300 MW lub więcej. Elektrownia ta miałaby prawdopodobnie charakter szczytowej.

7. Siły wodne środkowej Wisły o łącznej mocy 90 MW.

Energetyka Okręgu Warszawskiego w 1950 r.

Rozważymy 4 alternatywy pokrycia zapotrzebowania, oczekiwanego w 1950 r. w Okręgu Warszawskim. W każdej z nich możliwe są różne warianty współpracy źródeł energii



Rys. 6. Uporządkowany wykres obciążenia dla Okr. Energ. Warsz. w 1950 r. (altern. II). Charakter obciążenia: 94 MW, 276 mln. kWh, 2940 h. Rezerwy: linie przesyłowe 30 MW, E. W. 21 MW, E. Pr. 39 MW.

i różne ich role zależne od warunków, które teraz jeszcze trudno jest przewidzieć. Jednak przed realizacją projektów winny być dokonane ściślejsze kalkulacje gospodarcze.

Alternatywa I. Na rys. 5. przedstawiony jest sposób pokrycia obciążenia okręgu w założeniu stanu z końca 1948 r., a mianowicie stanu następującego:

a) E. W. i E. Pr. są odbudowane do mocy 85 wzgl. 39 MW.

b) Linia południowa ma 1 tor i 2 transformatory po 12500 kVA, zatem jej przelotność wynosi 20000 kW. W mocy tej Rożnów bierze udział, zależny od lokalnej gospodarki energetycznej tej szyny zbiorczej, którą zasila Rożnów. Sam Rożnów np. (o ile nie są pobudowane inne zakłady współpracujące, jak Czchów) może czasem dawać w pewnych okresach roku tylko 6 MW. Jeżeli linii południowej zlecić pokrycie obciążenia większego, to brakującą moc muszą dostarczyć dla niej inne źródła — wodne lub ciepłe.

c) Żadnych nowych inwestycji energetycznych niema.

W tych warunkach pokrycie obciążenia jest, jak widzimy z wykresu, możliwe. Podstawowe obciążenie pokrywa do 15 MW linia południowa. Resztę daje pełna moc Elektrowni Warszawskiej i Elektrowni Pruszkowskiej. Ilości energii, przypadające na każdy zakład, wynikają z rys. 5. Dla uproszczenia linia, oddzielająca pola wykresu, które oznaczają pracę poszczególnych źródeł energii, jest linią łamaną, co w przybliżeniu oddaje sposób pracy każdego źródła.

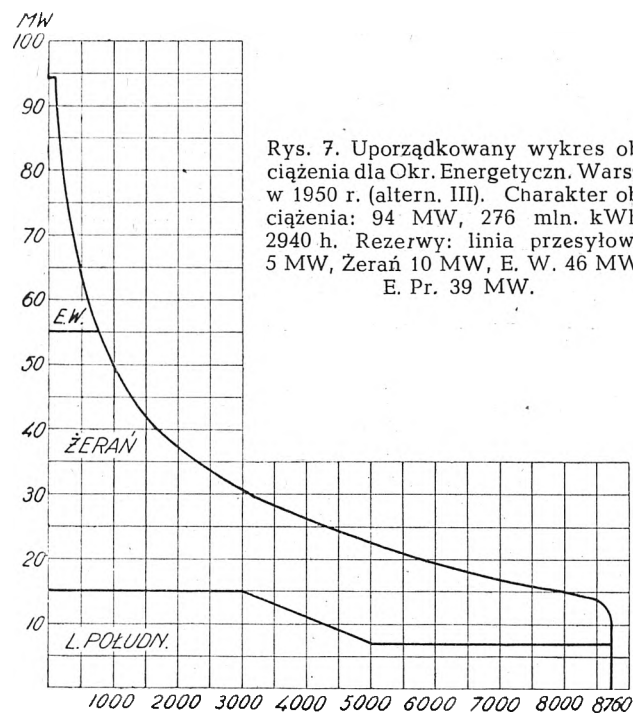
Ruch zespołowy, prowadzony zgodnie z wykresem na rys. 5, jest b. niedoskonały, ponieważ urządzenia odbudowanych elektrowni w Warszawie i w Pruszkowie są niepewne i często muszą być wycofywane z ruchu. Jest to wynikiem ciężkich uszkodzeń wojennych. W tych warunkach teoretyczne rezerwy (w E. W. 25 MW, w E. Pr. 20 MW, na linii przesyłowej 5 MW) są niewystarczające, zwłaszcza

jeżeli uwzględnimy, że linia południowa nie ma rezerwy i może wypaść z ruchu. Oczywiście, okręg stołeczny winien mieć w piątym roku po zakończeniu wojny bardziej pewny układ energetyczny.

Alternatywa II (rys. 6). Oprócz stanu j. w. z 1948 r. jest jeszcze do dyspozycji linia zachodnia o 1 torze i o przepływności 100 MW, lecz o zdolności dostawy do 50 MW ze względu na moc, którą można dysponować na Śląsku.

Pokrycie obciążenia, jak widać z wykresu, jest następujące. Podstawowe obciążenie do 40 MW pokrywa linia południowa łącznie z linią zachodnią. Środek i szczyt obciążenia pokrywa Elektrownia Warszawska. W rezerwie są: Elektr. Warsz. (21 MW), Elektr. Pruszk. (39 MW), linie przesyłowe (30 MW). Rezerwa jest lepsza niż w altern. I i może być uznana za wystarczającą.

Alternatywa III (rys. 7). Oprócz stanu z 1948 r. mamy jeszcze do dyspozycji Elektrownię na Żeraniu z 1



zespołem o mocy 50 MW. Jak widać z wykresu, podstawowe obciążenie do 15 MW pokrywa linia południowa. Środkowe obciążenie pokrywa Żerań, pracujący z mocą 40 MW. Resztę pokrywa Elektrownia Warszawska mocą 39 MW. W rezerwie są: linia przesyłowa 5 MW, Elektrownia Warszawska 46 MW, Elektrownia Pruszkowska 39 MW, Żerań 10 MW. Rezerwa jest wystarczająca.

Alternatywa IV (rys. 8). Oprócz stanu z 1948 r. mamy jeszcze do dyspozycji: a) elektrownię na Żeraniu z 1 zespołem o mocy 50 MW i b) linię zachodnią o przepływności 100 MW, lecz jak w altern. II o zdolności dostawy 50 MW. W tym wypadku mamy w Warszawie szereg źródeł energii i możliwość rozmaitego pokrycia wykresu zapotrzebowania. Wytyczne prace byłyby następujące: a) utrzymanie jednoczesne w ruchu obu linii dalekonośnych i rozłożenie pomiędzy nimi obciążenia podług zasady najkorzystniejszej pracy całości energetyki, b) utrzymanie jednocześnie z liniami również stale w ruchu elektrowni w Warszawie, np. Żerania.

Na wykresie (rys. 8) wskazany jest podług altern. IV dla Okręgu Warszawskiego jeden ze sposobów współpracy energetycznej w 1950 r. Jak widać, zarówno Żerań, jak i Elektrownia Warszawska pokrywają oprócz środka i szczytu jeszcze drobne obciążenie podstawowe, ponieważ nie są odłączane w okresach spadku obciążenia. To samo dotyczy również wykresów alternatyw II i III.

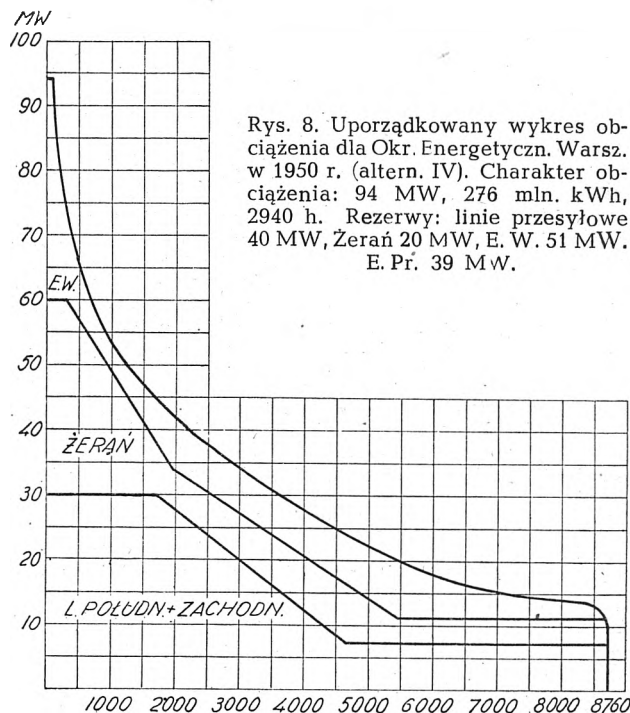
W alternatywie IV mamy obfitą rezerwę: Elektrownia Warsz. (51 MW), Elektr. Pruszk. (39 MW), Żerań (20 MW), linie przesyłowe (40 MW).

Z rozważań czterech alternatyw pokrycia obciążenia na 1950 r. i mając na widoku należyte zabezpieczenie dostawy

prądu dla Stołecznego Okręgu, wyciągamy następujące wnioski:

1. Konieczne jest doprowadzenie w najbliższym czasie (do r. 1948) odbudowy elektrowni do następujących mocy: Elektr. Warsz. 85 MW, Elektr. Pruszk. 39 MW.

2. Konieczna jest w najbliższym okresie budowa drugiej linii zasilającej stolicę — ze Śląska przez Łódź. Linia ta



nazwana „zachodnią”, przewidziana jest we wszystkich bez wyjątku projektach polskich sieci najwyższych napięć i celowość jej była niejednokrotnie naświetlana. Poza tym zamknęłaby ona kontur sieci najwyższego napięcia, podnosząc pewność działania każdego z odcinków. Zdolność przesyłowa linii tej winnaby być ok. 100 MW na 1 tor.

3. Konieczna jest budowa w najbliższym okresie nowej siłowni cieplnej w Warszawie, nazwanej w mniejszym opracowaniu Żeraniem, o mocy w pierwszym etapie budowy 50 MW.

Z rozważania wykresów i alternatyw II i III dla energetyki r. 1950 mogłoby się wydawać, że wystarczy mieć w 1950 r. oprócz stanu z r. 1948 jedno z dwojga: linię zachodnią z mocą dostawy ok. 50 MW, lub też wytwórnię na Żeraniu z mocą 50 MW.

Rozwiązania takie są doraźnie wystarczające, nie może być jednak żadne z nich oddzielnie przyjęte na dłuższy okres nawet z warunkiem zwiększenia mocy dostawy linii zachodniej lub mocy nowej siłowni, a to dla następujących przyczyn:

Sama linia zachodnia (bez Żerania) podług alternatywy II zapewni wprawdzie pokrycie mocy z wystarczającą co do mocy rezerwą. Jest to jednak pokrycie niepełnowartościowe, ponieważ linie napowietrzne stosunkowo łatwo podlegają wypadnięciu z ruchu, wymagają okresowych wyłączeń itp. Podług statystyki niem. (Rüdenberg) na 100 km sieci wysokich napięć przypada rocznie od 0,5 do 5 zakłóceń, połączonych z wyłączeniami. Podług danych z polskich sieci oraz podług danych amerykańskich liczba ta jest nieraz kilkakrotnie większa. Liczba ta nie obejmuje zgóry zamierzonych wyłączeń w związku z eksploatacją linii.

Poza tym istniejąca Elektrownia Warszawska jest przestarzała, niewłaściwie usytuowana, niemożliwa do rozbudowy, stąd zasadniczo budowa nowej elektrowni w Warszawie jest uznaną koniecznością. Przed 1939 r. decyzje w tej sprawie zapadły i odpowiednie prace wstępne były rozpoczęte.

Sam Żerań (bez linii zachodniej) zapewniłby w 1950 r. podług alt. III pokrycie mocy z wystarczającą rezerwą. Należy jednak uwzględnić, że termin ukończenia budowy,

dostawy urządzeń itp. może się w obecnych warunkach powojennych opóźnić. Tego rodzaju ryzyko braku energii elektrycznej w stolicy jest nie do przyjęcia.

Zagadnienie zostało wszechstronnie zbadane i zatrzymano się na koncepcji budowy wpierv linii Zagłębie—Łódź—Warszawa, później dopiero nowej wytwórni na Żeraniu. Za obraniem rozwiązania podług alternatywy II, połączonego z budową linii zachodniej, przemawiają następujące okoliczności: 1) linia da się prędzej wybudować niż nowa siłownia w Warszawie, 2) linia jest bardziej pożądana z punktu widzenia ogólnokrajowej energetyki; grają tu rolę takie względy, jak jednoczesne rozwiązanie zagadnienia głodu mocy dla Łodzi, polepszenie zespolonej gospodarki na Śląsku, wzrost pewności ruchu polskich linii najwyższych napięć, które przyjmą kształt zamkniętego obwodu.

Z punktu widzenia czysto gospodarczego tj. ceny prądu oba rozwiązania dla Warszawy — prąd z nowej lokalnej wytwórni lub importowany — są mniej więcej równowarte, jak wykazała specjalna analiza. Na skutek motywów, które zostały tutaj pobieżnie streszczone, kompetentne czynniki przyjęły jako doraźne rozwiązanie zagadnienia mocy dla Okręgu Warszawskiego w pierwszej kolejności — budowę linii Zagłębie—Łódź—Warszawa.

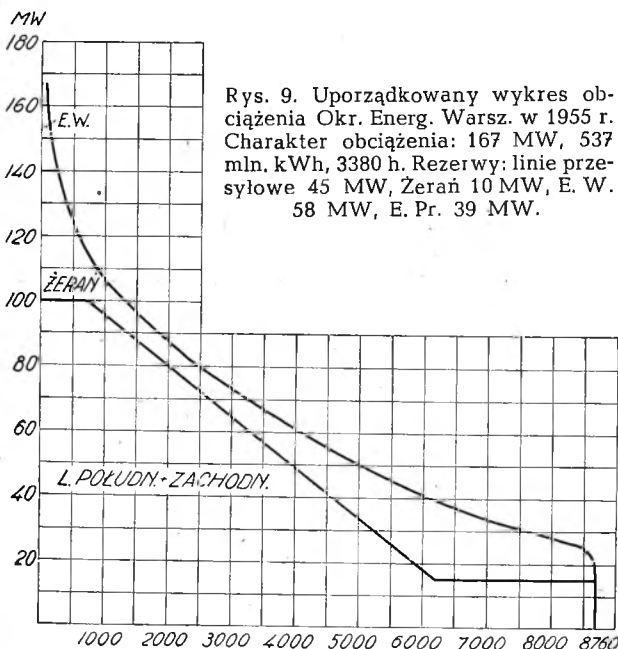
Niezależnie od budowy linii zachodniej winny być prowadzone studia dotyczące nowej siłowni ciepłej w Warszawie, a budowa jej rozpoczęta w końcu 3-letniego okresu gospodarki, który stoi przed nami. Harmonogram prac inwestycyjnych dla Okręgu Warszawskiego (rys. 13) ułożony jest podług powyższych założeń.

Energetyka Okręgu Warszawskiego w dalszych latach aż do 1970 r.

Głównym celem niniejszego opracowania jest ustalenie programu prac elektryfikacyjnych dla Okręgu Warszawskiego na najbliższe 5-letnie. Zostało to dokonane przez szczegółową analizę obciążeń w 1950 r. i przez odpowiednie wnioski. W celu uzupełnienia obrazu rozpatrzmy sposób pokrycia obciążeń w toku dłuższego okresu zresztą mniej dokładnie.

Na zasadzie liczb końcowych dla poszczególnych lat tabl. 5 sporządzono uporządkowane wykresy obciążeń dla lat 1955, 1960, 1965 i 1970.

Rok 1955. Dane poboru prądu z tabl. 5, sposób pokrycia obciążenia i rezerwy są podane na rys. 9 lub w objaśnieniach do niego. Linia zachodnia jest jednotorowa, jej szczyt 60 MW. Żerań ma moc 50 MW.



Rys. 9. Uporządkowany wykres obciążenia Okr. Energ. Warsz. w 1955 r. Charakter obciążenia: 167 MW, 537 mln. kWh, 3380 h. Rezerwy: linie przesyłowe 45 MW, Żerań 10 MW, E. W. 58 MW, E. Pr. 39 MW.

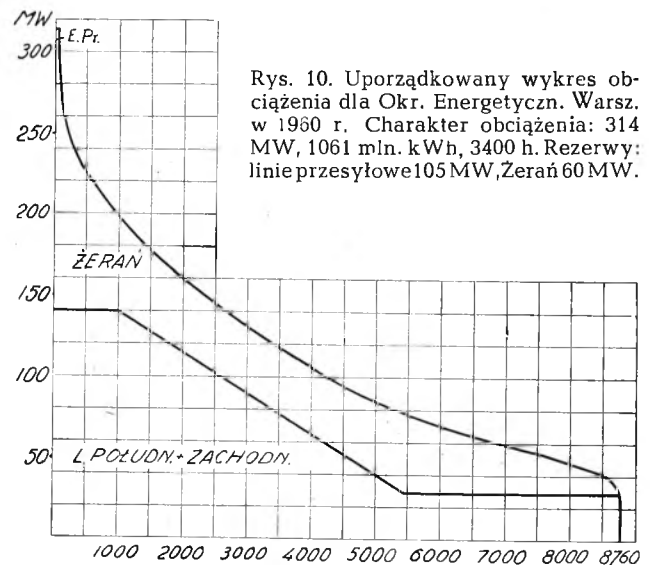
Rok 1960. W Warszawie może powstać zagadnienie pobudowania (m. in. dla dzielnicy Mokotów oraz Muranów) jednej lub kilku tzw. ciepłowni tj. elektrowni z turbinami zaczepowymi lub przeciwpiętnymi, oddającymi prze-

pracowaną parę do dzielnicowego ogrzewania i dostarczania gorącej wody lub do celów grzewczych w przemyśle.

Budowa tego rodzaju zakładu jest ściśle związana z istnieniem wystarczającej ilości odbiorców ciepła, a więc dzielnicy mieszkalnej z rozbudowanymi instalacjami ogrzewania centralnego w domach i z siecią rurociągów ciepłych ulicznych lub też z istnieniem pobierających ciepło zakładów przemysłowych. Zagadnienie ciepłowni w wielkim mieście jest tematem, nadającym się do specjalnego opracowania. Praca taka została wykonana w ramach Zjednoczenia Energetycznego Okręgu Warszawskiego i Biura Odbudowy Stolicy (BOS). Doprowadziła ona do określenia gęstości zużycia ciepła, przy której instalacja ma uzasadnienie gospodarcze. Jest to gęstość ok. $50 \cdot 10^6$ kcal/h.km², co jest możliwe przy zaludnieniu ok. 250 mieszk. na 1 ha w miejskiej dzielnicy. Zużycie ciepła na produkcję energii elektr. wynosi w procesie przeciwpiętnym ok. 1400 kcal/kWh wobec 3500—4000 kcal/kWh w elektrowni kondensacyjnej. Najkorzystniejsza moc do wyzyskania w zespole przeciwpiętnym wynosi ok. 30 MW. Jako ośrodek przenoszący ciepło, stosuje się przegrzaną wodę lub parę. Jak widać, budowa ciepłowni jest b. ponętna pod wzgl. energetycznym, jest ona jednak b. kosztowna ze względu na wielki koszt sieci i stosunkowo małe wyzyskanie mocy za instalowane wobec przeważnie sezonowego charakteru poboru ciepła.

W niniejszym opracowaniu nie uwzględniamy ciepłowni jako źródła energii elektrycznej ze względu na wymienione powyżej dodatkowe warunki, uzasadniające budowę ciepłowni.

Uporządkowany wykres obciążeń dla r. 1960 zaprojektowany jest na rys. 10, na którym podano bliższe dane



Rys. 10. Uporządkowany wykres obciążenia dla Okr. Energetyczn. Warsz. w 1960 r. Charakter obciążenia: 314 MW, 1061 mln. kWh, 3400 h. Rezerwy: linie przesyłowe 105 MW, Żerań 60 MW.

(pobór energii, sposób pokrycia, rezerwy). Założono, że Żerań ma moc 200 MW, linia południowa 45 MW, a linia zachodnia 200 MW.

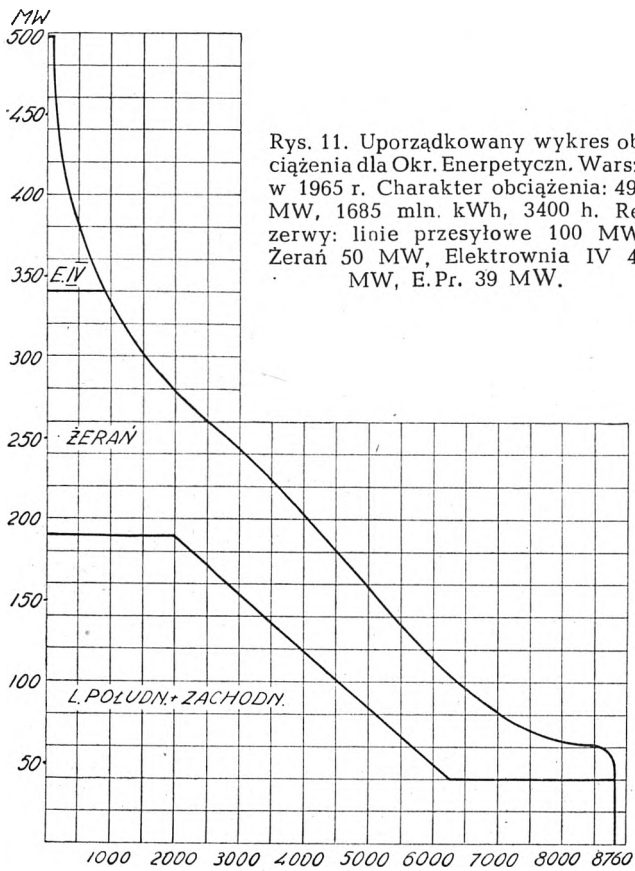
Jak widać, Elektrownia Warsz. już nie figuruje, ponieważ zgodnie z og. planami została ok. 1958 r. zatrzymana i zlikwidowana. Oczywiście, w razie braku mocy można będzie termin likwidacji Elektrowni Warszawskiej przesunąć.

Rok 1965 (rys. 11). Dane są przytoczone przy wykresie. Przewiduje się, że Żerań ma moc 200 MW, Elektrownia IV tyleż, linia południowa 90 MW, linia zachodnia 200 MW (obie dwutorowe).

Rok 1970 (rys. 12). W porównaniu z poprzednim przypadkiem moc Elektrowni IV wzrosła do 300 MW. Elektrownia Pruszkowska jest od 1968 r. zatrzymana i przeszła wyłącznie do rezerwy.

Jak widać, po raz pierwszy w 1970 r. weszły do bilansu mocy siły wodne środkowej Wisły (Bielany, Narew—Wisła i in.). Ponieważ budowa szeregu wodnych zakładów wymaga dłuższego czasu oraz musi być poprzedzona studiami i wstępnymi badaniami, odnośnie prace winny być rozpoczęte znacznie wcześniej. Występuje tu jeszcze związek z regulacją względnie kanalizacją rzeki i zagospodarowaniem jej jako arterii transportowej.

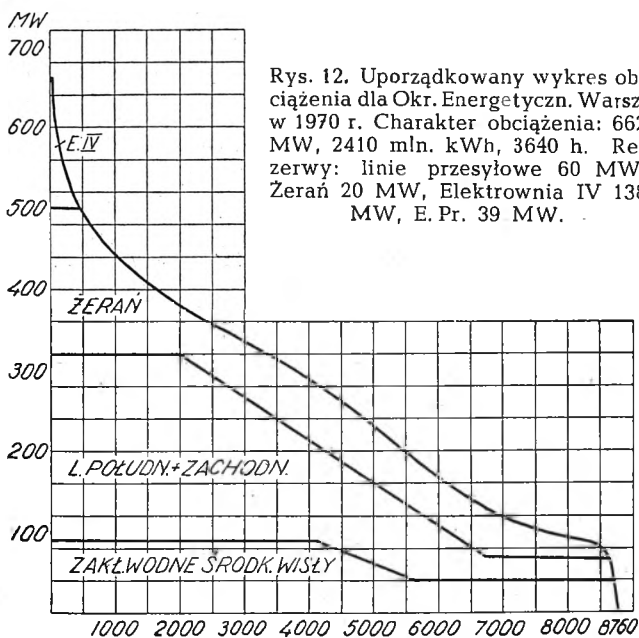
Jeżeli chodzi o charakter sił wodnych środkowej Wisły, to niektóre zakłady, jak np. Bielany, są pomyślane jako przepływowe bez akumulacji wody. Natomiast Pomiechówek koło Modlina może mieć charakter szczytowego o mocy



Rys. 11. Uporządkowany wykres obciążenia dla Okr. Energetyczn. Warsz. w 1965 r. Charakter obciążenia: 496 MW, 1685 mln. kWh, 3400 h. Rezerwy: linie przesyłowe 100 MW, Żerań 50 MW, Elektrownia IV 44 MW, E.Pr. 39 MW.

15 MW przy wyzyskaniu 1000 h i całkowitym zużyciu całorocznych wód.

Praktycznie prace wstępne badawcze winny być rozpoczęte bez zwłoki, a raczej kontynuowane, ponieważ były one prowadzone przed 1939 r. w ramach Pol. Kom. Energ. W tabl. 7 przytoczone są główne dane możliwych do wybudowania i uzasadnionych technicznie zakładów wodno-elektrycznych w obrębie środkowej Wisły. Zestawienie to jest zaczerpnięte (z wyjątkiem ostatniej pozycji) z art.



Rys. 12. Uporządkowany wykres obciążenia dla Okr. Energetyczn. Warsz. w 1970 r. Charakter obciążenia: 662 MW, 2410 mln. kWh, 3640 h. Rezerwy: linie przesyłowe 60 MW, Żerań 20 MW, Elektrownia IV 138 MW, E.Pr. 39 MW.

prof. Pomianowskiego i inż. Herbicha (ob. Sprawozdania i Prace Pol. Kom. Energ., 1938, nr. 1). Prace przed 1939 r. nie były prowadzone systematycznie i częściowo zaginęły w czasie wojny i okupacji. W literaturze technicznej spotykamy też na ten temat wzmianki, różniące się pomiędzy

Tabl. 7. Zakłady wodno-elektryczne środkowej Wisły.

Nazwa zakładu	Moc inst. MW	Energia rocz. na 10 ⁸ kWh	Czas wyzyskania h	Zbiornik: pojemność, powierzchn., cofka, spiętrzenie	Koszt zakładowy (mln. zł)	Koszt energii (gr/kWh)
1) Popowo (40 km poniżej Sandomierza na Wiśle)	50	200	4000	450 mln. m ³ 12 000 ha 35 km 10 m	60	3,8*)
2) Bielany (pod Warszawą na Wiśle), zakład przepływowy	15	81	5400	— ok. 13 km 3,44 — 1,4 m	ok. 30	4,34*)
2a) To samo podług specjalnego projektu prof. Pomianowskiego	20	140	7000	— — 2,75 — 4,1 m	—	1,5*)
3) Pomiechówek (na Wkrze k. Modlina), zakład szczytowy, wyrówn. roczne	15	15	1000	77 mln. m ³ 3 400 ha 38 km 14 m	12	10,8*)
4) Kanał Bug-Wisła. Zbiornik we Włodawie, na kanale 4 siłownie. Dane łączne:	32	130	4000	— 12 000 ha —	95	4,75**)
5) Kanał Bug-Narew-Niemen. Zbiornik w Łomży, siłownie w Różnachs i w Łomży	70	280	4000	980 mln. m ³ — 20 m i 12 m	—	6,5*)
5) Włocławek-Wisła	100	—	—	—	—	—

sobą. Ze względu na zależność wzajemną zakładów wodnych tego samego okręgu, pogląd na właściwe zagospodarowanie energetyczne rzeki może być ustalony dopiero po opracowaniu szeregu wariantów i wstępnych projektów. Tym bardziej więc rozpoczęcie prac ma charakter pilny.

V. Uwagi ogólne.

Na rys. 13 przedstawiony jest harmonogram inwestycji energetycznych, których potrzebę dla Okręgu Warszawskiego uzasadnia analiza obciążeń i pokrycia, przeprowadzona powyżej dla poszczególnych lat.

Rozważania dla okresu do 1950 r. mają bardziej sprecyzowany charakter ze względu na to, że jest to łatwiejszy do przewidywania i bliższy okres.

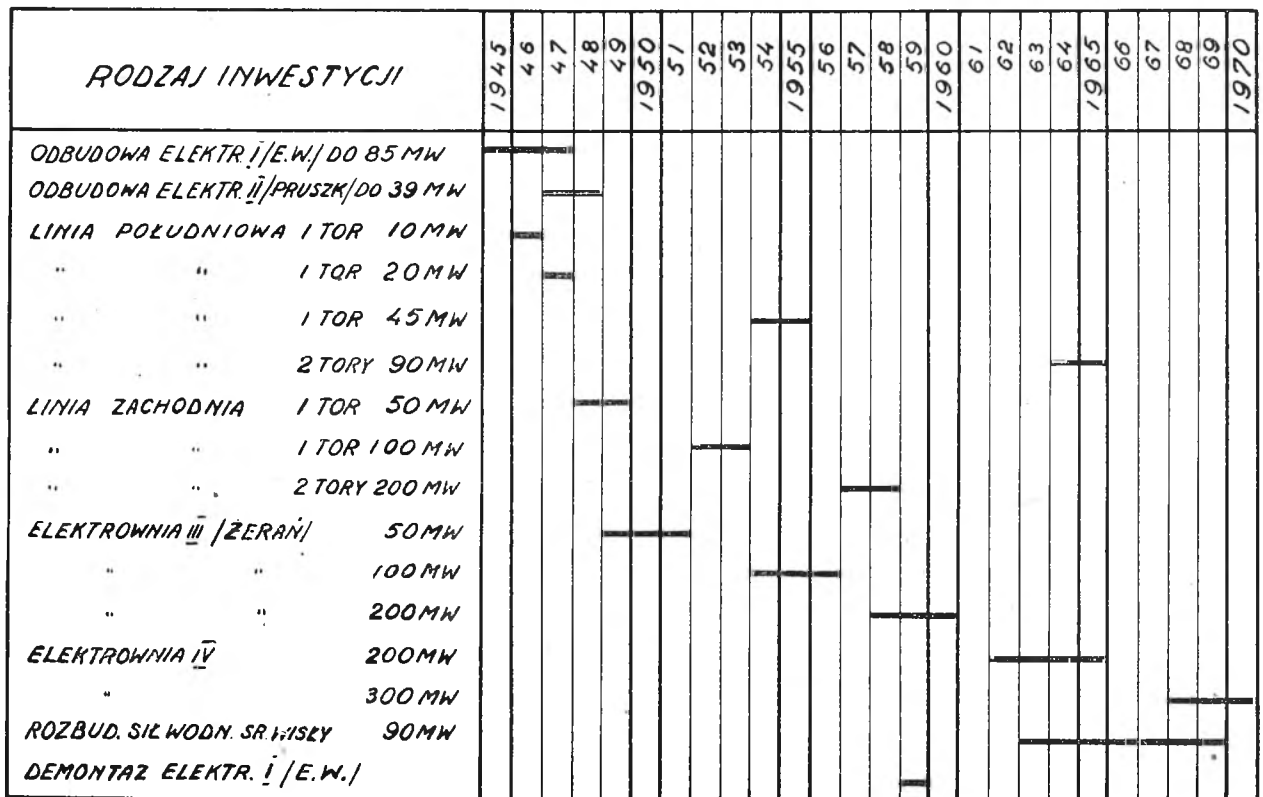
Czynniki ekonomiczne, koszty wytwarzania itp. mogą być dla tego okresu już teraz do pewnego stopnia ujęte. Założenie, że podstawowe obciążenie pokryje linia południowa, opiera się na znajomości warunków produkcji energii w miejscach zasilania linii przesyłowych.

Inaczej się rzecz przedstawia dla dalszych okresów, dla których analiza ma raczej charakter orientacyjny. W obecnym momencie dziejowym powstawania nowych form ustrojowych — zbyt dużo niewiadomych utrudnia nam planowanie. Założeniem jest, że Żerań będzie grał rolę elektrowni, kryjącej środek obciążenia, Elektrownia IV — rolę elektrowni szczytowej.

Rozważając projektowane sposoby pokrycia obciążeń, należy zawsze pamiętać, że są to jedne z możliwych rozwiązań. Kalkulacja gospodarcza, właściwości będących do dyspozycji sił wodnych, warunki transportu paliwa i poli-

*) Przy całkowitym obciążeniu kosztami.

***) Przy obciążeniu kosztami w 50%.



Rys. 13. Harmonogram inwestycji energetycznych w Okr. Energ. Warsz.

tyka paliwowa, momenty związane z ogólną krajową energetyką — są to okoliczności, wpływające na wybór sposobu pokrycia obciążenia okręgu.

Z biegiem czasu i w miarę wyjaśnienia się okoliczności może się okazać, że przewidywania, leżące u podstawy niniejszego opracowania i dotyczące wysokości obciążeń,

są niesłuszne. Wówczas może zająć potrzeba przyspieszenia lub opóźnienia odpowiednich inwestycji, wymienionych jako konieczne dla pewnych lat. Studia energetyczne winny być prowadzone stale i bez przerwy, ponieważ żadna inna dziedzina współczesnej techniki nie jest tak blisko związana z ewolucją gospodarczą jak energetyka.

INŻ. JÓZEF MICHEJDA

Zadania i zasady organizacji rozrządu w okręgu paryskim

1. Gospodarka elektryczna zbiorowa.

Zorganizowany rozdział obciążeń występuje tam, gdzie pierwotną indywidualną gospodarkę elektryczną zastąpiono gospodarką zespołową. W pierwszym okresie elektryfikacji poszczególne elektrownie okręgowe zasilają swój teren całkowicie niezależnie. Dzięki sprzężeniu ośrodków wytwórczych liniami wysokiego napięcia powstała możliwość ekonomicznego rozdziału obciążeń przez rozłożenie głównego ciężaru produkcji na zakłady pracujące najbardziej ekonomicznie oraz przez wyzyskanie nieraz odległych tanich źródeł energii przy równoczesnym zachowaniu pewności ruchu.

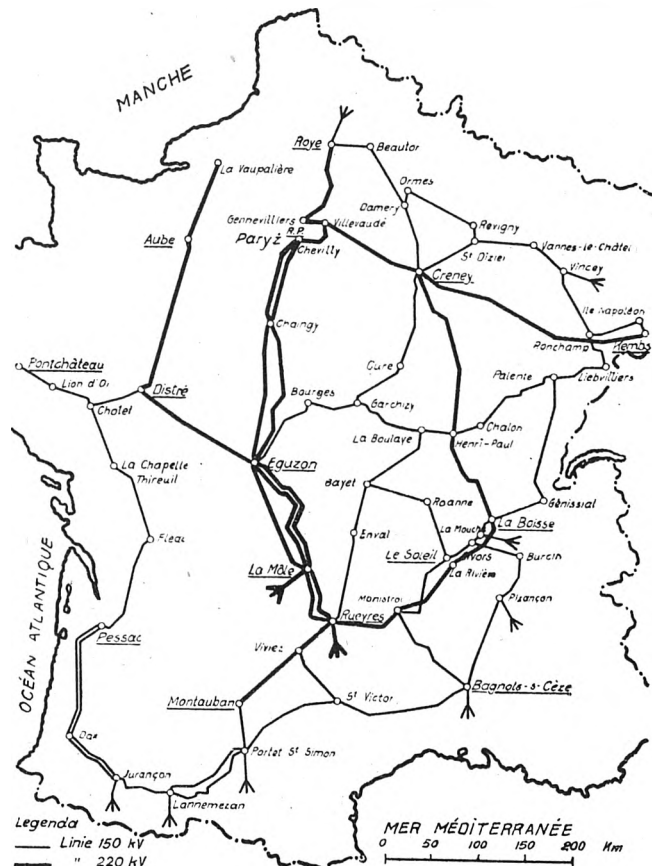
Proces przejścia z gospodarki indywidualnej na gospodarkę zespołową odbywał się w różnych krajach rozmaicie, zależnie od warunków ekonomicznych oraz obowiązującego ustawodawstwa elektrycznego. Ingerencja państwa w gospodarkę elektryczną już przed wojną była wszędzie bardzo poważna, jednakże jej skala była różnorodna. Najdalej posunięta była ta ingerencja w Niemczech, gdzie szereg ustaw dało państwu niemal dyktatorską władzę w dziedzinie elektryfikacji, a mianowicie w zakresie budowy nowych lub unieruchomienia starych elektrowni, budowy nowych linii, kontroli inwestycji, ustalania cen itp. Również i rozdział obciążeń uregulowany został osobną ustawą, powołującą do życia specjalny organ rozdziału obciążeń zarówno dla terenu całej Rzeszy, jak i poszczególnych prowincji, z dokładnym określeniem kompetencji.

Inną drogą poszła Anglia, gdzie przez długi okres czasu organizacja wytwarzania i przesyłu energii elektrycznej była zaniedbana przede wszystkim z powodów ekonomicz-

nych, ponieważ na terenie całego państwa cena węgla jest jednakowa, a energia wodna prawie nie istnieje. W tych warunkach nie było (dla inicjatywy prywatnej) bodźca do sprzęgania elektrowni i przesyłania energii na dalsze odległości. Ponadto ustawodawstwo angielskie wyraźnie nie sprzyjało racjonalnej gospodarce, gdyż nie zezwalało na fuzję przedsiębiorstw wytwórczych bez zgody parlamentu. Również czynnikiem hamującym było faworyzowanie przez państwo municypalnych przedsiębiorstw elektryfikacyjnych i skupienie przez magistraty lub związki samorządowe ponad połowy istniejących przedsiębiorstw. Przedsiębiorstwa te cechował pewien partykularyzm; rezygnowały one niechętnie ze swej niezależności, a rezygnacja taka jest konieczna przy przejściu do racjonalnej gospodarki zespołowej. Z takich to powodów państwo było zmuszone wziąć inicjatywę w swoje ręce i przystąpić pośrednio do organizacji wytwarzania i przesyłania energii elektrycznej, tworząc znany „grid”. Organizacją tą kieruje urząd, pozostający pod kontrolą państwa.

W przeciwieństwie do „gridu” angielskiego sieć francuska najwyższych napięć jest dziełem inicjatywy prywatnej, gdyż we Francji istniały bardzo korzystne podstawy ekonomiczne budowy sprzężeń elektrycznych dzięki istnieniu różnorodnych ośrodków wytwórczych: elektrowni wodnych w Masywie Środkowym, w Pirenejach, w Alpach i na Renie oraz elektrowni ciepłych na północy kraju i w samym Paryżu, który jest równocześnie największym ośrodkiem spożycia energii. Połączenie tych ośrodków liniami dalekosiężnymi o napięciu 220 000 woltów umożliwiło racjonalną gospodarkę energią elektryczną na terenie całego kraju. Sieć głównych

arterii na 220 kV i 150 kV w jej obecnym stadium rozwoju przedstawiona jest na rys. 1. Sieć ta nie była zaplanowana z góry, lecz rozwijała się stopniowo, krystalizując się coraz bardziej w formę sieci ogólnopaństwowej.



Rys. 1. Sieć francuska najwyższych napięć (220 i 150 kV).

Układ 220-kilowoltowy stanowi olbrzymi pierścień, obsługujący główne ośrodki spożycia, w szczególności zaś okręgi Paryża i Lyonu oraz okręgi wschodnie. Gałąź zachodnia tego układu zbiera energię, wyprodukowaną przez elektrownie wodne Masywu Środkowego, doprowadzając ją do Paryża, gałąź zaś wschodnia łączy Masyw Środkowy z elektrowniami wodnymi w Alpach i przebiegając na północ łączy się w okręgu paryskim z gałęzią zachodnią. Z centralnego pierścienia 220-kilowoltowego wybiegają cztery anteny, a mianowicie pierwsza na północ, łącząca okręg paryski z elektrowniami zagłębia węglowego północnej Francji, druga na południe ze stacji Ruyeres do połączenia Masywu Środkowego z elektrowniami wodnymi pirenejskimi, trzecia z Eguzon do zasilania okręgów zachodnich, wreszcie czwarta z Creney do pobrania energii wodnej na Renie w Kembs. Ponadto z poszczególnych stacji 220-kilowoltowych wybiegają arterie o napięciu 150 kV, 120 kV i 90 kV, tworząc między sobą i siecią 220 kV różne pierścienie i spłoty. Według danych, przedstawionych na Konferencji Wielkich Sieni w Paryżu w roku 1945, ogólna długość linii najwyższych napięć we Francji była następująca:

sieć 220 kV	. . .	4 300 km
" 150 kV	. . .	7 000 "
" 120 kV	. . .	1 100 "
" 90 kV	. . .	3 500 "

Cyfrы te świadczą dostatecznie o faktycznie dokonanym już połączeniu gospodarki energetycznej francuskiej w jedną zorganizowaną całość. Niemniej jednak czynione są we Francji studia nad połączeniem głównych ośrodków energetycznych liniami jeszcze wyższych napięć i nałożenia na istniejącą sieć ogólnokrajową linii o napięciu 400 kV.

2. Paryski węzeł energetyczny*).

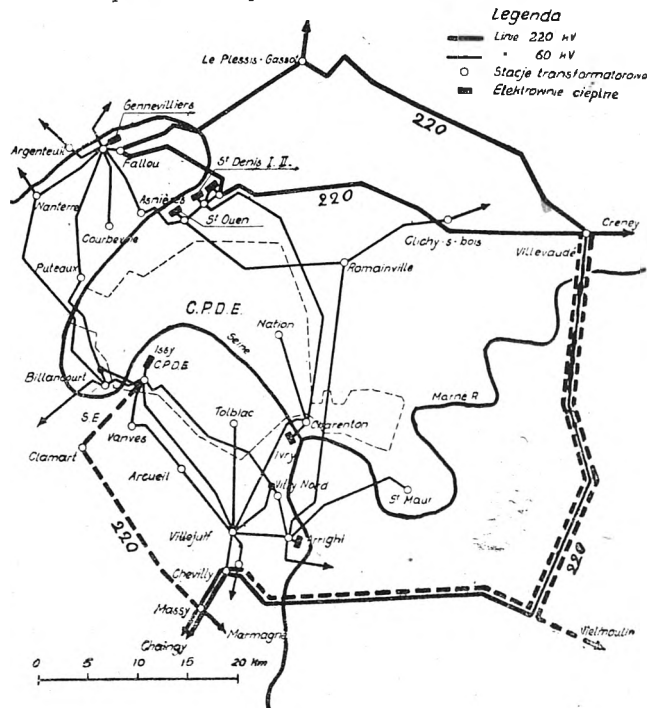
Na tle przedstawionego wyżej obrazu gospodarki energetycznej całej Francji zilustrujemy gospodarkę ener-

*) Niektóre dalsze szczegóły z okresu przedwojennego znajdują się w artykule inż. W. Szwanderera p. t. „Rozdział energii elektrycznej w regionie paryskim” (PE, 1938, zes. 13, str. 443, oraz zes. 15, str. 577).

tyczną najważniejszych części, jaką jest węzeł paryski. W okresie gospodarki indywidualnej Paryż był zaopatrywany w energię elektryczną przez kilka niezależnych towarzystw rozdzielczych i wytwórczych, które stopniowo ulegały coraz większemu procesowi centralizacji.

Do towarzystw rozdzielczych należały przede wszystkim CPDE (C-ie Parisienne de Distribution d'Électricité), posiadająca dwie elektrownie St. Ouen i Issy les Moulineux i zasilająca Paryż właściwy, oraz towarzystwa Nord-Lumière, Ouest-Lumière, Sud-Lumière, Est-Lumière i Nord-Est-Parisienne, zasilające przedmieścia. Do towarzystw ściśle wytwórczych, zasilających jednak sieć trakcji elektrycznej i peryferie miasta, należały UDE (Union d'Électricité) z elektrowniami Arrighi (Vitry Sud) i Gennevilliers oraz SEPS (Société d'Électricité de Paris wraz ze swą filią l'Électricité de la Seine) z elektrowniami St. Denis i Ivry. Do roku 1927 zasilanie Paryża odbywało się niezależnie przez 3 wyżej wymienione główne towarzystwa: CPDE, UDE i SEPS, stanowiące 3 oddzielne komórki produkcyjne i eksploatacyjne. W tym czasie doszło do umowy pomiędzy dwoma głównymi towarzystwami wytwórczymi Ude i SEPS a właściwym towarzystwem rozdzielczym CPDE, które stało przed alternatywą rozbudowy własnych elektrowni lub też zakupu energii elektrycznej z zewnątrz. W wyniku tej umowy CPDE uznała za bardziej ekonomiczne ograniczyć się tylko do czynności rozdzielczych, powierzyć całkowitą hurtową dostawę dwu towarzystwom wytwórczym — Ude i SEPS, zrezygnować z prowadzenia własnych elektrowni (St. Ouen i Issy les Moulineux) i oddać je w gestię i eksploatację spółkom wytwórczym na przeciąg 20 lat. Dzięki takiemu rozwiązaniu sytuacja uprościła się znacznie, gdyż odtąd wytwarzanie energii dla Paryża przejęły dwa towarzystwa wytwórcze, a mianowicie: Ude i SEPS, które przystąpiły niezwłocznie do sprzężenia w jedną całość niezależnych dotąd elementów okręgu paryskiego celem zapewnienia dostawy energii wspólnemu klientowi CPDE.

W roku 1931 została dokonana praca połączenia w jeden wspólny układ o napięciu 60 kV wszystkich elektrowni oraz stacji sieci rozdzielczej. Sieć ta została zbudowana przeważnie z kabli jednożyłowych. Równocześnie przystąpiono do budowy nowoczesnych elektrowni, a mianowicie Arrighi



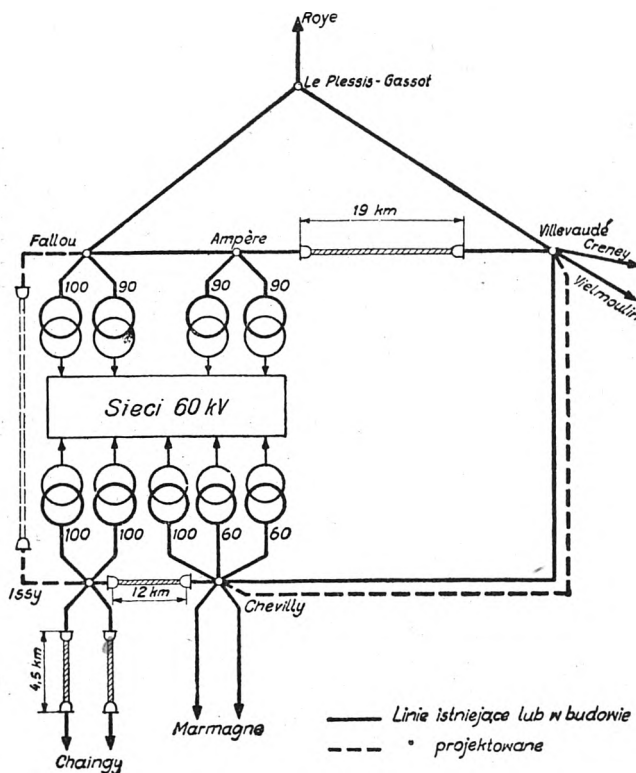
Rys. 2. Sieci okręgu paryskiego na 220 i 60 kV.

(Vitry Sud), należącej do Ude i uruchomionej w r. 1931, i St. Denis II, należącej do SEPS i uruchomionej w r. 1933.

Aczkołwiek sieć 60 kV, należąca do najważniejszych sieci tego rodzaju w świecie, bo osiągająca rozciągłość ponad 1500 km kabla jednożyłowego, doprowadziła do sprzężenia gospodarki energetycznej w obrębie samego Paryża, okazało się, że do skojarzenia gospodarki energetycznej okręgu paryskiego z ogólnokrajową gospodarką francuską potrzeb-

na jest nowa sieć o napięciu 220 kV. Konieczność ta wynikała z uwagi na olbrzymie spożycie energii elektrycznej i centralne położenie geograficzne węzła paryskiego, ku któremu zbiegały się wszystkie główne arterie energii wodnej z Masywu Środkowego, z Alp i z nad Renu, oraz ze względu na korzystne warunki współpracy elektrowni ciepłych z wodnymi.

W roku 1933 dwa towarzystwa wytwórcze okręgu paryskiego, UdE i SEPS, powołały do życia spółkę „Inter-Paris, Société parisienne d'interconnexions électriques”, która miała za zadanie zaprojektowanie i uruchomienie sieci 220 kV okręgu paryskiego. Pierwsze instalacje „Inter-Paris” zostały uruchomione w roku 1936 i obejmowały stację 220 kV St. Denis i Villevaudé, dwie linie 220 kV pomiędzy Villevaudé i Clichy-sous-Bois, oraz 19 km kabla 220 kV pomiędzy Clichy-sous-Bois i St. Denis. Doprowadzenie linii 220 kV, łączącej sieć 220 kV z elektrownią St. Denis II na podstacji Ampère, poprzez gęsto zaludnione okolice Paryża w postaci połączenia kablowego długości 19 km, jak również ułożenie 12 km kabla olejowego na napięcie 220 kV o zdolności przesyłowej 200 MVA do podstacji Chevilly stanowiło śmiały wyczyn techniki francuskiej.



Rys. 3. Schemat połączeń sieci 220 kV w okręgu paryskim.

Obecny stan sieci 220 kV i 60 kV w okręgu paryskim przedstawiono na rys. 2. Sieć ta stanowi całość dość silnie z sobą splecioną, połączoną transformatorami 220/60 kV. Rys. 3 przedstawia w szczególności schemat pierścienia mieszanego napowietrzno-podziemnego na 220 kV, otaczającego skupisko paryskie, jak również połączenia tego pierścienia z siecią 60 kV, która jest przedstawiona na planie tylko w formie prostokąta. Sieć ta jest w rzeczywistości przepleciona i podzielona na sekcje, oddzielone dławikami celem ograniczenia mocy zwarcia.

W okręgu paryskim czynne są następujące elektrownie ciepłe:

Gennevilliers	(UdE)	moc instal.	360 MW	} administrowane wspólnie przez UdE i SEPS
St. Denis I	(SEPS)	" "	130 "	
St. Denis II	(SEPS)	" "	210 "	
Issy les Moulineux	(CPDE)	" "	130 "	
St. Ouen	(CPDE)	" "	400 "	
Ivry	(SEPS)	" "	75 "	
Arrighi				
(Vitry Sud)	(UdE)	" "	220 "	
			razem 1.525 MW	

Z wymienionych elektrowni jednakże tylko dwie są nowoczesne, a mianowicie St. Denis II i Arrighi (Vitry Sud), po-

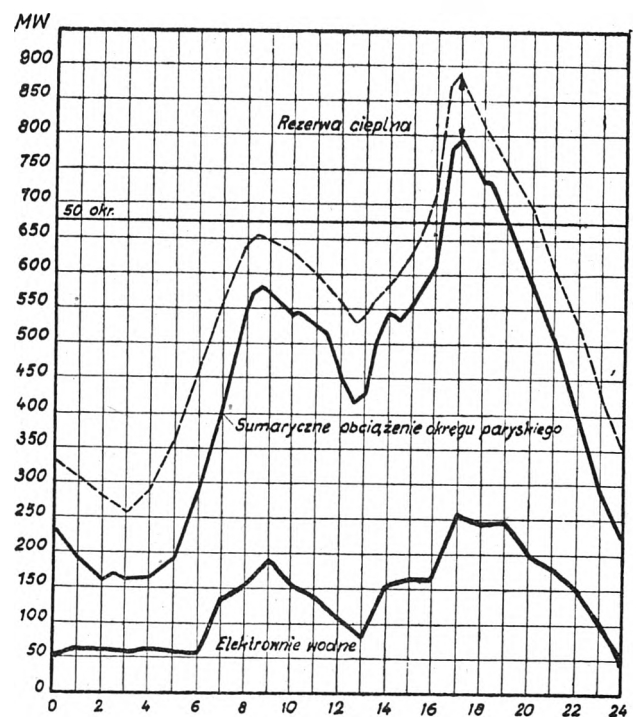
zostałe są mocno przestarzałe z wyjątkiem elektrowni Ivry, która jest nowoczesną elektrownią szczytową, i Issy les Moulineux, którą częściowo zmodernizowano przez zainstalowanie nowych kotłów na 44 atn i turbin czołowych na 44/16 atn.

Elektrownia Arrighi (Vitry Sud), uruchomiona w r. 1931, posiada: 9 kotłów na 39 atn, 450° C, po 135 t/h w wykonaniu: 4 Babcock-Wilcox, 3 Fives, Lille, 2 Alsthom, oraz 4 turbozespoły po 55 000 kW firmy Alsthom.

Elektrownię St. Denis II uruchomiono w r. 1933 o początkowej mocy 150 MW i wyposażeniu: 6 kotłów na 70 atn, 480° C, po 120 t/h firmy Babcock-Wilcox oraz 3 turbozespoły po 50 000 kW z generatorami 72 000 kVA (z nich jedna turbina firmy Alsthom z generatorem „Jeumont”, druga turbina firmy Oerlikon z generatorem „Jeumont” i trzecia turbina firmy Brown Boveri z generatorem „Charleroi”). W czasie wojny w latach od 1939—1943 powiększono moc elektrowni do 210 MW przez zainstalowanie 2 kotłów na 70 atn, 500° C, po 130 t/h firmy Babcock-Wilcox oraz 1 turbozespołu o mocy 60 000 kW firmy Alsthom z generatorem „Jeumont” 72 000 kVA. Z braku dostatecznej rezerwy kotłowej przystąpiono do zainstalowania dziewiątego kotła na 70 atn, 500° C, 200 t/h również firmy Babcock-Wilcox; jego budowa ma być ukończona w r. 1947.

Poza wymienionymi inwestycjami przystąpiono z uwagi na dotkliwy brak mocy w okręgu paryskim do modernizacji elektrowni Gennevilliers.

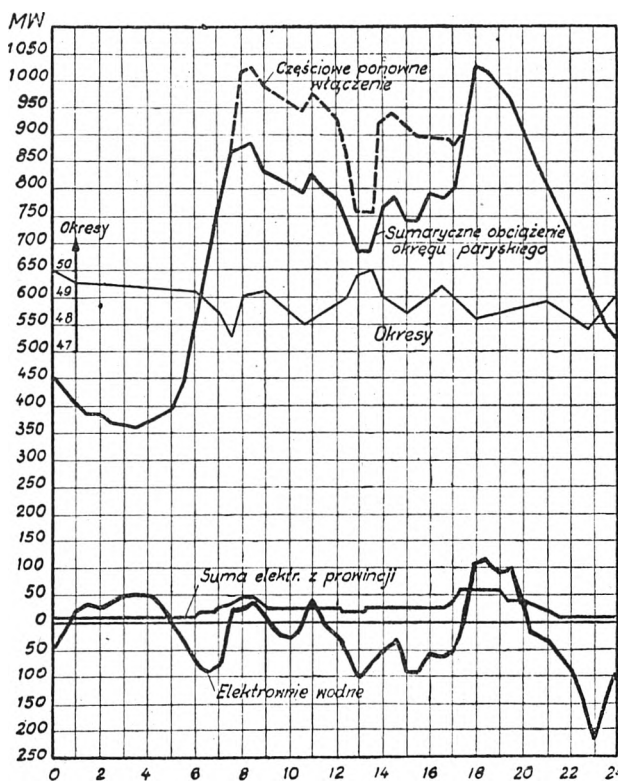
Warunki pracy elektrowni paryskich przed wojną i po wojnie ilustrują wykresy. Na rys. 4 podano dzienną krzywą obciążenia okręgu paryskiego z 23 listopada 1938 r. Szczyt wieczorny wynosił ok. 800 MW, przy czym przez całą dobę okresy były rygorystycznie zachowane na normalnym poziomie, a ponadto w elektrowniach mogła być utrzymywana momentalna rezerwa parowa. Dostawa elektrowni wodnych miała charakter dostawy szczytowej. Rys. 5 podaje dzienną krzywą obciążenia okręgu paryskiego z 27 listopada 1946 r. Obciążenie szczytowe przekroczyło 1000 MW, w czym samo „metro” uczestniczy cyfrą ponad 100 MW. Dzienna produkcja wyniosła w tym dniu 16 950 000 kWh.



Rys. 4. Wykres obciążenia okręgu paryskiego z dnia 23. XI. 38

Udział elektrowni wodnych był w r. 1946 znacznie mniejszy niż w r. 1938 z powodu katastrofalnej posuchy i wynosił ok. 110 kW w szczycie zamiast ok. 230 MW przed wojną, co dodatkowo wpłynęło na pogorszenie się sytuacji energetycznej okręgu paryskiego, którą charakteryzują następujące cechy: 1) obciążenie elektrowni paryskich do kresu ich możliwości produkcyjnych z wyjątkiem pory nocnej pomiędzy 2 a 5 godziną; 2) niemożność utrzymania okresów i konieczność ich obniżania do 48 okr./sek. w godzinach

szczytu; 3) konieczność ograniczeń spożycia energii, zwłaszcza na cele grzejnictwa w godzinach od 7,30 do 17 godziny przez wyłączanie pewnych grup odbiorników w drodze administracyjnej, co powoduje obniżenie obciążenia w wymienionych godzinach o 150 do 200 MW.



Rys. 5. Wykres obciążenia okręgu paryskiego z dnia 27. XI. 46

3. Zadania rozrządu.

Zadania rozrządu są nie tylko natury technicznej, lecz również ekonomicznej. Zasada ta znalazła szczególne zastosowanie w okręgu paryskim z uwagi na to, że dwa towarzystwa wytwórcze zawarły umowę na wspólną dostawę energii trzeciemu towarzystwu i przejęły pod wspólny zarząd elektrownie tegoż towarzystwa. Skomplikowane to zagadnienie sprowadzało się w praktyce do postulatu takiej eksploatacji zespołu elektrowni i linii, któraby przyniosła maksimum ekonomii i pewności ruchu. Postulat zaś taki mógłby być spełniony wtenczas, gdy całość byłaby kierowana przez jednego eksploatatora, znającego dobrze swój zawód.

Zespolenie w jedną organiczną całość gospodarki energetycznej okręgu paryskiego nastąpiło już przed wojną w drodze dobrowolnych układów. Zagadnienie to było wówczas bardziej skomplikowane niż obecnie, kiedy po upaństwowieniu zakładów elektrycznych jedynym eksploatatorem jest państwo.

Dwa towarzystwa wytwórcze zawarły między sobą następujący układ: 1) każde towarzystwo pozostaje nadal w posiadaniu swojego terenu zasilania; 2) oba towarzystwa oddają sobie wzajemnie do dyspozycji bezpłatnie kable, jeżeli te nie są używane dla własnych potrzeb; 3) wspólna klientela dzielona jest ściśle po połowie; z jednej strony każde towarzystwo ma prawo do połowy zdolności wytwórczej elektrowni wspólnie zarządzanych, z drugiej zaś strony ma dostarczyć połowę mocy i energii potrzebnej do zasilania wspólnych odbiorów (tj. Paryża).

Podstawowy ten układ uzupełniał dezyderat prowadzenia gospodarki przy maksimum ekonomii i pewności ruchu, jakie można osiągnąć z wykorzystania posiadanych urządzeń. Dezyderat ten pociągał za sobą pewne odchylenia od podstawowego układu, np. konieczność uruchomienia lub większego obciążenia bardziej ekonomicznej jednostki i wycofanie z ruchu innej mniej ekonomicznej. Siłą faktu znalazła zastosowanie zasada eksploatacji rozsądnej, to znaczy bardziej oszczędnej niż eksploatacja, któraby wpływała z dosłownego zastosowania kontraktu podstawowego. Zysk

osiągnięty z takiego odchylenia od kontraktu podstawowego, dzieli się po połowie pomiędzy obu partnerami.

Z układów powyższych wynika, że rozrządca okręgu paryskiego miał do spełnienia zadania poważne, wymagające znajomości nie tylko ściśle technicznych, lecz i gospodarczych.

Zadaniem rozrządcy jest przewidzieć, rozdzielić i kontrolować.

Przewidywanie. Rozrządca przewiduje codziennie zapotrzebowanie mocy w ciągu dnia następnego na podstawie: a) danych statystycznych, zezwalających określić wielkość prawdopodobnego obciążenia przez porównanie procentowego wzrostu w różnych godzinach dnia; b) oceny warunków atmosferycznych w danym okresie.

Rozdział. Znając ilości energii, oferowanej przez elektrownie wodne i inne okręgi zewnętrzne, oraz znając moce rozporządzalne elektrowni ciepłych, przede wszystkim szczytowych, rozrządca dąży do realizacji racjonalnego rozkładu energii, zużytkowując energię wodną tak, aby ilość wody niezużytkowanej była ograniczona do minimum.

Po wyzyskaniu w ten sposób energii wodnej pozostałe zapotrzebowanie przerzuca się na elektrownie parowe, przy czym względy gospodarcze nakazują wybrać pewną określoną elektrownię w pierwszej kolejności, a w tej elektrowni wybrać pewien turbozespół przed innymi.

Ustaliwszy dzienny rozdział obciążeń, rozrządca przekazuje każdej elektrowni szczegółowy program ruchu na dzień następny, wyznaczając o każdej porze zarówno średnie obciążenie, jak i rezerwy wirujące (to ostatnie, oczywiście, w czasach normalnych przed wojną, kiedy nie było deficytu mocy) celem pokrycia wspólnie z innymi współpracującymi elektrowniami ryzyka wszelkiego rodzaju. A ryzyko to może być różnego pochodzenia: a) ze strony źródła energii wodnej (wypadnięcie linii lub grupy linii, lub transformatora najbardziej obciążonego); b) ze strony elektrowni ciepłych (wypadnięcie najważniejszego zespołu ciepłego, pracującego na wspólną sieć); c) ze strony warunków atmosferycznych (gwałtowny wzrost zapotrzebowania w momencie zachmurzenia).

Kontrola. Rozrządca czuwa ustawicznie nad wykonaniem programem produkcji przez każdą elektrownię i w wypadku poważniejszego odchylenia zapotrzebowania rzeczywistego od zapotrzebowania przewidywanego: a) interweniuje, wprowadzając pożyteczne zmiany tak, aby rozdział obciążeń był jak najbardziej racjonalny; b) powiększa lub zmniejsza liczbę turbozespołów i kotłów, będących w ruchu, celem utrzymania pewności dostawy całości w ramach racjonalnego rozdziału obciążeń.

Z drugiej strony rozrządca dba o to, by przesył energii do ośrodków spożycia odbywał się przy maksimum pewności, tj. aby wyłączenie kabla lub linii nie pociągnęło za sobą zakłóceń w regularności dostaw.

Rozrządca w zasadzie powinien być wyłącznie upoważniony do wydawania poleceń posterunkom i podstacjom w sprawie manewrowania odłącznikami i wyłącznikami. Wyłączenie rozrządca ustala terminy przeprowadzenia rewizji i remontów.

4. Organizacja pracy w rozrządni.

Podstawowe zasady ogólnej organizacji pracy w rozrządni można ująć w następujący sposób:

a) W sali rozrządni powinna panować bezwzględna cisza tak, aby rozdzielca obciążeń i regulator przesyłu energii mieli zapewniony jak największy spokój ducha.

b) W wypadku zakłóceń pracownicy posterunków sieci winni je usunąć własnym staraniem, interwencja zaś regulatora przesyłu winna być możliwie ograniczona. Normy ruchowe winny znaleźć wtenczas zastosowanie i tylko w pewnych warunkach, określonych normami, interweniuje regulator przesyłu.

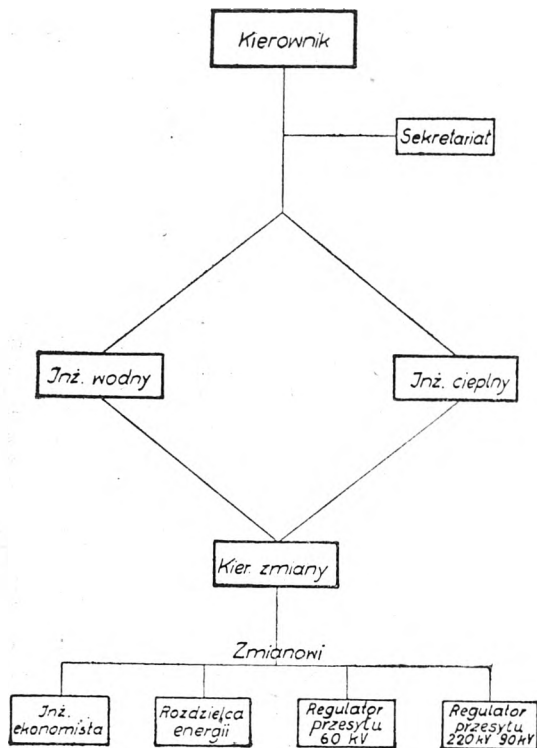
c) Potwierdzenie wykonania wydanego rozkazu powinno być znane rozrządcy już to w drodze automatycznej, już to w formie przekazu możliwie jak najszybciej.

d) Łączenia i wyniki eksploatacji powinny być znane rozrządcy w jak najkrótszym terminie.

Schemat organizacyjny rozrządu w okręgu paryskim przedstawiony jest na rys. 6.

Rozrządnia okręgu paryskiego mieściła się początkowo przy jednej z elektrowni, obecnie mieści się w centrum Paryża przy Rue de Messine 3.

W głównej sali na ścianie umieszczony jest schemat sieci okręgu paryskiego, jednak tylko orientacyjny. Przy pulpitych telefonicznych siedzą inżynierowie zmianowi — regu-



Rys. 6. Schemat organizacyjny rozrządu w okręgu paryskim.

latorzy rozsyłu przez sieci 60 kV oraz sieci 220 kV i 90 kV. Każdy z nich ma przed sobą księgę zmianową, w której na każdej stronie wydrukowany jest schemat sieci. Poprzedni zmianowy przekazuje stan sieci, a przejmujący zmianę z kolei zakreśla na schemacie sieci czerwonym ołówkiem zachodzące zmiany i notuje ważne wydarzenia. Księgi te są podstawą pracy regulatorów przesyłu.

W sąsiedniej mniejszej sali umieszczona jest służba rozdzielca energii. Tu mieszczą się aparaty wskazujące i rejestrujące obciążenia, napięcie i okresy głównych elektrowni, aparaty sumujące dostawę 7 elektrowni ciepłych oraz całkowitą dostawę elektrowni wodnych. Tu odbywa się kontrola programu. Specjalna aparatura wskazuje odchylenie krzywej rzeczywistej od krzywej przewidywanej. Odchylenia od programu, wymagające zmiany dyspozycji, rozdzielca obciążeń komunikuje inżynierowi ekonomście, który na podstawie bardzo pomysłowo obliczonej tablicy nomograficznej wyznacza dla danych warunków te kotły i maszyny, które powinny być w ruchu, i w jaki sposób poszczególne jednostki powinny być obciążone, aby uzyskać najbardziej racjonalne warunki eksploatacji i najniższe koszty produkcji.

W tej samej sali na ścianie umieszczona jest tablica, na której dla każdej elektrowni okręgu paryskiego obok nazwy elektrowni umieszczone są w formie zmienianej wkładki numery maszyn i kotłów, będących każdorazowo w ruchu, w rezerwie czy w naprawie tak, że rzut oka wystarczy, aby zorientować się o każdorazowej zdolności wytwórczej elektrowni.

Podział czynności pomiędzy rozdzielcą energii a regulatora przesyłu jest następujący: rozdzielca energii reguluje moc czynną i okresy, regulator przesyłu reguluje moc bierną i napięcie. Nad ich pracą czuwa główny rozdzielca obciążeń, kierownik zmiany.

W pozostałych pokojach umieszczone są biura inżyniera wodnego, ciepłego, kierownictwa rozrządu i sekretariatu.

INŻ. ZYGMUNT FIGURZYŃSKI

Amerykańskie doświadczenie w stosowaniu trzeciej szyny na kolei miejskiej

Odbudowa Warszawy wymaga powiązania zagadnień komunikacyjnych Warszawskiego Zespołu Miejskiego w jedną całość. Miejska kolej szybka oraz komunikacja podmiejska, obsługiwana przez koleje dojazdowe, muszą być rozpatrywane wspólnie, gdyż ściśła ich współpraca, zwłaszcza przy projektowanym rozplanowaniu stolicy z podziałem na różne dzielnice (handlowe, przemysłowe, mieszkalne itp.), jest w przyszłości nieunikniona. Z powyższego wynika ściśła wzajemna zależność systemu trakcji, obranej dla m. k. s. (miejskiej kolei szybkiej), i warunków rozbudowy oraz eksploatacji kolei dojazdowych.

W założeniu zelektryfikowania tego ruchu, co nie podlega dyskusji, możliwe są trzy systemy trakcji do zastosowania, a mianowicie systemy prądu stałego o napięciu 750, 1500 i 3000 V.

Sprawa systemu 3000 V była przedstawiona przez inż. A. Jabłońskiego (Przeгляд Komunikacyjny, z 1946 r.), który zwrócił uwagę na korzyści, związane z obiosem tego napięcia. W toku dyskusji tego zagadnienia w gronie fachowców trakcji elektrycznej wyłoniła się kwestia budowy sieci trakcyjnej z zastosowaniem trzeciej szyny na napięcie wyższe od normalnie stosowanego, leżącego w granicach 600 — 900 V. W praktyce wielkich miast zagranicą, posiadających szybką kolej miejską, zazwyczaj w tunelach tej kolei stosuje się sieć trakcyjną w postaci trzeciej szyny. Zmniejsza to w pewnych wypadkach, zależnie od kształtu przekroju, wysokość konstrukcyjną tuneli, a tym samym koszt ich budowy.

W Warszawie dla linii wybiegających ze śródmieścia na większe odległości, korzystniejsze jest zastosowanie napięcia wyższego niż 750 V. Gdyby budowa trzeciej szyny na napięcie np. 1500 V nie budziła wątpliwości natury technicznej, wyposażenie taboru w podwójne zbieracze prądu i wykonanie w tunelach i wykopach sieci z trzecią szyną, poza śródmieściem zaś sieci napowietrznej byłoby jednym z korzystnych rozwiązań.

Podczas pobytu w Stanach Zjednoczonych, autor miał możliwość bliższego zbadania spraw, związanych z budową i utrzymaniem sieci trakcyjnej kolei miejskich szybkiej, oraz przedyskutowania z fachowcami zagadnienia budowy sieci z trzecią szyną na wyższe napięcie. Zagadnienia te można podzielić na dwie kategorie: a) związane z budową oraz b) związane z utrzymaniem trzeciej szyny. W tej kolejności omówimy je niżej.

Sieć trzeciej szyny może być zasadniczo wykonana w dwojaki sposób: jako trzecia szyna z górnym odbiorem lub z dolnym odbiorem prądu. Oba typy są stosowane w U. S. A., lecz typ z odbiorem górnym przeważa co do liczby wykonanych. Izolacja przy typie z dolnym odbiorem jest bardziej skomplikowana i nie wykazuje spodziewanych zalet pod względem mniejszego zanieczyszczenia pyłem metalowym z klocków hamulcowych. Natomiast zabezpieczenie tego typu szyny prądowej przed przypadkowym dotknięciem jest dużo łatwiejsze i daje się lepiej wykonać. Zabezpieczenie to tworzą deski drewniane, okrywające szynę na całej długości między izolatorami z góry i obu boków, tak iż tylko dolna powierzchnia stykowa jest odsłonięta. Szyna z odbiorem górnym ma prostszy i lepiej pracujący typ izolatorów. Zabezpieczenie nie daje się tu wykonać w sposób równie dobry, jak w poprzednim wypadku i część instalacji nie stosuje wogóle zabezpieczenia. Natomiast dużą zaletą jest łatwiejsza wymiana zarówno samej szyny, jak i izolatorów przy tym typie. Jest to szczególnie ważne w warunkach pracy konserwacyjnej, istniejących w kolei podziemnej, o czym będzie mowa dalej.

W sprawie wyższego napięcia dla trzeciej szyny zasadniczą trudność stanowi wpływ prądu. Ograniczenie miejsca i warunki mechaniczne pracy konstrukcji, wspierających szynę prądową, zmuszają do stosowania izolatorów o ograniczonych wymiarach i prostych kształtach. Ze względu na duży ciężar szyny oraz szczególnie ze względu na uderzenia i drgania, powodowane przejściem taboru

i odbieraków prądu, izolatory muszą być wyposażone w pewne elementy sprężyste w postaci wkładek ołowianych lub gumowych. Największym jednak wrogiem izolacji w tunelach jest pył metalowy z klocków hamulcowych, gromadzący się na izolatorach. Chicago Rapid Transit stosuje przy napięciu sieci 650 V. izolatory o charakterystyce napięcia przeskoku na sucho 17 kV. Mimo to zachodzi często konieczność wymiany izolatorów, których glazura niszczy się pod wpływem wyładowań ślizgowych. Czyszczenie izolatorów w warunkach ruchu kolei podziemnej jest praktycznie niemożliwe i nieopłacalne. Nawet izolatory, wymienione jako brudne, przeważnie wyrzuca się, gdyż czyszczenie dokładne jest trudne, a polewa bardzo często wykazuje drobne pęknięcia.

Zwiększanie wymiarów izolatorów lub zwiększanie drogi wyładowań ślizgowych przez komplikowanie kształtu izolatora jest z jednej strony ograniczone wymiarami skrajni taboru i skrajni budowlanej tunelu, z drugiej zaś strony ma stosunkowo mały wpływ na wyładowania przy izolatorach brudnych (pokrytych warstwą pyłu żelaznego). Dla napięcia 1500 V, nie mówiąc już o 3000 V, wszyscy fachowcy, mający duże doświadczenie w budowie i utrzymaniu sieci kolei podziemnych w Stanach Zjednoczonych, spodziewają się bardzo dużych trudności z utrzymaniem dostatecznej izolacji trzeciej szyny.

Drugą zasadniczą trudność w stosowaniu szyny prądowej do napięć wyższych stwarzają przepięcia, występujące w sieci trakcyjnej tego typu na skutek złej pracy odbieraków prądu. Spodziewając się do pewnego stopnia trudności z izolacją szyny prądowej, autor był jednak zaskoczony rozmiarem kłopotów, stwarzanych przez przepięcia, i wpływem ich na konstrukcję silników i izolację taboru. Sprawa nie jest dotychczas dostatecznie zbadana, lecz wydaje się, iż stosunkowo bardzo wielkie przekroje i mała oporność obwodów w sieci kolei podziemnej z trzecią szyną stwarzają bardzo korzystne warunki dla występowania dużych stosunkowo przepięć wobec często występujących łuków i przerw prądu przy przejściu taboru. Przerwy w trzeciej szynie są konstrukcyjnie nieuniknione ze względu na rozjazdy i sekcjonowanie.

Dla zobrazowania wpływu, jaki mają przepięcia na konstrukcję taboru, podamy związane z tym warunki odbiorcze silników dla nowego taboru, zamówionego obecnie przez Board of Transportation dla szybkiej kolei miejskiej Nowego Jorku. Izolacja silników trakcyjnych tego taboru, pracujących normalnie przy napięciu 300 V w połączeniu parami w szereg, winna być zgodnie z przepisami AIEE (American Institute of Electrical Engineers) poddawana próbie napięciowej

$$2.U + 1500 = 2 \times 600 + 1500 = 2700 \text{ V.}$$

Są to zresztą wymagania identyczne z przepisami V. D. E. na silniki trakcyjne. Tymczasem przepisy odbiorcze przewidują próby napięciowe izolacji dla twornika i komutatora 4400 V, dla stojana zaś 3500 V. Izolacja międzydziałkowa komutatora winna dodatkowo wytrzymać 300 V.

Poza tym przewidziane są specjalne próby przerywania prądu podczas pracy silnika przy normalnym napięciu i 50% prądu godzinowego oraz przy napięciu $1,25U$ i prądzie = 150% prądu godzinowego na okres od jednej do dziesięciu sekund.

Tego rodzaju podwyższenie wymagań w stosunku do przepisów pod względem izolacyjności silników tłumaczy się chęcią zabezpieczenia ich przed uszkodzeniami przepięciowymi. Silniki taboru starszego typu, wykonywane z izolacją przepisową, ulegały częstym przebiegom. Stosowanie odgromników nie dawało dodatnich wyników.

Jeżeli w sposób dosyć dowolny założyć, iż wysokość występujących przepięć jest proporcjonalna do napięcia sieci, należałoby przy napięciu 1500 V stosować izolację silników, zbliżoną do normalnie używanej przy napięciu sieci 3000 V. W wypadku jeszcze wyższego napięcia sieci trudności z izolacją silników mogłyby przekroczyć dzisiejsze możliwości produkcyjne. Wprawdzie skuteczność działania odgromników przy wyższych napięciach powinny być większe, lecz w każdym razie ze zjawiskiem tym należałoby się poważnie liczyć przy budowie taboru dla systemu trzeciej szyny o wyższych niż normalnie stosowanych napięciach.

Z obserwacji, poczynionych na amerykańskich kolejach podziemnych, autor widzi nie mniej zasadnicze trudności

w konserwacji sieci trzeciej szyny na wysokie napięcie. Wszystkie prace na sieci trzeciej szyny, których wbrew oczekiwaniu jest stosunkowo dużo, są przy istniejących napięciach 600—650 V wykonywane bez wyłączenia napięcia. Charakter ruchu „metra“ nie pozwala na uzyskiwanie dłuższych przerw między pociągami nawet w okresie nocnym. Wszystkie amerykańskie koleje podziemne pracują przez 24 godziny. Nawet w miastach o stosunkowo mniejszym zaludnieniu, jak Boston lub Philadelphia, zbliżonych częściowo do projektowanej Warszawy, nocne odstępy między pociągami nie przewyższają 20 min., nie licząc pociągów pozarozkładowych.

Trudności w sekcjonowaniu trzeciej szyny również zmniejszają efektywny czas wyłączenia pewnego odcinka sieci. Wszelkie prace wypadkowe są wykonywane w dzień przy tak gęstym ruchu, iż do wyłączenia napięcia i ziemienia sieci należałoby całkowicie wstrzymać ruch pociągów kolei podziemnej na czas naprawy. Otóż prowadzenie pod napięciem robót konserwacyjnych i naprawczych w trzeciej szynie przy napięciu 1500 V, nie mówiąc już o 3000 V, wymagałoby opracowania specjalnych metod i byłoby związane z bardzo dużym ryzykiem. Brak doświadczenia pod tym względem zmusiłby jednak instytucję, która pierwsza wprowadziłaby sieć trzeciej szyny o wyższych napięciach, do pracy z wyłączeniem i ziemieniem sieci. W warunkach ruchu warszawskiego może i dałoby się uzyskać jakąś większą przerwę nocną dla robót konserwacyjnych, jednak obserwacja tych prac w U. S. A. każe się obawiać, iż nie byłaby ona wystarczająca.

Prowadzenie robót drogowych przy utrzymaniu torów i podtorza również staje się trudniejsze z podwyższeniem napięcia trzeciej szyny, mocowanej do tych samych podkładów.

Pewność ruchu przy systemie trzeciej szyny, w porównaniu z siecią napowietrzną, nie wygląda specjalnie korzystnie w opinii fachowców, mających długoletnie doświadczenie z obu typami sieci. Niejednokrotnie spotykamy się w Ameryce z opinią, iż wprawdzie sama konstrukcja sieci w postaci trzeciej szyny jest znacznie solidniejsza i mocniejsza od sieci napowietrznej, co powinno by dawać większą pewność ruchu, lecz niedoskonałość odbieraków prądu obniża te zalety tak bardzo, iż nie można zasadniczo mówić o przewadze pod tym względem jednego systemu nad drugim.

Wreszcie pewnym wskaźnikiem trudności, związanych z podwyższaniem napięcia trzeciej szyny jest ta okoliczność, iż w żadnej z obecnie czynnych instalacji nie przekracza ono 900 V, a przeważnie znajduje się w granicach 600—700 V.

W Stanach Zjednoczonych była wykonana w okresie pierwszej wojny światowej niewielka elektryfikacja z napięciem trzeciej szyny 1200 V, zresztą na szlaku, nie mającym charakteru szybkiej kolei miejskiej. Po szeregu łat trudności z utrzymaniem izolacji i in. sieć została przebudowana na napowietrzną.

Wnioski.

1. Budowa szybkiej kolei miejskiej w układzie: trzecia szyna w tunelach i sieć napowietrzna nazwęnątrż na napięcie 1500 V, a tym bardziej na 3000 V, wydaje się być rzeczą bardzo ryzykowną. Ze względu na trzecią szynę takie rozwiązanie spowoduje duże trudności w budowie, a zwłaszcza w eksploatacji. Należy liczyć się ze zwiększonym kosztem budowy taboru nie tylko z racji podwójnych odbieraków prądu, lecz i ze względu na podwyższenie izolacji silników w stosunku do napięcia sieci.

2. Budowa całości szybkiej kolei miejskiej z trzecią szyną na napięcie 650—750 V zmusi do rozgraniczenia ruchu na niewielki stosunkowo zakres działania w tunelach i wykopach właściwej sz. k. m. oraz na koleje dojazdowe jako osobny system. Zastosowanie tegoż napięcia dla kolei dojazdowych przy sieci napowietrznej jest nieusprawiedliwione gospodarczo, budowa zaś trzeciej szyny jest niewłaściwa ze względów technicznych (warunki pracy w ziemi) i bezpieczeństwa. W tym wypadku koleje dojazdowe mogłyby mieć system 1500 V lub 3000 V. Strony ujemne takiego rozgraniczenia ruchu zostały podkreślone uprzednio w artykułach inż. A. Jabłońskiego i inż. J. Dziłkowskiego.

3. Budowa sieci trakcyjnej sz. k. m. jako sieci napowietrznej zarówno w wykopach, jak i w tunelach. Przy

odpowiednim opracowaniu i zastosowaniu specjalnych materiałów sieć taka, zarówno na napięcie 1500 V, jak i 3000 V, daje gwarancję pewności ruchu nie mniejszą, a w opinii niektórych fachowców amerykańskich większą, niż sieć z trzecią szyną na normalne napięcie. Budowa sieci napowietrznej wymagałaby odpowiedniego prześwietlenia tunelu, co naturalnie może zwiększyć koszt jego wykonania. Przy niewielkiej jednak długości ogólnej tunelu ta różnica, jeżeli nawet powstanie, będzie zupełnie usprawiedliwiona korzyściami, których można się spo-

dziewać przy podwyższeniu napięcia dla całości systemu komunikacyjnego.

Pozostaje kwestia wysokości napięcia: 1500 V czy 3000 V?

W świetle spostrzeżeń, poczynionych na kolejach zelektryfikowanych w Stanach Zjednoczonych, autor uważa napięcie 1500 V za gospodarczo korzystniejsze, sprawa ta jednak wymaga dokładnego przeanalizowania i wybiega poza ramy niniejszego artykułu.

PROF. DR WIKTOR KEMULA

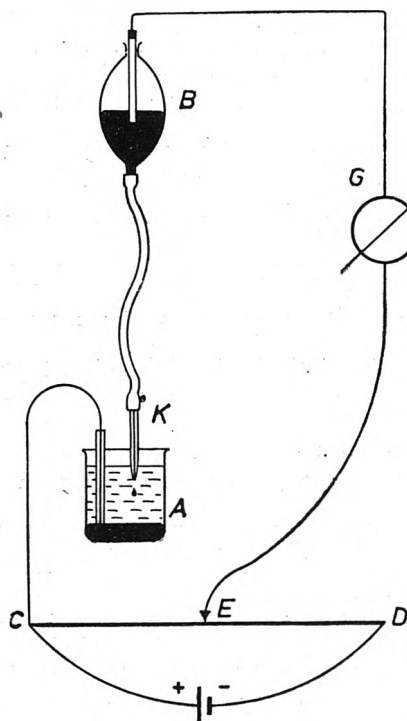
Polarograf i jego zastosowanie w przemyśle

I. Elementy teorii badań polarograficznych.

1. Metoda polarograficzna i polarograf.

Metodę polarograficzną zawdzięczamy pracom J. Heyrovsky'ego i wynalezieniu przezeń „polarografu”, aparatu rejestrującego automatycznie przebieg elektrolizy roztworów na elektrodach rtęciowych, z których jedna — katoda — jest elektrodą kropłową. Schematycznie urządzenie takie jest normalnym układem do pomiarów napięcia rozkładowego roztworów elektrolitów (rys. 1). Jest ono uzupełnione urządzeniem do rejestracji prądu o bardzo małym natężeniu, rzędu 10^{-8} — 10^{-9} amperów, płynącego przez galwanometr G. Na potencjometrze CD, połączonym z dwoma akumulatorami (4 V), znajduje się styk ślizgowy E. Ze styków C i E można odbierać wzrastającą siłę elektromotoryczną, którą zasilamy naczynie elektrolityczne.

Na dnie szklanego naczynia, napełnionego badanym roztworem, znajduje się rtęć, połączona z biegunem dodatnim A. Styk E przez galwanometr łączymy z kropłową katodą K. Jest to wąska szklana kapilara, połączona węzłem gumowym z naczyniem poziomym. Szybkość wypływu rtęci można regulować przez dobowanie



Rys. 1. Najprostszy schemat urządzenia do pomiaru potencjałów wydzielenia jonów (napięcia rozkładowego).

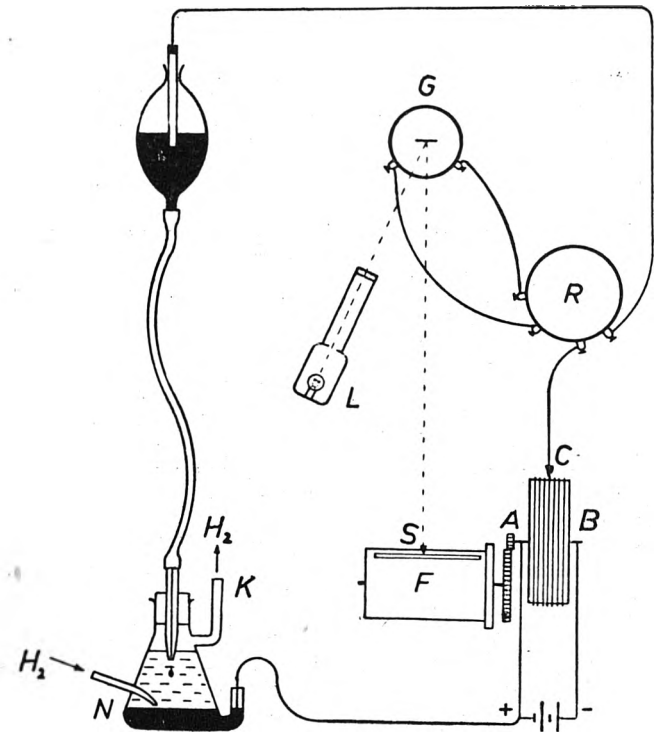
- A anoda rtęciowa
- K katoda kropłowa
- B zbiornik z rtęcią
- CD potencjometr
- E styk ślizgowy
- G galwanometr

odpowiednich różnic poziomów rtęci. Zwykle regulujemy ją tak, aby czas trwania kropli wynosił 2—3 sekundy. Ponieważ anoda ma powierzchnię bardzo dużą, a katoda małą, polaryzuje się — praktycznie biorąc — wyłącznie katoda kropłowa. W rzeczywistości urządzenie polarograficzne jest bardziej skomplikowane. Jego schemat uproszczony wynika z rys. 2.

2. Własności katody kropłowej.

Katoda kropłowa ma szczególne własności: w przeciwieństwie do zwykle używanych elektrod stałych, np.

platynowej, ma stale odnawiającą się i czystą powierzchnię, dzięki czemu na niej nie gromadzą się zanieczyszczenia, wpływające bardzo na „nadnapięcie”, gdyż na miejsce jednej wyrasta nowa kropla itd. Dzięki idealnie gładkiej powierzchni ciekłej rtęci „nadnapięcie” wodoru na kropłowej katodzie jest bardzo duże, np. z normalnego kwasu wodoru wydziela się przy $-0,9$ V względem nor-



Rys. 2. Uproszczony schemat polarografu. AB potencjometr, C styk ślizgowy, R reduktor czułości galwanometru G. L lampka do rejestracji polarogramów przez szczelinę S na światłoczułym papierze, nawiniętym na bębnie F. N naczynko elektrolityczne. Na dnie warstwa rtęci stanowi anodę, rtęć kapie z kapilary szklanej — katody K.

malnej elektrody kalomelowej. Z roztworów obojętnych i alkalicznych wodoru wydziela się dopiero po potencjale wydzielenia metali alkalicznych i ziem alkalicznych. Nie wykazuje ona pasywności, ani się nie zatrzuwa.

Bardzo ważną rolę odgrywa zdolność rtęci do tworzenia amalgamatów, co powoduje brak reakcji wtórnych z wielu metalami i nie zakłóca przebiegu elektrolizy.

3. Warunki elektrolizy.

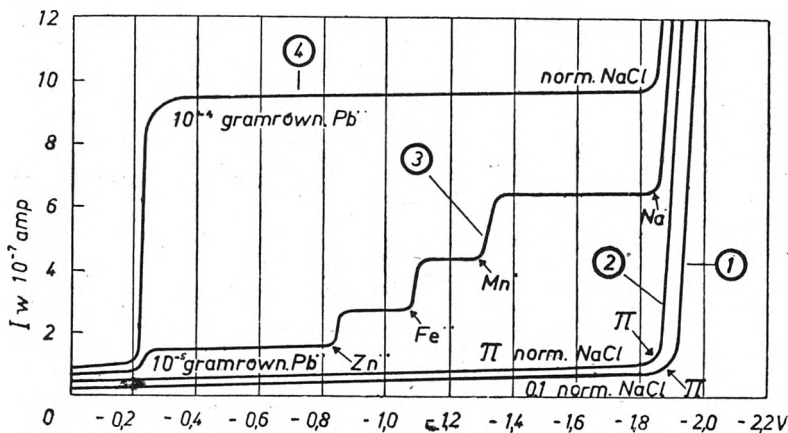
Wobec tego, że prądy płynące przez roztwór elektrolizowany są rzędu $I = 10^{-9}$ — 10^{-8} ampera, zużycie badanego roztworu praktycznie nie następuje.

Do wykonania elektrolizy wystarczają bardzo małe (0,001 do 0,01 normalnego) stężenia roztworów, a w razie potrzeby można zastosować również bardzo małe objętości, wystarcza nawet 0,01 cm³ roztworu.

Te cechy nadają metodzie polarograficznej charakter metody mikroanalitycznej.

4. „Polarogram”.

W wyniku rejestracji metodą polarograficzną lub inną przebiegu polaryzacji 0—4 V otrzymujemy „polarogram”. Rys. 3 ilustruje nam dostatecznie pojęcie „krzywej polarograficznej”. Jest to krzywa zależności natężenia prądu, płynącego w obwodzie przez galwanometr, od

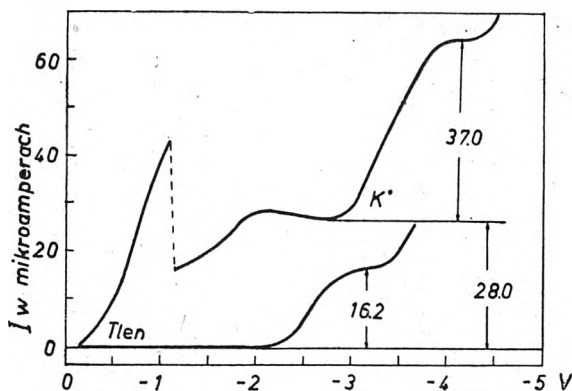


doprowadzonej siły elektromotorycznej, odpowiadającej odcinkowi CD (rys. 1), czyli $I = f(E)$. Na dolnej krzywej (2) widzimy typowy przebieg elektrolizy np. w roztworze NaCl (1n). Nie widzimy tutaj znaczącego wzrostu natężenia prądu I , dopiero po osiągnięciu napięcia rozkładowego — 1,85 V, które wobec stałości potencjału anodowego jest równe potencjałowi wydzielenia jonów Na^+ (mierzone styczną pod kątem 45°). Po osiągnięciu potencjału wydzielenia prąd zaczyna gwałtownie wzrastać, gdyż wydzielają się jony Na^+ . Z rys. 3 wynika również, że potencjał wydzielenia (p. niżej) zmienia się ze zmianą stężenia: np. 0,1n. roztworów NaCl wykazuje bardziej ujemny potencjał wydzielenia się jonów Na^+ (krzywa 1).

5. „Fala”.

W mieszaninie jonów (krzywa 3, rys. 3) — i to jest wybitną zaletą kropłowej katody rtęciowej — każdy rodzaj jonów wydziela się oddzielnie, osiągając charakterystyczny dla niego potencjał wydzielenia, i tworzy „stopień”, zwany przez polarografistów „falą”, której wysokość jest proporcjonalna do stężenia danego rodzaju jonów. Redukujące się na katodzie jony są uzupełniane drogą dyfuzji z głębszych warstw roztworu, nazywamy go przeto prądem „dyfuzyjnym” jonów.

Oczywiście szybkość dyfuzji będzie proporcjonalna do stężenia jonów. Doświadczenie to w zupełności potwier-



Rys. 4. Krzywa górna: polarogram redukcji 0,001 n KCl aq. w obecności tlenu z powietrza. Krzywa dolna: to samo po przepuszczeniu przez roztwór wodoru, który usuwa z niego tlen.

dza, jak to wynika z krzywej 3 i 4 na rys. 3. Natężenie prądu, płynącego przez roztwór (krzywa 4), gdy stężenie jonów Pb^{2+} jest dziesięciokrotnie większe (10^{-4}), jest 10-krotnie większe, aniżeli w roztworze, gdzie stężenie jonów $Pb^{2+} = 10^{-5}$ (krzywa 3).

6. Wpływ tlenu.

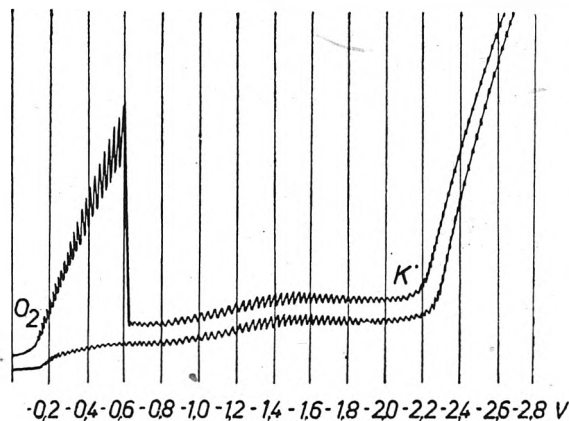
Oprócz jonów, jak wykazało doświadczenie, mogą redukować się i cząsteczki obojętne, np. O_2 . Ponieważ tlen z powietrza jest obecny w wodzie i wszelkich roztworach (o ile nie będą go pozbawione przez dłuższe przepuszczanie wodoru H_2 lub azotu N_2 przez roztwór), może to mieć wpływ na przebieg elektrolizy, jak to ilustruje rys. 4. Krzywa dolna stanowi przebieg elektrolizy 0,001n. KCl, pozbawionego tlenu, górna z tlenem z atmosfery.

Rys. 3. Krzywa 1: elektroliza 0,1 norm. NaCl aq. Krzywa 2: elektroliza 1n. roztworu. NaCl aq. Krzywa 3: elektroliza mieszaniny jonów Pb^{2+} , Zn^{2+} , Fe^{2+} , Mn^{2+} i Na^+ . Krzywa 4: elektroliza jonów Pb^{2+} i Na^+ .

7. „Maksimum” i „egzaltacja”.

Obserwujemy na dolnej krzywej jednocześnie dwa ciekawe zjawiska: „maksimum” i „egzaltację” fali jonów potasowych K^+ (rys. 4).

„Maksimum”, czyli anormalny wzrost natężenia prądu, który widoczny jest na początku krzywej górnej, tworzy się, jeżeli w roztworze o danym składzie dzięki adsorpcji wytwarza się na katodzie anormalny przebieg spadku po-



Rys. 5. Elektroliza 0,001n wodnego roztworu KCl na powietrzu. Krzywa górna: maksimum tlenowe; krzywa dolna: po dodaniu kropli roztworu kwasu salicylowego maksimum zanika.

tencjału, jak to np. jest w przypadku powstawania potencjału elektrokinetycznego. Dzięki tym siłom adsorbcyjnym powstają wiry w roztworze, które mieszają ciecz w warstewce przykatodowej i dostarczają w ten sposób ciała redukującego się do powierzchni katody więcej, aniżeli by się to odbyło wyłącznie drogą dyfuzji. „Maksimum” może być zniesione dodaniem powierzchniowo-aktywnych ciał, które „blokują” powierzchnię kropli rtęci, stanowiącej katodę (rys. 5, krzywa dolna).

Drugie zjawisko — „egzaltacja” — jest to zwiększenie „fali” np. jonów K^+ , jak to widzimy na górnej krzywej (rys. 4), w porównaniu z falą jonów K^+ na dolnej krzywej, jakkolwiek stężenie jonów K^+ nie zmieniło się. „Egzaltacja” występuje, gdy w roztworze obecny jest tlen lub jakikolwiek jon, redukujący się przy potencjale bardziej elektrooddatnim (na lewo od danego jonu), aniżeli badany jon, mimo że jego stężenie w roztworze nie zwiększyło się. Rzecz polega na zmianie warunków wędrówki jonów, która nastąpiła dzięki wytwarzaniu się jonów OH^- podczas redukcji katodowej cząsteczek rozpuszczonego tlenu gazowego O_2 . Fala jonów wodorowych w obecności O_2 , rozpuszczonego w roztworze, maleje skutkiem łączenia

się jonów wodorowych z hydroksylowymi, będącymi „na przedpolu”, czyli otaczającymi katodę.

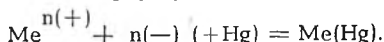
8. „Tłumienie”.

Analogicznie można stwierdzić zmniejszenie „fali” jonu, jeżeli dodamy nadmiar ciała, redukującego się przy potencjale bardziej ujemnym, aniżeli badany jon na polarogramie (na prawo od niego). Zjawisko to nazywamy tłumieniem.

Obydwa one zakłócają w pewnym stopniu przebieg elektrolizy, co ma duże znaczenie w stosowaniu metody polarograficznej do celów analizy chemicznej, zostały jednak w zupełności opanowane.

9. Potencjał redukcji π i półfali $\pi_{1/2}$.

Ogólnie biorąc, proces redukcji jonów na katodzie przebiega w sposób następujący:



Potencjał elektrody π da się obliczyć z wyrażenia:

$$\pi = \pi_a^0 - \frac{RT}{nF} \ln \frac{a_{\text{amalg.}}}{a_{\text{jon.}}} \quad (\text{I})$$

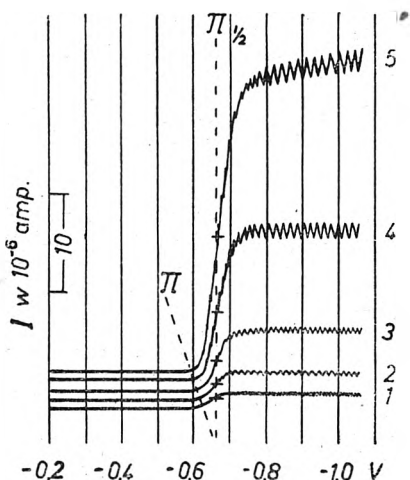
W tych wyrażeniach:

$\text{Me}^{n(+)}$ — kation o wartościowości n , $n(-)$ — ilość pobranych elektronów przez kation podczas redukcji na katodzie, π_a^0 — potencjał normalny amalgamatu, $(\text{Me}(\text{Hg}) / \text{Me}^{n(+)} / a=1)$ — „normalna” elektroda porównawcza, $a_{\text{amalg.}}$ — aktywność atomów w amalgamacie, $a_{\text{jon.}}$ — aktywność jonów w otoczeniu kropłowej elektrody. Jeżeli $a = f_a \cdot c$, wtedy równanie (I) da się przepisać, jak następuje:

$$\pi = \pi_a^0 - \frac{RT}{nF} \ln \frac{f_a}{f_s} - \frac{RT}{nF} \ln \frac{c_{\text{amalg.}}}{c_{\text{jon.}}} \quad (\text{II})$$

Wynika z tego wzoru, że potencjał redukcji jonów pewnego rodzaju (mierzony w punkcie, w którym styczna tworzy kąt 45° z osią odciętych) zależy od stężenia jonów w roztworze.

Z teoretycznych rozważań należało się spodziewać, że potencjał $\pi_{1/2}$, czyli potencjał redukcji jonów przy osiągnięciu wartości połowy wysokości fali, nie zależy od stężenia jonów: jest to tzw. potencjał pół-fali. Natomiast potencjał wydzielenia się jonów zmienia się ze stężeniem (rys. 6 oraz rys. 3, krzywe 1 i 2).



Rys. 6. Rysunek unaocznia stałość potencjałów pół fali $\pi_{1/2}$ i zmienność potencjałów wydzielenia π .

Bez względu więc na ilość (stężenie) ciała redukującego się wartość $\pi_{1/2}$ jest stała. Nie zależy ona i od innych czynników np. szybkości kapania rtęci. Wykrycie tego faktu ogromnie posunęło sprawę naprzód.

Potencjały pół-fali ujmujemy obecnie w formie tablicy według załączonego wzoru fragmentarycznego (str. 173). Wykreślone tam są one w postaci pionowych linii, analogicznie do linii widma, dla różnych warunków elektrolizy: w obecności różnych czynników kompleksotwórczych np. KCN, kw. winowego itp.

10. „Prąd dyfuzyjny” i warunki jego odtwarzalności.

Już wspomniano wyżej, że wysokość „fali”, czyli natężenie prądu I , płynącego przez naczynie elektrolityczne, jest proporcjonalne do stężenia c redukujących się jonów:

$$I = k \cdot c.$$

Dla prądów „dyfuzyjnych” na drodze teoretycznej obli-

$$k = 0,63 \cdot n \cdot F \cdot D^{1/2} \cdot m^{2/3} \cdot t^{1/6}.$$

Po podstawieniu otrzymujemy wyrażenie, pozwalające teoretycznie obliczyć wartość prądu dyfuzyjnego: czono wartość stałej k . Wynosi ona:

$$I_d = 0,63 \cdot n \cdot F \cdot D^{1/2} \cdot m^{2/3} \cdot t^{1/6} \cdot c \quad (\text{III})$$

Tutaj: n — wartościowość jonu, F — 1 Faraday = 96500 kulombów, D — stała dyfuzji redukującego się jonu, m — masa rtęci wpływającej w ciągu 1 sek. z kapilary, t — czas trwania jednej kropli. Wzór ten daje nam możliwość określenia warunków odtwarzalności prądu dyfuzyjnego I_d dla tego samego stężenia jonów pewnego rodzaju (w stałej temperaturze).

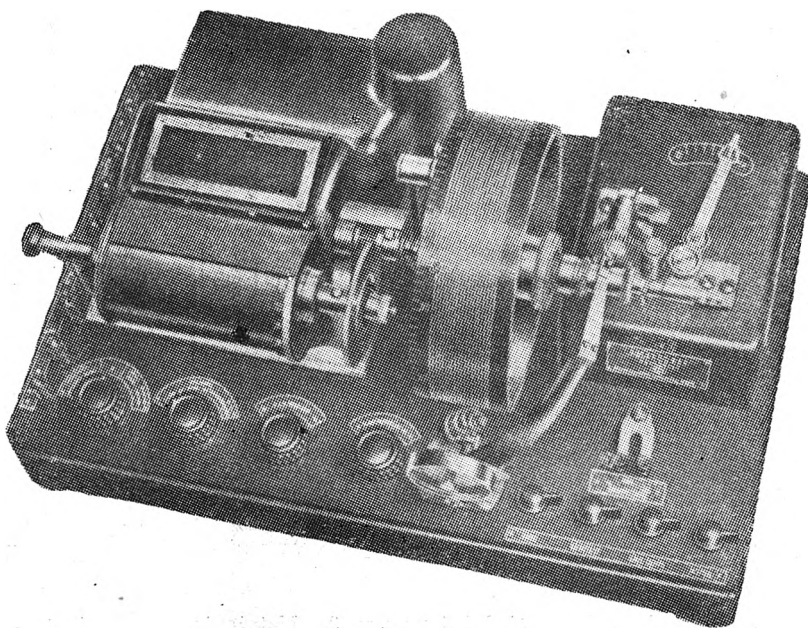
Wyprowadzenie tej zależności usunęło jedną z największych trudności metody polarograficznej — sprawę odtwarzalności wyników.

Z wzoru (III) wynika, że nieodzowne jest zachowanie stałości wyrażenia: $m^{2/3} \cdot t^{1/6} = \text{const}$. Wyrażenie to pozwala obliczyć wartość stałej dyfuzyjnej D w roztworach zawierających mieszaniny jonów. Zagadnienie to jest bardzo trudne do rozwiązania na innej drodze.

11. Porównanie metody polarograficznej ze spektrograficzną.

Wartość $\pi_{1/2}$ i I_d określają jakość i ilość redukujących się ciał w roztworze. Porównując omówione wyżej fakty z emisyjną analizą spektralną, możemy zauważyć, że potencjał $\pi_{1/2}$ odpowiada długości fali λ charakterystycznej linii pierwiastka, a wysokość „fali” (= natężenie prądu I_d — intensywność (zaczernieniu na płycie) tej linii).

W tym porównaniu „polarogramu” z widmem, zdjętym na płycie fotograficznej, najlepiej da się ująć zalety i wady metody polarograficznej. Analiza spektralna, a tak samo polarograficzna, nie pozwala robić analizy „systematycznej” (choć są robione próby w tym kierunku).



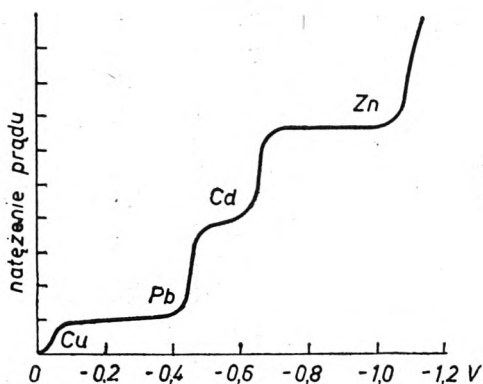
Rys. 7. Ostatni model polarografu J. Heyrovskiego (produkuje „Zbrojovka”, Brno, Czechosłowacja).

Stosowanie analizy polarograficznej rośnie stale. W ciągu wojny rozpowszechniło się w Ameryce.

II. Zastosowanie praktyczne.

15. Zastosowania w analizie chemicznej.

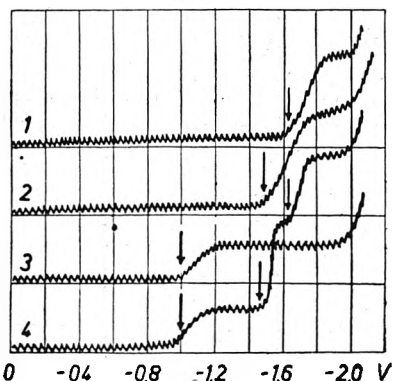
Oprócz ważnych osiągnięć teoretycznych, metoda polarograficzna jest jednym z ważnych narzędzi do badań praktycznych. W chemii analitycznej jest nieodzowna



Rys. 10. Redukcja mieszaniny jonów Cu, Pb, Cd, Zn.

przy oznaczaniu czystych ciał nieorganicznych zjonizowanych, jak sole, kwasy, zasady, oraz ich mieszanin, a również i ciał niezjonizowanych np. O_2 . Sprawa jest łatwa, jeżeli potencjały redukujących się ciał π nie nakładają się.

Istnieją liczne sposoby oznaczania jonów, których potencjały pół-fali $\pi_{1/2}$ nie różnią się znacznie wartościami i które wydzielają się razem. Z powodu braku miejsca omawiać ich bliżej tutaj nie sposób. W zasadzie polegają one na przeprowadzaniu części obecnych jonów w stan sprężonych jonów, dzięki czemu ich potencjał wydzielenia staje się bardziej ujemny. Dane, zebrane w tablicy, służyć mogą przykładem. Np. jony miedzi wydzielają się



Rys. 11. Krzywa 1: elektroliza roztworu aldehydu octowego CH_3CHO ; Krzywa 2: elektroliza roztworu aldehydu mrówkowego $HCHO$, Krzywa 3: elektroliza roztworu nadtlenu etylu $C_2H_5OOC_2H_5$; krzywa 4: elektroliza mieszaniny aldehydów i nadtlenu o nieznanym składzie.

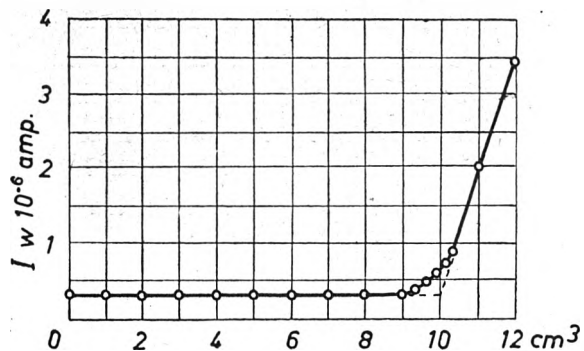
przy potencjale zbliżonym do zera względem normalnej elektrody kalomelowej. Po dodaniu zasady lub amoniaku w obecności chlorku amonowego potencjał pół-fali $\pi_{1/2}$ wydzielenia się miedzi przesuną się do wartości ok. $-0,5$ V.

Na dalszą poważną przeszkodę w oznaczaniu, nawet dla jonów o dostatecznie różnych wartościach $\pi_{1/2}$, należy tutaj zwrócić uwagę. Najlepiej omówić ten przypadek na przykładzie. Otóż np. w cynku Zn^{2+} , wydzielającym się przy ok. $-1,0$ V, wykryć zanieczyszczenie w postaci Cd^{2+} , Pb^{2+} , i Cu^{2+} jest łatwo (ob. tabl.), gdyż potencjał ich wydzielenia jest bardziej dodatni, a mała ilość daje małe „fale” (rys. 10). Natomiast wykrycie np. Zn^{2+} , Cd^{2+} lub Pb^{2+} w miedzi jest trudniejsze, gdyż duże stężenie jonów miedzi wydzielających się przed tymi jonami daje znaczne natężenie prądu I (ogromną „falę”), na którego tle niemożliwe jest wykrycie drobnych ilości redukujących się dalej jonów. Taki przypadek zachodzi właśnie w przypadku polarograficznej analizy miedzi. Nowe polarografy i tę trudność usuwają, kompensując takie prądy przez wbudowanie odpowiedniego urządzenia elektrycznego samoczynnego.

W analizie polarograficznej najczęściej stosuje się metodę porównywania wyników, analogicznie do analizy spektralnej. Polega ona na dodawaniu znanych ilości badanych jonów i odejmowaniu z otrzymanej sumarycznej fali wartości, odpowiadających dodanej próbce. Równie często używana jest metoda kalibrowania kropłowej katody roztworami o znanym stężeniu. Najkorzystniej jest stosować polarograf np. do kontroli produkcji, gdzie stale trzeba wykonywać takie same analizy. I tutaj, analogicznie do spektrografu, pozostaje dokument rejestracji $I = f(E)$, umożliwiając późniejsze sprawdzenie wyników.

Opracowano liczne metody analizy stopów żelaza, niklu, kobaltu, manganu, miedzi, glinu, talu, cyny, cynku, kadmu, magnezu, bizmutu, ołowiu, uranu, chromu, wanaadu, molibdenu, wolframu, analizy szkła, analizy wody, anionów itd.

Inny dział analiz polega nie na określaniu „fali”, którą tworzy pewien rodzaj redukującej się substancji, lecz na działaniu obcych ciał na wartość „maksymum” (p. wyżej).



Rys. 12. Przebieg polarometrycznego miareczkowania jonów SO_4^{2-} jonami Pb^{2+} .

Okazało się, że dodanie do roztworu ciała powierzchniowo-aktywnego powoduje zmniejszenie wysokości „maksymum”. Można w ten sposób mierzyć aktywność takich ciał ze zmiany wysokości „maksymum”. Na tej zasadzie np. został zbudowany przyrząd „koagulograf”, rejestrujący automatycznie czystość wody wodociągowej itd.

Z powyższego wynika, że zastosowanie polarografu w przemyśle jest już bardzo wielkie i z pewnością jeszcze wzrośnie.

16. Dokładność wyników.

Zależy ona od zachowania stałości temperatury i warunków wpływu ręki z kapilary i przeciętnie wynosi 10% absolutnej ilości. Ponieważ całkowite ilości badanej substancji są bardzo małe np. ich stężenie jest rzędu $c=10^{-4}$ mola/litr, oznaczać można tak dokładnie zaledwie ułamki miligramów.

17. Zastosowanie w chemii organicznej.

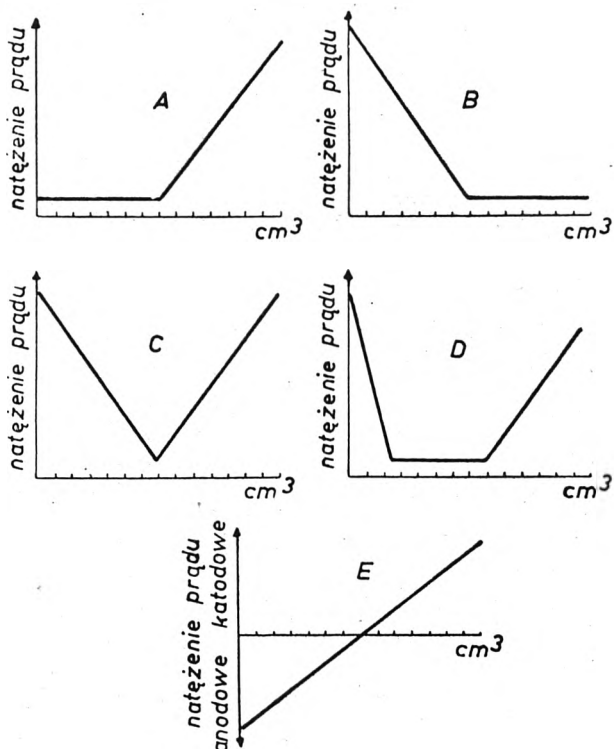
Jak wspomniano wyżej, analiza polarograficzna jest nowym i bardzo skutecznym narzędziem. Rozpatrzmy przykład: przy badaniu procesów utleniania gazowego butanu powstają liczne produkty, które mają podobne własności. Do tego normalna analiza (szczególnie gdy do dyspozycji są próbki gazowe o objętości kilku cm^3) jest niemożliwa. Metodą polarograficzną, można taką analizę zrobić, a mianowicie można w tym przypadku wykryć i ilościowo oznaczyć poszczególne składniki w powstałej mieszaninie: aldehydu mrówkowego $HCHO$, octowego CH_3CHO , nadtlenu etylowego $C_2H_5OOC_2H_5$ i nadtlenu wodoru H_2O_2 (rys. 11). Korzystając z tych wyników, można analogicznie dobrze badać stopień utlenienia olejów transformatorowych, smarów itp., oznaczać ślady substancji zanieczyszczających itd.

18. Miareczkowanie polarometryczne (amperometryczne).

Ostatnio coraz większe wzięcie uzyskało stosowanie kropłowej elektrody (a również i platynowej mikroelektrody rotacyjnej) do miareczkowania, w którym wskaźni-

kiem przebiegu procesów jest elektroda kropłowa. Jest to miareczkowanie polarometryczne. Wykonać je można, stosując prosty model polarografu bez automatycznego rejestrowania krzywych (rys. 9). W braku tegoż można, mając do dyspozycji galwanometr odpowiedniej czułości, zestawić sobie takie urządzenie w myśl schematu, podanego na rys. 1.

Upřednio trzeba oznaczyć potencjał, przy którym proces miareczkowania przebiega najlepiej, i przeprowadzać miareczkowanie, obserwując galwanometr, który po przekroczeniu punktu równoważnikowego wykaże obecność nadmiaru jonów, którymi wykonywane jest miareczkowanie. Np. miareczkowanie jonu SO_4^{2-} (Na_2SO_4) jonem Pb^{2+} ($\text{Pb}(\text{NO}_3)_2$) najlepiej wykonać przy potencjale $-0,9$ V. Wtedy, póki nie ma nadmiaru jonów Pb^{2+} wytwarza się nierozpuszczalny PbSO_4 , dopiero nadmiar jonów Pb^{2+} da „fale” i galwanometr się wychyli. Koniec miarecz-



Rys. 13. Różne przebiegi polarometrycznego miareczkowania: A i B — redukuje się jeden składnik; C, D i E — redukują się oba składniki.

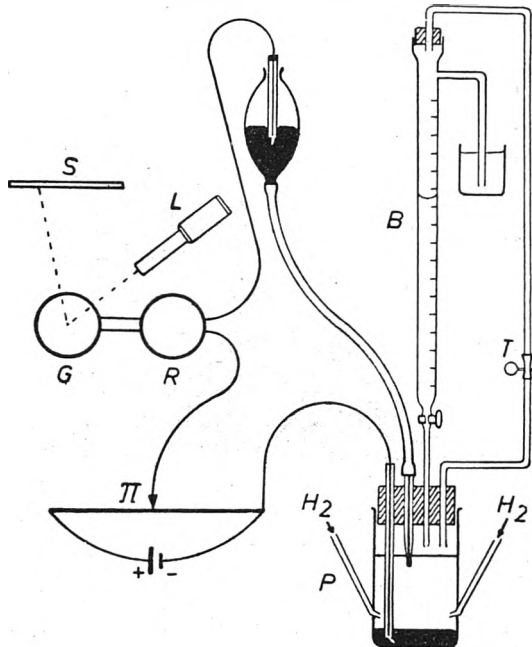
kowania obliczamy z przecięcia krzywej z osią odciętych (rys. 12).

W zależności od tego, czy tylko jedna substancja ulega redukcji, czy obydwie, polarometryczne miareczkowanie przebiega w myśl rys. 13.

W przypadku, gdy roztwór ma być upřednio pozabawiony tlenu, przez biuretę i naczynko elektrolityczne (rys. 14) przepuszczamy gazowy wodór.

19. Wnioski.

Dla elektryków polarograf jest podwójnie ciekawy: 1) jako aparat pomocniczy do różnorodnych analiz w prze-



Rys. 14. Schemat aparatury do badań polarometrycznych w atmosferze wodoru.

myśle elektrotechnicznym i energetyce, np. do analizy różnorodnych stopów, w szczególności do wykrywania i oznaczania w nich małych ilości ciał zanieczyszczających; do badania zawartości ciał mineralnych w wodzie kotłowej; w ogóle do badania wody, szkła i porcelany; do badania olejów smarowych i transformatorowych na obecność produktów utleniania; w analizie półproduktów, służących do wyrobu materiałów syntetycznych itp.; 2) jako przyrząd, którego budowa wymaga rozwiązania pewnych trudności konstrukcyjnych w związku z przenoszeniem prądu na ruchome części. Problem ten jest rozwiązywany przez różne fabryki w różny, mniej lub więcej drogi i dowieczny sposób. Różne dodatkowe urządzenia, ułatwiające i automatyzujące liczne czynności analityczne, stanowią o zaletach aparatu i zakresie jego stosowalności. Mamy duże pole do dalszej wynalazczości i udoskonalień we wspólnej pracy chemika i elektryka.

20. Piśmiennictwo.

Monografie obszerne: a) Heyrovsky J. Polarographie, 514 str. Wien, 1941, Springer. b) Kolthoff J. M. i Lingane J. J. Polarography. 510 str. New York. Interscience Publishers. 1945. Mały podręcznik do wykonywania technicznych analiz: Hohn H. Chemische Analyse mit dem Polarographen. Po polsku: Kemula W. Badania polarograficzne przy pomocy kropłowej elektrody rtęciowej. „Kosmos”, Seria B. 1931, 333—367 str. Lwów.

PRZEGLĄD CZASOPISM

GOSPODARKA ENERGETYCZNA w SZWAJCARII

H. Niesz. Schweizerische Energiewirtschaft. Bulletin des Schweizerischen Elektrotechnischen Vereins (1946, rocznik 37, nr 23, str. 667—677).

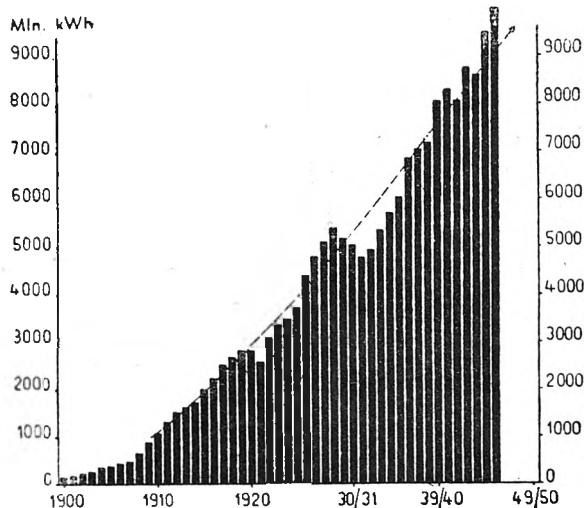
Rozwój zaopatrzenia kraju w energię elektryczną. Rys. 1 podaje roczną wytwórczość energii elektrycznej od 1900 r. we wszystkich elektrowniach szwajcarskich, to znaczy spożycie do wszystkich celów łącznie ze stratami przesyłu i zużyciem energii na pompowanie. W okresie wojny wytwórczość roczna wzrosła z 8 na 10 mld. kWh.

Na rys. 2a i 2b podano miesięczne zapotrzebowanie energii w latach wojny z zakładów ogólnego zaopatrzenia

(to znaczy całe zapotrzebowanie kraju łącznie z przemysłem i trakcją, lecz bez zapotrzebowania, które koleje państwowe i przemysł pokrywają z własnych elektrowni).

Rys. 2a dotyczy tzw. energii normalnej, obejmującej zapotrzebowanie trzech głównych gałęzi zbytu, które powinny być zaspokojone bez względu na warunki hydrograficzne, a mianowicie: a) gospodarstwa domowego i rzemiosła, b) przemysłu łącznie z elektrochemicznym i elektrotermicznym, c) trakcji. Białe pola oznaczone literą E podają zapotrzebowanie niezaspokojone wskutek zastosowania urzędowych ograniczeń. Z wykresów widać różnicę w zaopatrzeniu energii zimą (W) a latem (S). Spożycie do gospodarstwa domowego i rzemiosła wzrosło w okresie wojny więcej

niż dwukrotnie. Spożycie (tylko z zakładów ogólnego zaopatrzenia) wzrosło w tym samym okresie: w przemyśle o 60%, dla trakcji o 50%.

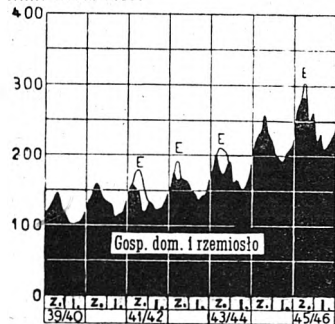


Rys. 1. Wytwarzalność roczna energii elektrycznej w Szwajcarii.

Rys. 2b dotyczy tzw. energii niestałej, obejmującej zapotrzebowanie, które powinno być zaspakajane w zasadzie jedynie w miarę możliwości. Należą tu dwa główne rodzaje odbioru: a) kotły elektryczne i b) eksport za granicę. Tym odbiorcom odmawia się energii przede wszystkim zimą. Eksport malał w okresie wojny nawet i w sezonach letnich ze względu na brak energii dla potrzeb krajowych. Z wykresu widać, jak znacznie wzrosło podczas wojny zużycie energii elektrycznej do kotłów w okresach letnich, oczywiście z powodu braku węgla.

Wzamin za eksportowaną energią elektryczną Szwajcarii otrzymuje przede wszystkim tak potrzebny jej węgiel, przy

Mln. kWh/mies.



Rys. 2a i 2b. Miesięczne zapotrzebowanie energii w latach wojny z zakładów ogólnego zaopatrzenia.

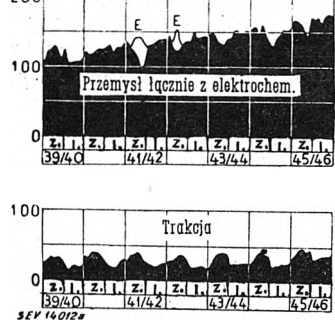
Z lewej strony:

Rys. 2a. Energia normalna. E — ograniczenia.

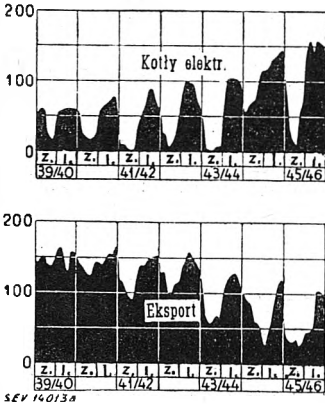
Z prawej strony:

Rys. 2b. Energia niestała.

Mln. kWh/mies.



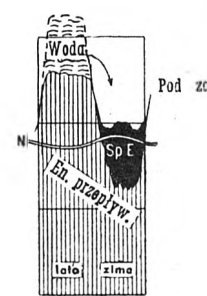
Mln. kWh/mies.



czym za 1 kWh żąda co najmniej dwa razy tyle węgla, ile by go sobie zaoszczędziła przez zużycie tej kilowatogodziny w kotle elektrycznym.

Na rys. 3 górna figura ilustruje schematycznie gospodarke energią wodną w ciągu roku — latem (So) i zimą (Wi). Pole, zakreskowane pionowymi ciągłymi liniami, podaje energię przepływową, dostarczoną odbiorcom. Letni nadmiar wody (pole, zakreskowane poziomymi przerywanymi liniami) kieruje się do zbiorników i zużywa się na

pokrycie zapotrzebowania w ciągu zimy (czarne pole, Sp. E). Krzywa N podaje krajowe zapotrzebowanie energii normalnej. Jedynie pole powyżej tej krzywej (kreskowane pionowo i czarne) jest do dyspozycji jako energia niestała.



U góry:

Przebieg podaży i popytu w ciągu roku.

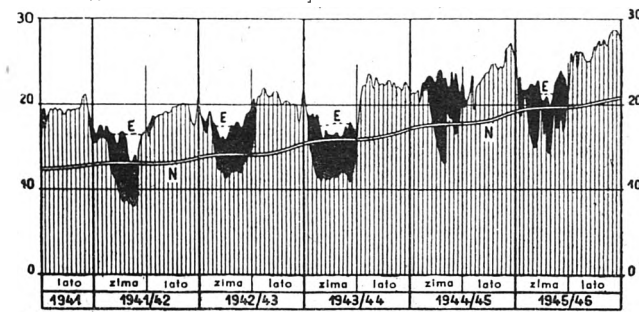
U dołu:

Wytwarzalność zakładów ogólnego zaopatrzenia od 1941 r. do lata 1946 r. włącznie.

N Zapotrzebow. energii normalnej
Sp. E. Energia zbiornikowa
E Ograniczenia

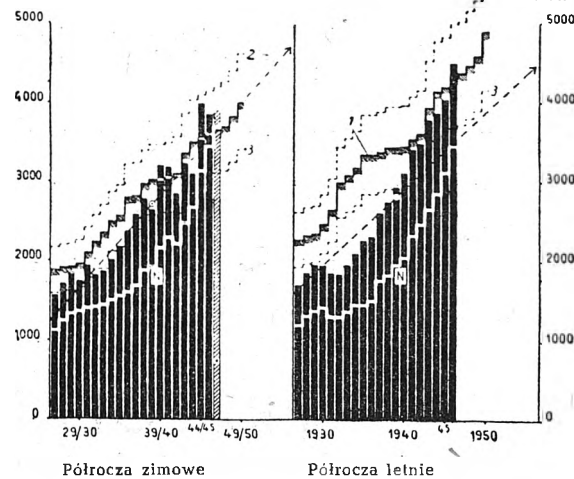
Mln. kWh/24h

Rys. 3.



Dołna figura na rys. 3 pokazuje, jaki silny spadek energii przepływowej występuje zimą w rzekach szwajcarskich oraz w jakim stopniu zapotrzebowanie „energii normalnej” (pole poniżej linii N) było pokrywane zimą w latach wojny energią przepływową przy pomocy energii zbiornikowej. Pole powyżej linii N daje obraz dostawy „energii niestałej” zarówno przepływowej, jak i zbiornikowej. Podane jest również (jako białe pole E) zapotrzebowanie niezaspokojone dla braku energii. Ceny energii zimowej są wyższe niż letniej, ponieważ koszt energii zbiornikowej jest znacznie wyższy niż koszt energii przepływowej. Wyższa cena hamuje spożycie energii zimą. Spożycie energii „normalnej” wzrastało w okresie wojny średnio po 13% rocznie.

Mln. kWh



Rys. 4. Możliwości wytwórcze w półroczu zimowym i letnim zakładów zaopatrzenia ogólnego oraz zużycie energii N — energia normalna, 1 — możliwości wytwórcze przy średnim stanie wody, 2 i 3 — największe i najmniejsze możliwości wytwórcze.

Zużycie energii i możliwości wytwórcze elektrowni. Czarne słupki na rys. 4 podają przebieg spożycia energii od 1926 r. z podziałem (linia N) na „normalną” i „niestałą”, osobno w półroczach zimowych i letnich.

Słupek zakreskowany przedstawia przewidywane przez autora zużycie energii w ciągu zimy 1946/47 r.

W przeciwieństwie do przewidywanego na okres powojenny bezrobocia jesteśmy świadkiem dobrej konjunktury gospodarczej, która może potrwać jeszcze parę lat i spowodować dalszy głód energii. Podwyższone zarobki i brak sił roboczych przyczyniają się bardzo do rozwoju elektryfikacji w gospodarstwie domowym i rzemiośle. Taryfy dla energii „normalnej” nie zostały podwyższone; daje to elektryczności w porównaniu z opałem stanowisko uprzywilejowane, które prawdopodobnie powoli i tylko częściowo osłabnie.

Co do energii niestałej, to przemysł na nią liczy w dużych ilościach, po niskich cenach i to nie tylko w lecie, ale i w zimie. Również eksport energii musi być przywrócony, gdyż od niego zależy zaopatrzenie gospodarki szwajcarskiej w węgiel.

Obok tych czynników, sprzyjających rozwojowi produkcji energii elektrycznej, należy pamiętać i o czynnikach przeciwdziałających, jak np. stała poprawa w zaopatrzeniu kraju w paliwo oraz możliwość kryzysu gospodarczego po okresie dobrej konjunktury. Wprawdzie główne odbiory energii, gospodarstwo domowe i rzemioło, wykazują godną uwagi odporność na kryzys. Poza tym kotły elektryczne stanowią cenną rezerwę zbytu, są one bowiem dzisiaj tak rozpowszechnione, że umożliwiają spożycie poważnych ilości energii, gdy ceny jej ulegną obniżce. Ale znów byłoby lekkomyślnością nie pomyśleć o niebezpieczeństwach natury politycznej i militarnej, które mogą obrócić w niwecz przewidywania dobrego rozwoju. Wszystko to nakłada na zakłady energetyczne obowiązek traktowania sprawy zaopatrzenia Szwajcarii w energię elektryczną z całą pieczołowitością i przedsiębiorczością.

Linia schodkowa 1 na rys. 4 przedstawia możliwości produkcyjne przy średnim stanie wody. W odstępnie 15% nad nią i pod nią przebiegają linie 2 i 3, odpowiadające możliwościom produkcyjnym — największej i najmniejszej.

Z porównania przebiegu produkcji i zużycia energii wynika, że produkcja wzrasta o wiele wolniej, niż popyt. Doszło do tego, że według szacowań urzędowych zużycie energii na eksport i do kotłów elektrycznych będzie musiało ulec w ciągu zimy 1946/47 poważnemu ograniczeniu, co przy fatalnym stanie zaopatrzenia Szwajcarii w węgiel jest specjalnie godne pożałowania. Doszło do tego, że w wypadku „suchej” zimy zabraknie 500 milionów kWh na pokrycie energii normalnej. Powyżej linii N położenie jest jeszcze gorsze: niestała energia będzie mogła być dostarczona tylko w razie zimy obfitującej w wodę.

Co do półrocza letniego, to sytuacja mało się poprawiła od r. 1942. Będące w budowie elektrownie zaspokoją przewidywany wzrost zapotrzebowania, lecz w wypadku suchego lata należy się liczyć ze znaczną redukcją energii na eksport i do kotłów elektrycznych.

Wnioski końcowe brzmią: by zaradzić dzisiejszemu niedoborowi wytwórczości potrzebne są duże zakłady o poważnych możliwościach gromadzenia energii. Biorąc pod uwagę dalszy wzrost zapotrzebowania energii w czasie długiego okresu budowy zapór w okolicach górzystych, należy niezwłocznie przystąpić do budowy elektrowni o możliwościach wytwórczych ponad 1 000 milionów kWh, z czego na produkcję w półroczu zimowym musi przypadać 700 do 800 milionów kWh i to przeważnie energii zbiornikowej.

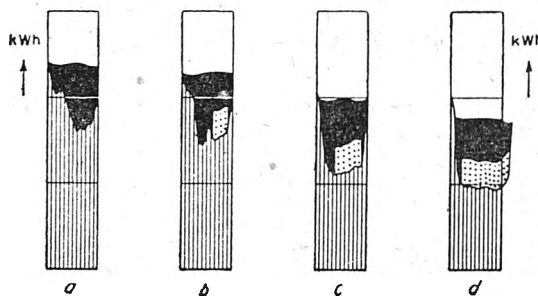
Siłownie ciepłe w szwajcarskiej gospodarce energetycznej. Wiadomość, że jedno z największych szwajcarskich przedsiębiorstw energetycznych zdecydowało budowę siłowni ciepłej, wzbudziła niemałe zdziwienie. Niewtajemniczeni uważali ten pozorny odwrót od białego węgla za absurd, nie rozumieli, jak można dzisiaj pójść na drogę wytwarzania energii przy pomocy drogiego paliwa, pochodzącego z importu, gdy rodzime źródła energii są niewykorzystane.

A jednak siłownia parowa jest na terenie Szwajcarii równie stara jak wodna. Moc zainstalowana w maszynach ciepłych, która przed 30 laty wynosiła 10% mocy wszystkich zakładów, wynosi w ciągu ostatnich 20 lat około 6%. Znacząco to, że siłownie ciepłe rozwijały się również obok wodnych. Łączna wytwórczość elektrowni ciepłych pozostawała poniżej 20 mln. kWh w ciągu zimy, a roczny okres użytkowania poniżej 150 h.

Nową siłownię budują w Beznau Nordostschweizerische Kraftwerke według projektu prof. B. Bauera. Będą ustawione dwie jednostki o mocy 27 000 i 13 000 kW. Koszty budowy mają wynieść ok. 16 milionów fr. szwajc. Siłownia jest przewidziana na napęd ropą, dostarczaną z początku koleją, później drogą wodną.

W ogólnych ramach szwajcarskiej gospodarki energetycznej wytwarzanie energii elektrycznej na drodze ciepłej sprowadza się do czterech przypadków: 1) jako rezerwa mocy i energii w razie zakłóceń w ruchu, 2) do krótkotrwałego pokrywania szczytów, 3) do szybkiego wzmoczenia wytwórczości w przypadkach, jak obecnie, kiedy rozbudowa siłowni wodnych nie nadąża za wzrostem popytu na energię, 4) do uzupełnienia produkcji zakładów wodnych w okresie niskiego stanu wód.

Ten ostatni przypadek zasługuje na bliższą uwagę. Rys. 5 przedstawia współpracę zakładów ciepłych z wodnymi — przepływowymi i zbiornikowymi — dla kilku charakterystycznych przypadków od zimy obfitującej w wodę do zimy bardzo suchej.



Rys. 5. Współdziałanie zakładów ciepłych z gospodarką zespółową zakładów wodnych, przepływowych i zbiornikowych, w okresie zimowym.

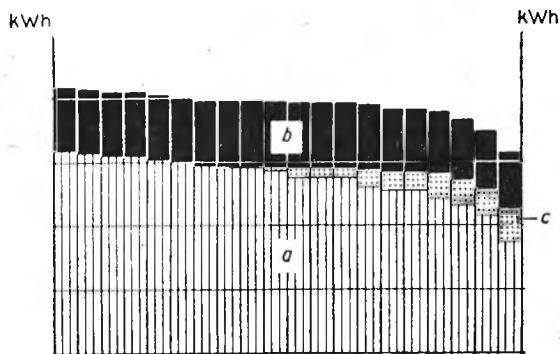
a zima obfita w wodę; b zima średnia; c zima sucha; d zima wyjątkowo sucha.

Pole zakreślane: energia przepływowa,
„ czarne: energia zbiornikowa,
„ kropkowane: energia ciepła.

Jako zasadę uważa się, że produkcja na drodze ciepłej nie uruchamia się, póki istnieją możliwości zasilania prądem kotłów elektrycznych, które każdej chwili można wyłączyć i zastąpić kotłami węglowymi. W zimie obfitującej w wodę uruchomienie siłowni ciepłej w ogóle nie wchodzi w rachubę. W ciągu zimy o średniej wodzie można się liczyć z ruchem w ciągu jakichś 1 200 godzin. W suchą zimę naogół przed grudniem nie uruchamia się siłowni ciepłych, ponieważ do tego czasu sytuacja naogół nie jest dostatecznie wyraźna. Czas użytkowania szczytu może osiągnąć 2 500 godzin. W rzadkich wypadkach wyjątkowo suchej zimy zakłady ciepłe uruchamia się wcześniej, pozostają one w ruchu, póki niedobór nie będzie wyrównany. Czas użytkowania szczytu może dojść do 3 500 h.

Jeżeli elektrowni ciepłej wypada przejąć np. 40% dziennej produkcji zakładów wodnych zbiornikowych, to moc tej elektrowni nie potrzebuje wynosić 40%, lecz może mieć np. 25% mocy zakładów zbiornikowych, gdyż elektrowni ciepłej przydziela się 24-godzinną podstawę, zakłady zaś zbiornikowe pokrywają resztę zapotrzebowania ze szczytami. Byłoby rzeczą nierozsądną z nastaniem zimy, po odłączeniu kotłów elektrycznych, najpierw opróżnić zbiorniki, a potem dopiero uruchamiać elektrownie ciepłe i pędzić je do pierwszych roztopów. Wtedy wprawdzie zbiorniki byłyby wyzyskane do ostatniej kropki wody, lecz podwójna instalacja wodna i ciepła na pełną moc byłaby zbyt nieekonomiczna. Elektrownia ciepła o mocy zainstalowanej, wynoszącej $\frac{1}{4}$ lub $\frac{1}{5}$ mocy zakładów zbiornikowych, może przy umiejętnym dobraniu chwili uruchomienia jej i zatrzymania dać znacznie korzystniejszy wynik gospodarczy. Utrzymanie równowagi między wytwórczością a zapotrzebowaniem energii jest przy pomocy zakładów ciepłych właściwsze, niż przy pomocy urzędowych ograniczeń spożycia. Przy stosowaniu ograniczeń również można się omylić, wprowadzając je bądź za wcześnie, bądź za późno niżby należało to uczynić dla osiągnięcia najlepszego wyniku.

Rys. 6 ilustruje, w jaki sposób Szwajcaria podnosi wartość energii przepływowej swych rzek przy pomocy zakładów ciepłych. Dla ostatnich 19 półroczy zimowych, uszeregowanych w kolejności od zimy najobfitszej w wodę do najuboższej w wodę z dodaniem (ostatni słupek z prawej strony) półrocza 1920/21 roku, kiedy zima była wyjąt-



Rys. 6. Uszlachetnienie energii przepływowej przy pomocy energii cieplnej przy zespołowej pracy zakładów przepływowych i zbiornikowych (20 półroczy zimowych).

a — energia przepływowa; b — energia zbiornikowa; c — energia cieplna.

kowo sucha, podano obraz współdziałania energii przepływowej, zbiornikowej i cieplnej. Ubytek w suche zimy energii przepływowej jest wprawdzie niepełny, lecz w znacznym stopniu wynagrodzony przez zakłady ciepłe. Energia zbiornikowa jest stale jednakowa, gdyż zbiorniki na początek zimy bywają napełnione wodą.

Należy podkreślić, że włączenie energii cieplnej do ogólnej gospodarki wodnej bynajmniej nie oznacza tylko wytworzenia pewnej liczby drogich kilowatogodzin dla wypełnienia luk produkcyjnych. Celem tej współpracy jest niejako podwyższenie stałości, a więc jakości mocy przepływowej oraz pełniejsze wykorzystanie zasobów zbiornikowych.

Racjonalna gospodarka energetyczna białym węglem i paliwem wymaga skoordynowania tych dwu źródeł energii nie tylko przy wytwarzaniu energii elektrycznej, lecz i przy pokrywaniu zapotrzebowania ciepła do celów grzewczych. Wytwarzanie ciepła grzejnego należy stopniowo przesuwać z energii elektrycznej na paliwo, gdzie tylko jest to technicznie możliwe. Gdy możliwości wytwórcze elektrowni wodnych nie wystarczają na zasilanie kotłów elektrycznych, należy uruchamiać przemysłowe turbiny przeciwprężne, wykorzystując ich możliwości produkcyjne w całej pełni z oddawaniem energii elektrycznej do sieci. Następnie przychodzi kolej na uruchamianie silników dyzelskich zarówno w elektrowniach, jak i w przemyśle przede wszystkim w godzinach szczytów codziennych. Następnie należy do ogrzewania pomieszczeń zastępować elektryczność opałem, potem wprowadzać ograniczenia eksportu energii elektrycznej, dalej uruchamiać turbiny gazowe, zastępować ruch pomp ciepłych zastosowaniem paliwa, wreszcie uruchamiać siłownie z turbinami kondensacyjnymi.

Ustrój polityczny Szwajcarii daje duże uprawnienia autonomiczne gminom i suwerenność kantonom. Uprawnienia te dotyczą również prawa wodnego i gospodarki energetycznej, na czym z natury rzeczy cierpi gospodarka ogólnokrajowa, której zakres działania dawno przekroczył granice poszczególnych kantonów. Uważa się za konieczne usunięcie tych trudności na drodze ustawodawstwa ogólnoprawnego.

A. Demb.

UZIEMIENIE PUNKTU ZEROWEGO SIECI BARDZO WYSOKIEGO NAPIĘCIA

Ing. J. Tvaruzek. Uzemneni sredniho bodu siti vvn. Elektrotechnický O b z o r (1946, Nr 9—12. str. 167—171).

Opinia Elektrowni Wschodnio-Morawskich (VME) przechyla się na korzyść bezpośredniego uziemienia punktu zerowego w ich sieci 100 kV o długości 135 km. W sieci tej w ciągu 10 lat była tylko jedna dłuższa przerwa w zasilaniu. Uważają tam, że ruch z cewkami Petersena dałby zbyt małe korzyści w stosunku do kosztów przeróbki sieci.

Za to Elektrownie Środkowe (UE) chwalać ruch z cewkami gasikowymi, gdyż pozwalają one na pracę z jednofazowym uziemieniem, co stanowiło prawie 82% wszystkich wypadków na sieci 100 kV w ciągu prawie 20 lat (ogółem 151 wypadków).

Decyzja na korzyść urządzeń gasikowych lub przeciwko nim zależy od tego, które niedomagania chcemy usunąć, a więc: 1) czy uniknąć przerw w dostawie energii dla ważnych odbiorców; 2) czy uniknąć uszkodzenia przewodów i izolatorów podczas zwarć, gdyż naprawy są kosztowne i w ruchu uciążliwe; 3) czy utrzymać stateczność sieci.

Z wyjątkiem zwarć wielofazowych i zwarć z ziemią w sieciach z uziemionym punktem zerowym, które muszą być wyłączane, trzeba stosować cewkę Petersena do kompensacji jednofazowych uziemień, gdyż krótkotrwałe zwarcia same miną, a w razie dłuższych zwarć z ziemią jest dostateczny czas na ustalenie i wyeliminowanie ich z sieci.

W pozostałych wypadkach ratuje równoległy tor, na który przerzucą się obciążenie, jeżeli nie jest on przeciążony i automatycznie wyłącza, jeżeli nie straci stateczności i jeżeli łuk zwarciovy nie obejmie również sąsiedniego toru. Niepełne obciążenie torów oraz stosowanie szybkiej ochrony linii i szybko działających wyłączników z ponownym włączeniem skracają przerwy do minimum.

Dla uniknięcia szkód w przewodach i izolatorach musi być stosowane szybkie wyłączenie zwarć. Dla utrzymania zaś stateczności sieci i ruchu trzeba posiadać: a) w jednotorowych liniach między elektrowniami wyłączniki szybko wyłączające z ponownym samoczynnym włączeniem; b) w podwójnych torach tylko szybkie wyłączenie; ponownego włączenia nie trzeba, jeżeli ruch da się przerzucić na drugi tor; c) w prostych liniach, zasilających tylko odbiorców, — wyłączniki na szybkie wyłączenie i ponowne włączenie.

Sieci kompensowane mają tę zaletę, że chronią od uszkodzeń i przerw, z warunkiem, że stan izolacji ich jest dostatecznie dobry; w przypadku uszkodzenia jednego lub kilku ogniw łańcucha izolatorowego mogą nastąpić przeskoki na fazach o podniesionym napięciu i wywołać komplikacje ruchowe. Nie wyłącza to jednak rekonstrukcji ochrony sieci dla szybkiego wyłączenia zwarć i uniknięcia strat w transformatorach, przewodach i izolatorach.

Ruch kompensowany nie był ideałem i w Niemczech, gdyż stosowano dodatkowo szybkie ponowne włączenie w sieciach średniego napięcia z dobrym skutkiem i namyślano się nad stosowaniem takich urządzeń również dla 100 kV.

By stosować cewki gasikowe niezbędne są następujące przeróbki: a) transformatory, wykonane do ruchu z punktem zerowym uziemionym bezpośrednio, należy przerobić tak, by punkt zerowy był izolowany na pełne napięcie sieci; b) w transformatorach, zbudowanych do ruchu z izolowanym punktem zerowym, lecz ze słabszą izolacją przepustu, należy przerobić ten przepust na pełne napięcie sieci; c) doprowadzić ochronę urządzeń 100 kV do ruchu z cewką gasikową i z szybkim wyłączeniem zwarć; d) wszystkie uszkodzone izolatory na linii 100 kV wymienić.

W urządzeniach z pełnym uziemieniem przewodu zerowego i ponownym włączeniem dałoby się utrzymać ruch w wypadkach o charakterze przejściowym jedno- lub wielofazowym z wyjątkiem dłuższych zakłóceń, kiedy dostawa musiałaby być przerwana. Dobrą stroną takiego urządzenia jest wyeliminowanie podwójnych zwarć z ziemią, wada zaś jest mechaniczne i cieplne naprężenie sieci przez prądy przy każdorazowym zwarciovy z ziemią. Szybkie wyłączanie zapobiega naprężeniom cieplnym; naprężenie mechaniczne nie wyrządza szkód przy solidnej budowie sieci.

Ponieważ linie 100 kV najczęściej mają dwa tory i łączą między sobą elektrownie i ważne podstacje, do których dopływa energia z innych elektrowni, linie te muszą być zaopatrzone na obu końcach w wyłączniki z ponownym włączeniem; odcinają one zagrożony odcinek obustronnie na zasadzie wybiórczości. Trzeba kłaść nacisk na to, aby zarówno wyłączenie, jak i włączenie ponowne odbywało się jednocześnie. Jeżeli ten warunek nie będzie spełniony, nie ma gwarancji, że miejsce powstawania łuku będzie w dostatecznym stopniu odjonizowane i nie będzie się włączało ponownie na zwarciovy, co wywoła pełne odcięcie niekoniecznie uszkodzonego odcinka.

Najdogodniejsze, ale i najdroższe jest wiazanie ochrony siecią wysokiej częstotliwości; jednocześnie jest wtedy

gwarantowana. Natomiast ochrona pozorno-oporowa daje takie same wyniki w razie zwarcia pośrodku odcinka; gdy zaś zwarcie przeniesie się ku któremuś końcowi, wyłączniki odcinają stopniowo i okres wyłączenia i przerwy przedłuża się, dejonizacja nastąpi, ale jednocześnie stateczność sieci cierpi.

Starsze wyłączniki w sieciach 100-kilowoltowych trudno przebudować na ponowne włączanie, nowsze typy łatwiej dają się przerobić do tego celu. Przy takich przeróbkach trzeba pamiętać, że urządzenie po wyłączeniu powinno być włączone ponownie przed zanikiem stateczności sieci, co zależy od różnych okoliczności, jak np. od oporu pozornego i obciążenia linii sprzęgającej, od wielkości obciążenia, wzbudzenia i bezwładności mas maszyn, od stanu włączonej sieci, od liczby faz zwartych itd.

Jeżeli linia, sprzęgająca elektrownie, jest podwójna lub istnieją inne jeszcze drogi powiązania elektrowni, wtedy warunki równoległej pracy są lepsze, gdyż nawet po odcięciu uszkodzonego połączenia elektrownie w dalszym ciągu utrzymywane są w pracy równoległej linią nieuszkodzoną.

W sieciach prostych stateczność pracy równoległej jest trudniej utrzymać, zwłaszcza przy zwarciu trójfazowym, kiedy siła wiążąca w synchronizmie zanika zupełnie. Gdy przed uszkodzeniem nie płynął w linii żaden prąd lub bardzo mały, niebezpieczeństwo wypadnięcia z synchronizmu jest małe, ponieważ po odcięciu części wadliwej warunki w sieci zmieniają się bardzo mało. Im większe obciążenie, tym utrzymanie synchronizmu jest trudniejsze, zwłaszcza gdy w elektrowni pracują maszyny słabe, a energia dopływa do jej sieci zzewnątrz, lub gdy maszyny biegną luzem; maszyny w elektrowni obciążonej starają się przyspieszyć biegu i, odwrotnie, maszyny elektrowni mało lub wcale nie obciążonej zwalniają biegu, — elektrownie wypadną z synchronizmu bardzo szybko.

Według doświadczeń zdobytych w ruchu okres przerwy w linii należy wybrać tak krótki, aby i przy małej mocy maszyn na sieci, przy trójfazowym zwarcu na linii prostej i przy nieodpowiednim sposobie obciążenia synchronizm był zagwarantowany. Ponowne włączenie da dobre wyniki w 90% i więcej, jeżeli całkowity okres przerwy jest mniejszy niż 0,3 — 0,4 sek., w najgorszych przypadkach najwyżej 0,5 sek. Jedynie w przypadkach wyjątkowych przy wielokrotnych wyładowaniach atmosferycznych okres ten jest dłuższy i za krótki do dejonizacji. Tu pomogłoby wielokrotne ponowne włączenie, jeżeli stateczność na to pozwoliłaby, ale takie wielokrotne włączanie w literaturze nie jest polecane, a na szczęście wielokrotne wyładowania atmosferyczne są dość rzadkie. Jeżeli warunki stateczności są szczególnie uciążliwe, pomóc sobie można przez włączanie i ponowne włączenie poszczególnych faz. Polepszenie nastąpi przy jednofazowych zwarcuach w ziemię w sieciach z bezpośrednio uziemionym zerem; w sieciach kompensowanych — nawet przy zwarcuach dwufazowych, gdyż tam przy wyłączeniu jednej fazy, a dwu pozostałych włączonych synchronizm utrzyma się. Przy jednofazowym wyłączeniu może płynąć jeszcze prąd przez łuk między fazą odłączaną i ziemią, gdyż ta faza z dwiema innymi jest połączona przez pojemność, ale dejonizacja nastąpi dość szybko w sieciach z bezpośrednio uziemionym zerem, w sieciach zaś kompensowanych warunki są zasadniczo gorsze, lecz polepszenie daje się osiągnąć przez przejściowe połączenie wyłączanej fazy z ziemią.

Wyłączenie dotkniętej fazy zaleca się w przypadku linii jednotorowych, gdyż tu można przedłużyć okres wyłączenia, w liniach dwutorowych jest to zbyt szkodliwe.

Wnioski. Według dotychczasowych badań największy kłopot sprawiają uszkodzenia transformatorów, przewodów i izolatorów i przerwy w dostawie prądu przy zwarcu. Po wybudowaniu dalszych wielkich elektrowni warunki te jeszcze się pogorszą przez wzrost prądów zwarcia. Wad tych nie da się usunąć za pomocą cewek gasikowych i dlatego zaleca się w sieciach 100-kilowoltowych prowadzenie ruchu w dalszym ciągu z punktem zerowym uziemionym bezpośrednio, ale jednocześnie usprawnienie ochrony sieci, aby zwarcia były odłączane jak najrychlej; jednocześnie należy zaopatrzyć stopniowo w wyłączniki z ponownym włączeniem te linie, które są ważne ze względu na stateczność sieci i na utrzymanie dostawy prądu.

Nie przeszkadza to budowie sieci 100 kV (rozdzielni i transformatorów) tak, aby można było przejść na ruch kompensowany, a nawet zaleca się takie rozwiązanie, które

podnosi koszty tylko na transformatory, choć przełączników zaczepów nie trzeba izolować na pełne napięcie. W ogóle obniżenie izolacji w kierunku do punktu zerowego możliwe jest w sieciach z uziemionym bezpośrednio zerem tylko w transformatorach niezrezonansowych.

Wprowadzenie włączania jednofazowego natrafi na trudności (przynajmniej w sieciach wybudowanych dotychczas), ponieważ obecnie stosowane wyłączniki ze sprzężonym na stałe ruchem trzech faz nie dadzą się przerobić do tego celu.

W sieciach 220-kilowoltowych ruch z bezpośrednio uziemionym zerem ma jeszcze większe widoki, gdyż w tych sieciach rzadziej odbijają się wpływy atmosferyczne z racji lepszej izolacji i większej odległości między przewodami i do ziemi. Prócz tego można tu zmniejszyć izolację w stosunku do ziemi w linii i w transformatorniach i zaoszczędzić na sieci i urządzeniach ok. 30%, a na izolacji transformatorów ok. 20%.

Pomimo takich zalet niektóre sieci na 220 kV w Niemczech stosują cewki Petersena, aczkolwiek instalacja dwutorowych linii z kompensacją jest więcej skomplikowana, gdyż prócz gasików dla każdego toru trzeba jeszcze cewek wyrównawczych lub ssących, które mają wyrównywać wpływ pojemnościowy obu torów względem siebie, ponieważ dwa równoległe tory nie połączone ze sobą metalicznie wpływają na siebie wskutek sprzężenia pojemnościowego. Jeżeli przy jednofazowym połączeniu z ziemią w sieci z izolowanym punktem zerowym nastąpi przesunięcie tego punktu i w nim powstanie napięcie U_{1-0} względem ziemi, to w sąsiednim torze sprzężonym pojemnościowo w punkcie zerowym powstanie względem ziemi napięcie

$$U_{2-0} = U_{1-0} \frac{C_{1-2}}{C_{1-2} + C_2},$$

a drugi tor zachowuje się tak, jakby i w nim było również połączenie do ziemi (C_{1-2} oznacza pojemność między torami, C_2 oznacza pojemność drugiego toru względem ziemi). Wpływ pojemności torów da się usunąć przez włączenie równoległe cewki gasikowej do pojemności C_{1-2} lub za pomocą cewki ssącej wtrąconej w szereg z gasikami obu torów.

Kwestia prowadzenia ruchu na sieci 220 kV musi być rozwiązana w najbliższym czasie wobec projektów i częściowych zarządzeń zapoczątkowanych za okupacji w Czechach i na Morawach. Sieć, łącząca północno-czeskie zagłębie węglowe z Bawarią i dalszymi terenami Rzeszy, była zaprojektowana do ruchu z gasikami i ssącymi cewkami i prawdopodobnie linia na Morawach, która miała łączyć Górny Śląsk z Wiedniem i austriackimi elektrowniami wodnymi, była przewidziana na podobny ruch.

Wobec powiązania siecią 220 kV różnych krajów sprawa ta musi być wspólnie zdecydowana dla wspólnej wymiany energii.

M. N.

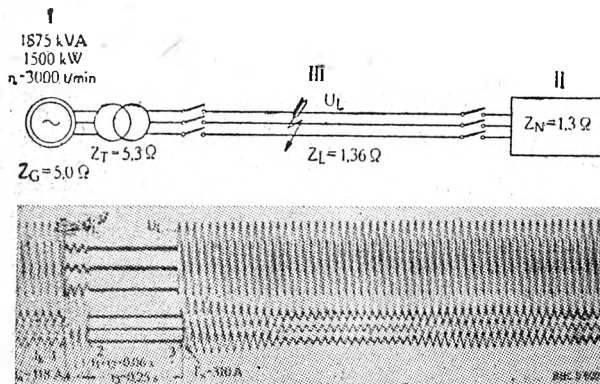
LIKWIDACJA ZWARC WYŁĄCZNIKIEM POWIETRZNYM SZYBKODZIAŁAJĄCYM

Dipl.-Ing. Fr. Parschalk. Kurzschlussfortschaltung mit Druckluftstbneilschaltern. BBC Nachrichten, Mannheim. (1942, tom 29, zeszyt 1, str. 1—6).

Zwarcia w sieciach wysokiego i najwyższego napięcia mogą spowodować, przez przerwę albo ograniczenie dostawy energii, wielkie straty gospodarcze. Usiłowania uniknięcia tych przerw wykazały, że przez szybkie wyłączenie zwarcia na linii napowietrznej i następujące potem szybkie włączenie można osiągnąć znaczne korzyści. Praktyczne zastosowanie tego rodzaju zwalczania zakłóceń wymaga, prócz bardzo szybko działających przełączników, przede wszystkim wyłączników szybkodziałających, a takimi są wyłączniki powietrzne.

Statystyka różnych rodzajów zakłóceń w pewnym obszarze sieci napowietrznych o napięciu 50 do 110 kV wskazuje, że tylko 70% wszystkich zakłóceń ma charakter trwały. Z reszty przypada 72% na zwarcia z ziemią, kompensowane cewkami gasikowymi i 21% na dwu- i trójfazowe zwarcia łukowe, które mogą być likwidowane przez szybkie wyłączenie i ponowne włączenie bez wywołania przerw w dostawie energii.

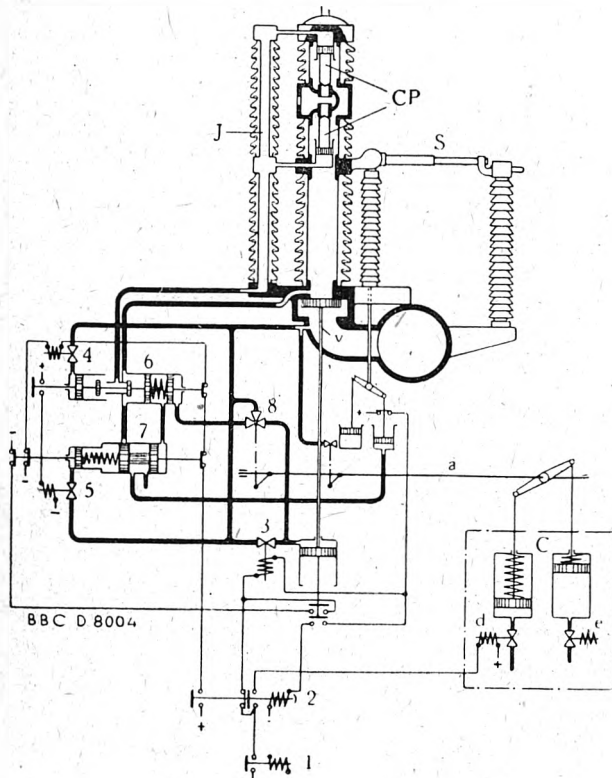
Należało wyjaśnić, jak prędko może nastąpić ponowne włączenie, żeby nie powstało drugie zwarcie, a także zbadać, czy przerwa i ponowne włączenie nie zakłóca stateczności pracy. Pierwsza sprawa jest związana z czasem dejonizacji przestrzeni łukowej w miejscu zwarcia na linii napowietrznej. Próby zwarć między przewodami i zwarć z ziemią poprzez izolatory wykazały, że przy na-



Rys. 1. Oscylogram odłączenia zwarcia łukowego na linii o napięciu 8,8 kV. I — generator z transformatorem, II — sieć III — linia przesyłowa; 1 — początek zwarcia, 2 — przerwanie zwarcia, 3 — ponowne włączenie

pięciu 10 kV czas dejonizacji wynosi w najniekorzystniejszym wypadku około 0,1 sek. Czas ten wzrasta ze wzrostem napięcia roboczego i osiąga przy 150 kV 0,2 do 0,25 sek. Wielkość prądu zwarcia przy małych napięciach prawie nie wywiera wpływu na czas dejonizacji; przy wyższych napięciach jednak czas ten wzrasta dość silnie ze wzrostem prądu.

Dla wyjaśnienia drugiej sprawy (stateczności pracy) wykonano próby z turbogeneratorem o mocy 1500 kW. Zespół pracował (rys. 1) na rozległą sieć okręgową. Na obu końcach linii przesyłowej zainstalowano wyłączniki z urzą-

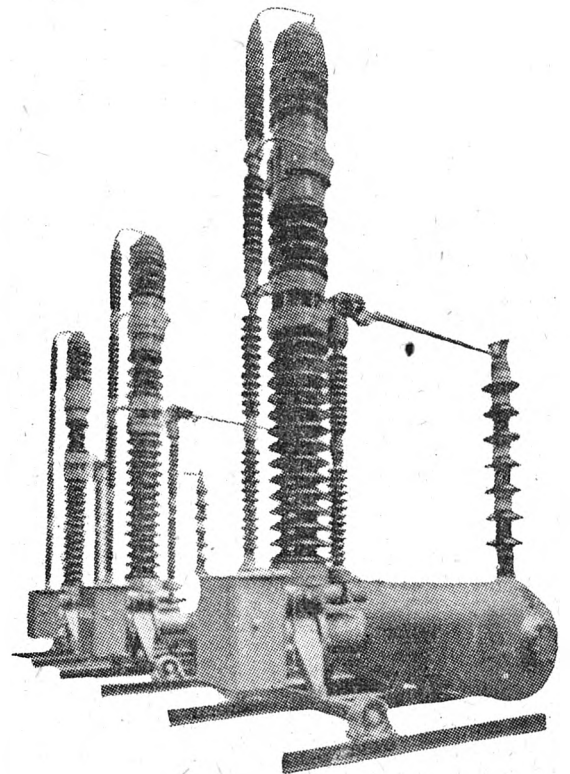


Rys. 2. Układ połączeń wyłącznika powietrznego szybko działającego z urządzeniem do likwidacji zwarcia (wykonanie napowietrzne)

żeniem do szybkiego włączenia po natychmiastowym wyłączeniu zwarcia. Zwarcia łukowe były wyłączone po 0,06 sek. Czas od wyłączenia do ponownego włączenia wybrano

0,25 sek. Okazało się, że nawet przy najniekorzystniejszych warunkach przesyłania energii, tj. przy silnie niedowzburzonym generatorze i jednocześnie całkowicie obciążonej turbinie, praca nie doznała zakłóceń. Dla zmniejszenia prądów wyrównawczych przy ponownym włączeniu należy utrzymać możliwie krótki czas między początkiem zwarcia i ponownym włączeniem. Ponieważ na czas potrzebny do dejonizacji przestrzeni łukowej nie mamy wpływu, ważne jest zmniejszenie czasu własnego przekaźnika i wyłącznika do granic możliwości.

Ten rodzaj zwalczania zakłóceń wymaga, aby, jak to jest przy wyłącznikach powietrznych, niezbędne urządzenia dodatkowe były stosunkowo proste. Na rys. 2 przedstawiono schematycznie biegun takiego wyłącznika powietrznego na 110 kV¹⁾. Wyłącznik jest włączony, wszystkie zawory zamknięte i obwody sterownicze przerwane. Napęd powietrzny C z elektropneumatycznymi zaworami sterującymi d i e służy do włączania i wyłączania wszystkich biegunów wyłącznika jednocześnie. Urządzenie do ponow-



Rys. 3. Trójbiegunowy wyłącznik powietrzny szybko działający na 150 kV z urządzeniem do odłączania zwarcia (wykonanie napowietrzne)

nego włączenia dla każdego bieguna składa się z rozdzielacza powietrza 6 i 7 z przynależnymi elektropneumatycznymi zaworami sterującymi 4 i 5, jak również z kanału powietrznego J, utworzonego z izolatorów.

Do wyłącznika należy dalej przekaźnik zabezpieczający 1 i przekaźnik do włączenia ponownego 2 z nastawialnym czasem. Ma on za zadanie utrzymać linię bez napięcia w ciągu wymaganego okresu czasu.

W wypadku zakłócenia pracy działa przekaźnik 1 i zamyka obwód zaworu wyłączającego 3, który ze swej strony otwiera zawór wdmuchujący v. Powietrze napływające ze zbiornika otwiera styki gaszące CP, przerywa swoim silnym strumieniem bardzo szybko łuk i opuszcza potem komorę gaszącą specjalnymi otworami. W międzyczasie zamyka się styk sterowany zaworem v i daje prąd na przekaźnik 2 do ponownego włączenia. Po czasie nastawionym przekaźnik 2 daje prąd na cewkę zaworu 4 celem ponownego włączenia; zawór otwiera się i wpuszcza powietrze sprężone na lewy tłok rozdzielacza 6. Sterowany tym tłokiem podwójny zawór zamyka otwór, przez który powietrze upływa do otoczenia, a kieruje powietrze sprężone z nad tłoka v przez drugi otwór, obecnie otwarty, ka-

¹⁾ Por. PE, 1947, z. 3/4, str. 116—118.

nałem J do komory styków gaszących, które natychmiast się zamykają. Jeśli zwarcie na linii znikło przez chwilowe otwarcie styków gaszących, to cały układ wraca do stanu pracy normalnej. Rozdzielacz 6 zamyka swój styk pomocniczy, przez co otwiera się zawór 5, a tłok rozdzielacza 7 przesuwa się. Tłok ten otwiera obwody sterujące zaworów 3 i 4, zamykając przy tym zawór wydmuchujący v i sprowadzając przełącznik 2 do stanu początkowego.

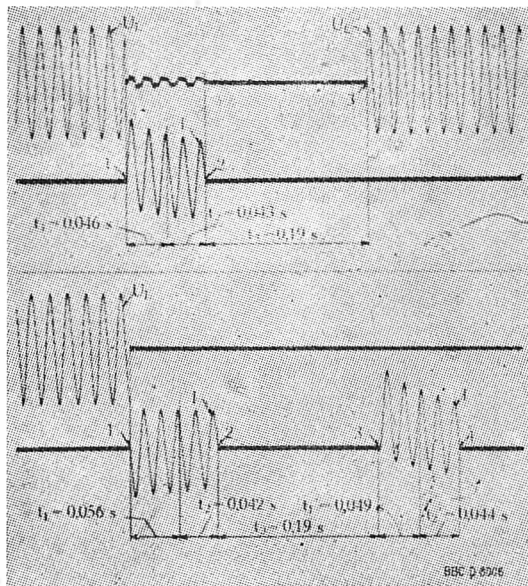
Jeżeli zwarcie, jako np. metaliczne, nie znikło wskutek szybkiego wyłączenia i ponownego włączenia, działa ponownie przełącznik 1, zamyka swój styk i powoduje przepływ prądu przez cewkę wyłączającą e napędu powietrznego C, przez co wyłącznik ostatecznie otwiera się. Otwierają się przy tym odłączniki S, czego nie było przy poprzednim wyłączeniu. Zawór 8 przejmuje przy tym czynności zaworu 3 i utrzymuje zawór wydmuchujący w już otwartym położeniu. W tym samym czasie zawór 8 doprowadza powietrze na tłok prawy rozdzielacza 6, podwójny zawór tego rozdzielacza przesuwa się na lewo i od powietrza kanał J. Włączenie odłącznika S podejmują tłoki, pokazane w rozdzielaczach 6 i 7 z prawej strony. Tłok rozdzielacza 6 doprowadza w określonym położeniu zwolnione przez zawór 8 powietrze poza tłok rozdzielacza 7, który ze swej strony oddziałuje na tłok wyłączający odłącznika S. Po otwarciu odłączników S przełączniki wracają do stanu spoczynkowego.

Styki, sterowane napędem odłączników i rozdzielaczy 6 i 7, przerywają obwody prądowe cewek zaworów 2 do 5; zawór wydmuchujący znów zamyka się i wyłącznik jest gotów do nowego włączenia.

Szybkie ponowne włączenie po zwarcie może być wykonane więcej niż jeden raz, gdyby to było uznane w ruchu za korzystne. Według dotychczasowych doświadczeń okazuje się jednak, że jednorazowe wyłączenie gaszące z wynikiem ujemnym, a następnie wyłączenie ostateczne najzupełniej wystarcza.

Rys. 3 przedstawia wyłącznik na 150 kV z urządzeniem opisanym powyżej, a rys. 4 oscylogramy zdjęte w czasie prób zwarciovych z tym wyłącznikiem.

Górny oscylogram przedstawia zwarcie łukowe, zlikwidowane stykami gaszącymi, przy czym linia otrzymała na-

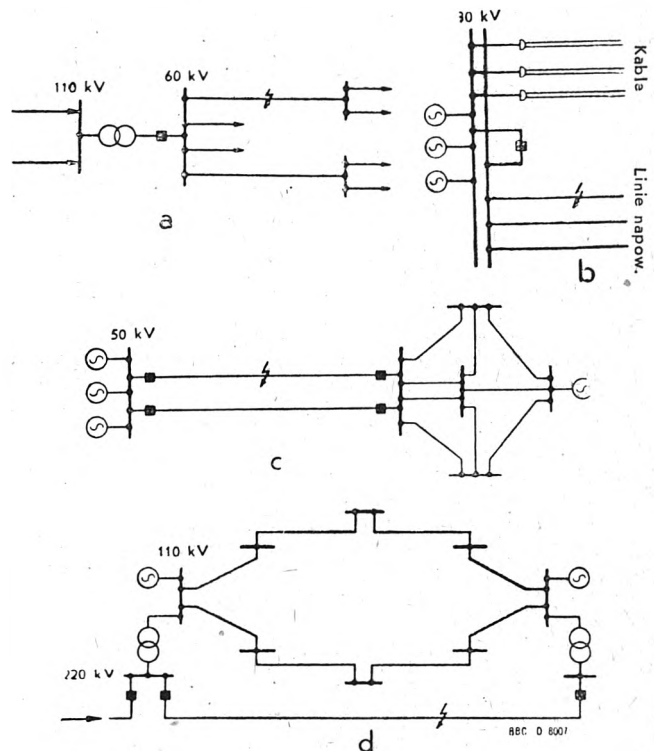


Rys. 4. Oscylogram odłączenia zwarcia wyłącznikiem na 150 kV. U_L napięcie ok. 150 kV w linii napowietrznej, I prąd odłączony około 2200 A (wart. skut.) 1 początek zwarcia, 2 koniec odłączenia, 3 chwila ponownego włączenia, 4 ostateczny moment przerywania prądu, t_1 i t_1' czas przełącznika, t_2 i t_2' czas wyłącznika

pięcie po 0,19 sek. Oscylogram dolny przedstawia zwarcie metaliczne, które musiało być dwukrotnie przerywane. Oba oscylogramy pozwalają stwierdzić nadzwyczaj krótki czas wyłączenia. Czas ten wynosi od momentu impulsu przełącznika do przerywania prądu tylko 0,043—0,042 sek.

W wyłącznikach tych zbiorniki powietrza są takich wymiarów, że powietrza nie zabraknie.

Na rys. 5 podane są przykłady sieci, gdzie zastosowano opisane wyżej wyłączniki. Rys. 5-a przedstawia podstację na 110/60 kV, z której odchodzą promieniowo linie napowietrzne na 60 kV. Transformatory 110/60 kV są wyposażone



Rys. 5. Przykłady zastosowania wyłączników do likwidacji zwarć

zone z jednej strony w takie wyłączniki, które likwidują zwarcia całej sieci 60 kV. Jeśli np. zwarcie łukowe powstanie w miejscu oznaczonym strzałką, to likwiduje je się przez natychmiastowe wyłączenie i szybkie ponowne włączenie; dla odbiorców jest to prawie niedostrzegalne. W przypadku zwarcia metalicznego, kiedy chwilowe odłączenie nie pomaga, wyłącza ostatecznie nie wyłącznik transformatora, lecz wyłącznik zwykły uszkodzonej linii. Przy ostatecznym wyłączeniu zapewniona jest więc całkowita wybiórczość. Osięga się to przy pomocy przełącznika niezależnego wtórnego nadmiarowo-czasowego. Przełącznik transformatora wyłącza po raz pierwszy w 0,03 sek. od początku zwarcia. Po szybkim włączeniu ponownym przełączniki sieci i transformatora pracują według czasu nastawienia, tak, że przy zwarciu trwałym wyłącza przełącznik, leżący najbliższym miejsca uszkodzenia.

Przykład podany na rys. 5-b dotyczy szczególnie sieci średnich napięć. Elektrownia zasila częściowo sieć otwartą kablową, częściowo sieć otwartą napowietrzną. Sposób ponownego włączenia na zwarcie nie ma dla sieci kablowych znaczenia, ponieważ nieliczne zwarcia w kablach mają przeważnie charakter zwarć metalicznych. Dla narażonych na uszkodzenia linii napowietrznych można z korzyścią powierzyć ponowne włączenie na zwarcie łącznikowi szyn, przyłączając kable na jeden układ szyn, linie napowietrzne na drugi. Zabezpieczenie to działa w podobny sposób, jak na rys. 5-a.

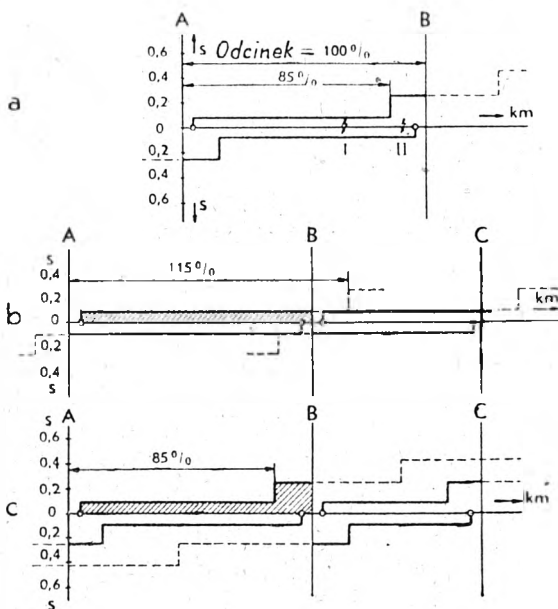
W przykładzie na rys. 5-c przyjęto przypadek, kiedy wielka elektrownia zasila dwoma torami napowietrznymi silnie powiązaną sieć 50-kilowoltową, która jest zasilana prócz tego z elektrowni miejscowej o niewystarczającej mocy, wskutek czego pewność zasilania z wielkiej elektrowni jest szczególnie ważna.

Aby uniknąć przerwy w dostawie energii przy wyłączeniu jednego toru, wyposaża się oba tory w wyłączniki włączające samoczynnie na zwarcie. Ponieważ zwarcie zaznaczone strzałką jest zasilane z dwu stron, należy zainstalować takie wyłączniki na obu końcach obu przewodów. Szczególne wymagania stawiane są w tym wy-

padku przekaźnikom, gdyż muszą one pracować możliwie szybko i z jednakowymi czasami. W wypadku, gdy mamy do rozporządzenia kabel pomocniczy, zadanie jest łatwe do rozwiązania przy pomocy zabezpieczenia różnicowego podłużnego z zastosowaniem przekaźnika odległościowego do opanowania na szynach zbiorczych. Dla sieci zamkniętych powiązanych na 50 kV wystarcza normalny przekaźnik odległościowy, gdyż w razie przerwy w jednym przewodzie rozgałęziona sieć oczasta zapewni napięcie każdej podstacji.

Na rys. 5-d podano przykład sieci na 110 kV pierścieniowej, zasilanej przez dwie elektrownie i tor napowietrzny na 220 kV. Ponieważ tor 220 kilowoltowy dla gospodarzo korzystnego przenoszenia energii i utrzymania stateczności pracy równoległej powinien pracować możliwie bez przerw, zaopatrzone jest na obu końcach w wyłączniki, włączające na zwarcie.

Godne uwagi jest tu zagadnienie zastosowania najbardziej odpowiednich przekaźników do zabezpieczenia linii 220 kV. Zabezpieczenie różnicowe z kablem pomocniczym odpada z powodu wielkich odległości. To samo zabezpieczenie za pomocą połączenia na wysokiej częstotliwości jest bardzo kosztowne. Najlepszym rozwiązaniem jest tu szybko działające zabezpieczenie odległościowe BBC w wykonaniu specjalnym do likwidowania zwarć. Przekaźnik ten posiada charakterystykę wyłączenia stopniowaną z pięcioma stopniami czasu, przy czym pierwszy stopień obejmuje odcinek toru długości 85% i posiada bardzo krótki czas wyłączenia 0,08 sek.



Rys. 6. Stopniowanie ochrony odległościowej szybko działającej przy likwidacji zwarć

Rys. 6-a przedstawia normalne stopniowanie czasu tego przekaźnika dla odcinka A—B. Ponieważ przy włączaniu na zwarcie niezbędne są jednakowe czasy wyłączenia przekaźników na początku i końcu toru, przekaźniki te działałyby dobrze przy normalnym stopniowaniu tylko w wypadku, gdyby miejsce zwarcia było oddalone od końca toru przynajmniej o 15% całej długości, a więc w miejscu I; czasy dla zwarcia w miejscu II byłyby różne.

Wykonanie specjalne zabezpieczenia odległościowego działa tak, że, jak wskazano na rys. 6-b, przy pierwszym wyłączeniu stopień pierwszy obejmuje nie 85%, lecz 115% długości linii. Wtedy każde zwarcie w dowolnym miejscu jest wyłączone dwustronnie po upływie 0,08 sek. Jeśli zwarcie przypadło w części środkowej linii, to wyłączają tylko oba wyłączniki tej linii. Jeśli zwarcie występuje w obrębie 15% długości linii, na początku lub na końcu, to wyłączają również wyłącznik odcinka sąsiedniego. Jest to jednak dopuszczalne i bez znaczenia, gdyż urządzenie ponownego włączania włącza wszystkie otwarte wyłączniki z powrotem. Jeśli zwarcie usunięto,

to oba odcinki znów są w ruchu. Jeśli było to zwarcie trwałe, musi być na nowo i już ostatecznie odłączone. Dla tego drugiego wyłączenia przekaźniki przestawiają się samoczynnie według rys. 6-c na ich normalne stopniowanie i wyłączają na zasadach ścisłej wybiorności jedynie odcinek uszkodzony.

Zaletą szybko działającego zabezpieczenia odległościowego do likwidacji zwarć w opisanym wykonaniu polega na nadzwyczaj szybkim działaniu przy pierwszym wyłączeniu i na działaniu wybiornym przy wyłączeniu ostatecznym. Pozostałe własności tego przekaźnika L. 3., jak rozruch przy obniżonym oporze pozornym, dokładny pomiar odległości nawet przy zwarciach łukowych, objęcie również zwarć w szynach zbiorczych i przystosowalność do warunków sieci, pozwalają stosować ten przekaźnik również w sieciach napowietrznych zamkniętych najwyższego napięcia, nie posiadających wyłączników włączających na zwarcie. Zabezpieczenie przekaźnikami odległościowymi szybko działającymi w połączeniu z wyłącznikami szybko działającymi urzeczywistnia tak pożądane przez kierowników ruchu szybkie likwidowanie zwarć i zapewnia ciągłość dostawy energii.

A. Sław.

GASZENIE ŁUKU W WYŁĄCZNIKU POWIETRZNYM SZYBKODZIAŁAJĄCYM Z JEDNĄ I WIELU PRZERWAMI

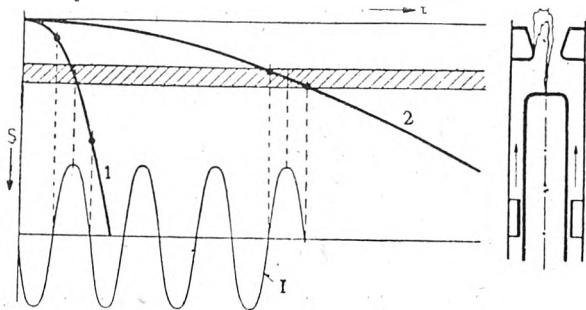
Ing. H. Thommen Die Lichtbogenlöschung im Druckluftschneckschalter bei Ein- und Mehrfachunterbrechung. BBC Nachrichten, Mannheim (1943, tom 30, zes. 3, str. 68-70).

Dwa główne wymagania, stawiane nowoczesnym wyłącznikom wysokiego napięcia — krótki czas wyłączenia i pewność działania zarówno pod względem elektrycznym, jak i mechanicznym — dadzą się urzeczywistnić całkowicie przez zastosowanie styków drażonych, przedmuchiwanych powietrzem sprężonym, jeżeli wyłącznik jest racjonalnie zbudowany.

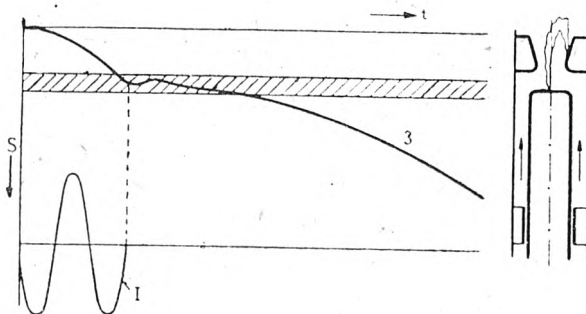
Zdolność odłączalna styków drażonych zależy nie tylko od średnicy dyszy i ciśnienia powietrza, ale również — i to w znacznym stopniu — od skoku styku ruchomego. Moc odłączalna wzrasta ze wzrostem skoku do pewnej granicy, po czym szybko maleje. Skok, przy którym osiąga się największą moc odłączalną, jest stosunkowo mały i nie wystarcza do utrzymania potrzebnej wytrzymałości na przebicie w otwartym wyłączniku, gdy ustanie dmuchanie powietrza. W pewnych rodzajach wyłączników trzeba z tego powodu dawać skok większy, niż to potrzebne jest do zgazowania łuku. Przy tym jest zupełnie niewłaściwy ruch jednostajnie przyspieszony, jak to stosuje się w innych rodzajach wyłączników. Przy wielkich prędkościach styk przebiega strefę gaszenia tak szybko, że już jest poza nią w chwili właściwej do gaszenia, tj. gdy prąd przechodzi przez wartość zero (rys. 1a, krzywa 1). Małe znów prędkości styku prowadzą do niedopuszczalnie długiego czasu palenia się łuku (rys. 1a, krzywa 2). Polepszenie daje charakterystyka stopniowana (rys. 1b, krzywa 3). Styk wchodzi do strefy gaszenia stosunkowo szybko i tu jest przytrzymany za pomocą specjalnych urządzeń hamujących przez kilka półokresów. Takim urządzeniem hamującym stawia się bardzo wielkie wymagania; muszą one przede wszystkim dokładnie pracować przy wszelkich możliwych temperaturach. Zupełnie pewne rozwiązanie stosuje się od wielu lat w wyłączniku powietrznym szybko działającym BBC. Wyłączenie podzielono na styk gaszący i odłączający (rys. 1c). Drogę styku gaszącego ograniczono przymusowo tak, że jest zachowana najkorzystniejsza strefa gaszenia. Natomiast otwarty nóż odłącznikowy przedstawia widoczną i niemożliwą do przebicia strefę izolacyjną przy otwartym ruchoma styku gaszącego jest nieznaczna, a więc strefa gaszenia osiągnana jest przez styk w najkrótszym czasie, co równoznaczne jest z bardzo krótkim trwaniem łuku.

Zupełnie szczególne znaczenie posiada wymieniony podział ról w wyłącznikach najwyższych napięć. W tych wyłącznikach przez zastosowanie przerwy wielokrotnej ze sterowaniem potencjalnym udało się jeszcze dalej zmniejszyć masę i skok poszczególnych styków gaszących. Zapewniono tą drogą całkowite wykorzystanie wszystkich zalet gaszenia powietrzem sprężonym również dla napięć najwyższych.

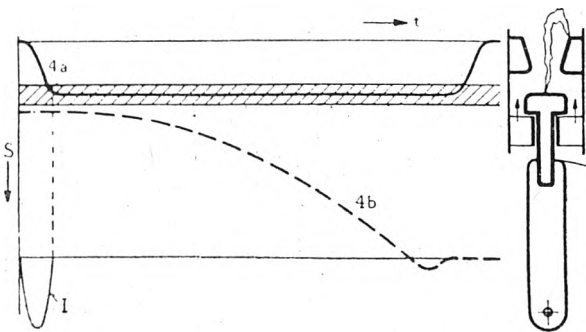
Tysiące przeprowadzonych prób pozwalają dziś ocenić zdolność gaszącą styków drażnionych, przedmuchiwanym powietrzem sprężonym, i to w rozległych granicach (rys. 2). Moc odłączalna wzrasta stosunkowo szybko ze wzrostem



Rys. 1a. Krzywa 1 pokazuje, że przy zbyt szybkim ruchu styku gaszącego styk ten przy przejściu prądu przez zero znajduje się już poza obrębem strefy gaszenia, natomiast przy wolnym ruchu styku (krzywa 2) warunki gaszenia przy przejściu prądu przez zero są jeszcze pomyślne, lecz dzieje się to kosztem długiego trwania łuku.



Rys. 1b. Jest to przypadek bardzo nierównomiernego ruchu styku. Uniknięto wad wymienionych pod rys. 1a, lecz konstrukcyjne rozwiązanie nastęrcza tu dużo trudności.



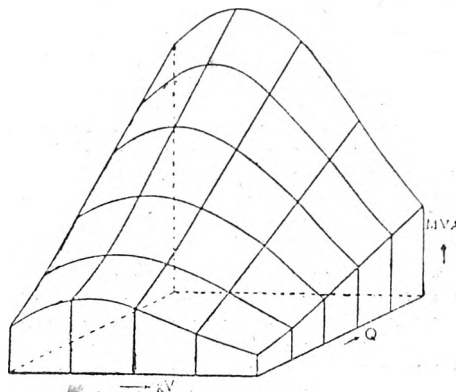
Rys. 1c. Wskutek oddzielenia ruchu styku gaszącego (krzywa 4a) od ruchu styku odłączającego (krzywa 4b) oba styki pracują w najlepszych warunkach.

Rys. 1 (a-b-c). Wpływ ruchu styku gaszącego na zdolności gaszące i trwanie łuku. Pas zakreślony: najkorzystniejsza strefa gaszenia. t czas, S droga styku, I natężenie prądu.

przekroju styku (Q). Godny uwagi jest fakt, że działanie skuteczne takich styków osiąga najlepsze wyniki w całkiem określonym obszarze napięć. Ta doświadczalnie stwierdzona cecha może być udowodniona teoretycznie.

Aby otrzymać wyłącznik z najlepszym wykorzystaniem powietrza gaszącego, niezbędne jest włączenie szeregowo kilku przerw gaszących, które pracują w wyżej wymienionym najkorzystniejszym obszarze napięć. Udało się to osiągnąć doskonale dla najwyższych napięć przez wprowadzenie przerwy wielokrotnej o sterowanym potencjale. Ten sposób gaszenia zużywa najmniej powietrza i daje największą zdolność odłączalną również w wyłącznikach przeznaczonych do ruchu z szybkim ponownym włączeniem na zwarcie. Wskutek małych mas ruchomych styków gaszących włączenie ponowne odbywa się w sposób prosty i z wielką prędkością. Szeregowe połączenie wielu przerw zapewnia wielką wytrzymałość elektryczną przerwy gaszącej, co jest szczególnie ważne np. przy odłączaniu linii w stanie jałowym. Charakterystyczna cecha tych wyłączników polega na tym, że każda poszczególna przerwa po-

siada z góry ustaloną moc odłączalną. Na tej podstawie można badać w istniejących laboratoriach wyłączniki wiel-



Rys. 2. Dopuszczalna moc odłączalna styku drażnionego, przedmuchiwanego powietrzem sprężonym, w zależności od przekroju dyszy (Q) przy różnych napięciach.

kiej mocy przez badanie poszczególnych elementów przy ich pełnym obciążeniu.

A. Sław.

NOWY ODŁĄCZNIK NAWIETRZNY

H. W. Graybill & J. S. Ferguson (Westinghouse El. Co.) A New Outdoor Air Switch and the Principles Involved in Its Design. Electrical Engineering, A. I. E. E. Transactions (sierpień 1945 r., tom 64, str. 583-586).

Za najbardziej korzystny typ uważa się odłącznik z izolatorami obrotowymi i przerwą pionową. Niełatwą jest rzeczą zaprojektować odłącznik, który byłby ekonomiczny, praktyczny i zachowywał swe właściwości po latach pracy, będąc narażonym na działanie słońca, wiatru, mrozu, kurzu i korozji.

Zagadnienia do rozwiązania przy projektowaniu. W zasadzie odłącznik składa się z dwóch końcówek, noża przegubowo zamocowanego do jednej z nich, podstawy i izolacji pomiędzy końcówkami a ziemią. Głównym źródłem niedomagań odłącznika napowietrznego jest styk pomiędzy nożem i końcówkami. Z tego powodu zaprojektowanie dobrego styku jest pierwszym i najważniejszym zagadnieniem.

Mechanizm nożowy, tzn. sposób zamiany ruchu obrotowego izolatora na żądany ruch noża, jest drugim zagadnieniem. Typ mechanizmu nożowego decyduje o zdolności odłącznika do dobrej pracy nawet w warunkach ciężkich. Wybór mechanizmu jest jednak związany z wyborem typu styków.

Styki. W zasadzie stawiamy dwa wymagania stykom odłączników napowietrznych: 1) styki muszą przewodzić prąd znamionowy bez nagrzewania się powyżej dopuszczalnej temperatury i 2) muszą wytrzymać bez szkody dla siebie największy prąd zwarcia danego obwodu aż do chwili zadziałania wyłącznika. Obie cechy winny być zachowane przez długie lata pracy odłącznika.

Z żądań tych wypływa potrzeba małego oporu styku. Ciśnienie ma wielki wpływ na wielkość tego oporu, który maleje ze wzrostem ciśnienia. Natomiast opór styku zasadniczo nie zależy od wielkości powierzchni styku. W 1928 r. W. Schaelchlin podał matematyczną zależność między oporem styku i całkowitym ciśnieniem, a mianowicie:

$$R = cP^{-k}$$

gdzie R jest oporem styku, c współczynnikiem zależnym od materiału i kształtu styku, P całkowitym ciśnieniem i k stałą, której wartość waha się od 0,5 (gdy liczba punktów styku nie zmienia się ze wzrostem ciśnienia) do 1,0 (gdy liczba punktów styku wzrasta proporcjonalnie do ciśnienia).

Kształt styków jest niezmiernie ważny, jako że od niego zależy ciśnienie jednostkowe oraz ilość materiału bezpośrednio przylegająca do styku. Są trzy zasadnicze kształty styków: styk płaszczyznowy jak między dwiema płaszczyznami; styk punktowy jak między kulą i płaszczyzną; oraz styk liniowy jak między walcem i płaszczyzną.

Styk płaszczyznowy w stanie nowym i czystym w zupełności spełnia swe zadania zarówno przy prądach znamionowych, jak i przy przetężeniach, jednakże z powodu zbyt niskiego ciśnienia jednostkowego jest nadzwyczaj podatny

na działanie korozji. Swego czasu był powszechnie używany w odłącznikach napowietrznych, obecnie jednak stosuje się go głównie do małych prądów w odłącznikach nożowych wnetrzowych.

Styk punktowy, używany w pewnym stopniu w odłącznikach napowietrznych, czyni zadość wymaganiom dużego ciśnienia jednostkowego oraz małego oporu styku i zachowuje się zupełnie zadawalająco przy prądach znamionowych. Przy zwarciach jednak, kiedy płynie znacznie większy prąd, niewielka ilość metalu przy styku ogranicza ilość odrowadzanego ciepła, a tym samym i wielkość prądu zwarcia, który daje się przepuścić bez uszkodzenia odłącznika.

Styk liniowy, znajdujący coraz większe zastosowanie, jest zupełnie zadawalający. W stykach miedzianych przy ciśnieniu od 5 do 250 kg na cal bieżący styku liniowego posiada połowę do jednej trzeciej oporu styku powierzchniowego o wielkości 1 cala kwadratowego. Większa ilość materiału przy styku liniowym lepiej odrowadza ciepło, a więc pozwala przepuszczać bez uszkodzeń znacznie większe prądy zwarcia, niż w styku punktowym. Korzysta się z tego szeroko w odłącznikach dużego ciśnienia o jednoliniowym styku i w nowoczesnych odłącznikach średniego ciśnienia o wieloliniowych stykach.

Przy wyborze materiału na styki należy brać pod uwagę jego onorność, aktywność chemiczną, twardość i temperaturę odpuszczania. Podstawowe metale, jak miedź i jej stopy, tworzą przy zetknięciu się z powietrzem warstewkę tlenku o dużym oporze. Utlenianie gwałtownie potęguje się przy wyższych temperaturach. Metale szlachetne nie utleniają się w powietrzu, jednakże srebro, szeroko stosowane jako materiał na styki, wiąże się z siarką z atmosfery, tworząc warstewkę na szczycie o małej oporności i łatwo usuwana. Dobra przewodność elektryczna i cieplna srebra tworzy z niego idealny materiał na styki w pomieszczeniach zamkniętych, gdzie wystarcza w stykach średnie ciśnienie.

Styki, narażone na działania atmosferyczne, muszą posiadać odpowiednie ciśnienie do pokonania warstw lodu, brudu i korozji. W stykach dużego ciśnienia miękkie metale, jak srebro i miedź, narażone są na znaczne zużycie i ścieranie, muszą zatem być zastąpione przez twardsze stopy, które jednak nie mogą ulec odpuszczeniu przy podgrzaniu do kilkuset stopni, występującym podczas zwarcia.

Obecnie w odłącznikach napowietrznych stosuje się od strony przegubowej zarówno giętkie połączenia mostkowe, jak i styki. Giętkie połączenia mostkowe ulegają utlenianiu i korozji zwłaszcza w dzielnicach przemysłowych, gdzie atmosfera jest przesycona siarką, a ulegające częstemu gięciu druczki łatwo się łamią aż do zupełnego przerwania połączenia mostkowego. Te same warunki, które działają niszcząco na giętkie połączenia, są równie przykre i dla styków nieosłoniętych. Styki szczekowe bezwzględnie muszą być otwarte, natomiast od strony przegubowej nie ma potrzeby stosowania giętkich połączeń mostkowych, ani styków otwartych, skoro styki mogą być całkowicie okapurtzone i w ten sposób w dużej mierze chronione od korozyjnego działania atmosfery.

Mechanizm nożowy. Ten musi pozwalać na łatwe działanie odłącznika nawet po latach pracy przy rzadkim używaniu go oraz na działanie odłącznika w stanie obłożonym.

Siła, potrzebna do manipulowania odłącznikiem, zużywa się tylko na pokonanie tarcia, z wyjątkiem małych odłączników, gdzie nóż nie jest odpowiednio wyważony. Zasadnicze tarcie jest tylko to, które wytwarza się między stykami, wszystkie inne tarcia są przypadkowe i powinny być zredukowane do minimum. Z tego powodu liczba bolców i łożysk winna być jak najbardziej ograniczona. Ruch przesuwania się z tarciami jednego styku po drugim powinien być oddzielony od ruchu podnoszenia noża.

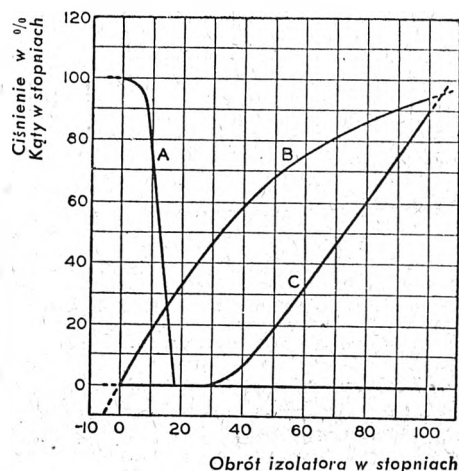
Pierwsze wyłączniki z izolatorem obrotowym i przerwą pionową były po prostu tego rodzaju, co odłączniki nożowe włączane drążkiem hakowym, tylko pominięto w nich ucho na hak drążka, dodano zaś trzeci (obrotowy) izolator. Korba, umieszczona na wierzchołku izolatora obrotowego, podnosiła i opuszczała nóż. W 1924 r. Koppitz stworzył pierwsze nowoczesne odłączniki o podwójnym ruchu noża. Odłączniki te zużywają drugi ruch, zwykle jako dalszy ciąg ruchu pierwszego (zamknięcie odłącznika), na wywarcie ciśnienia na styki po wejściu noża w szczękę lub jeszcze podczas

wchodzenia. W tym drugim ruchu występują znacznie większe siły, niż w pierwszym. Zasada podwójnego ruchu pozwoliła na zbudowanie odłączników o dużym ciśnieniu, jakie znamy dzisiaj.

Duże ciśnienie w stykach może być uzyskane różnymi drogami. Np. styki są dociskane wprost do siebie. W innych konstrukcjach nóż w kształcie płaskownika obraca się w sprężystej szczęce i ustala odpowiednie ciśnienie itd. Każdy z tych sposobów ma swe zalety, lecz należy pamiętać, że wszelkie dodatkowe łożysko jest dodatkowym punktem narażonym na korozję i wytwarzającym dodatkowe tarcie; wszelkie dodatkowe połączenie, czy dodatkowa dźwignia jest jeszcze jedną częścią, która może się złamać lub obmarznąć lodem. Mechanizm winien być zatem jak najprostszyszy i składać się z jak najmniejszej liczby ruchomych części.

Opis odłącznika. Odłącznik, zaprojektowany w myśl powyższych rozważań, wyróżnia się prostotą; ma tylko trzy ruchome części i jeden odsłonięty styk. Jest to typ odłącznika o nożu obrotowym. Wybrano tu ruch obrotowy noża dlatego, że pozwala on uzyskać ciśnienie stykowe w szczęce za pomocą pojedynczego noża przy najprostszym rozwiązaniu mechanicznym. Unika się w tym wypadku konieczności pewnej liczby równoległych połączeń od strony przegubu oraz usuwa się możliwość występowania sił zginających izolator ze szczękami w czasie operowania odłącznikiem. Poza tym dopuszczalne są bez wpływu na prawidłowość działania odłącznika znaczne nawet odchylenia tegoż izolatora od pozycji normalnej wskutek naprężeń ze strony linii lub szyn rozdzielczych.

W czasie otwierania odłącznika nóż obraca się aż do zaniku ciśnienia stykowego, pokonując duże siły tarcia, a następnie podnosi się przy zwolnionym styku z łatwością. Przy zamykaniu odłącznika przebieg jest odwrotny. Zupełny zanik ciśnienia stykowego nim nastąpi ruch pionowy noża jest rzeczą najistotniejszą. Wzajemna zależność między ruchem obrotowym izolatora, ruchem obrotowym noża i ruchem pionowym noża podana jest na rys. 1. Idealną kolejność ruchów noża osiągnięto dzięki uryści niezależnych od siebie części do dokonania dwu różnych czynności.

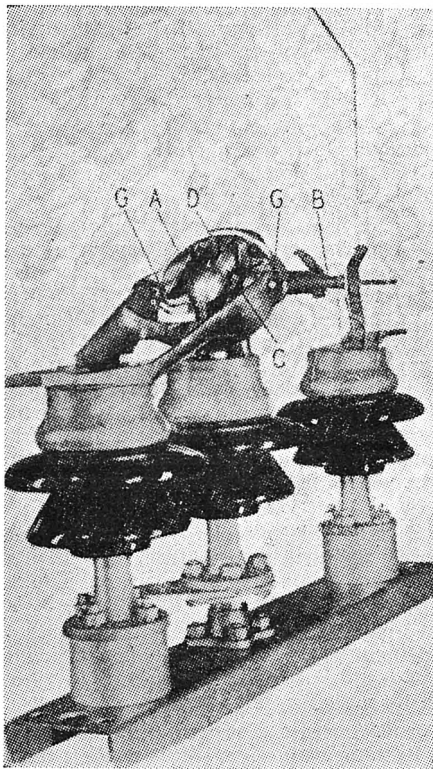


Rys. 1. Zależność ciśnienia stykowego w % (krzywa A), obrotu noża w stopniach (krzywa B) i kąta podniesienia noża w stopniach (krzywa C) od kąta obrotu izolatora w stopniach.

Mechanizm, wykonujący taką kolejność ruchów noża, jest pokazany na rys. 2. Nóż rurowy B jest wmontowany w pokrywę A mechanizmu z możliwością obrotu około swej osi. Pokrywa A obraca się razem z tym izolatorem, działa na dwie odrębne części, dając w ten sposób dwa niezależne ruchy: ruchy stykowe i ruch podnoszenia noża. Do operowania odłącznikiem należy obrócić izolator środkowy za pomocą dźwigni, umieszczonej blisko podstawy odłącznika.

Ruchy stykowe uzyskuje się za pomocą dźwigni widełkowej. Widełki D obejmują ramię czynne C w ten sposób, że obrót ramienia powoduje obracanie się noża, a jedno-

częściej rolka, umieszczona na końcu ramienia, toczy się w rowku wewnętrznej powierzchni pokrywy A. Linia rowka jest tak zakreślona, że część jej, odpowiadająca pierwszemu 27,5 stopniom obrotu izolatora, leży na kole, zatonczonym przez rolkę dokoła osi trzpienia izolatora obrotowego.



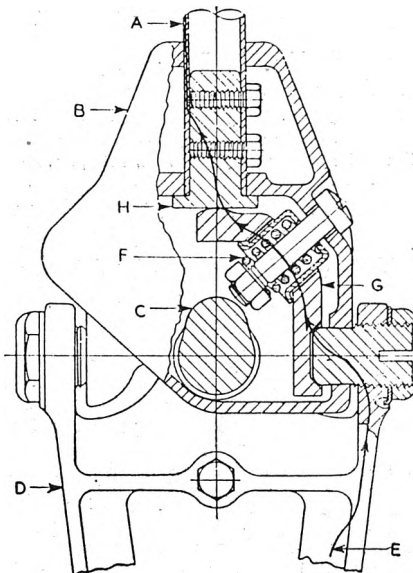
Rys. 2. Jeden z pierwszych modeli nowego odłącznika z wyciętą pokrywą dla pokazania mechanizmu napędowego noża (styki przegubowe niewidoczne).

wego. Podczas toczenia się rolki w tej części rowka tylko nóż obraca się dokoła własnej osi, natomiast pokrywa mechanizmu i oś noża pozostają nieruchome. Wzajemny stosunek obrotów jest tak dobrany, że jeden stopień obrotu izolatora powoduje obrót noża mniej więcej o dwa stopnie wówczas, gdy nóż pozostaje w szczękach. Ten szybki obrót noża pozwala na zupełne zluźnienie styku w szczękach, nim rozpocznie się ruch podnoszenia noża.

Ruch podnoszenia noża uzyskuje się przy dalszym obrocie izolatora, gdy rolka końcowa ramienia czynnego przejdzie

ustawny styk pięścieniowy; drugi koniec dociska do obrobionej powierzchni widełek, tworząc styk liniowy również samoustawny. Ciśnienie stykowe utrzymuje sprężyna z tak dobranym naciąganiem, że nawet przy najbardziej zużytych stykach działanie jest zapewnione. Bolec przegubowy wkręcony jest na gwint do podstawy mechanizmu i zabezpieczony przed odkręceniem zapomocą specjalnej podkładki i nakrętki, a co zatem idzie ciśnienie stykowe w tym miejscu nie może ulec zmianie.

Pokrywa mechanizmu kompletnie zakrywa styki przegubowe oraz części ruchome i chroni je w ten sposób przed oblodzeniem, co pozwala na operowanie odłącznikiem nawet podczas mrozu. Co więcej, całkowite osłonięcie części ruchomych przed słońcem, deszczem, kurzem oraz wpły-



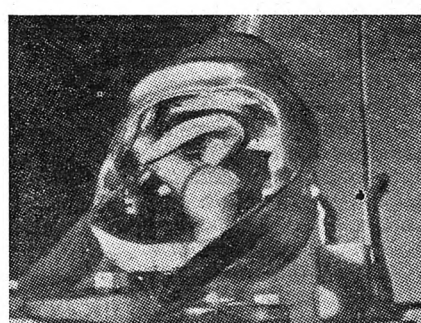
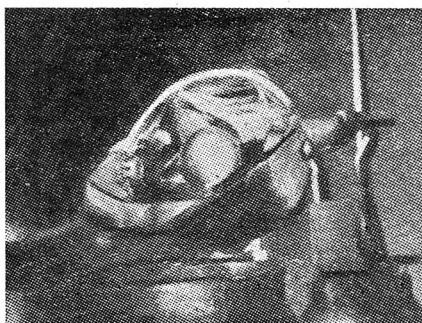
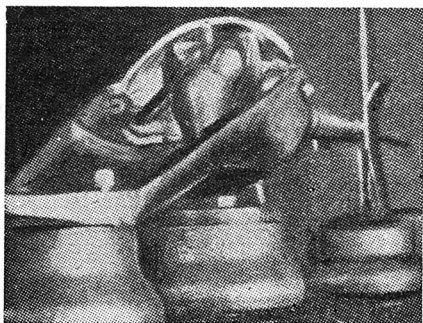
Rys. 4. Widok odłącznika z góry

- A — nóż
- B — pokrywa mechanizmu
- C — ramię czynne
- D — podstawa przegubowa
- E — droga prądu
- F — sprężyna
- G — wewnętrzny człon stykowy
- H — widełki

wami atmosferycznymi zmniejsza w znacznym stopniu korozję i wobec tego smarowanie jest zbyteczne.

Trudności, wynikające na skutek odpuszczania się utwardzonych metali nieżelaznych, jak twarda miedź, czy też brąz fosforowy, zostały usunięte przez zastosowanie, jako materiału na styki szczękowe, stopów utwardzanych sposobem termicznym.

W opisywanym odłączniku szczęki wykonano z berylowo-kobaltowej miedzi, stopu stosunkowo nowego, lecz już dobrze znanego i wypróbowanego. Przy dość wysokich tem-



Rys. 3. Widok odłącznika przy trzech różnych pozycjach noża

na pochylą część rowka. Tu rolka nie ma możliwości poruszania się w płaszczyźnie poziomej, natomiast pokrywa obraca się wraz z nożem, aż nóż osiągnie pozycję pionową. Przy jednostajnym obrocie izolatora nóż uzyskuje z początku jednostajne przyspieszenie aż do momentu osiągnięcia pewnej prędkości krańcowej, która następnie jest utrzymana aż do chwili całkowitego otwarcia odłącznika. Rys. 3 ilustruje kolejność ruchów noża.

Rys. 4 przedstawia widok z góry środkowej części odłącznika w częściowym przekroju, gdzie pokazana jest droga przepływu prądu oraz konstrukcja styków przegubowych. Jeden koniec wewnętrznego człona stykowego dociska do mocnego bolca przegubowego, dając samo-

peraturach, które wywiązują się podczas zwarć, stop ten nie ulega żadnym zmianom, podczas gdy twarda miedź, czy też brąz fosforowy odpuszczają się zupełnie. Daje to gwarancję, że twardość 90 Rockwella B i wytrzymałość na rozciąganie 6300 kg/cm² będą utrzymane przez cały okres pracy odłącznika, i pozwala na zastosowanie styków szczękowych jako części zarówno przewodzących prąd, jak i sprężynujących.

Styk na spłaszczonym końcu noża wykonany jest z miedzi chromowej, stopu utwardzanego podobnie jak miedź berylowo-kobaltowa. Chciaż sprężystość i twardość miedzi chromowej nie są tak wielkie, posiada ona jednak elektryczną przewodność, wynoszącą 80% w stosunku do miedzi,

gdy miedź berylowo-kobaltowa ma zaledwie 45%. Z tego powodu miedź chromowa jest idealnym materiałem na styki, dla których zbyt wielka twardość i sprężystość nie są wymagane.

Łatwość operowania odłącznikiem była traktowana, jako jedno z najważniejszych założeń przy jego projektowaniu. Okapturzony mechanizm nożowy, powyżej opisany, pozwala właśnie na lekkie pokonanie oporów nawet w momencie zwierania styków, kiedy tarcie jest największe. Tarcie zostało zredukowane przez użycie bardzo małej ilości części ruchomych i łożysk. W odłącznikach rzędu powyżej 15 kV izolator obrotowy jest zaopatrzony w suche łożysko kulkowe, względnie w rolkowe ze smarowaniem pod ciśnieniem. Dla wyższych napięć i prądów ciężar noża jest równoważony sprężynami.

J. Świtk.

WYMAGANIA OD KABLI I SPRZĘTU KABLOWEGO

Trebowania N. K. E. S. k. elektropromyszlennosci w otnoszeni silowych kabielej, kablinoj armatury i kontrolno-izmieritelnoj aparatury dla eksploataciji kablinoj linii. Elektrischeskije Stanciji (1945 r., nr 11, str. 21-23).

Zdarza się, że nawet kable niższych napięć (do 10 kV) nie spełniają należycie swej roli w sieciach współczesnych w warunkach, odbiegających od normalnych, a więc np. przy podwyższonej temperaturze grzania się, przy ułożeniu na trasach z większymi spadkami itp. A tymczasem kabel powinien sprostać takim warunkom. Pancerz żelazny powinien mieć należytą grubość i wystarczającą wytrzymałość mechaniczną. Płaszcz ołowiany powinien być wytrzymały na drgania mechaniczne (należy zapobiegać powstawaniu dużych kryształów). Jego grubość na obwodzie ma być równomierna, szwy podłużne mają być mocne, nie powinno być wgniotów, zmarszczek ani szczyrbów.

Oplot ochronny powinien zabezpieczać metalowe osłony kabla od korozji. Do tego potrzeba trwałego materiału jutowego i dobrej masy nasycającej. Masa powinna posiadać należyte własności klejące i nie powinna wyciekać przy niewysokich temperaturach. Niedostateczne nasycenie środkami przeciwwgnilnymi juty i papieru, które okrywają płaszcz ołowiany, powoduje szybki rozkład oplotów organicznych.

Izolację papierową powinno się wykonywać z taśm o dużej wytrzymałości mechanicznej, nie za szerokich i o nie zbyt dużym skoku. Kolejne warstwy taśmy papierowej nie powinny się pokrywać ściśle swą szerokością; taśma nie może być ponadrywana, nie może mieć pęknięć podłużnych ani zmarszczek. Masa, nasycająca izolację papierową, powinna posiadać dobre własności elektryczne i fizyczne. Ważny jest dobór dobrego oleju do masy. Lepkość masy nie powinna pogarszać się ze spadkiem temperatury. Braki izolacji papierowej i materiałów nasycających obniżają nie tylko własności elektryczne kabli, lecz i ich giętkość, a tymczasem powinno być możliwe układanie kabli przy temperaturze -10° , nawet -15° C bez podgrzewania.

W żyłach sektorowych nie powinny powstawać odkształcenia, na skutek których izolacja papierowa wykrzywia się, a przy zgięciu kabla nawet pęka. Jeżeli takie żyły nie są należycie ściśnięte, a izolacja papierowa jest słabo nawinięta, masa zaś nasycająca posiada duży współczynnik rozszerzalności, to materiał nasycający przesuwają się i wysycha miejscami, tworząc przestrzenie gazowe.

Dobry roztwór kredowy w połączeniu z dobrą masą, nasycającą oplot jutowy, zapobiegają sklejanemu się zwojów kabla na bębnie.

Bębny do nawijania kabla powinny mieć dużą wytrzymałość mechaniczną, liczącą się z trudnymi warunkami transportu. Osiąga się to przez racjonalną konstrukcję i zastosowanie odpowiedniego gatunku drzewa. Każdy wyprodukowany bęben kabla powinien być zaopatrzony w protokół, zawierający wyniki przeprowadzonych prób elektrycznych.

Zakłócenia w pracy kabli powstają najczęściej z powodu uszkodzenia muf, szczególnie krańcowych napowietrznych. Ich niedostateczna szczelność doprowadza do zawilgocenia izolacji i przebicia jej. Nieostrożne montowanie w tych mufach izolatorów przepustowych doprowadza do rozluźnienia styków wewnętrznych, a przy wadliwym zalewaniu muf tworzą się pęcherze powietrzne w masie zalewowej.

Montaż ołowianych muf złączowych wymaga bardzo wykwalifikowanego personelu. Przy osiadaniu gruntu mufy

ołowiane pod wpływem sił rozciągających ulegają uszkodzeniu. Konstrukcja tych muf na napięcie 6—10 kV powinna być oparta na zastosowaniu nowych materiałów izolacyjnych z celem uproszczenia montażu i zmniejszenia czasu na montaż. Wytrzymałość elektryczna muf ołowianych nie powinna ustępować wytrzymałości kabla w całym miejscu.

Zeliwne mufy złączowe powinny być wystarczająco szczelne. Masy kablone, którymi są one zalewane, nie powinny pękać przy zmianach temperatur, gdyż umożliwia to przedostawanie się wilgoci do izolacji papierowej.

Należy uważać za rzecz konieczną, aby same fabryki kablone wykonywały i dostarczały mufy. Wszelkie inne rozwiązanie jest gorsze i prowadzi do produkcji niedoskonałej, niekiedy sposobem chałupniczym.

Przemysł kablony w Z. S. R. R. winien przystąpić do produkcji muf krańcowych, złączowych, odgałęźnych oraz innego sprzętu potrzebnego do linii kablonych, a przede wszystkim muf krańcowych napowietrznych. Trójfazowe mufy krańcowe na napięcie nominalne 3—10 kV należy produkować dwóch typów: 1) typ przeznaczony do najbardziej odpowiedzialnej pracy, jak na stacjach i podstacjach, dogodny do remontu i posiadający nawet części stosunkowo skomplikowane, jak np. zamek olejowy; 2) typ prostszy do masowego zastosowania w sieciach rozdzielczych. W tym drugim typie trzeba szczególnie dbać o szczelność zewnętrznej osłony, stosować dobre masy, dobrze wykonywać wprowadzenie żył.

Oprócz powyższych muf należy wykonywać mufy jednofazowe i trójfazowe, napowietrzne, suche, na napięcia 6—10 kV, jednofazowe krańcowe z brązu na napięcia 10—35 kV i krańcowe głowicowe na napięcia 6—35 kV.

Konieczne jest zorganizowanie masowej produkcji zewnętrznych osłon do muf złączowych i odgałęźnych wysokiego i niskiego napięcia, płytek porcelanowych, głowic stożkowych, tulejek do montażu muf i głowic.

Konieczne jest produkowanie dobrych mas kablonych, odpornych na wysoką temperaturę, wilgoć i mróz, z małym współczynnikiem skurczu. Należy zwracać uwagę na ich dobre opakowanie.

Fabryki kablone powinny być obowiązane dostarczać kable razem ze sprzętem kablonym i kompletem niezbędnych materiałów montażowych.

Przemysł elektrotechniczny winien opracować i wykonywać seryjnie 2 typy specjalnych aparatów kenotronowych do badania linii kablonych: pierwszy typ — lekki, przenośny, na napięcie do 50 kV i drugi, nadający się do zainstalowania na samochodzie na napięcie do 100 kV. Również części rezerwowe do tych przyrządów powinny być dostarczane.

Należy wprowadzić wyrób urządzeń do wypalania kabli.

Konieczna jest produkcja przyrządów kontrolno-pomiarowych do eksploatacji linii kablonych, a mianowicie: przyrządów do wyszukiwania linii, przyrządów określających miejsce uszkodzenia kabli metodą indukcyjną, mostków kablonych, których nie należy wykonywać jako uniwersalnych ze względu na skomplikowaną budowę, aparatury do mierzenia prądów błądzących, a przede wszystkim uniwersalnych woltomierzy-miliamperomierzy magnetoelektrycznych, ogniw termoelektrycznych do pomiaru temperatury pracujących kabli łącznie z galvanometrami i tablicami na 10—12 styków w skrzynkach żeliwnych wodoszczelnych do instalacji napowietrznych, wreszcie megomierzy do sprawdzania kabli itp. Należy opracować przemysłowy wzór przyrządów, określających miejsce zapływającego przebicia w liniach kablonych systemu inż. Apuzkińskiego i wyprodukować kilka sztuk dla dużych zakładów energetycznych.

Pożądane jest produkowanie kabli gazowych niskiego i średniego ciśnienia na napięcie 10—35 kV. Przy wykonywaniu ich należy zwrócić uwagę na pewność ich pracy i jak najprostszą obsługę przy eksploatacji.

Należałoby stosować kable o napięciach nominalnych 35 kV i 60 kV ze zwykłą izolacją, a także na 110 kV „olejowych”. Kable te winny być stosowane w sieciach większych dużej mocy, a także jako odcinki w liniach napowietrznych, przechodzących przez miasto, również przy przejściach przez rzekę, tory kolejowe itp.

W związku z powyższym należy przywrócić produkcję kabli olejowych na napięcie 110 kV i wprowadzić produkcję

potrzebnego dla nich sprzętu. Przy ich produkcji trzeba dążyć do zmniejszenia grubości izolacji papierowej celem obniżenia ciężaru. Do obsługi linii kablowych na 110 kV należy opracować lekkie instalacje ruchome do odgazowywania oleju. Pożądane jest podjęcie produkcji kabli na napięcie 220 kV.

J. S.

WYMAGANIA OD NOWOCZESNYCH ELEKTRYCZNYCH PRZYRZĄDÓW MIERNICZYCH

Trebowania NKES k oteieczestwiennoej elektropromyslnenosti w otnoseni wy-puska elektroizmieritelnoej aparatury. Elektriczeskije Stancji (1945, Nr 6, 19-20).

Wytwórczość elektrycznych przyrządów mierniczych w Z. S. R. R. była niedostateczna przed wojną, a w okresie wojny zanikła całkowicie. Wznowiona po wojnie wytwórczość nie jest dostateczna; przyrządy laboratoryjne nie są jeszcze budowane.

Rada Techniczna N. K. E. S., łącząc się z rozwojem energetyki, uznała za konieczne stworzenie elektrotechnicznego przemysłu przyrządów mierniczych na poziomie techniki nowoczesnej, zaspakajającego całkowicie potrzeby energetyki i ustaliła następujące warunki techniczne.

W przyrządach odczytowych dla tablic rozdzielczych należy osiągnąć łatwość i dokładność odczytu oraz zwartość budowy celem największego wyzyskania miejsca. Przyrządy należy wykonywać w dwu odmianach, jako normalne i małe, w obu przypadkach w formie kwadratu. W postaci normalnej układ mierniczy musi być umieszczony w prawym dolnym rogu przyrządu i posiadać skalę o rozwartości 90°, w przyrządach zaś małych rozwartość skali powinna objąć 270°.

Skala amperomierzy prądu zmiennego na 5 A powinna uwzględniać przeciążalność 7,5 do 10 A.

Woltomierze prądu zmiennego muszą być budowane o skali z całkowitym zakresem wskazań, oraz w wykonaniu z zerem ukrytym, dla zakresu wskazań od 90 do 100% wartości nominalnej odczytu.

Trójfazowe watomierze mocy czynnej dla sieci o nierównomiernym obciążeniu na żądanie powinny być budowane z przełącznikiem, pozwalającym przełączać przyrządy do pomiaru mocy biernej.

Powinna być zapewniona wytwórczość częstościomierzy wskazówkowych, które o zakresie skali 48 do 52 Hz powinny odpowiadać klasie dokładności 0,5, o zakresie zaś 49 do 51 Hz klasie dokładności 0,2.

Wszystkie elektryczne przyrządy miernicze, z wyjątkiem częstościomierzy i woltomierzy o zerze ukrytym (dla tych ostatnich przew. dziana dokładność $\pm 0,2\%$), powinny odpowiadać klasie dokładności 1,5.

Do zdalnego pomiaru temperatur powinny być dostarczane całkowite urządzenia w wykonaniach następujących: termometr elektryczny oporowy w układzie mostkowym ze zwojniczką skrzyżowaną, pirometr termoelektryczny z termoelementem miedź-konstantan i miliwoltomierzem, termometr manometryczny z termo-zbiornikiem i rurką kapilarną do 60 m długości.

W stosunku do przyrządów samopiszzących postawiono wymagania, aby oprócz typu normalnego podjęta była budowa przyrządów o dwu prędkościach. W tych ostatnich przy obniżeniu napięcia o 20% wartości nominalnej powinny być samoczynnie powiększany przesuw papieru z prędkości nominalnej 10 mm/h do 36000 mm/h w celu rejestracji przebiegu zjawisk podczas wypadku. Woltomierz o dwu prędkościach powinien być trójukładowy

w celu jednoczesnej rejestracji napięć na wspólnej taśmie we wszystkich trzech fazach.

W dziedzinie przyrządów specjalnych wysunięto wymagania wyrabiania woltomierzy i watomierzy zdalnych oraz megawatomierzy, przeznaczonych w elektrowniach dla urządzeń kotłowych. Te megawatomierze powinny sumować obciążenia, a urządzenia odczytowe tych przyrządów powinny posiadać dwa wskaźniki świecące, z których jeden podaje moc przewidzianą w wykresie rozrządczym, drugi zaś moc, dostarczaną przez elektrownię.

Wykaz przyrządów montażowych, przewidzianych do wytwarzania, obejmuje oprócz przyrządów pojedynczych również całkowite zespoły pomiarowe walizkowe, w których zmontowane byłyby przyrządy małe w różnych układach mierniczych do pomiaru różnych wielkości elektrycznych. Wykaz zawiera również przenośne urządzenia miernicze do badania na miejscu pracy przekładników i układów przekładnikowych oraz elektrycznych przyrządów mierniczych do badania stanu izolacji urządzeń wysokiego napięcia oraz do wykrywania miejsca uszkodzenia kabla.

W celu kontrolowania stanu sieci wysokiego napięcia uznano za niezbędne wypuszczenie na rynek drążków mierniczych, przeznaczonych do mierzenia temperatur i spadku napięcia na stykach oraz do badania izolatorów w łańcuchach.

Dla laboratoriów przemysłowych, współpracujących z energetyką, zażądano stoisk mierniczych stałych i przenośnych, przeznaczonych do sprawdzania elektrycznych przyrządów mierniczych, przekładników i liczników energii elektrycznej, dalej urządzeń kenotronowych, specjalnych stoisk do badania urządzeń z dziedziny techniki bezpieczeństwa, urządzeń do badania wytrzymałości elektrycznej oleju oraz urządzeń do określania miejsca uszkodzeń oraz trasy kabli metodą indukcyjną. Wreszcie przewidziano dostarczanie mostków Scheringa do 100 kV, oscylografów pętlcowych, oscyloskopów katodowych oraz szeregu przyrządów mierniczych dokładnych.

W celu zasilania urządzeń laboratoryjnych źródłami energii o wartościach napięć i prądów, nie podlegających wahań pod wpływem czynników postronnych, oraz utrzymania w odpowiednich granicach mocy tych urządzeń powinna być rozpoczęta budowa zespołów składających się z silnika prądu stałego 110–220 V o mocy 2 do 3 kW i dwóch generatorów trójfazowych 3×220 V, zaopatrywanych w urządzenie zdalne do wzajemnego przesunięcia fazowego obu generatorów.

Powinny być dostarczane prócz tego prostowniki o mocy 100 do 200 VA ze statecznością $\pm 0,01\%$, transformatory próbnicze napięciowe do 350 kV o mocy 350 kVA oraz obciążeniowe transformatory prądowe do 3000 A o mocy do 3 kVA.

Jako urządzenia regulacyjne powinny być dostarczane oporniki typu Ruhstrat oraz jednoczojnicowe transformatory regulacyjne typu „Variac” dla prądów do 150 A i napięć do 380 V.

Oprócz dostarczania przyrządów mierniczych niezbędne jest rozpoczęcie fabrykacji części wymiennych, materiałów oraz specjalnych narzędzi, koniecznych do naprawy elektrycznych przyrządów mierniczych według osobnego zestawienia.

Wobec dużego braku specjalistów w dziedzinie techniki mierniczej uznano za konieczne powołanie naukowo-technicznego środowiska do opracowywania elektrycznych przyrządów i metod mierniczych, jak również do przygotowania zawodowego odpowiednich specjalistów na wszystkich szczeblach tej specjalności.

B. J.

Kabel olejowy na 154 kV w pionowej pozycji na długości 50 m*)

Kable izolowane papierem i nasycane olejem można budować z gwarancją pewności ruchu do 60–70 kV. Nie można podwyższyć tej granicy napięcia przez samo powiększanie grubości izolacji. Olej bowiem używany do nasycania posiada stosunkowo duży współczynnik rozszerzalności. Podczas ochładzania się kabla, np. po spadku

obciążenia, olej kurczy się, wytwarzając próżnię. W izolacji papierowej tworzą się wtedy pęcherzyki, w których zbiera się gaz rozpuszczony pod ciśnieniem w oleju. Wytrzymałość dielektryczna pęcherzyków gazu jest niewielka, tak że przy dostatecznie dużym napięciu następuje jonizacja i przebicie izolacji. Celem przeciwdziałania tworzeniu się pustych przestrzeni stosuje się kable napełnione olejem,

*) Z materiałów firmy ASEA

będącym stale pod ciśnieniem. Kabel taki, zwany olejowym, ma w środku kanał, który na obu końcach, a przy większych długościach nawet w punktach pośrednich połączony jest ze zbiornikami tłocznymi oleju, które we wszelkich warunkach ruchu utrzymują w kablu nadciśnienie. Gdy kabel się rozgrzewa, olej przepływa do zbiorników, podczas ochładzania się olej płynie w kierunku odwrotnym. Kable olejowe są przeważnie jednożyłowe.

Dla kabli olejowych dopuszczalna jest najwyższa temperatura w żyłce 70°C , znacznie wyższa niż dla kabli normalnego wykonania; wskutek tego obciążalność kabla olejowego jest większa o kilkadziesiąt procentów od obciążalności kabla zwykłej budowy w założeniu, że oba rodzaje kabla mają jednakowy opór cieplny. W rzeczywistości kabel olejowy ma cieńszą izolację i dlatego mniejszy opór cieplny.

Kabel olejowy na 66 kV ma izolację o grubości ok. 8,5 mm, tj. mniej więcej takiej samej, jak kabel normalnej budowy na napięcie 33 kV. Grubość izolacji kabla na 220 kV wynosi 24 mm, co odpowiada natężeniu 5,3 kV/mm.

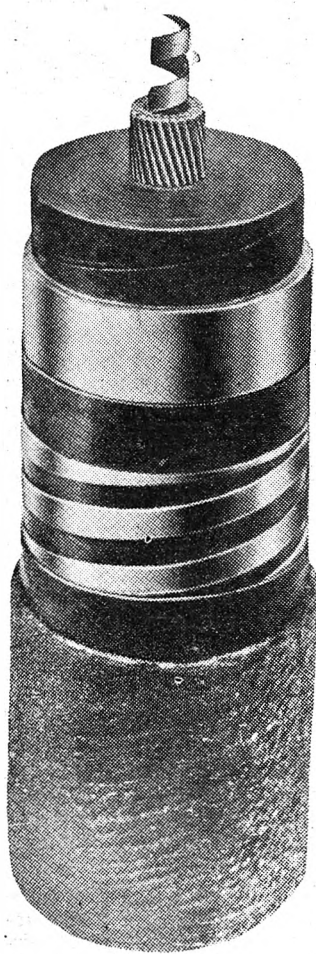
Wybór średnicy kanału olejowego jest zagadnieniem gospodarczym: im mniejszy kanał, tym tańszy kabel, lecz

Długości poszczególnych odcinków kabla zależą nie tylko od wymiarów kabla, objętości oleju, średnicy kanału, zmian temperatury, lecz i od profilu całej trasy kablowej. Przy dużych spadkach długości odcinków kabla muszą być tak wybrane, by statyczne naprężenia w najniższej położonej części odcinka nie były nadmierne. Właściwości terenu często nie pozwalały na umieszczenie muf działowych i zbiorników tłocznych w tych punktach, które zostały według obliczeń przewidziane.

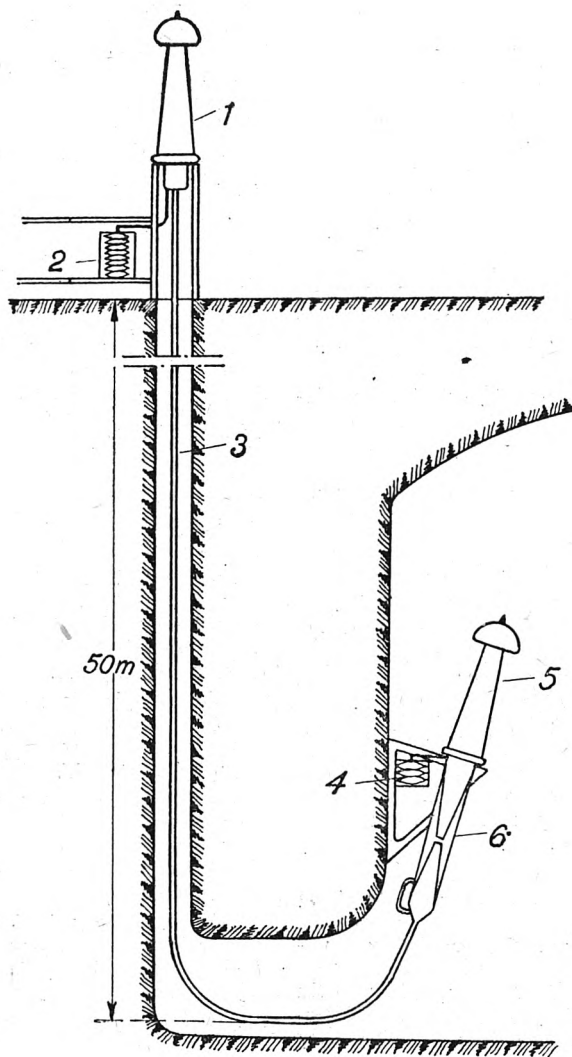
Mufy działowe zabezpieczają kabel od upływu oleju, dzięki czemu tylko jeden odcinek kabla może być pozbawiony oleju. Warunki chłodzenia są w zasadzie miarodajne przy projektowaniu układu olejowego kabla, wobec niebezpieczeństwa tworzenia się próżni.

Instalacja kablowa w elektrowni Porjus składa się z czterech olejowych kabli jednofazowych na napięcie robocze 154 kV i 50 okr./sek. Trzy kable służą do przenoszenia mocy, czwarty zaś pracuje jako izolowany punkt zerowy.

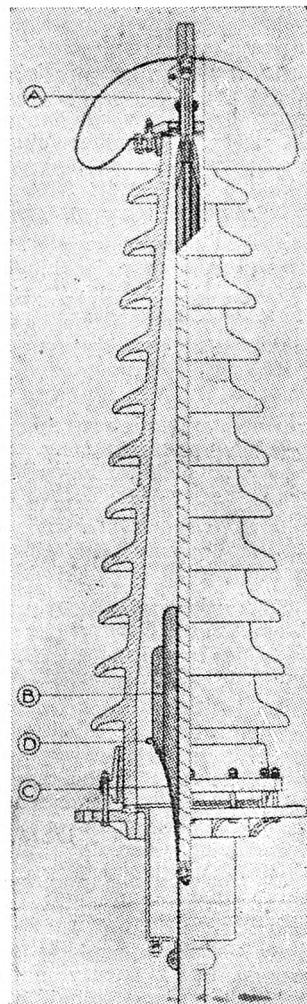
Kable wykonane zostały według sposobu Pirellego i mają w środku podłużny kanał olejowy (rys. 1). Zastosowany olej mineralny jest dosyć rzadki i znajduje się stale pod ciśnieniem. Kanał środkowy o średnicy 8,8 mm



Rys. 1. Ustrój kabla olejowego na 220 kV



Rys. 2. Układ olejowy kabla na 154 kV w elektrowni Porjus
1,5 mufy końcowe, 2,4 zbiorniki tłoczne, 3 kabel na 154 kV, 6 spec. mufa końcowa



Rys. 3. Przekrój mufy końcowej

jednocześnie wzrasta tarcie oleju w kanale, co wymaga dodatkowych zbiorników tłocznych, a więc podnosi koszty.

Długi kabel dzieli się na odcinki za pomocą tzw. muf działowych, które nie pozwalają na przepływanie oleju z jednego odcinka kabla do drugiego. Długości fabryczne kabli, wynoszące zazwyczaj ok. 500 m, łączy się za pomocą muf przepływowych. Zbiorniki olejowe tłoczne można łączyć zarówno do muf działowych, jak i przepływowych.

składa się ze stalowej spirali (z taśmy $6\text{ mm} \times 0,5\text{ mm}$), wokół której nawinięta jest żyła miedziana. Przekrój żyły wynosi 130 mm^2 . Izolacja składa się z mytego papieru celulozowego, który w kształcie taśmy owinięty jest na żyłę. Grubość izolacji wynosi 18 mm, grubość płaszczka ołowianego — 3,5 mm.

Kabel jest opancerzony dwiema taśmami miedzianymi $10 \times 0,4\text{ mm}$, nawiniętymi z niewielkim skokiem, aby wy-

trzymywać duże ciśnienie oleju (ciśnienie statyczne ok. 5,5 kg/cm²), powstające z powodu dużej różnicy poziomów.

Napężenie, powstające w kablu wskutek jego własnego ciężaru, jest przejmowane przez opancerzenie, składające się z 12 miedzianych taśm 10 × 0,4 mm, wznoszących się w kierunku podłużnym. Oprócz tych pancerzy kabel zaopatrzony jest w dodatkowy płaszcz ołowiany o grubości 2 mm, przewidziany jako ochrona przeciwko działaniom korozyjnym. Z zewnątrz kabel jest dwukrotnie opleciony masywną jutą. Zewnętrzna średnica kabla wynosi 77 mm, a waga kabla 18 300 kg/km.

Kable dostarczono nawinięte na bębnoch, zaopatrzonych w zbiorniki tłoczne, które utrzymują olej pod ciśnieniem zarówno podczas transportu, jak i podczas montażu.

Zbiorniki tłoczne posiadają kształt cylindrów średnicy ok. 0,5 m i normalnej wysokości ok. 1 m. Zbiornik wewnątrz posiada pewną liczbę komór hermetycznie zamkniętych i zawierających powietrze. Komory mają kształt płaski i powierzchnię falistą, ażeby nie mogły się zgniatć i odkształcać. Olej w zbiorniku wypełnia całkowicie przestrzeń między komorami. Żaden gaz nie może wejść w bezpośrednie zetknięcie z olejem. Przestrzeń olejowa jest całkowicie zamknięta i olej w całym kablu jest wolny od gazu, wskutek tego jest zabezpieczony od utleniania się i zachowuje niezmiennie swoje własności. Normalnie ciśnienie robocze wynosi ok. 1 kg/cm².

Duże ciśnienie oleju w dolnym końcu kabla przejmuje specjalna mufa końcowa, składająca się właściwie z dwóch muf końcowych (porcelanowe stożki), zwróconych ku sobie wierzchołkami i zamkniętych we wspólnej osłonie. Dzięki łącznikowi rurowemu między końcem kabla a przestrzenią wewnątrz mufy specjalnej (rys. 2) wysokie ciśnienie oleju wytwarza nadciśnienie w górnym uszczelniającym izolatorze.

Specjalne mufy końcowe nawinięto i nasycono w fabryce. Około 16 000 m papieru celulozowego różnej szerokości zużyto na wykonanie jednej mufy. W czasie transportu i montażu, do części środkowej mufy włączony bywa mały zbiornik tłoczny.

Podczas montażu mufy końcowej na kablu olej pod ciśnieniem w kablu zostaje odcięty za pomocą specjalnego zaworu, umieszczonego na końcu kabla.

Po wykonaniu czynności ewakuacyjnych i nasykania doprowadza się do oleju w mufie końcowej ciśnienie wyższe aniżeli ciśnienie oleju w kablu, wskutek czego mechanizm zamykający zawory odmyka się, wytwarzając połączenie między kanałem olejowym w kablu a mufą.

Przekrój mufy końcowej podany jest na rys. 3. Na

koniec żyły kabla wprasowana jest specjalna rurka miedziana (A), w której może się poruszać tłok stalowy, a to w tym celu, by można było podczas montażu oddzielić kanał olejowy od mufy. Na końcu pancerza ołowianego grubość izolacji jest zwiększona (B). Stożek (C) owinięty został drutem ołowianym i zakończony miedzianym pierścieniem (D). Po skończeniu nasykania i wypompowaniu powietrza tłok stalowy podnosi się, wskutek czego powstaje połączenie między mufą końcową a kanałem olejowym dla przepływu oleju.

Podczas montażu muf trzeba było przez cały czas zasilać kabel olejem z drugiego końca, ażeby powietrze nie dostało się do izolacji, przy czym celem całkowitego wykorzystania rozszerzalności zbiornika tłoczego, podczas montażu górnej mufy końcowej, zbiornik tłoczny został umieszczony na ziemi i połączony opancerzoną rurą ołowianą z drugą, dolną mufą końcową.

Dolne mufy końcowe posiadają bezpośrednio nabudowane mufy specjalne. Obie te mufy po wykonaniu poddane zostały dokładnym próbom na szczelność, po czym zastosowano specjalne środki uszczelniające mufy na olej.

Układ rozdzielczy oleju wykonany został w Elektrowni Porjus podług rys. 2.

Przy górnych mufach kablowych (1) przewidziany został dla każdego kabla jeden zbiornik oleju (2) typu B 80, który zasila mufę końcową i kabel w dół aż do mufy specjalnej (6). Na dolnych końcach kabla mniejszy zbiornik ciśnieniowy (4) zasila mufę końcową (5) i górną część mufy specjalnej 6 (1 kg/cm²).

Przy udziale Królewskiego Zarządu Spadków Wodnych kable poddawane były w ciągu całego procesu fabrykacji bardzo dokładnym próbom. W ten sposób wykonane zostały próby szczelności płaszczu ołowianego oraz próby podczas suszenia i impregnowania. 10-metrowy odcinek kabla próbowany pod ciśnieniem 25 atn w ciągu 50 godzin nie wykazał na płaszczu ołowianym żadnych odkształceń ani też przecieków. Dopiero kiedy ciśnienie zwiększono do 50 atn, kabel rozerwał się.

Próbie na napięcie wykonano w fabryce przy 170 kV, 50 okr. w ciągu 15 min. Straty dielektryczne zmierzone zostały przy różnych napięciach. Przy 154/√3 kV tgδ wzrósł do 0,003. Ponadto dwa dziesięciometrowe odcinki kabla poddane zostały próbie napięciowej na czas w ciągu 50 godzin napięciem 240 kV, które następnie zwiększono do 320 kV i trzymano aż do przebiccia kabla.

Kabel, po ułożeniu go w elektrowni Porjus, poddano próbie napięciem 142 000 V do ziemi w ciągu 15 minut.

Ustawa o upaństwowieniu energetyki we Francji

1. Zakres i przedmiot upaństwowienia.

Ogłoszona w kwietniu 1946 r. ustawa*) postanawia o upaństwowieniu wytwarzania, przesyłania, rozdzielania, importowania i eksportowania energii elektrycznej i gazu palnego z wyjątkiem gazu ziemnego.

Ustawodawca francuski określił kilka granic dla przedmiotu upaństwowienia. Pierwszym ograniczeniem jest ograniczenie geograficzne. Manowicie upaństwowieniu z mocy tej ustawy podlegają zakłady istniejące na terenie Francji - metropolii.

Drugim ograniczeniem jest cel, któremu służy przedsiębiorstwo. Tu ustawa używa określenia, że upaństwowieniu podlegają przedsiębiorstwa, których główną czynnością jest wytwarzanie, przesyłanie i rozdzielanie energii elektrycznej lub gazu, albo udział w prowadzeniu lub eksploatacji tego rodzaju przedsiębiorstw. Jeśli więc przedsiębiorstwo służy jeszcze innym celom przemysłowym, to upaństwowieniu z mocy tej ustawy podlega tylko jego część energetyczna. Jeśli przedsiębiorstwo nie ma za swój główny cel wytwarzania, przesyłania i rozdzielania energii elektrycznej i gazu, lecz posiada urządzenia, które mogą służyć temu celowi, a urządzenia te mają bezpośrednio charak-

ter użyteczności publicznej, wówczas dekret, wydany na wniosek ministra przemysłu i ministra skarbu, może postanowić o upaństwowieniu tych urządzeń. W razie pośredniej użyteczności publicznej urządzeń, nie podlegają one upaństwowieniu, lecz produkcja tych urządzeń może być w razie potrzeby w całości lub w części przejęta przymusowo na użytek publiczny.

Trzecim ograniczeniem jest wielkość produkcji przedsiębiorstwa. Dla określenia tego ograniczenia przyjęto średnią, rzeczywistą produkcję w latach 1942 i 1943 (lata okupacyjne!) i granicę określono na 12 mln. kWh rocznie dla energii elektrycznej i 6 mln. m³ rocznie dla gazu. Jeżeli jednak przedsiębiorstwa energetyczne działają na podstawie koncesji, udzielonej przez ciała publiczne na prawo rozdzielania energii albo gazu bez zawarowanego przejęcia majątku przez te ciała po upływie koncesji, w wypadku zaś przedsiębiorstw elektrycznych także jeżeli przedsiębiorstwa te mają charakter okręgowy albo państwowy, wówczas przedsiębiorstwa takie podlegają upaństwowieniu bez względu na wielkość produkcji. Nowe przedsiębiorstwa energetyczne o produkcji rocznej niższej od wyżej podanej mogą powstawać w wypadkach szczególnych za zgodą instytucji, która będzie sprawować od chwili ogłoszenia ustawy zarząd nad upaństwowioną energetyką. Jeśli jednak produkcja roczna nieupaństwowionych przedsiębiorstw przekroczy 15 mln. kWh energii elektrycznej lub 7 mln. m³ gazu rocznie w ciągu

*) Loi n° 46 — 628 du 8 avril 1946 sur la nationalisation de l'électricité et du gaz (Journal officiel 8 — 9 kwietnia 1946 r., str. 2951 — 2957. Sprostowanie omyłek: Journal officiel, 18 kwietnia 1946 r., str. 3254).

dwóch kolejnych lat, to zostaną one upaństwowione na podstawie dekretu na wniosek ministrów przemysłu i skarbu. Nie podlegające upaństwowieniu przedsiębiorstwa gazowe, jeżeli znajdzie się na szlaku przewodu gazowego, może być zobowiązane do zaopatrywania się w gaz z tego przewodu, a odmowa może być powodem do zarządzenia o upaństwowieniu tego przedsiębiorstwa.

Czwartym ograniczeniem jest dotychczasowa przynależność zakładu energetycznego. W tym ograniczeniu wyłączone są spod upaństwowienia według postanowień niniejszej ustawy zakłady elektryczne, będące własnością przedsiębiorstwa kolei państwowych, oraz zakłady elektryczne i gazowe, należące do państwowych kopalń węgla. Jednak zakłady takie będą prowadzone przez specjalne komitety mieszane pod ogólnym zwierzchnictwem energetycznym państwowym. Skład i kompetencje tych komitetów będą ustalone w osobnym dekrete. Gdy zakład energetyczny należy do innego typu przedsiębiorstwa przemysłowego niż kolej i kopalnie węgla, a połączeń technicznych między zakładem energetycznym i przemysłowym nie można przerwać bez poważnej szkody i straty, to taki zakład energetyczny podlegnie upaństwowieniu, lecz prowadzony będzie również przez specjalny komitet mieszany o składzie i kompetencjach określonych dekretem i również pod zwierzchnictwem energetycznym państwowym.

Spółki rozdzielcze mieszane, w których państwo albo związki publiczne mają większość udziałów, przedsiębiorstwa publiczne lub podobne instytucje utworzone przez zbiorowości lokalne, spółdzielnie odbiorców i spółdzielnie rolnicze pozostają w sytuacji dotychczasowej do chwili zorganizowania odpowiednich SD.

Jeżeli rozdzielanie energii elektrycznej lub gazu było przed wejściem w życie ustawy w eksploatacji przedsiębiorstw publicznych lub podobnych instytucji utworzonych przez zbiorowości lokalne lub przez spółki, w których te zbiorowości miały większość udziałów, natenczas instytucje te lub spółki będą w ramach poszczególnych SD zorganizowane względnie przekształcone na zakłady publiczne komunalne lub międzykomunalne, które przybiorą wówczas nazwę „przedsiębiorstwa publicznego” z wymienieniem nazwy danej zbiorowości.

Stosunki tych przedsiębiorstw publicznych z SD, ich organizację, powoływanie zarządców i kontrolę ich rachunkowości określają rozporządzenia administracyjne. Spółdzielnie odbiorców i spółdzielnie rolnicze, mające koncesje, mogą również być zachowane w ramach SD, a ich stosunki z SD i stan prawny podlegają także określeniu w drodze rozporządzenia. Z tymi zastrzeżeniami wymienione zresztą zachowują swą samodzielność.

Poza przypadkami odmiennej umowy — związki publiczne lokalne pozostają właścicielami instalacji, które do nich należą, albo instalacji, eksploatowanych na mocy umów dzierżawnych lub koncesyjnych, a które miałyby przysiąc im bezpłatnie po wygaśnięciu umowy.

Wykazy przedsiębiorstw podlegających upaństwowieniu będą ogłoszone w formie dekretów na wniosek ministra przemysłu i ministra skarbu.

Przedmiotem upaństwowienia jest, w zależności od wyżej omówionych postanowień, odpowiednio całość lub część majątku, praw i zobowiązań przedsiębiorstwa.

Spory, które mogą wyniknąć między państwem i instytucjami, powołanymi do sprawowania zarządu nad upaństwowioną energetyką, z jednej strony, a przedsiębiorstwami zainteresowanymi z drugiej strony, będą rozstrzygane przez arbitraż.

2. Organizacja i działalność energetyki.

Zarząd i prowadzenie działalności upaństwowionych zakładów energetycznych powierza się dwu głównym instytucjom o nazwach: „Électricité de France — Service National” i „Gaz de France — Service National”. Dla krótkości w dalszym ciągu instytucje te będą nazywane, zgodnie zresztą z ustawą, odpowiednio EDF i GDF.

Zakres ich działalności obejmuje głównie budowę i rozbudowę urządzeń, a w wypadku energii elektrycznej również jej produkcję, oraz studia nad środkami i urządzeniami gospodarki energetycznej.

Zarząd i prowadzenie rozdzielania energii elektrycznej w terenie, a w wypadku gazu również jego produkcji powierza się okręgowym instytucjom terenowym o nazwie:

„Électricité de France — Service de distribution...”
„Gaz de France — Service de production et de distribution...” z podaniem odpowiedniej nazwy geograficznej lub administracyjnej. Jako skrótów w dalszym ciągu określać się je będzie literami SD.

EDF i GDF są nadrzędne, każda w swoim zakresie zawodowym, w stosunku do terenowych SD.

Wszystkie te instytucje, tj. EDF, GDF i SD są instytucjami publicznymi o charakterze przemysłowym i handlowym. Prowadzić będą sprawy swych finansów i rachunkowość według zasad przyjętych w spółkach przemysłowych i handlowych i podlegają ogólnym przepisom podatkowym. EDF, GDF i SD posiadają samodzielność finansową, a co za tym idzie, także handlową i techniczną. EDF, GDF i poszczególne SD mogą nabywać, zbywać, dzierżawić wszelkiego rodzaju majątek i zarządzać nim; mogą także korzystać z kredytu na normalnych warunkach jak dla przedsiębiorstw przemysłowych.

Z chwilą przejęcia przedsiębiorstw, podlegających upaństwowieniu, EDF i GDF wstępują we wszystkie prawa i zobowiązania poprzednich przedsiębiorców bez względu na ewentualne odmienne przepisy, lub umowy. Wszelkie umowy cywilne i handlowe, zawierające zobowiązania w stosunku do osób prawa prywatnego na okres przekraczający 1. I. 1948, mogą być jednak wyłączone do tej daty.

Z chwilą urzędowego stwierdzenia użyteczności publicznej, urzędzenia EDF, GDF i poszczególnych SD objęte projektami tych instytucji, zatwierdzonymi przez ministra przemysłu, korzystają z prawa ustawiania słupów, umocowywania urządzeń, prowadzenia przewodów, przez drogi i posesje, cięcia drzew, użytkowania dróg i mostów i czasowego zajmowania terenów. Przewiduje się specjalne ułatwienia przy procedurze stwierdzenia użyteczności publicznej w zakresie działalności, związanej z elektryfikacją i gazyfikacją.

Organami zarządzającymi EDF, GDF i poszczególnych SD są rady zarządzające oraz dyrektorzy naczelni, powoływani dla EDF i GDF dekretem na podstawie uchwały rady ministrów, a dla SD — uchwałą rady zarządzającej. Do czasu ukonstytuowania się rad funkcje ich sprawują komisarze tymczasowi. Złożą oni sprawozdania radom zaraz po ich ukonstytuowaniu się. Z chwilą otrzymania przez komisarza pokwitowania od właściwej rady uprawnienia jego wygasają.

Do czasu powołania nowych dyrektorów pełnią swe funkcje nadal dotychczasowi dyrektorzy przedsiębiorstw, podlegających przejęciu z tytułu upaństwowienia.

Przewiduje się specjalne sankcje karne za naruszenie przepisów ustawy o upaństwowieniu. Kary sięgają 5 lat więzienia i pół miliona franków.

Rady zarządzające EDF, GDF i poszczególnych SD składają się w każdym wypadku z 18 osób, mianowanych — w wypadku EDF i GDF — dekretem na wniosek ministra przemysłu, w wypadku zaś SD — przez EDF wzgl. GDF.

Dla rad EDF i GDF ustawa przewiduje następujący skład: 6 przedstawicieli państwa (1 wysunięty przez min. gosp. narod., 2 przez min. przem., 1 przez min. skarbu, 1 przez min. roln., 1 przez min. robót publ.), 6 przedstawicieli odbiorców (4 delegatów miejscowych organizacji energetycznych rozdzielczych, 1 przedstawiciel przemysłowców będących wielkimi odbiorcami energii, 1 przedstawiciel zrzeszeń rolniczych w wypadku EDF lub związku stowarzyszeń rodzinnych w wypadku GDF), 6 przedstawicieli personelu na wniosek związków zawodowych (3 pracown. techn.-adm., 1 urzędnik, 2 robotników). Dyrektorzy naczelni EDF i GDF mianowani są dekretem na wniosek ministrów gospodarki narodowej i przemysłu, oparty na propozycji rad zarządzających, a przyjęty przez radę ministrów, spośród osób uzdolnionych do tych czynności i posiadających odpowiednią praktykę. Te same osoby nie mogą zasiadać jednocześnie w radach EDF i GDF. Członkiem rady ani dyrektorem nie może być członek parlamentu. Przewodniczącemu rady i dyrektorowi nie wolno zasiadać w radach przedsiębiorstw prywatnych.

Skład rady poszczególnej SD ma być następujący: 4 przedstawicieli z ramienia EDF lub GDF, 6 przedstawicieli personelu danej SD, wskazanych przez związki zawo-

dowe (skład jak wyżej), 8 przedstawicieli różnych rodzajów odbiorców energii (6 z ramienia organizacji miejscowych i po jednym jak wyżej). Dyrektorów SD powołują rady SD po zasięgnięciu opinii zainteresowanych związków międzykomunalnych, jeżeli większość gmin, reprezentująca też większość mieszkańców, połączyła się w taki związek. Dyrektorzy SD podlegają zatwierdzeniu EDF, bądź GDF.

Członkowie zarządów są odpowiedzialni cywilnie za swoje czynności tak, jak członkowie zarządów towarzystw akcyjnych.

3. Organizacja finansów energetyki.

Jednocześnie z postanowieniami o upaństwowieniu energetyki została powołana do życia instytucja bankowa pod nazwą: „Caisse nationale d'équipement de l'électricité et du gaz”, co możnaby po polsku nazwać narodowym bankiem elektryfikacji i gazyfikacji.

Trzy są główne zadania tego banku.

Pierwszym, najogólniejszym, jest gromadzenie i dostarczanie EDF, GDF i SD środków finansowych, potrzebnych do wykonania ich zadań, a w szczególności do realizowania projektów ulepszenia i rozwoju elektryfikacji i gazyfikacji.

Drugim zadaniem jest koordynacja i kontrola emisji obligacji EDF, GDF i SD.

Trzecim wreszcie zadaniem jest zapewnienie obsługi obligacji, emitowanych przez przedsiębiorstwa, których zobowiązania przechodzą na EDF lub GDF, oraz zapewnienie obsługi obligacji, emitowanych w charakterze odszkodowań w związku z przejęciem przedsiębiorstw podlegających upaństwowieniu.

Ustawa stanowi, że przejęcie majątku z tytułu upaństwowienia daje prawo poprzednim właścicielom do odszkodowania ze strony EDF i GDF. Odszkodowanie to będzie wypłacone pod postacią specjalnych obligacji wyżej wymienionego banku. Umorzenie tych obligacji nastąpi najdalej w ciągu 50 lat w drodze losowania lub wykupu. Oprocentowanie stałe tych obligacji będzie wynosiło 3% rocznie, a niezależnie od tego przewiduje się jeszcze pewne oprocentowanie dodatkowe zmienne w zależności od osiągniętych przez gospodarkę energetyczną wpływów.

Środki finansowe banku powstają z następujących dwóch głównych źródeł: 1) z pożyczek zaciąganych przez ten bank i 2) z wpłat dokonywanych przez EDF, GDF, SD i podległe miejscowe instytucje rozdzielcze, którym ustawa przyznaje prawa do zachowania samodzielności. W tym ostatnim wypadku jednak wpłaty do banku będą dokonywane dopiero po wywiązaniu się tych instytucji z ich obowiązków statutowych w stosunku do własnych udziałowców (np. spółdzielców).

Pożyczki, które bank będzie zaciągał celem zapewnienia kredytu dla EDF, GDF i SD, podlegają aprobachie ministra skarbu co do ich wysokości i co do ich oprocentowania stałego. Pożyczki z terminem umorzenia dłuższym niż 15 lat mogą być oprocentowane dodatkowo według stopy zmiennej, uzależnionej od wzrostu sprzedaży energii elektrycznej i gazu. Wysokość oprocentowania zmiennego określa dla każdej emisji min. skarbu. Wymienione pożyczki mogą posiadać gwarancję państwa. Bank narodowy gospodarki państwowej. (Caisse nationale des marchés de l'Etat) upoważniony jest do przyjmowania na zabezpieczenie, poręczania, akceptowania i żyrowania papierów kredytowych, wystawionych przez narodowy bank elektryfikacji i gazyfikacji.

Wpłaty do banku elektryfikacji i gazyfikacji ze strony EDF, GDF i SD będą dokonywane na następujące cele: a) na oprocentowanie i umorzenie pożyczek dawniejszych, zaciągniętych przez przedsiębiorstwa, przechodzące w całości na EDF lub GDF; b) na oprocentowanie i umorzenie obligacji, wydanych w charakterze odszkodowań za przejęcie; c) na oprocentowanie stałe i umorzenie pożyczek nowych, emitowanych przez bank; d) na obsługę dodatkowego zmiennego oprocentowania obligacji, wydanych w charakterze odszkodowań, i pożyczek nowych, emitowanych przez bank na czas dłuższy niż 15 lat.

Sposób dokonywania tych ostatnich wpłat określa porozumienie między bankiem a EDF i GDF; porozumienia te zatwierdza dekret prezydenta republiki na wniosek ministrów przemysłu i skarbu.

Zarząd narodowego banku elektryfikacji i gazyfikacji sprawuje 15-osobowa rada o następującym składzie: prezes, mianowany dekretem prezydenta republiki na wniosek ministrów przemysłu i skarbu, 4 delegatów, wyznaczonych (po jednym) przez ministrów rolnictwa, gospodarki narodowej, przemysłu i skarbu, 2 przedstawicieli EDF, 1 przedstawiciel GDF, po 1 przedstawicielu z ramienia SD elektrycznych i SD gazowych, 4 przedstawicieli narodowej rady kredytowej i prezes lub naczelny dyrektor narodowego banku rolnego.

Dyrektora narodowego banku elektr. i gazyf. mianuje minister skarbu po zasięgnięciu opinii ministra przemysłu.

Narodowy bank elektryfikacji i gazyfikacji w swej gospodarce finansowej i rachunkowej stosuje zasady ogólnie przyjęte w przedsiębiorstwach przemysłowych i handlowych i podlega opodatkowaniu.

Zyski, wygosparowane przez poszczególne SD i przedsiębiorstwa publiczne, które zachowały prawo działalności, będą wpłacane częściowo na narodowy fundusz elektryfikacyjny bądź gazyfikacyjny w wysokości, określonej zarządzeniem ministrów przemysłu i skarbu po zasięgnięciu opinii rad EDF i GDF oraz rady zainteresowanej SD, częściowo zaś na otwarty rachunek instytucji wpłacającej, na jej własne cele inwestycyjne i rozwojowe. Zyski, wygosparowane przez EDF i GDF, będą instytucje te wpłacać każda na swój rachunek otwarty, mający nazwę funduszu narodowego, elektryfikacyjnego bądź gazyfikacyjnego.

Fundusze narodowe będą używane przez EDF bądź GDF do finansowania ich własnych inwestycji oraz do udzielania długoterminowego kredytu poszczególnym SD i przedsiębiorstwom publicznym, zachowującym swe prawa działalności, na energetyczne potrzeby inwestycyjne i rozwojowe tych SD i przedsiębiorstw publicznych.

Do równomiernego rozłożenia różnych obciążeń, szczególnie charakteru podatkowego, oraz do celów rozrachunkowych tworzy się specjalny fundusz wyrównawczo-kompensacyjny. Fundusz ten będzie zasilany z wpłat dokonywanych przez poszczególne SD i przedsiębiorstwa publiczne, zachowujące swe prawa działalności. Wysokość wpłat określi zarządzenie ministrów przemysłu i skarbu po zasięgnięciu opinii ministra rolnictwa. Gospodarka funduszem wyrównawczo-kompensacyjnym jest powołona specjalnemu komitetowi mieszanemu, wyłonionemu przez EDF i GDF. Skład tego komitetu określi dekret.

Czysta pozostałość wartości majątku, praw i zobowiązań, przejętych na mocy ustawy o upaństwowieniu przedsiębiorstw energetycznych, stanowi niezbywalny kapitał narodowy. Kapitał ten w wypadku wystąpienia strat eksploatacyjnych musi być uzupełniony z zysków późniejszych okresów operacyjnych.

Wolne są od wszelkich opłat stemplowych, rejestracyjnych, hipotecznych itp. wszelkie akty i umowy, zdziałane w celu wykonania przepisów niniejszej ustawy, rozdział obligacji, wydanych w charakterze odszkodowań za przejęcie z tytułu upaństwowienia, oraz sprzedaż energii i wymiana świadczeń pomiędzy poszczególnymi zakładami.

4. Kontrola działalności energetyki.

Kontrolę rachunkowości EDF, GDF, SD i narodowego banku elektr. i gazyf. sprawują komisarze, mianowani przez ministra skarbu spośród komisarzy, wciągniętych na listy sądów apelacyjnych. Wyniki ich kontroli w formie sprawozdań są podawane do publicznej wiadomości drogą oficjalnego ogłoszenia w dziennikach urzędowych jednocześnie z ogłoszeniem bilansów i rachunków strat i zysków poszczególnych instytucji i zakładów.

Specjalnym organem kontroli i nadzoru nad działalnością poszczególnych rad zarządzających banku, EDF, GDF i SD jest powołana jednocześnie do życia izba kontroli. Członkowie tej izby mianowani są dekretem na podstawie uchwały rady ministrów, powziętej na wniosek prezesa rady ministrów. Członkom tej izby nie wolno sprawować żadnej innej funkcji ani też wykonywać żadnego zawodu. Koszty izby i jej czynności pokrywa EDF i GDF według podziału, ustalonego przez ministra przemysłu. Praca izby polega na analizowaniu sprawozdań o działalności poszczególnych rad zarządzających i sprawozdań komisarzy. Z wyników tej analizy izba sporządza swą opinię, na której podstawie udzielać się będzie pokwitowania radom z ich działalności. Corocznie, najpóźniej w 3 miesiące po otrzymaniu opinii, sporządzonych przez izbę kontroli, a w każdym ra-

zie przed dniem 31 grudnia roku następnego po zamknięciu okresu operacyjnego, minister przemysłu składać będzie w kancelarii parlamentu sprawozdanie o stanie gospodarki elektryfikacyjnej i gazowej. Do sprawozdania tego mają być dołączone: sprawozdania rachunkowe poszczególnych rad zarządzających, sprawozdania komisarzy kontrolujących rachunkowość i opinia izby kontroli oraz zarządzenia, wydane na podstawie tych sprawozdań przez organa, powołane do udzielenia pokwitowań z działalności.

5. Rada elektryfikacyjna i gazyfikacyjna.

Powołana zostaje do życia wyższa rada elektryfikacyjna i gazyfikacyjna. Początkowym zadaniem tej rady będzie opiniowanie i współpraca przy ustalaniu treści przepisów wykonawczych do ustawy o upaństwowieniu energetyki. Jakkolwiek bowiem ustawa jest obszerna, to wymagać będzie ona jeszcze obszerniejszych komentarzy i rozporządzeń, wprowadzających poszczególne jej postanowienia w życie.

Dalszą stałą funkcją rady ma być opiniowanie i współpraca przy opracowywaniu wszelkich późniejszych dekretych, zarządzeń i przepisów, dotyczących spraw energii elektrycznej i gazu.

Dodatkową kompetencją tej rady będzie wreszcie rozstrzyganie w ostatniej instancji wszelkich sporów pomiędzy różnymi instytucjami, powołanymi do życia z mocy tej ustawy, a władzami koncesyjodawczymi.

W skład rady wchodzić w równej części przedstawiciele parlamentu, administracji, zbiorowości lokalnych, odbiorców energii, rządów EDF i GDF oraz personelu, zatrudnionego w energetyce.

6. Postanowienia socjalne.

Różnorodność regulaminów pracy i przepisów, regulujących stosunek do pracy w energetyce francuskiej, nakazała ustawodawcy francuskiemu zajęcie się i tym tematem w ustawie o upaństwowieniu energetyki.

Ustawa postanawia, że w zakresie przepisów pracowniczych ma nastąpić ujednostajnienie. Obowiązek złożenia odpowiednich wniosków, jako podstawy do wydania dekretu w tej mierze, zostaje nałożony na ministrów: pracy i przemysłu, którzy mają zasięgnąć przed tym opinii związków zawodowych. Treścią tego dekretu będzie nowy statut pracy dla energetyki.

Statut ten nie może umniejszać praw pracowników czynnych i emerytowanych, nabytych przed ukazaniem się tej

ustawy, lecz przeciwnie może prawa te polepszyć; statut ten zastąpi z mocy samego prawa postanowienia statutów lub umów dotychczasowych.

Nowy statut będzie miał zastosowanie do całego personelu, zatrudnionego w elektryfikacji i gazyfikacji zarówno w zakładach upaństwowionych, jak i wyłączonych spod upaństwowienia z mocy ustawy. Wyjątek stanowią robotnicy-górnicy, zatrudnieni w elektrowniach i koksowniach kopalnianych, oraz funkcjonariusze kolei żelaznych. Te dwie ostatnie grupy zachowują swoje statuty zawodowe, jeżeli nie zgłoszą odmiennych wniosków.

W statucie ma być przewidziany budżet, przeznaczony na cele polepszenia dotychczas istniejących urządzeń i instytucji opieki społecznej oraz powołanie do życia nowych. Rozdział tego budżetu i prowadzenie działalności różnych instytucji opieki społecznej będzie powierzony specjalnemu komitetowi narodowemu, złożonemu z delegatów komitetów przedsiębiorstw.

Pracownicy wszystkich szczebli, zatrudnieni przy eksploatacji i działalności przedsiębiorstw, podlegających upaństwowieniu, pozostają na przeciąg jednego roku na miejscu swej pracy i dotychczasowym stanowisku.

7. Uwagi ogólne.

Poza wyżej omówionymi główniejszymi postanowieniami ustawa zawiera jeszcze znaczną liczbę postanowień szczegółowych i drobniejszych (np. procedurę przejmowania przedsiębiorstw, będących obecnie pod zarządem państwowym, procedurę powoływania różnych organów i władz, procedurę wypłaty odszkodowań posiadaczom różnego rodzaju udziałów i akcji różnych przedsiębiorstw itp.).

Niezależnie od tego ustawa wymienia odrazu znaczną liczbę spraw, które mają być uregulowane osobnymi dekretych, zarządzeniami lub przepisami wykonawczymi, jak np. sprawa statutów indywidualnych dla EDF, GDF i banku elektr. i gazyf. oraz ujednostajnienia statutów dla terenowych SD; sprawa cedowania przez SD niektórych czynności wtórnych, jak wykonywanie przemysłu instalacyjnego, konserwacja instalacji i sprzedaż oraz wypożyczanie elektrycznych i gazowych przyrządów użytku domowego; sprawa podporządkowania się przemysłu wytwórczego aparatów elektrycznych i gazowych zasadom normalizacji tych urządzeń celem zmniejszenia różnorodności typów, a przez to ogólnego potaniaenia i podniesienia jakości i sprawności tych urządzeń, i szereg innych spraw.

J. Gn.

Naczelna Organizacja Techniczna

I.

Dotychczasowa działalność i nowe zadania stowarzyszeń technicznych

Streszczenie referatu prezesa N. O. T. inż. B. RUMIŃSKIEGO na zebraniu Komitetu Organizacyjnego N. O. T. w dniu 12. IV. 1947

1. Proces uprzemysłowienia krajów.

Techniczne procesy wytwarzania ulegają, podobnie jak i stosunki społeczne, ciągłym przeobrażeniom. Rękodzieło, technika maszynowa, elektryfikacja i chemizacja — to nie tylko poszczególne etapy rozwoju techniki, ale i wyraźne okresy rozwoju społecznego od drobnej gospodarki począwszy, przez potężne warsztaty wielkofabryczne i wielkokapitalistyczne, aż do gospodarki uspołecznionej i pełnego rozwoju sił wytwórczych.

Przemiany te najlepiej obserwujemy na przekształcaniu się w poszczególnych krajach gospodarki rolnej na gospodarkę przemysłową i odpowiednim procentowym ubytku ludności rolnej.

Do XX wieku liczba zatrudnionych w rolnictwie na całym świecie wynosiła $\frac{3}{4}$ ogółu ludności.

Ameryka, która na początku drugiej połowy XIX wieku zatrudniała w rolnictwie $\frac{2}{3}$ swej ludności, w ciągu drugiej połowy zmniejszyła odsetek ludności rolniczej poniżej 50%, a w ciągu ostatnich lat nawet poniżej 25%. W Związku

Radzieckim, którego ludność zatrudniona w rolnictwie wynosiła jeszcze niedawno powyżej $\frac{3}{4}$ ogółu ludności, w ciągu 10 lat planowej gospodarki 1929 — 1939 odsetek ludności zatrudnionej w rolnictwie zmniejszył się do 51%.

Na Światowym Kongresie Techników w Paryżu w lipcu 1946 r. postawiono taką diagnozę:

a) Świat cierpi niedostatek, bo nie korzysta z dobrodziejstw techniki. Na 800 milionów ludzi zatrudnionych tylko niecałe 300 milionów pracuje w przemyśle. Mechanizacja rolnictwa i przerzucenie przynajmniej 150 milionów zatrudnionych w rolnictwie do przemysłu, to najważniejsze reformy, które mogą przyczynić się do powiększenia dochodu narodowego.

b) Dochód narodowy jest wprost proporcjonalny do stopnia uprzemysłowienia, ściślej mówiąc do ilości wyprodukowanych kWh na głowę (najwyższa w USA, najniższa w Chinach).

c) Dalszy rozwój gospodarki świata wymaga racjonalnej eksploatacji nowych źródeł energii, a przede wszystkim

siły wodnej. Wykorzystanie naturalnych źródeł siły wodnej może dostarczyć światu ok. 4.000 miliardów kWh rocznie, tj. tyle, ile otrzymuje się obecnie energii ze wszystkich źródeł.

d) Przyszłość ludzkości jest ściśle związana z planową gospodarką i współpracą techniczną w ramach międzynarodowych.

2. Nowa rola i udział techniki w odbudowie kraju.

Polska należała do krajów najmniej uprzemysłowionych w Europie. Odsetek ludności rolniczej w Polsce wynosił ok. 70%, tj. prawie dwa razy tyle, ile średnia ludności rolniczej w Europie (36%). Na skutek zmian granic i przemian ilościowych Polska stała się krajem o 56% ludności rolniczej, zbliżonym do przeciętnej normy świata (58,5%). Równocześnie jednak z przyłączeniem ziem odzyskanych otworzyły się przed nami, jak nigdy, perspektywy dalszego uprzemysłowienia kraju. A w najbliższym czasie na zasadzie planu trzyletniego ma przejść ze wsi do miast, z rolnictwa do przemysłu, rzemiosła, komunikacji i innych branż 1½ miliona ludzi. Odsetek ludności rolniczej zdąży do połowy ludności kraju.

Technika w przemianach tych odegra wybitną rolę. Jaka produkcja i jakie wyposażenie maszyn, jaka baza surowcowa i jakie ich wykorzystanie, jakie środki komunikacji i hierarchia ich rozbudowy, przemysł lekki czy przemysł ciężki, jaka normalizacja surowców i towarów, jaka racjonalizacja techniczna, jakie nowe badania na polu techniki i technologii, skąd i jak wyszukać nowe kadry — oto pytania, które mają szeroki aspekt społeczny i stanowią dziś program państwowy o kapitalnym znaczeniu.

Jeśli ktoś chciał scharakteryzować udział świata technicznego w pierwszych chwilach odrodzenia Polski, musiałby stwierdzić: a) powszechny i entuzjastyczny udział inżynierów i techników w obejmowaniu i uruchamianiu warsztatów pracy, b) brak zdecydowanej akcji ze strony starych organizacji technicznych przy budowaniu zrębów społecznych i politycznych nowej Polski. Obydwa te zjawiska mają swoje uzasadnienie.

3. Powstanie N. O. T. i jej działalność.

Trzeba było położyć kres dalszemu rozwojowi chaosu. Podjął się tego Komitet Organizacyjny N. O. T., ukonstytuowany z demokratycznych i bezpartyjnych działaczy świata technicznego, jak również z licznym udziałem przedstawicieli nauki.

Jako najważniejsze zadanie wysunięto: stworzenie jednolitej organizacji, opracowanie nowego programu działalności stowarzyszeń oraz dopasowanie starych organizacji do nowych warunków społecznych i gospodarczych. Planowej gospodarce i określonym podziałowi na branże musi odpowiadać branżowy podział stowarzyszeń technicznych. Muszą zniknąć elitarne organizacje inżynierskie, odpowiadające ówczesnej elitarniej organizacji państwa i gospodarce kapitalistycznej. Coraz mniejszą rolę w życiu gospodarczym odgrywa inżynier-przedsiębiorca, który do niedawna był jeszcze głównym przedstawicielem świata technicznego. Na widownię występuje nowy typ inżyniera-organizatora i wykonawcy państwowego planu gospodarczego, którego zakres pracy i zadania znacznie przekraczają zagadnienia czysto techniczne.

Musi również nastąpić większa aktywizacja społeczna stowarzyszeń technicznych.

Domagając się powiązania inżyniera z planem, pragniemy ścisłej współpracy inżynierów ze wszystkimi technikami różnych specjalizacji, którzy w ramach branży ten plan opracowują. Dlatego też stoimy na stanowisku powszechności stowarzyszeń technicznych, obejmującej wszystkich techników i inżynierów. Zdajemy sobie sprawę, że o wykonaniu zadań decydować będzie nie tyle jednostka, jej inicjatywa i wynalazczość, ile zespołowa praca dziesiątków i tysięcy techników. I zdajemy sobie również sprawę, że w dzisiejszej organizacji gospodarki decydujący wpływ na program nauki i techniki wywierać będzie inicjatywa państwowa.

Opierając się na powyższych zasadach, tj. na branżowości, powszechności i ścisłym powiązaniu pracy organi-

zacyjnej z państwem, N. O. T. przystąpiła do energicznej pracy, której jednoroczny bilans wyraża się jak następuje:

a) Zorganizowano 15 stowarzyszeń branżowych na terenie całego kraju, które obejmują ok. 12 tysięcy inżynierów i techników.

b) Zorganizowano Kongres Techników Polskich i przedyskutowano plan trzyletni.

c) Nawiązano kontakt z organizacjami technicznymi wielu krajów za granicą. Wzięto wybitny udział w tworzeniu Międzynarodowej Federacji Technicznej, do której prezydium wchodzi przedstawiciel Polski.

d) Zapoczątkowano organizację oddziałów N. O. T. i Domu Technika w Warszawie (przy ul. Czackiego 3/5).

e) Przystąpiono do skoordynowania pracy Stowarzyszeń: uregulowania i ujednolicenia statutów, regulaminów stowarzyszeń i N. O. T.

f) Zorganizowano aparat sekretariatu generalnego tj. kancelarię, rachubę, sprawy budżetowe i sprawy gospodarcze.

4. Zadania ogólne i program N. O. T. na rok 1947/48.

Zadania ogólne N. O. T. zostały postawione w deklaracji ideowej oraz statucie. Powiedzieliśmy: mobilizacja sił technicznych oraz ścisła organizacyjna współpraca z władzami państwowymi w odbudowie kraju. Mobilizacja techników została dokonana na kongresie. Rozpoczynamy teraz zmuszoną codzienną pracę wśród szerokich rzesz członków stowarzyszeń technicznych. Praca ta winna dotyczyć przede wszystkim zadań, związanych z programem stowarzyszenia, a więc rozwijanie zamiłowania do nauki i techniki, podtrzymywanie wysokiego poziomu etyki zawodowej, podnoszenie kwalifikacji i wykształcenia technicznego, jak również rozwiązywanie wszystkich zagadnień techniczno-gospodarczych w służbie publicznej. Oto kilka z tych zadań:

a) Praca nad realizacją planu trzyletniego. Kongres dał olbrzymie bogactwo materiału, który nie jest dotąd przepracowany i wykorzystany. Trzeba przepracować go szerzej i udostępnić szerokiej opinii społeczeństwa, jak również wykorzystać do dalszej dyskusji i analizy w poszczególnych stowarzyszeniach. Projektujemy wydanie dwóch tomów z przebiegu Kongresu: I-szy tom w kwietniu, II-gi na początku września rb.

W związku z powyższym poszczególne stowarzyszenia będą musiały w terminie do dnia 1. VIII. 1947 r. powtórnie przepracować zebrane przez nas materiały, a więc zredagować referat zbiorczy w jak najbardziej zwieszłej formie, następnie przebieg dyskusji i wreszcie wnioski*).

b) Powstaje konieczność rozbudowy naszych kadr technicznych. W Ameryce na 500 ludzi przypada jeden inżynier. W Polsce potrzeba by było około 50.000 inżynierów i techników. Trudno będzie w najbliższych latach zaspokoić takie zapotrzebowanie. Ale trzeba zewrzeć siły w jednej organizacji i wykorzystać całą energię i doświadczenie naszych inżynierów do dalszego szkolenia i podniesienia poziomu techniki i wykształcenia zawodowego techników. Trzeba pokryć całą Polskę siecią organizacji technicznych, które koncentrować się będą w okręgowych oddziałach N. O. T-u i nowotworzonych domach technika, które stać się winny widomym znakiem oddziaływania kultury technicznej w terenie. Dotąd zorganizowano 6 oddziałów N. O. T-u. Na porządku dziennym stoi również sprawa uaktywnienia się społecznego inżynierów, współpracy ze związkami zawodowymi, jak również udział w samorządach, radach narodowych i instytucjach społecznych. Tego wymaga industrializacja kraju i nowa rola społeczna inżyniera.

Organizacje techniczne muszą działać planowo i w ramach jednolitego programu. Obejmujemy w tej chwili około 15 różnych organizacji technicznych. Pozostało niewiele do zrobienia, jeżeli chodzi o powstanie nowych organizacji branżowych. Natomiast nowo zorganizowane stowarzyszenia nie obejmują wszystkich zainteresowanych inżynierów i techników. Musimy w ciągu nadchodzącego roku powiększyć liczbę członków organizacji technicznych ze stanu obecnego około 12.000 do 20.000. Chcemy w najbliższym czasie zorganizować jeszcze 3—4 oddziały m. in. w Warszawie i Katowicach.

* SEP już to zadanie wykonał w całości przez wydanie specjalnego zeszytu Przeglądu Elektr. (zesz. 4 z grudnia 1946 r.). Przep. red.

c) Trzecie nasze zadanie, to wzmocnienie organizacji na zewnątrz i skoordynowanie działalności stowarzyszeń. Dyscyplina organizacyjna i podporządkowanie się zadaniom nakreślonym przez N. O. T. jest jeszcze słabe. Niektóre nasze organizacje wykazują w pewnych okresach niezwykle dużą aktywność, w innych następuje zahamowanie pracy, a nawet zupełny marazm. Każde stowarzyszenie musi opracować plan pracy, akceptowany przez zarząd stowarzyszenia i uzgodniony z N. O. T-em.

Również zagadnieniem dużej wagi jest skoordynowanie i wypracowanie jednolitego programu akcji wydawniczej, prowadzonej przez poszczególne stowarzyszenia. To samo odnosi się do normalizacji technicznej, współpracy z zagranicą, jak również wszelkich prac o charakterze naukowo-technicznym. Istnieją duże różnice w formach organizacyjnych poszczególnych komisji w różnych stowarzyszeniach. Zupełnie inne komisje posiada np. dobrze zorganizowany z najlepszymi tradycjami S. E. P., a zupełnie inne pozostałe stowarzyszenia.

Trzeba będzie zebrać nasze doświadczenia ze wszystkich stowarzyszeń i organizacji, uwzględnić formy organizacyjne zagranicy i na podstawie tych wzorów ustalić formy i stan poszczególnych komisji, jak również ich programy na przyszłość. W tym celu zostanie powołana przy N. O. T. Główna Komisja Programowa.

d) Dużą wagę przywiązujemy do współpracy z zagranicą. W tej chwili mamy już liczne kontakty z organizacjami we Francji, Anglii, Czechosłowacji, jak również bliską współpracę z Międzynarodową Federacją Techniczną. Współpraca z zagranicą musi koncentrować się obecnie

na zagadnieniach normalizacji i dokumentacji technicznej. Szczególnie szerokie stosunki musimy nawiązać z sąsiedami, tj. Związkiem Radzieckim i Czechosłowacją.

W związku z rozszerzeniem się działalności technicznej przystępujemy do zorganizowania w Warszawie redakcji „Przeglądu Technicznego”. Co się tyczy wydawnictw technicznych, to sprawa ta dotąd nie została przepracowana. Musi nastąpić znaczne rozszerzenie i reorganizacja dotychczasowego składu Komisji Wydawniczej. Zdajemy sobie sprawę, że praca na tym odcinku będzie niezwykle utrudniona na skutek wielotorowości i olbrzymiej ilości ośrodków dyspozycyjnych. Będziemy chcieli w początkowym etapie naszej pracy jedynie skoordynować działalność wydawniczą, jak również wystąpić z inicjatywą zespołowego opracowania programu wydawnictw technicznych na najbliższy okres 3-letni.

e) Rozwój N. O. T. i stowarzyszeń technicznych zaczyna wchodzić w okres stabilizacji. W związku z tym musimy uregulować sprawy finansowe i oprzeć się na samodzielności i własnych funduszach. Trzeba będzie określić wyraźnie wpływy i składki członków na rzecz stowarzyszeń do Naczelnej Organizacji.

Kierownictwo N. O. T-u spoczywa w rękach tymczasowego Komitetu Organizacyjnego, który przygotowuje się również do przekazania w najbliższych miesiącach swojej funkcji w ręce prezydium, wyłonionego na podstawie obowiązujących przepisów statutowych. Rada główna N. O. T. powinna ukonstytuować się najpóźniej w miesiącach letnich. Wczesną jesienią wyłoni się już i obejmie władzę nowy zarząd Naczelnej Organizacji Technicznej.

II.

Sprawozdanie z działalności Naczelnej Organizacji Technicznej, złożone na zebraniu Komitetu Organizacyjnego N. O. T. 12. IV. 47. (wyciąg)

Organizacje stowarzyszeń. Zorganizowano 15 stowarzyszeń technicznych, które na 1 stycznia rb. liczyły 11.650 członków, zgromadzonych w około 120 oddziałach na terenie kraju.

W szczególności liczba członków poszczególnych stowarzyszeń na dzień 1. I. 1947 r. wynosiła:

1) Stowarz. Inż. i Techn. Komunikacji	— 2070
2) Stowarz. Inż. i Techn. Przem. Węglowego	— 1799
3) Stowarz. Inż. i Techn. Przem. Hutniczego	— 1200
4) Stowarz. Elektryków Polskich	— 975
5) Stowarz. Techników Przem. Spożywczego	— 790
6) Stowarz. Prac. Techn. Przem. Cukrowniczego	— 665
7) Stowarz. Inż. i Techn. Przem. Włókienniczego	— 600
8) Stowarz. Inż. i Techn. Wodno-Meliorac.	— 574
9) Polskie Zrzeszenie Gazown., Wod. i Techn. San.	— 529
10) Stowarz. Inż. i Techn. Przem. Chemicznego	— 481
11) Stowarz. Inż. i Techn. Przem. Paliw. Płynnych	— 450
12) Stowarz. Inż. i Techn. Przem. Min. i Mat. Bud.	— 350
13) Stowarz. Inż. i Techn. Mechaników Polskich	— 329
14) Stowarz. Inż. i Techn. Budownictwa	— 94
15) Stowarz. Inż. i Techn. Przem. Papierniczego	— 80

Liczby zorganizowanych inżynierów i techników w poszczególnych województwach:

Śląsko-Dąbrowskie	— 3157
Warszawskie	— 1235
Łódzkie	— 897
Krakowskie	— 874
Poznańskie	— 750
Rzeszowskie	— 508
Pomorskie	— 496
Gdańskie	— 395
Wrocławskie	— 362
Lubelskie	— 199
Kieleckie	— 119
Szczecińskie	— 62
Olsztyńskie	— 60

W uzupełnieniu organizacji pionowej, przewidujemy stworzenie organizacji poziomej, która ma za zadanie umożliwić pracę grupom technicznym, rozproszonym na terenie kraju. W tym celu przystąpiliśmy do organizowania Oddziałów N. O. T. Komitety Organizacyjne Oddziałów powstały w Gdańsku, Poznaniu, Łodzi, Bydgoszczy, Krakowie, Wroc-

ławiu. Trzeba stworzyć regulamin Oddziałów N. O. T. oraz zorganizować dalsze Oddziały przede wszystkim w Katowicach i Warszawie.

Kongres Techników Polskich. Na Kongres zgłosiło się około 9.000 kandydatów, a wzięło udział ponad 3500 inżynierów i techników.

Początkowy preliminarz ustalono na 7,5 miliona złotych, następnie podniesiono go do 10 milionów.

Całość kosztów kongresowych zamyka się kwotą 11,5 miliona złotych, w tym 1.600.000 zł wydatkowano na remont sali.

Kontakty zagraniczne. Zapoczątkowano je na Kongresie Technicznym w Paryżu we wrześniu 1946 r. Została wówczas zorganizowana Międzynarodowa Konferencja Techniczna, jako tymczasowa organizacja świata technicznego. Przewiduje się zorganizowanie stałej federacji technicznej. Polska została wybrana do komitetu wykonawczego Konferencji Technicznej i miała możliwość wejść w bezpośredni kontakt z delegatami wielu krajów. W komitecie wykonawczym biorą udział przedstawiciele 9 krajów, do Konferencji Technicznej wchodzi około 30 krajów. Delegacji polskiej udało się przeprowadzić polski punkt widzenia w szeregu kwestii. Na stanowisko sekretarza generalnego Konferencji został powołany na wniosek delegacji polskiej, wielki przyjaciel Polski, inż. Picard.

Nie mogliśmy doprowadzić do stałego kontaktu, jaki jest potrzebny naszym stowarzyszeniom. Zagadnienie jest skomplikowane ze względu na trudności komunikacyjne i istniejące ograniczenia w stosunkach międzynarodowych.

Odbudowa Domu Technika w Warszawie przy ulicy Czackiego. N. O. T. zleciła przeprowadzenie odbudowy specjalnej komisji. Prowizoryczny kosztorys wynosi około 50 milionów zł. Przystąpiono do przeprowadzenia remontu części budynku (frontu). Da to do użytku około 24 pokojów i dużą salę na zebrania, mieszczącą około 600 osób. Ta faza rozbudowy będzie ukończona w lipcu br. Koszty wyniosą 21 milionów zł. Koszty odbudowy oficyn będą wynosiły 30 milionów zł. Uzyskano z kredytów Min. Odbudowy 8 milionów i obietnicę Min. Komunikacji na subwencję w wysokości 5 milionów zł.

Organizacja biura. W ubiegłym roku N. O. T. korzystał z subwencji w wysokości 12.473.954 zł; w związku z odbywającym się Kongresem zaciągnięto pożyczkę w przemyśle węglowym i hutniczym w wysokości 2 milionów zł. Suma wydatków wyraża się sumą około 14,5 milionów; w tym są wydatki kongresowe. Na majątek ruchomy wydatkowano około 1.250.000 zł (inwentarz, urządzenia biurowe, środki transportowe itp.). Wynagrodzenie personelu biurowego i kongresowego (zatrudn. było ok. 100 osób) 3.500.000 zł.

Na rok 1947 M.in. Przemysłu udzieliło NOT-owi subwencji w wysokości 300.000 zł miesięcznie oraz 1 milion na wydawnictwa kongresowe.

Na rok 1947 przewiduje się następujący preliminarz:

Wydatki organizacyjne, w tym subwencje dla Oddziałów N. O. T.	
Oddziałów N. O. T.	530.000 zł
Komisja Wydawnicza i przejazdy służbowe	100.000 „
Wydatki związane z Komisją Zagraniczną	1.400.000 „
Komisja kongresowa (zjazdy)	100.000 „
Akcja prasowa, propaganda	350.000 „
Komisja odbudowy Domu Technika	100.000 „
Koszty zakupu inwentarza stałego	156.000 „
Wydatki osobowe (pobory, ubezpieczenia, koszty i konserwacja samochodów i inne)	6.264.000 „
Różne	600.000 „
Razem	9.600.000 zł

Personel sekretariatu składa się z 22 osób.

III.

Uchwały Komitetu Organizacyjnego Naczelnej Organizacji Technicznej, powzięte na zebraniu 12. IV. 1947 (Streszczenie)

1. W sprawie komisji głównych N. O. T.

W celu koordynacji w ramach N. O. T. prac, prowadzonych przez stowarzyszenia w sekcjach i komisjach, poleca się stowarzyszeniom i prezydium N. O. T.:

a) Zorganizować Główną Komisję Wydawniczą, w której skład wejdą czołowi reprezentanci akcji wydawniczej stowarzyszeń branżowych. Zadaniem Komisji jest ułożenie projektu planu akcji wydawnictw technicznych, oraz ocena i koordynacja w przeprowadzaniu wydawnictw technicznych.

b) Zorganizować Główną Komisję kontaktów z zagranicą (na zasadach jak w p. 1), której zadaniem będzie układanie planu kontaktów z zagranicą dla wszystkich stowarzyszeń zrzeszonych w N. O. T. i wystąpienie do miarodajnych czynników państwowych z prośbą o ułatwienie realizacji planu.

c) Zorganizować w Polsce Ośrodek klasyfikacji dokumentacji technicznej w oparciu o stowarzyszenia branżowe, jako jednolity ośrodek dyspozycyjny dla tej akcji, prowadzonej za pośrednictwem stowarzyszeń oraz upoważnionych instytucji i osób.

d) Zorganizować przy N. O. T. Główną Komisję Programową (na zasadach jak w p. 1), której zadaniem będzie rozpatrzenie zagadnienia prac komisyjnych w stowarzyszeniach, nadawanie im ogólnego kierunku zgodnie z wymaganiami państwa, branży i techniki, a w szczególności ustalanie lub akceptowanie tematyki zjazdów naukowo-technicznych, polityki stowarzyszeń w zakresie akcji odczytowej itp.

e) W skład komisji głównych wejdą: przewodniczący, powołany przez prezydium N. O. T., miarodajni reprezentanci stowarzyszeń, oraz osoby dokooptowane zgodnie ze statutem.

2. W sprawie Kongresu Techników Polskich.

a) Wyrazić swe uznanie i gorące podziękowanie członkom komitetu organizacyjnego Kongresu, przewodniczącym, prezydium i referatom generalnym sekcji branżowych, którzy, pracując honorowo, przyczynili się do przeprowadzenia sprawnej i na wysokim poziomie utrzymanej dyskusji w sekcjach.

b) Akceptować program wydawnictw kongresowych, polegający na wydaniu przez N. O. T. dwu tomów, zawierających sprawozdania z obrad plenarnych, rezolucje i wnioski sekcji oraz na przekazaniu dla prasy branżowej pozostałych materiałów. Zlecić stowarzyszeniom dodatkowe rozpatrzenie wniosków oraz ostateczne zredagowanie ich działów branżowych do dnia 1. VIII. 1947 roku.

3. W sprawie budżetów, subwencji i składek oraz zapomóg dla prasy technicznej.

a) Stowarzyszenia branżowe co miesiąc, od dnia 1. VII. 1947 r. począwszy, winny odprowadzać na rzecz N. O. T. 10% swych wpływów ze składek członkowskich, licząc od całkowitej składki miesięcznej członków stowarzyszenia zarówno fizycznych, jak zbiorowych lub współdziałających.

b) Upoważnić prezydium do przedstawienia czynnikom miarodajnym sprawy subwencji dla prasy technicznej, al-

bowiem rozwój, a zwłaszcza podniesienie poziomu prasy technicznej są niezbędne dla rozwoju i podnoszenia techniki w kraju.

c) Upoważnić prezydium N. O. T. do poparcia starań stowarzyszeń o uzyskanie od rządu subwencji na prowadzenie akcji odczytowej, zjazdowej, wydawniczej itp., która przyczynia się wybitnie do realizacji planu gospodarczego odbudowy.

4. W sprawie domów technika.

Uzyskanie dla stowarzyszeń technicznych odpowiednich warunków lokalowych jest podstawą rozwoju stowarzyszeń i współzycia koleżeńskiegoinżynierów i techników wszystkich branż, czynników koniecznych i wybitnie współdziałających z realizacją planu odbudowy.

Uchwalono upoważnić prezydium N. O. T.: a) do podjęcia potrzebnych kroków, zmierzających do przekazania na rzecz stowarzyszeń branżowych wszystkich domów lub lokali, będących własnością tych stowarzyszeń przed wojną, a na rzecz N. O. T. wszystkich lokali lub domów, stanowiących własność niezalegalizowanych dotąd terenowych i innych organizacji technicznych; b) do zwrócenia się z apelem do wszystkich inżynierów i techników o zbieranie funduszy na odbudowę Domu Technika w Warszawie.

5. W sprawie współpracy ze Związkami Zawodowymi.

Między N. O. T. a Komisją Centralną Związków Zawodowych ustalono, że sprawy zawodowe i obrona interesów zawodowych świata pracy leżą w sferze zainteresowań i odpowiedzialności Związków Zawodowych, sprawy zaś związane z rozwojem i zagadnieniami nauki i techniki w sferze zainteresowań stowarzyszeń technicznych. Komitet Org. N. O. T. uważa za konieczne, by przedstawiciele stowarzyszeń branżowych weszli do sekcji technicznych związków zawodowych w celu pogłębiania współpracy między związkami zawodowymi i ruchem stowarzyszeń technicznych oraz inżynierami i technikami i wzywa wszystkie stowarzyszenia, aby: a) prowadziły aktywną działalność propagandową 3-letniego planu, oświatową i szkoleniową dla członków związków zawod. i w porozumieniu z nimi; b) wszelkie poczynania w zakresie obrony interesów zawodowych kierować do sekcji technicznych związków zawodowych.

6. W sprawie projektów inwestycyjnych na 1948 r.

Wobec zarządzanego przez ministerstwo przemysłu przygotowania projektu inwestycji krajowych na rok 1948 uchwalono: stowarzyszenia branżowe przygotowują projekty i preliminarze i przeprowadzą szeroką dyskusję projektów inwestycyjnych.

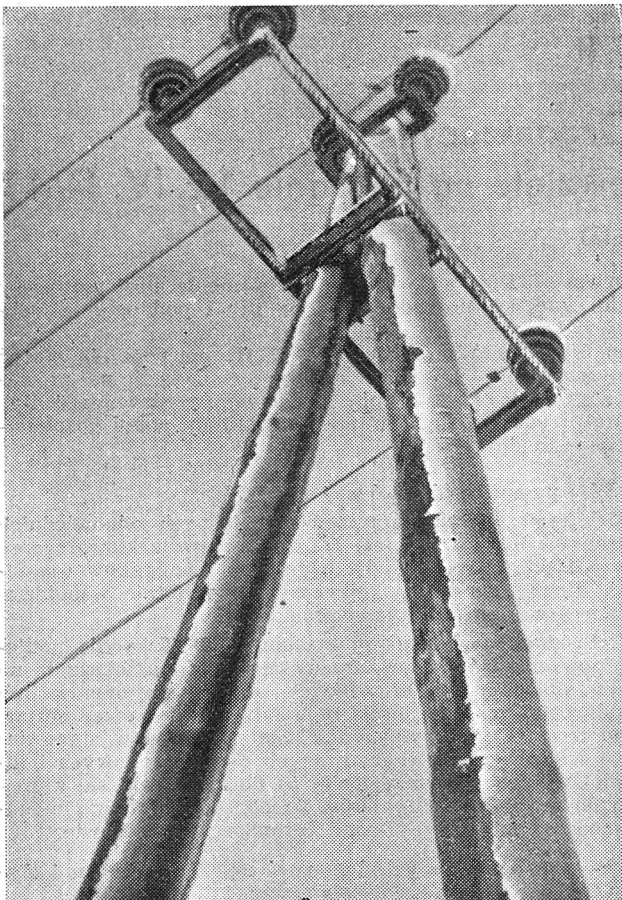
7. W sprawie szkolnictwa technicznego.

Przedstawiciele N. O. T. nie biorą udziału w pracach nad organizacją szkolnictwa wówczas, gdy wyłaniają się projekty nie odpowiadające potrzebom przemysłu. Uchwalono: N. O. T. stworzy Komisję Szkolnictwa Technicznego, reprezentowaną w Radzie Szkolnej Szkół Wyższych.

Niezwykły przypadek osadów lodowych na przewodach w naszym klimacie

W dniach 18—21 listopada 1946 r. na terenie Zjednoczenia Energetycznego Okręgu Lubelskiego zdarzyły się wyjątkowe warunki atmosferyczne, które były przyczyną zakłóceń w ruchu sieci wysokiego napięcia. Od wczesnych godzin rannych dnia 18. XI. 46 r. niemal przez całą dobę padał deszcz przy temperaturze około -1°C , skutkiem czego na słupach, konstrukcjach, izolatorach i przewodach zaczęły się tworzyć osady lodowe. Rys. 1, 2 i 3 pozwalają

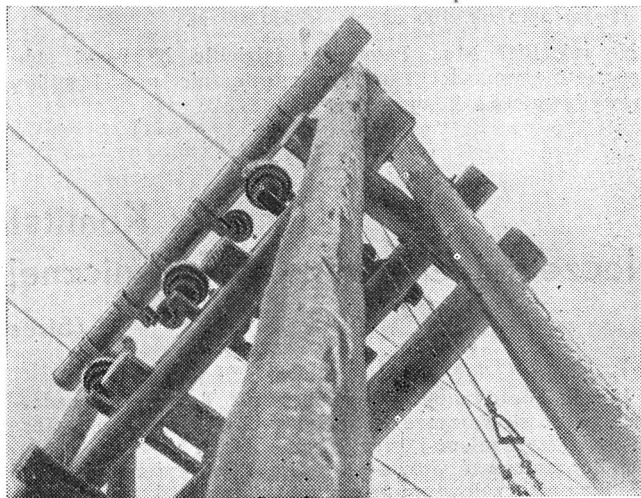
na należy przyjmować dla przekroju 25 mm^2 w wysokości $1,02\text{ kg/m. b.}$, według zaś nowego projektu przepisów na linie napowietrzne (PE, 1946, z. 2, str. 72) nawet tylko $0,904\text{ kg/m. b.}$ Pod wpływem nadmiernych obciążeń prze-



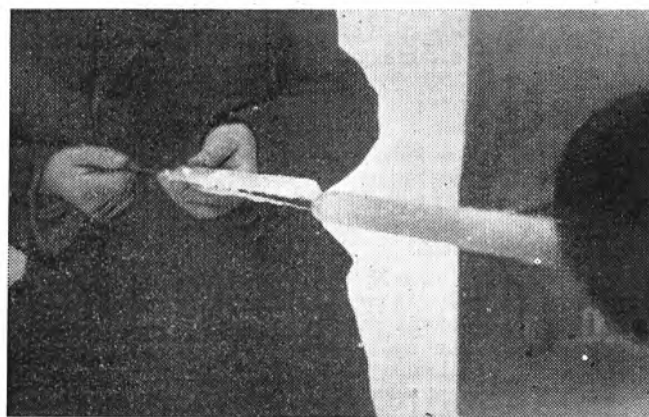
Rys. 1. Słup linii na 30 kV

w pewnej mierze zdać sobie sprawę z wielkości tych osadów, przy czym należy zaznaczyć, że zdjęcia zostały dokonane dopiero w południe 20 listopada po parogodzinnej operacji słonecznej, kiedy sadź uległa już znacznemu zmniejszeniu, zwłaszcza na konstrukcji i izolatorach. Na izolatorach sople lodowe w dniach 18 i 19 listopada sięgały konstrukcji i powodowały przeskok.

Sadź na przewodach osiągnęła niezwykłą grubość i wagę. Np. na przewodzie Cu 25 mm^2 (rys. 3) zewnętrzna średnica „rury lodowej” dochodziła do 5 centymetrów. Waga takiego osadu wynosiła $1,75\text{ kg/m. b.}$, a przypomnijmy tutaj, że według obowiązujących obecnie „Przepisów technicznych na linie elektryczne prądu silnego” z 1932 r. wagę „sadzi katastrofalnej” (tzn. dwukrotnej „sadzi normalnej”)



Rys. 2. Słup linii na 30 kV



Rys. 3. Zerwany przewód miedziany o przekroju 25 mm^2

wody w kilku miejscach sieci uległy zerwaniu, powodując przerwy w dostawie energii.

Oblodzenie słupów, zwłaszcza w dniach 18 i 19 listopada, wymagało od ludzi nadzwyczajnej zręczności przy wchodzeniu na słupolazach. W dniu dokonania zdjęć fotograficznych warunki te uległy poprawie, gdyż po operacji słonecznej „płaszczki lodowe” opadły ze słupów od strony południowej.

Widok krajobrazu, tj. drzew, krzewów itp. oraz urządzeń sieciowych, jak słupy, konstrukcje, izolatory, przewody, był bardzo efektowny, lecz skutki były dla ruchu sieci i dla personelu pogotowia technicznego bardzo przykre.

Inż. Stanisław Wiśniewski

Nadesłane wydawnictwa

TECHNIKA W SŁUŻBIE DEMOKRACJI. Wydane przez Narodową Organizację Techniczną sprawozdanie z Kongresu Techników Polskich w Katowicach (1—3 XII. 1946). Tom I. Plenum Kongresu. Warszawa. 1947. Nakładem Komisji Wydawniczej N. O. T. (Warszawa, ul. Lwowska 17). Form. As, str. 189. Cena 160 zł. — Książka zawiera pełne teksty przemówień i referatów, wygłoszonych na plenarnych posiedzeniach Kongresu, a zamieszczonych w streszcze-

niu w zesz. 4 „Przeгляdu Elektrotechnicznego” z 1946 r.; ponadto w książce znajdują się w całości wszystkie dalsze przemówienia, jak np. wojewody śląsko-dąbrowskiego gen. A. Zawadzkiego, gości zagranicznych i in., jak również rezolucja generalna Kongresu w pełnym brzmieniu. Do referatu prof. Goetla o surowcach mineralnych Polski jest dodana mapa. Prócz tego książka zawiera szereg ilustracji i ma ozdobną okładkę.

BIBLIOTEKA WIEDZY TELEKOMUNIKACYJNEJ. Myśl stworzenia tego wydawnictwa powstała na terenie spółdzielni „Grupa Techniczna” w Warszawie w najcięższych latach okupacji. Zapoczątkowane prace uległy zniszczeniu podczas powstania. Po wojnie podjęto pracę na nowo na terenie Państwowego Instytutu Telekomunikacyjnego przy poparciu ministerstwa poczt i telegrafów. Zadaniem BWT jest dostarczenie polskiemu światu telekomunikacyjnemu zbioru podręczników, obejmujących — w miarę możliwości — całość zagadnień telekomunikacyjnych łącznie z problemami eksploatacyjnymi oraz z dziedzinami spokrewnionymi z telekomunikacją. Ujęcie tematu w poszczególnych książkach jest takie, aby w zasadzie były one dostępne wszystkim osobom, posiadającym średnie wykształcenie zawodowe lub ogólnokształcące. Temat niektórych książek nie pozwala jednak na przestrzeganie tej zasady w całej rozciągłości; dotyczy to w szczególności tematów, w których nie da się uniknąć posługiwania się, w większym niż gdzie indziej stopniu, narzędziem matematyki.

Przewiduje się, że BWT obejmie szereg dzieł z dziedziny podstaw telekomunikacji, materiałów i elementów, techniki przenoszenia przewodowego, radiokomunikacji, techniki łączenia, elektroakustyki, różnych systemów telekomunikacyjnych i szeregu innych. Każdy dział będzie reprezentowany przez kilka książek.

W ramach „Biblioteki Wiedzy Telekomunikacyjnej” dotychczas ukazały się następujące dzieła:

Inż. K. Borkowski. Systemy telefonicznych central automatycznych miejskich. Tom I. Systemy elektromagnesowe. 324 + XVI str. (w atlasie 28 schematów). Tom II. Systemy maszynowe i przekątnikowe. 240 + XVI str. (w atlasie 27 schematów).

S. Jasiński. Akumulatory elektryczne (284 str.).

Inż. F. Nowicki. Centrale międzymiastowe. 332 + XVI str. (w atlasie 36 schematów).

Do nabycia w Biurze Wydawnictw Państwowego Instytutu Telekomunikacyjnego, Warszawa, Ratuszowa Nr 11, oraz w księgarniach.

Nelkon M. Principles of Technical Electricity. 189 rys., 240 str., format A5. London and Glasgow. Blackie & Son Limited. Cena 17 s. 6 d.

Baran Ignacy, inż. Światło i praca. Z 13 rys. w tekście. 60 str., format A5, Warszawa. 1946. Wydawnictwo Ministerstwa Pracy i Opieki Społecznej, seria ochrony pracy, Nr 5. Cena 70 zł. Spis rzeczy: I. Wiadomości ogólne o oświetleniu (1. Właściwości światła. — 2. Oświetlenie a bezpieczeństwo pracy. — 3. Rentowność racjonalnego oświetlenia). — II. Światło naturalne (1. System oświetlenia naturalnego i jasność. — 2. Zalety i wady oświetlenia naturalnego). — III. Światło sztuczne (1. Systemy oświetlenia sztucznego. — 2. Dobór jasności i barwy oświetlenia. — 3. Obliczanie jasności wnętrza. — 4. Zwiększanie jasności wnętrza. — 5. Równomierność oświetlenia).

Sypniewski Roman, inż. mech. Zarys wiadomości o metalach i stopach przemysłowych. 93 rys. XLIII tablice, XVI + 280 str., form. A5. Warszawa. 1947. Nakładem Instytutu Wydawniczego SIMP. (Biblioteka Mechanika, Ser. III, nr 1). Cena zł 600. — Młodzież szkolna przy zgłoszeniach zbiorowych korzysta z ceny ulgowej zł 450. — Spis rzeczy: Wiadomości wstępne. A. Ogólne własności metali i stopów. I. Własności fizyczne. II. Własności mechaniczne. III. Własności technologiczne. IV. Własności chemiczne. — B. Nadawanie metalom szczególnych własności. I. Własności stopów. II. Zmiana własności metali i stopów przez obróbkę plastyczną. III. Zmiana własności przez obróbkę cieplną. — C. Wytworzenie metali przemysłowych. I. Rys historyczny. II. Wyrób żelaza i stali. III. Technologia metali półszlachetnych. IV. Wytwarzanie stopów. V. Odlewanie wlewków. VI. Ceramiczne wytwarzanie stopów metali. — D. Metale i stopy przemysłowe. I. Stal. II. Staliwo. III. Żeliwo. IV. Żeliwo ciągliwe. V. Glin i jego stopy. VI. Magnez i stopy ultra-lekkie. VII. Miedź i jej stopy. VIII. Nikiel i jego stopy. IX. Stopy kobaltu, wolframu, tantalu, tytanu i molibdeny. X. Cynk i jego stopy. XI. Cyna i jej stopy. XII. Ołów i jego stopy. XIII. Stopy łatwotopliwe, lutowia miękkie i twarde. XIV. Metale szlachetne i ich stopy. XV. Inne metale. — Literatura. Spis nazwisk. Skorowidz rzeczy-

wy. — Książka opracowana przy wyzyskaniu rękopisów pracy prof. Edwarda Herzberga „Zarys wiadomości o metalach”. Zarządzeniem ministra oświaty Nr III UP-3150/46 z d. 3. I. 47 wydawnictwo niniejsze zostało zatwierdzone, jako książka pomocnicza dla uczniów i nauczycieli liceów mechanicznych oraz do bibliotek szkół zawodowych grupy metalowej.

C. H. C. Cooke. Alternating Current Practice. A handbook for those engaged in electrical installation work. London. Crosby Lockwood & Son Ltd. Revised Edition 1946. Contents: Introduction. — I. Elementary considerations on alternating currents. — II. Joint effects of capacity and inductance. — III. Alternating current circuits. — IV. Alternating current motors. — V. Alternating current motors (continued). — VI. Starting of alternating current motors. — VII. The alternating current transformer. — VIII. Rectifying and converting plant. — IX. Power factor correction. — X. Electrical measuring instruments. — XI. Some relative advantages of alternating current and direct current. (232 str., form. A 5. Cena 15 szyl.).

D. W. Hinde and E. Ingham. Principles of Direct Current Electric Traction. A book for tramway, trolleybus and railway engineers and personnel and all students of electric traction. — With 179 illustrations. London. George Newnes Limited. 1946. Contents: I. Introduction. — II. Traction motors. — III. The control of tramway and trolleybus motors. — IV. The control of railway motors. — V. Braking and auxiliaries. — VI. Power supply and collection. — VII. Rolling stock. — VIII. Diesel-electric traction. — IX. Testing and maintenance. — X. Metadyne traction equipment. — Index. (248 str., form. A 5. Cena 15 szyl.).

Przeгляд Mechaniczny. Rok VI, zesz. 1, styczeń 1947 r. Łódź—Warszawa. Jest to pierwszy powojenny numer czasopisma wznowionego po 7-letniej przerwie jako miesięcznik i jako organ Centralnego Zarządu Przemysłu Metalowego i Stowarzyszenia Inżynierów i Techników Mechaników Polskich.

Życie Gospodarcze. Rok II, nr 9a, 31. V. 47, 32 str. Numer poświęcony przemysłowi elektrotechnicznemu. Treść: Zarnecki T. Zamierzenia przemysłu elektr. a ich realizacja. — Ostrowski T. Znaczenie przemysłu elektr. dla gospodarki narodowej w Polsce. — Basiński E. Podstawy organizacji przemysłu elektr. — Knysz J. Przemysł elektr. w dobie przedwojennej i obecnej. — Borowy M. Zagadnienia techniczne w przemyśle elektr. — Ustyńowicz R. Przemysł elektr. na ziemiach odzyskanych. — Smoluchowski W. Zagadnienie produkcji wielkich maszyn elektrycznych. — Gogolewski Z. Zagadnienie surowcowe przemysłu elektromaszynowego. — Przemysł elektromaszynowy dla energetyki w dziale wielkich napraw i remontów. — Friling W. Praca akordowa w świetle układów zbiorowych przemysłu elektr. — Szczypiorski S. Polski przemysł aparatów elektrycznych. — Gurfłowska B. Prace wydziału socjalnego w CZPEL. — Moskalewski T. Polski przemysł kabli i przewodów. — Hornziel G. Elektromobile akumulatorowe. — Turowski M. Zagadnienie informacji technicznej. — Kossakowski K. Polski przemysł żarówkowy. — Rotkiewicz W. Odbudowa przemysłu radiotechnicznego w Polsce.

Annales de l'Academie Polonaise des Sciences Techniques — Rocznik Polskiej Akademii Nauk Technicznych. Tome VII, 1939—1945. Jest to pierwszy tom, wydany po wojnie. Z przedmowy dowiadujemy się o utracie w okresie wojennym następujących członków akademii: Bartel K., Grabowski L., Łomnicki A., Morozewicz J., Przeborski A., Wertenstein L. (wydz. fiz. mat.), Bratro E., Bryła St., Chmielowiec A., Lalewicz M., Matakiewicz M., Psenicki A., Różański A., Rundo A., Sosnowski O., Thullie M., Wasiutyński A., Wątopek K., Węgiel K. (wydz. inż.), Chrzanowski W., Hauswald E., Krukowski W., Studniarski J., Trechciński R., Witkiewicz R., Zwierzchowski St. (wydz. mech.), Dziewoński K., Kling K., Kosiński I., Malsburg K., Marchlewski L., Pilat St., Smoleński K., Wowkonowicz R. (wydział technol.). — Spis rzeczy: F. Leja. Sur le domaine de convergence des series de polynômes

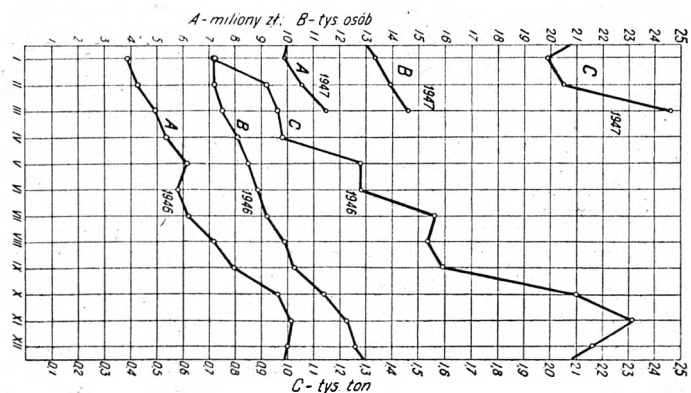
homogènes à deux variables. — A. Krupkowski and J. Wantuchowski. Influence of the gauge-length and shape of test-pieces upon the elongation at fracture. — M. Jeżewski et M. Mięśowicz. Étude des compteurs de Geiger-Müller. — M. Czyżewski. Confirmation of coefficient of heat transfer in a couple and time required to heat and melt the metal. — W. Wierzbicki. La sécurité des constructions comme un problème de probabilité. — M. Broszko. On the problem of turbulence and on the foundations of hydromechanics. — W. Budryk. Interprétation théorique des courbes de lavabilité. — A. Krupkowski. The deformation of plastic metals by strain. — A. Krupkowski et A. Piotrowski. De l'oxydation de l'étain et du bronze liquide à 10% Sn. — H. Kuczyński, E. Sucharda and Troszkiewiczówna. On direct producing β -amino-phenol-

compounds from aromatic nitro-compounds. — Z. Skrowaczewska and E. Sucharda. On a new method of sulphonating aromatic amines.

Elektrotechnika. Organ oficjalny Węgierskiego Stowarzyszenia Elektrotechnicznego. Miesięcznik, wydawany w Budapeszcie w języku węgierskim. W trzech pierwszych zeszytach z 1947 r. (styczeń, luty, marzec) znajdujemy następujące większe artykuły: Tóth Kálmán i Mándi Andor. Obecne zagadnienia w kolejnictwie elektrycznym na Węgrzech. Dr Fürst László. Środki telekomunikacyjne przy współpracy elektryczni. Pálos Ferenc. Obecne zagadnienia elektryfikacji Budapesztu. Istvánffy Edwin. Filtry kryształowe. Gregor Aledar. Reorganizacja elektryfikacji Węgier.

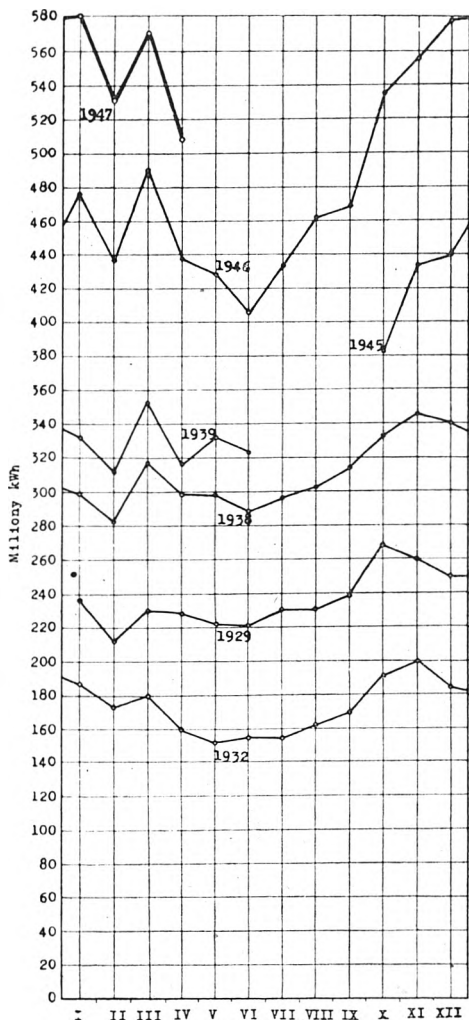
CENTRALNY ZARZĄD PRZEMYSŁU ELEKTROTECHNICZNEGO
STATYSTYKA PRZEMYSŁU ELEKTROTECHNICZNEGO
 Styczeń - marzec 1947 r.

Zjednoczenie Przemysłu	Liczba zakładow prod.	Liczba zatrudnionych				Produkcja				
		przy fizycznym	produkcji	przy odbud. i inwest. i in. nieprodukcji	wagi w tys. zł	wartość produkcji w tys. zł wg cen 1937 r. / 1947 r.				
S t y c z e Ń										
Maszyn Elektrycznych	15	2392	691	3083	280	599	3962	179,8	1458,4	56183,3
Aparatów Elektrycznych	17	2529	869	3398	421	379	4198	147,0	1434,9	62385,7
Kabli i Przewodów	7	2320	556	2876	630	120	3626	1287,3	4218,2	151648,—
Ogniwi i Akumulatorów	11	1273	265	1538	46	15	1599	327,4	1165,0	37431,—
Lamp i Żarówek	2	610	103	713	2	—	715	16,7	888,0	20892,—
Teletechnicznego	5	417	186	603	17	41	661	12,2	336,5	13683,4
Radiotechnicznego	8	764	375	1139	188	42	1369	22,3	393,1	17006,—
Razem	65	10305	3045	13350	1584	1196	16130	1992,7	9894,1	359229,4
L u t y										
Maszyn Elektrycznych	15	2532	748	3280	308	613	4201	202,1	1506,5	61725,3
Aparatów Elektrycznych	17	2660	898	3558	399	386	4343	149,4	1474,3	63763,2
Kabli i Przewodów	7	2518	566	3084	565	121	3770	1339,5	4753,1	158118,8
Ogniwi i Akumulatorów	11	1294	261	1555	52	16	1623	316,1	1140,4	34758,1
Lamp i Żarówek	2	613	107	720	2	—	722	15,8	891,3	20074,9
Teletechnicznego	5	384	197	581	45	42	668	12,1	443,1	14608,5
Radiotechnicznego	8	774	373	1147	160	30	1337	17,7	341,9	12509,0
Razem	65	10775	3150	13925	1531	1208	16664	2052,7	10550,6	365557,8
M a r z e c										
Maszyn Elektrycznych	17	2636	779	3415	280	640	4335	230,3	1723,3	71617,6
Aparatów Elektrycznych	17	2876	934	3810	473	387	4670	187,4	1696,4	79231,8
Kabli i Przewodów	7	2722	584	3306	407	125	3838	1653,5	5045,0	182985,1
Ogniwi i Akumulatorów	12	1312	270	1582	60	14	1656	334,5	940,4	27931,0
Lamp i Żarówek	2	644	112	756	2	—	758	23,2	1286,9	28104,3
Teletechnicznego	5	427	216	643	47	42	732	13,7	451,7	16380,4
Radiotechnicznego	8	745	354	1099	133	22	1254	15,0	322,4	13447,9
Razem	68	11362	3249	14611	1402	1230	17243	2457,6	11466,1	419698,1



CENTRALNY ZARZĄD ENERGETYKI STATYSTYKA ELEKTRYCZNA

obejmująca elektrownie o mocy instalowanej ponad 1000 kW



Rok 1947

. Miesiące	Marz.	Kwiec.	Stycz.-Kwiec.
Razem I + II			
Wytwórczość (10 ³ kWh)	570 728	507 936	2 190 394 (100%)
Liczba uwzględnionych zakładów	232	232	
Wzrost wytwórczości w stosunku do tego samego okresu w 1946 r. (%)	+ 16,3	+ 16,1	+ 18,9
Moc instal. 232 zakładów (10 ³ kW)	2 201	2 218	
I. Elektrownie zawodowe			
Wytwórczość (10 ³ kWh)	361 619	313 525	1 375 351 (62,8%)
Liczba uwzględnionych zakładów	97	97	
Wzrost wytwórczości w stosunku do tego samego okresu w 1946 r. (%)	+ 19,4	+ 17,3	+ 21,9
Moc instal. 97 zakładów (10 ³ kW)	1 153	1 170	
II. Elektrownie niezawodowe			
Wytwórczość (10 ³ kWh)	209 109	194 411	815 043 (37,2%)
Liczba uwzględnionych zakładów	135	135	
Wzrost wytwórczości w stosunku do tego samego okresu w 1946 r. (%)	+ 11,3	+ 14,2	+ 13,9
Moc instal. 135 zakładów (10 ³ kW)	1 048	1 048	
Podział wytwórczości:			
Kopalnie węgla (10 ³ kWh)	114 356	105 188	450 135 (20,5%)
Huty "	18 314	18 851	76 125 (3,5%)
Fabryki chemiczne "	38 793	32 358	142 305 (6,5%)
Fabryki włókiennicze "	10 405	9 518	42 728 (2,0%)
Cukrownie "	680	319	4 545 (0,3%)
Papiernie "	12 999	12 807	49 102 (2,2%)
Cementownie "	8 382	11 172	29 615 (1,3%)
Pozostałe zakłady przemysłowe "	5 180	4 198	20 488 (0,9%)

Moc instalowana zakładu jest to suma znamionowych mocy (na zaciskach generatorów) w zespołach prądowców zdolnych do ruchu.

Liczba pracowników w kwietniu 1947 r. w zakładach objętych statystyką

Miejsce zatrudnienia	Razem I i II			I. Elektrownie zawod.			II. Elektrownie niezaw.		
	Wytw.	Admin.	Razem	Wytw.	Admin.	Razem	Wytw.	Admin.	Razem
W elektrowni	15 401	5 714	21 115	10 152	5 328	15 480	5 249	386	5 635
Na sieci	4 905	1 139	6 044	3 726	1 091	4 817	1 179	48	1 227
Razem	20 306	6 853	27 159	13 878	6 419	20 297	6 428	434	6 862

Krajowy przemysł elektrotechniczny na Targach Poznańskich

26. IV — 4. V. 1947 r.

Dorobek dwuletniej gospodarki przemysłu elektrotechnicznego był pokazany na Targach poznańskich na stoisku Centralnego Zarządu Przemysłu Elektrotechnicznego.

Przemysł maszyn elektrycznych. Reprezentowały go ekspozycje fabryk: M — 4 Bielsko, dawniej G. Schwabe, silniki od 0,5 do 7 kW; M — 3 Łódź, dawn. Elektrobudowa, elektryczne spawarki; M — 5 Mikołów, transformatory do 50 kVA i 6 kV.

Przemysł aparatów elektrycznych. Pierwsza Państwowa Fabryka Aparatów, dawn. Szpotański, pokazała z aparatów elektrycznych wysokiego napięcia wyłącznik na 30 kV oraz transformator pomiarowy.

Zakłady ERA we Włochach k. Warszawy wystawiły przyrządy pomiarowe: woltomierze, amperomierze i miliamperomierze.

Świdnicka fabryka liczników i zegarów elektrycznych wystawiła komplet zsynchronizowanych zegarów z centralnym zegarem matką i siecią zegarów wtórnych. Są to komplety, obsługujące stacje kolejowe, dworce portowe, wielkie zakłady i biura. Wystawiono prócz tego zwykłe zegary elektryczne zasilane z sieci elektrycznej, jak również automaty zegarowe do regulacji pracy, maszyn i oświetlenia. Fabryka świdnicka jest jedyną fabryką w Polsce, produkującą liczniki elektryczne.

Stoisko przemysłu maszyn elektrycznych na Targach Poznańskich 1947 r.



Elektromedycyna reprezentowana była przez wytwórnę „Elektrosan” w Łodzi, która wystawiła pantostat. W dziedzinie sprzętu elektromedycznego pracuje również Pierwsza Państw. Fabryka Aparatów Elektr., która wyrabia głowice do aparatów rentgenowskich, wkrótce zaś wypuści całkowicie wykonane w kraju (poza lampami) aparaty rentgenowskie.

Fabryka Przekazników i Specjalnych Aparatów Elektrycznych w Świebodzicach wystawiła efektowne urządzenia elektrotechniki teatralnej, a więc ściemniacze i oporniki do wywoływania efektów świetlnych, burz, wschodów i zachodów słońca itp.

Przemysł kabli i przewodów. Wystawiono wzory kabli, linek, przewodów, sznurów, drutów itp. zarówno silnopiędowych, jak i teletechnicznych.

Przemysł akumulatorów i ogni. Fabryki „Centra” w Poznaniu oraz „Daimon” w Gdańsku i Starogardzie wystawiały na Targach baterie suche, ogniwa i akumulatory do urządzeń sygnalizacyjnych.

Przemysł lamp elektrycznych. Obie polskie fabryki „Osram” (w Pabianicach) i „Helios” (w Katowicach) wystawiły komplet żarówek do 1000 W łącznie z żarówkami karzełkowymi i świecowymi. Mimo ciężkich przeszkód w zakresie dostaw surowcowych produkcja żarówek

w Polsce uległa wzmoczeniu. „Osram” pracuje na dwie zmiany.

Przemysł teletechniczny. Wystawiono część urządzeń sygnalizacyjnych o napędzie elektrycznym (semafor kolejowy do nastawni elektrycznej wraz ze zwrotnicą) Państwowej Fabryki w Wełnowcu, dawn. „Ericsson”. Szczupłość miejsca nie pozwoliła pokazać zastosowania tych urządzeń, jak np. pracy zwrotnicy automatycznej, samoczynnej blokady odcinków kolejowych itp.

Przemysł radiotechniczny. Wystawiono aparaty radiowe 3-lampowe plus prostownicza dwuobwodowe na 4 zakresy, aparat do badania lamp radiowych, głośniki oraz oscylograf katodowy. Ten dział produkcji obejmuje również patefony elektryczne.

Jeżeli Targi Poznańskie oceniać jako wystawę i przegląd dorobku naszej dwuletniej gospodarki, to elektrotechnika wykazała swą żywotność i rozległy zakres produkcji, ogarniającej potrzeby wszystkich dziedzin życia przemysłowego, jakkolwiek szczupłość miejsca nie pozwoliła na pokazanie całości zakresu produkcyjnego nawet w skali przykładowej.

Jeżeli natomiast wystawę traktować jako targi, to należy stwierdzić dużą frekwencję zagranicznych gości-importerów, interesujących się naszą produkcją.

M. R.

Uzupełnienie dorocznych sprawozdań oddziałów S.E.P.*)

ODDZIAŁ SZCZECIŃSKI

Na zebraniu organizacyjnym 24. 4. 46 r. wybrano zarząd tymczasowy w składzie: prezes kol. Słomiński Jan, sekretarz kol. Binder Piotr, skarbnik kol. Bronikowski Stefan. W krótkim czasie kol. Bindera zastąpił kol. Meyer Jan.

Walne zebranie Oddziału odbyło się w dn. 19. IX. 1946 r. Na zebraniu tym uchwalono przystąpienie Oddziału do lokalnej ekspozytury NOT, tj. Stowarzyszenia Inżynierów i Techników w Szczecinie. Dokooptowano następnie do Zarządu Oddziału kol. Gładysza Witolda w charakterze skarbnika na miejsce kol. Bronikowskiego, który opuścił Szczecin.

W dn. 29. X. 46 r. odbyło się następne walne zebranie Oddziału, na którym zatwierdzono opracowany przez zarząd regulamin Oddziału. Jednocześnie przeprowadzono wybory uzupełniające do władz Oddziału. Ostateczny ich skład jest następujący: prezes Słomiński Jan, zast. prezesa Stiasny Zbigniew, sekretarz Meyer Jan, skarbnik Gładysz Witold, referent odczyt. Mitkiewicz Roman; komisja rewizyjna: Sielski Adam, Zdralewicz Michał, Binder Piotr; komisja szkolnictwa elektr.: Sielski Adam, Binder Piotr.

Na Walnym Zgromadzeniu SEP-u w Łodzi we wrześniu 1946 r. Oddział był reprezentowany przez 8-miu kolegów. W okresie sprawozdawczym Zarząd odbył 7 posiedzeń. Z główniejszych prac zarządu należy wymienić: opracowanie regulaminu Oddziału, załatwienie formalności związanych z rejestracją Oddziału u władz administracyjnych, opracowanie regulaminów i statutów projektowanego gimnazjum elektrotechnicznego. Wychodząc z założenia, że na terenie Pomorza Zachodniego konieczne jest zorganizowanie uczelni kształcącej monterów-elektryków, Oddział podjął inicjatywę zorganizowania gimnazjum zawodowego elektrycznego 3-letniego. Wysiłki Zarządu w tym kierunku nie dały, niestety, pożądaných rezultatów, głównie dla braku funduszy.

W okresie sprawozdawczym został zorganizowany jeden odczyt w dniu 19. IX. 46 r. pt. „Elektryfikacja Pomorza Zachodniego”. Wygłosił go kol. Słomiński Jan. Obecnych było 50 osób.

Oddział liczy 30 członków.

*) Por. PE, 1947, z. 3/4, str. 125-128.

ZMIANA ADRESU ODDZIAŁU ZAGŁĘBIA WĘGLOWEGO

Nowy adres brzmi: Katowice, Stawowa 13 (zamiast poprzedniego: Katowice, 3 Maja 9).

S. E. P. KOMUNIKATY

Kandydatury na członków SEP-u. W myśl § 10 statutu SEP-u ogłasza się następującą listę kandydatów na członków zwyczajnych Stowarzyszenia:

ODDZIAŁ ŁÓDZKI

Held Józef, Łódź, Traugutta 6, Hotel Savoy
Maksiejewski Janusz Lechosław, Łódź, Mostowa 17a
Sochor Bronisław, Łódź, Armii Ludowej 7, m. 5
Wolnicki Wacław, Piotrków Tryb., Mickiewicza 26, m. 1

ODDZIAŁ OPOLSKI

Berezowski Stanisław, Nysa, Lwowskich Orłąt 44
Jaryszkin Piotr, Nysa, Lwowskich Orłąt 22
Kałaciak Mieczysław, Witów k. Nysy, Elektrownia
Matus Bolesław, Paczków, Pocztowa 13
Pająk Józef, Nysa, Zakrzów 107
Śmietanka Tadeusz, Nysa, Żwirki i Wigury 9

ODDZIAŁ SZCZECIŃSKI

Bollman Ludwik, Szczecin, Traugutta 4
Latosiński Tadeusz, Szczecin, Pocztowa 1a, m. 4
Maver Lech, Szczecin, Szarotki 3, m. 6
Pawlucki Roman, Kamień Pomorski, Chrobrego 4
Siemaszko Jan, Szczecin, Śląska 42

ODDZIAŁ WARSZAWSKI

Kłossowski Wiesław, Warszawa, pl. Narutowicza 5, p. 389
Komenda Kazimierz, Warszawa, Leszno 73, m. 16
Krakowiak Stanisław, Wołomin, Trakt Warszawski 58, m. 7
Krauss Janusz, Warszawa, Wspólna 54a, m. 37
Makowski Zbigniew, Warszawa, Czerwonego Krzyża 9, m. 8
Marczewski Tadeusz Wilhelm, Warszawa, Kozielskiego 6, m. 6
Minorski Sergiusz, Warszawa, Filtrowa 73, m. 4

ODDZIAŁ ZAGŁĘBIA WĘGLOWEGO

Baliś Ludwik, Katowice, Graniczna 10
Duda Józef, Borowniki k. Będzina, 11 Listopada 35
Dzidowski Marian, Gliwice, Lwowska 27
Grzelak Franciszek, Chorzów-Batory, 16 Lipca 25
Jutz Eryk, Gliwice, Wolskiego 9, m. 6
Kempa Wincenty, Katowice, Sobieskiego 6
Kocur Alfred, Katowice, Kościuski 54
Kotna Andrzej, Chorzów-Batory, Armii Czerwonej 121
Olszówka Henryk, Katowice-Ligota, Kłodnicka 69
Ponikowski Piotr, Gliwice, Dąbrowskiego 21, m. 9
Prażmowski Kazimierz, Sosnowiec, Bracka 5b
Respodek Wilhelm, Gliwice, św. Urbana 4
Starnowski Kazimierz, Zabrze, Wolności 418
Sztwiertnia Władysław, Łaziska-Srednie, Stary Zakład 9
Warchol Stanisław, Rybnik, Ligonia 4
Zmuda Zbigniew, Zabrze, Wolności 307

Dokończenie słownictwa Kolejnictwa Elektrycznego (por. PE, 1946, z. 2, str. 71 i PE, 1947, z. 1-2, str. 60)

- 6 tabor techniczny
matériel roulant technique
technische Wagen
- 7 tabor ratunkowy
matériel roulant de secours
Rettungswagen
- 8 pojazd elektryczny
véhicule électrique
elektrisches Fahrzeug
- 9 dźwig elektryczny
ascenseur électrique
elektrischer Aufzug
- 10 schody ruchome
escalier roulant
Rolltreppe
- 11 prom elektryczny
transbordeur électrique
elektrische Fähre
- 12 samochód elektryczny
automobile électrique
elektrischer Kraftwagen
- 13 elektrobus akumulatorowy
omnibus automobile électrique
elektrischer Omnibus mit Akkumulatorbetrieb, Elektrobus
- 14 elektrobus (sieciowy), trolejbus
trolleybus
Oberleitungsomnibus, Obus
- 15 ciągnik, traktor
tracteur automobile
Traktor, Zugwagen
- 16 lokomotywa elektryczna
locomotive électrique
elektrische Lokomotive
- 17 lokomotywa manewrowa, przetokowa
locomotive de manœuvre
Verschiebelokomotive
- 18 lokomotywa z liną pociągową
locomotive à treuil
Lokomotive mit Seilwinde
- 19 lokomotywa z rozwijanym kablem
locomotive à tambour dévidoir
Lokomotive mit abrollbarem Leitungskabel
- 20 lokomotywa kopalniana
locomotive du fond
Grubenlokomotive
- 21 lokomotywa fabryczna
locomotive d'atelier
Fabriklokomotive
- 22 lokomotywa towarowa
locomotive à marchandises
Güterzuglokomotive
- 23 lokomotywa pośpieszna
locomotive à grande vitesse
Schnellzuglokomotive
- 24 lokomotywa osobowa
locomotive à voyageurs
Personenzuglokomotive
- 25 lokomotywa jednoczłonowa
locomotive simple
einteilige Lokomotive
- 26 lokomotywa wieloczłonowa
locomotive articulée
Gelenklokomotive
- 27 wagon silnikowy
automotrice
Triebwagen
- 28 wagon silnikowy sieciowy
automotrice alimentée
Netzleitungstriebwagen
- 29 wagon silnikowy szybkobieżny
automotrice à grande vitesse
Schnellbahntriebwagen
- 30 wagon silnikowy tramwajowy
(voiture) motorice de tramway
Strassenbahntriebwagen
- 31 wagon doczepny
(voiture) remorque
Beiwagen
- 32 wagon rozrządzący
remorque à cabine
Steuerwagen
- 33 wagon czołowy
voiture de tête
Kopfwagen
- 34 wagon końcowy
voiture de queue
Schlusswagen
- 35 wagon wielopojemny
voiture à grande capacité
Grossraumwagen
- 36 wagon piętrowy
voiture à impérial
Decksitzwagen
- 37 wagon przegubowy
voiture articulée
Gelenkwagen
- 38 wagon z obsługą jednoosobową
voiture à un agent
Einmannwagen
- 39 wagon z obsługą dwuosobową
voiture à deux agents
Zweimannwagen
- 40 wagon z wejściem środkowym
voiture avec entrée centrale
Wagen mit Einstieg in der Mitte
- 41 wagon z obniżonym pomostem
voiture à plateforme surbaissée
Niederflurwagen
- B. CZĘŚĆ MECHANICZNA — Partie mécanique — Mechanischer Teil
- a) Pudło pojazdu — Caisse de voiture — Fahrzeugkasten
- 42 przedział maszynowy
cabine de machines
Maschinenraum
- 43 przedział motorowego (maszynisty)
cabine de conduite
Führerstandraum
- 44 stoisko motorowego (maszynisty)
poste du machiniste
Führerstand
- 45 stołek motorowego (maszynisty)
siège de mécanicien
Führersitz
- 46 przedział osobowy
compartiment pour voyageurs
Personenabteil
- 47 przedział bagażowy
compartiment des bagages
Gepäckraum
- 48 pomost
plate-forme
Plattform
- 49 pomost otwarty
plate-forme ouverte
offene Plattform
- 50 pomost zamknięty, obudowany
plate-forme fermée
geschlossene Plattform
- 51 przejście środkowe
couloir central
Mittelgang
- 52 przejście boczne
couloir latéral
Seitengang
- 53 ostojnica
longeron
Längsträger
- 54 szkielet pudła, więźba pudła
carcasse de la caisse
Kastengerippe
- 55 szkielet drewniany, więźba drewniana pudła
carcasse en bois de la caisse
Holzkastengerippe
- 56 szkielet metalowy, więźba metalowa
carcasse métallique de la caisse
Metallkastengerippe
- 57 przycięs (przy pudłach drewnianych), rama dolna
cadre inférieur
Unterrahmen
- 58 rama górna
cadre du toit
Oberrahmen
- 59 wysięg pudła
porte à faux
Überhang
- 60 słupek narożny
montant cornier
Ecksäule
- 61 słupek przyokienny
montant de fenêtre
Fenstersäule
- 62 kolumnienka pomostowa
colonne de plate-forme
Plattformsäule
- 63 ściana czołowa
paroi d'about
Stirnwand
- 64 ściana boczna
paroi latérale
Seitenwand
- 65 przepierzenie
cloison
Trennwand
- 66 osłona pomostowa
garde-corps de la plate-forme
Plattformblech
- 67 dach świetlikowy
toit à lanterneau
Dach mit Oberlichtaufbau
- 68 dach beczkowy
toit voûté, surhaussé
Tonnendach
- 69 chodnik dachowy, ława dachowa
passerelle de toit
Dachlaufbrett
- 70 stopień
marchepied
Trittbrett
- 71 podłoga
plancher
Fussboden
- 72 kratka (podłogowa)
grille de lattes
Lattenrost
- 73 pokrywa (w podłodze)
trappe de plancher
Bodenklappe
- 74 drzwi
porte
Tür
- 75 drzwi wejściowe
porte d'entrée
Eingangstür
- 76 drzwi wyjściowe
porte de sortie
Aussteigetür
- 77 drzwi obrotowe, ćwierćobrotowe
porte à charnières
Drehtür
- 78 drzwi wahadłowe, półobrotowe
porte pivotante
Pendeltür

- 79 **drzwi łamane**
porte pliante
Falttür
- 80 **drzwi przesuwane**
porte coulissante
Schiebetür
- 81 **drzwi zsuwne**
portes coulissantes doubles
doppelte Schiebetür
- 82 **drzwi zsuwne teleskopowe**
porte coulissante à télescope
Teleskoptür
- 83 **okno wagonowe**
fenêtre de la voiture
Wagenfenster
- 84 **okno przesuwne**
fenêtre coulissante
Schiebefenster
- 85 **okno opuszczane**
fenêtre glissante
herablassbares Fenster
- 86 **okno nieruchome**
fenêtre fixe
festes Fenster
- 87 **szyba okienna**
glace de fenêtre
Fensterscheibe
- 88 **rama okienna**
châssis de fenêtre
Fensterrahmen
- 89 **siedzenie drewniane, twarde**
siège en bois, siège dur
Holzsitz
- 90 **siedzenie wyściełane, miękkie**
siège rembourré
Polstersitz
- 91 **siedzenie opuszczane**
strapontin
Klappsitz
- 92 **ławka poprzeczna**
banquette transversale
Querbank
- 93 **ławka podłużna**
banquette longitudinale
Längsbank
- 94 **oparcie przerotowe**
dossier rabattable
umklappbare Sitzlehne
- 95 **obicie zewnętrzne**
revêtement extérieur
äussere Wandbekleidung
- 96 **wyłożenie wewnętrzne, wykładzina**
revêtement intérieur
innere Wandbekleidung
- 97 **wyposażenie pudła**
équipement de la caisse
Ausrüstung des Wagenkastens
- 98 **okucia**
garnitures
Beschläge
- 99 **siatka bagażowa**
filets à bagages
Gepäcknetz
- 100 **uchwyłka**
poignée de retenue
Haltegriff
- 101 **poręcz**
rampe
Geländer
- 102 **rączka**
poignée
Handgriff
- 103 **okienko biletowe**
guichet
Zahlschieber
- 104 **skrzynka narzędziowa**
coffre à outils
Werkzeugkasten
- b) **Urządzenia różne — Dispositifs divers — Verschiedene Einrichtungen**
- 105 **wskaźnik kierunkowy**
indicateur de direction
Fahrtrichtungszeiger
- 106 **tablica szlakowa**
table d'itinéraire
Linienführungstafel
- 107 **tablica czołowa**
plaque frontale
Zielschild
- 108 **tablica boczna**
plaque latérale
Seitenschild
- 109 **ścierak szyb**
essuie-glace
Scheibenwischer
- 110 **nastawiak (zwrotnicy)**
tige (d'aiguille)
(Weichen-) Stelleisen
- 111 **dzwonek sygnałowy**
cloche de signal
Signalglocke
- 112 **dzwonek ostrzegawczy**
cloche d'alarme
Warnungsglocke
- 113 **czasza dzwonka**
timbre de la cloche
Glockenschale
- 114 **pedał dzwonekowy**
pédale du timbre
Glockentritt
- 115 **urządzenie wentylacyjne**
dispositif d'aération
Belüftungseinrichtung
- 116 **urządzenie wyciągowe**
aspirateur
Sauger
- 117 **sprzęgło**
attelage
Kupplung
- 118 **trzon sprzętowy**
chainon
Kuppelleisen
- 119 **trzcina do zagważdzenia**
cheville d'accouplement
Einsteckbolzen
- 120 **urządzenie przeciwzderzeniowe**
appareil de choc
Stoßvorrichtung
- 121 **baran**
barre de choc
Rammbohle
- 122 **zderzak**
tampon (de choc)
Puffer
- 123 **głowica zderzaka**
tête de tampon
Pufferkopf
- 124 **talerz zderzaka**
disque de tampon
Pufferteller
- c) **Urządzenia bezpieczeństwa i hamulce — Dispositifs de sûreté et freins — Sicherheits- u. Bremseinrichtungen**
- 128 **rączka piasecznicy**
poignée de la sablière
Sandstreuhebel
- 129 **skrzynka do piasku**
boîte à sable
Sandkasten
- 130 **piasecznica powietrzna**
sablière pneumatique
pneumatischer Sandstreuer
- 131 **dysza wydmuchowa (piasecznicy)**
tuyère de sablage
Sandstreudüse
- 132 **urządzenie hamulcowe**
appareils de freinage
Bremseinrichtungen
- 133 **hamulec roboczy**
frein de service
Betriebsbremse
- 134 **hamulec bezpieczeństwa**
frein d'urgence
Notbremse
- 135 **hamulec zespolony**
frein continu
durchgehende Bremse
- 136 **hamulec samoczynny**
frein automatique
selbsttätige Bremse
- 137 **hamulec klockowy**
frein à sabots
Klotzbremse
- 138 **kłoczek hamulcowy**
sabot de frein
Bremsklotz
- 139 **obsada klockowa**
porte-sabot de frein
Bremsklotzhalter
- 140 **zespół dźwigni (hamulcowych)**
timonerie (de frein)
Bremsgestänge
- 141 **urządzenie nastawcze (klocków hamulcowych)**
dispositif de réglage (des sabots de Bremsklotzstellvorrichtung [frein])
- 142 **hamulec taśmowy**
frein à ruban
Bandbremse
- 143 **hamulec bębnowy**
frein à tambours
Trommelbremse
- 144 **hamulec tarczowy**
frein à disques
Scheibenbremse
- 145 **hamulec kleszczowy**
frein à tenailles
Zangenbremse
- 146 **hamulec kolankowy**
frein à genouillères
Kniehebelbremse
- 147 **szczeka hamulcowa**
machoire de frein
Bremsbacke
- 148 **hamulec nawirnikowy**
frein sur induit
Getriebebremse
- 149 **hamulec szynowy**
frein sur rail
Schienenbremse
- 150 **łyżwa hamulcowa**
patin de frein
Bremschlitten
- 151 **hamulec ręczny**
frein à main
Handbremse
- 152 **hamulec śrubowy**
frein à vis
Spindelbremse

- 153 hamulec łańcuchowy
frein à chaîne
Kettenbremse
- 154 pokrętło hamulcowe
volant du frein
Bremshandrad
- 155 korba hamulcowa
manivelle du frein
Bremskurbel
- 156 grzechotka hamulcowa
rochet du frein
Bremsratsche
- 157 wrzeciono hamulcowe
broche du frein
Bremsspindel
- 158 łańcuch hamulcowy
chaîne du frein
Bremskette
- 159 krążek łańcuchowy (hamulca)
poulie à chaîne (du frein)
Bremskettenrolle
- 160 kółko zapadkowe hamulca
roue à rochet du frein
Bremssperrad
- 161 zapadka
rochet d'arrêt
Sperrklinke
- 162 hamulec próżniowy
frein à vide
Vacuumbremse
- 163 hamulec powietrzny ciśnieniowy
frein à air comprimé
Druckluftbremse
- 164 hamulec powietrzny jednokomorowy
frein pneumatique à une seule
Einkammerluftbremse [chambre
- 165 hamulec powietrzny dwukomorowy
frein pneumatique à deux cham-
Zweikammerluftbremse [bres
- 166 cylinder powietrzny hamulcowy
cylindre à frein
Bremsluftzylinder
- 167 zbiornik powietrzny
conduit d'air
Luftbehälter
- 168 przewody powietrzne
tubulure d'air
Luftleitungen
- 169 pompa powietrzna
pompe à air
Luftpumpe
- 170 zawór hamulcowy maszynisty
robinet de frein du mécanicien
Führerbremshendventil
- 171 hamulec elektryczny
frein électrique
elektrische Bremse
- 172 hamulec elektromagnetyczny
frein électromagnétique
elektromagnetische Bremse
- 173 hamulec elektromagnetyczny szynowy
frein électromagnétique sur rail
elektromagnetische Schienenbremse
- 174 hamulec solenoidowy
frein à solenoïde
Solenoidbremse
- 175 hamulec elektropneumatyczny
frein électro-pneumatique
elektro-pneumatische Bremse
- d) Zawieszenie pudła. Maźnice
— Suspension de la caisse.
Boîtes à graisse — Wagen-
aufhängung. Achslager
- 176 zawieszenie wahadłowe
suspension pendulaire
pendelnde Aufhängung
- 177 resor
ressort de suspension
Tragfeder
- 178 resor płaski
ressort à lames
Blattfeder
- 179 strzałka (ugięcia)
flèche
Pfeilhöhe
- 180 opaska resorowa
bride de ressort
Federbund
- 181 pióro resorowe
lame de ressort
Federblatt
- 182 wahacz
balancier compensateur
Ausgleichhebel
- 183 resor spiralny
ressort hélicoïdal
Spiralfeder
- 184 wieszak resorowy
support de ressort
Federblock
- 185 wieszadło resora płytkowe
suspension de ressort à jumelles
Laschenfedergehänge
- 186 wieszadło resora oczkowe
suspension de ressort à anneaux
Osenfedergehänge
- 187 maźnica
boîte à graisse
Schmierbüchse
- 188 łożysko kulkowe
palier à billes
Kugellager
- 189 łożysko wałeczkowe
palier à rouleaux
Rollenlager
- 190 łożysko ślizgowe
palier à coussinets lisses
Gleitlager
- 191 uszczelka
joint
Dichtung
- 192 poduszka maźnicza
tampon de graissage
Schmierpolster
- 193 panewka
coussinet
Lagerschale
- e) Podwozie — Châssis — Wa-
genuntergestell
- 194 poprzecznicza
entretoise transversale
Querstrebe
- 195 ukośnicza
entretoise diagonale
Schrägstrebe
- 196 wózek zwrotny
bogie
Drehgestell
- 197 rama wózka
châssis de bogie
Drehgestellrahmen
- 198 widły maźnicze
plaque de garde
Achsgabel
- 199 wózek dwuosiowy
bogie à deux essieux
zweiachsiges Drehgestell
- 200 zestaw kołowy
train de roues
Radsatz
- 201 oś
essieu
Achse
- 202 oś drążona
arbre creux
Hohlachse
- 203 układ osi
disposition des essieux
Achsenanordnung
- 204 rozstaw osi
empattement des essieux
Achsstand
- 205 osie stałe
essieux rigides
steife Achsen
- 206 osie ruchome
essieux convergents
Lenkachsen
- 207 osie przesuwne
essieux à jeu transversal
verschiebbare Achsen
- 208 oś ustawna
essieu radiant
einstellbare Achse
- 209 oś kierowana
essieu dirigé
gesteuerte Achse
- 210 oś kierownicza
essieu pilote
Steuerachse
- 211 dyferencjał, różnia osiowa
appareil différentiel
Differentialgetriebe
- 212 czop osi
fusé de l'essieu
Achsschenkel
- 213 podpięcie (miejsce osadzenia pia-
portée de calage du moyeu [sty]
Nabensitz
- 214 koło
roue
Rad
- 215 koło tarczowe
roue à disque
Scheibenrad
- 216 koło sprężyste
roue élastique
federndes Rad
- 217 koło szprychowe
roue à rayon
Speichenrad
- 218 obręcz koła
bandage de roue
Radreifen
- 219 obrzeże (obręczy)
boudin
Spurkranz
- 220 powierzchnia toczna koła
surface de roulement
Radlauffläche
- 221 gwiazda koła
centre de roue
Radstern
- 222 piasta
moyeu
Radnabe
- 223 sprycha
rayon
Speiche
- 224 wieniec koła
jante de roue
Radkranz
- 225 koło toczne
roue porteuse
Lauftrad
- 226 koło napędne
roue motrice
Triebtrad

- f) Napęd osiowy — Commande des essieux — Achsantrieb
- 227 napęd bezpośredni
commande directe
unmittelbarer Antrieb
- 228 napęd pośredni
commande indirecte
mittelbarer Antrieb
- 229 wał ślepy
essieu faux
Blindwelle
- 250 napęd indywidualny
commande individuelle
Einzelachsantrieb
- 251 napęd zespołowy
commande en groupes
Gruppenantrieb
- 252 napęd zębaty
commande par engrenages
Zahnradantrieb
- 253 jednostronny napęd zębaty
commande par engrenage unilatéral
einseitiger Zahnradantrieb [ral]
- 254 obustronny napęd zębaty
commande par engrenage bilatéral
zweiseitiger Zahnradantrieb
- 255 napęd zębaty sprężysty
commande par engrenage élastique
federnder Zahnradantrieb
- 256 przekładnia
rapport d'engrenage
(Zahnrad-) Übersetzungsverhältnis
- 257 przekładnia zębata
engrenage
Zahnradgetriebe
- 258 koło zębate dwudzielne
roue dentée divisible
zweiteiliges Achsenzahnrad
- 259 koło zębate duże (osiowe)
roue dentée (de l'essieu)
Achsenzahnrad
- 260 koło zębate małe (silnikowe)
pignon
Ritzel
- 261 osłona kół zębatach
boîte d'engrenages
Zahnradschutzkasten
- 262 napęd przegubowy
commande à cardan
Kardantrieb
- 263 napęd korbowodowy
commande par bielles
Stangenantrieb
- 264 napęd pionowo-korbowodowy
commande par bielles verticales
Vertikalstangenantrieb
- 265 napęd skośno-korbowodowy
commande par bielles inclinées
Schrägstangenantrieb
- 266 napęd dwukorbowodowy
commande par bielles jumelées
Zweistangenantrieb
- 267 korbowód napędowy
bielle motrice
Treibstange
- 268 korbowód sprzęgowy
bielle d'accouplement
Kuppelstange
- 269 głowica korbowodu
tête de bielle
Stangenkopf
- 270 trójbok napędowy
cadre triangulaire
Dreieckrahmen
- 271 zawieszenie sprężyste silnika
suspension élastique du moteur
federnde Motoraufhängung
- 272 zawieszenie nosowe
suspension par le nez
Nasenaufhängung
- C. CZĘŚĆ ELEKTRYCZNA — Dispositifs électriques — Elektrischer Teil.
- a) Pojęcia charakterystyczne. Warunki działania — Termes caractéristiques. Conditions de fonctionnement — Charakteristische Begriffe. Betriebsbedingungen.
- 253 obwód główny
circuit principal
Hauptstromkreis
- 254 obwód silnikowy
circuit de puissance
Kraftstromkreis
- 255 obwód grzejny
circuit de chauffage
Heizstromkreis
- 256 obwód pomocniczy
circuit auxiliaire
Nebenstromkreis
- 257 obwód oświetleniowy
circuit d'éclairage
Lichtstromkreis
- 258 obwód oświetleniowy bezpieczeństwa
circuit d'éclairage de sécurité
Stromkreis für Sicherheitsbeleuchtung
- 259 rozrząd bezpośredni
commande directe
unmittelbare Steuerung
- 260 rozrząd pośredni
commande indirecte
mittelbare Steuerung
- 261 rozrząd nastawnikowy
commande à combineur
Fahrschaltersteuerung
- 262 rozrząd stycznikowy
commande à contacteurs
Schützensteuerung
- 263 rozrząd posłużnikowy, serwowo-
rowy z nastawnikami
commande à servo-moteurs et combineurs
Steuerschaltung mit Servomotor
- 264 rozrząd kulczkowy z serwowo-
rem
commande à arbre à cames et servomoteur
Nockenschaltwerk mit Servomotor
- 265 rozrząd ukrotniowy
commande à unités multiples
Vielfachsteuerung
- 266 rozrząd samoczynny (pociągów)
équipement automatique (de traction)
selbststättige (Zug-) Steuerung
- 267 rozrząd półsamoczynny pociągów
équipement semiautomatique (de traction)
halbselbststättige (Zug-) Steuerung
- 268 obwód rozrządczy
circuit de commande
Steuerstromkreis
- 269 prąd rozrządczy
courant de commande
Steuerstrom
- 270 odzysk prądu (energii)
récuperation
Stromrückgewinnung
- 271 przeciuprąd
contre-courant
Gegenstrom
- 272 regulacja prędkości
réglage de vitesse
Geschwindigkeitsregulierung
- 273 regulacja przez zmianę napięcia (napięciowa)
réglage par variation de tension
Regulierung durch Spannungsänderung
- 274 regulacja przez osłabienie pola
réglage par affaiblissement du champ
Regulierung durch Feldschwächung
- 275 regulacja opornikowa
réglage par résistance
Widerstandsregulierung
- 276 regulacja przez połączenie szeregowo-równoległe
régulation série-parallèle
Regulierung durch Reihenparallelschaltung
- 277 połączenie silników szeregowo-
connexion des moteurs en série
Reihenschaltung der Motoren
- 278 połączenie silników szeregowo-
równoległe
connexion des moteurs série-parallèle
Reihenparallelschaltung der Motoren
- 279 połączenie silników równoległe
connexion des moteurs en parallèle
Parallelschaltung der Motoren
- 280 przełączanie szeregowo-równoległe
transition série-parallèle
Reihenparallelumschaltung
- 281 przełączanie szeregowo-równoległe z przerwaniem prądu
transition série-parallèle par coupure des dérivation sur le réseau
Reihenparallelumschaltung mit Leistungsunterbrechung
- 282 przełączanie szeregowo-równoległe przez zbocznikowanie
transition série-parallèle par shunt
Reihenparallelumschaltung mit Widerstandsschaltung
- 283 przełączanie szeregowo-równoległe przez mostek
transition série-parallèle par la méthode du pont
Reihenparallelumschaltung mit Brücke
- 284 regulacyjne stopnie jazdy
crans de réglage
Regulierfahrstufen
- 285 przejściowe stopnie jazdy
crans de transition
Übergangsfahrstufen
- 286 gospodarne stopnie jazdy
crans économiques
wirtschaftliche Fahrstufen
- 287 szeregowo stopnie jazdy
crans pour la marche en série
Fahrstufen in Reihenschaltung
- 288 szeregowo-równoległe stopnie jazdy
crans pour la marche en série-parallèle
Fahrstufen in Reihenparallelschaltung
- 289 równoległe stopnie jazdy [tung
crans pour la marche en parallèle
Fahrstufen in Parallelschaltung
- 290 stopnie jazdy z polem osłabionym
crans pour la marche à champ réduit
Fahrstufen mit Feldschwächung
- 291 położenie (korby) zerowe
position de repos (de la manivelle)
(Kurbel-) Nullstellung

- 292 położenie na „stój“
position d'arrêt
Haltstellung
- 293 położenie jezdne
position de marche
Fahrstellung
- 294 położenie przejściowe
position de transition
Übergangsstellung
- 295 położenie hamowne
position de freinage
Bremsstellung
- 296 położenie wsteczne
position de marche arrière
Rückwärtsstellung
- 297 hamowanie ze skrzyżowaniem
wzbudzenia
freinage avec inducteurs croisés
Bremsung mit Kreuzschaltung
- 298 hamowanie elektryczne oporowe
freinage électrique rhéostatique
elektrische Widerstandsbremmung
- 299 hamowanie elektryczne przez odzysk energii
freinage électrique par récupération
Nutzbremsung [tion
- 300 hamowanie elektryczne przez ładowanie akumulatorów
freinage électrique par accumulation
Speicherbremsung [tion
- 301 hamowanie elektromagnetyczne
freinage électromagnétique
elektromagnetische Bremsung
- 302 hamulec elektromagnetyczny szynowy
frein électromagnétique à patin
elektromagnetische Schienenbremse
- 303 hamulec elektromagnetyczny solenoidowy
frein électromagnétique à solénoïde
elektromagnetische Solenoidbremse
- 304 poruch ręczny
mise en fonction à la main
Handbetätigung
- 305 poruch elektromechaniczny
mise en fonction électromécanique
elektromechanische Betätigung
- 306 poruch elektromagnetyczny
mise en fonction électromagnétique
elektromagnetische Betätigung
- 307 poruch elektropneumatyczny
mise en fonction électropneumatique
elektropneumatische Betätigung
- 308 obracanie odbieraka
faire tourner la prise de courant
Umdrehen des Stromabnehmers
- 309 podnoszenie odbieraka
élévation de la prise de courant
Anheben des Stromabnehmers
- 310 opuszczanie odbieraka
abaisser la prise de courant
Senken des Stromabnehmers
- 311 odchył odbieraka (krążkowego)
déviation du trolley
Rollenabweichung
- 312 nacisk (na drut jezdny)
pression (contre le fil)
Anpressungsdruck (auf den Fahrdrabt)
- 313 ogrzewanie elektryczne wagonów
chauffage électrique des voitures
elektrische Wagenheizung
- 314 oświetlenie elektryczne wagonów
éclairage électrique des voitures
elektrische Wagenbeleuchtung
- 315 oświetlenie wagonów zespołowe
éclairage commun des voitures
durchgehende Wagenbeleuchtung
- 316 oświetlenie wagonów indywidualne
éclairage individuel des voitures
Einzelbeleuchtung von Wagen
- 317 oświetlenie z prądnicy odosiowej
éclairage par génératrice d'essieu
Achsgeneratorbeleuchtung
- 318 oświetlenie wagonów akumulatorowe
éclairage par accumulateurs [we
Akkumulatorenbeleuchtung
- b) Odbiór prądu — Prise du courant — Stromabnahme
- 319 odbierak prądu
appareil de prise de courant
Stromabnehmer
- 320 odbierak pałkowy, pałak
archet
Bügelstromabnehmer
- 321 odbierak przerzutny
prise de courant réversible
umlegbarer Stromabnehmer
- 322 pałak samoprzerzutny
archet automatique réversible
selbsttätig umlegbarer Bügelstromabnehmer
- 323 obrotowy odbierak prądu
prise de courant pivotante
drehbarer Stromabnehmer
- 324 urządzenie zatraskowe
appareil de calage
Feststellvorrichtung
- 325 obsada odbieraka
base de la prise de courant
Federbock für Stromabnehmer
- 326 podstawa odbieraka
support de la prise de courant
Stromabnehmerträger
- 327 czop osi odbieraka
pivot de la prise de courant
Stromabnehmerdrehzapfen
- 328 rama rurowa odbieraka
cadre tubulaire (de la prise de courant)
(Stromabnehmer-) Rohrgestell
- 329 ślizgacz
frotteur
Schleifstück
- 330 obsada ślizgacza
sabot du frotteur
Schleifstückhalter
- 331 żłobek ślizgacza (do smaru)
rainure (de graissage)
Schmiernut
- 332 długość ślizgu
longueur de frottement
Schleiflänge
- 333 linka zatraskowa
corde de déclanchement
Auslöseseil
- 334 urządzenie do opuszczania (odbieraka)
dispositif d'abaissement (de la prise de courant)
Niederlegevorrichtung (des Stromabnehmers)
- 335 linka pałkowa
corde de l'archet
Bügelleine
- 336 odbierak krążkowy
trolley
Rollenstromabnehmer
- 337 odbierak krążkowy poosiowy
trolley axial
Rollenstromabnehmer für Fahrdrabt über der Gleismitte
- 338 odbierak krążkowy boczny
trolley désaxé
Rollenstromabnehmer für seitlichen Fahrdrabt
- 339 odbierak jednoprzętowy
prise de courant à une perche
Einstangenstromabnehmer
- 340 odbierak dwuprzętowy
prise de courant à deux perches
Zweistangenstromabnehmer
- 341 głowica odbieraka krążkowego
tête de trolley
Rollenkopf
- 342 przęt odbieraka krążkowego
perche de trolley
Stromabnehmerstange
- 343 krążek odbieraka
roulette de trolley
Stromabnehmerrolle
- 344 uchwyt widełkowy (krążka)
chape de trolley
Rollenträger
- 345 rowek krążka
gorge de la roulette
Rollennut
- 346 obrzeże krążka
joue de la roulette
Rollenflansch
- 347 linka odbieraka
corde de trolley
Rollenleine
- 348 podchwytник (odbieraka krążkowego)
rattrape (du trolley) [go
Kontaktstangenfänger
- 349 odbierak wałkowy
prise de courant à rouleau
Walzenstromabnehmer
- 350 odbierak łyżkowy
cuiller de contact
Muldenstromabnehmer
- 351 odbierak wiciowy
prise de courant à verge
Rutenstromabnehmer
- 352 odbierak wleczony
prise de courant remorquée
nachschieppbarer Stromabnehmer
- 353 pantograf
pantographe
Scherenstromabnehmer
- 354 pałaczek pantografowy
archet-frotteur
Wippe
- 355 odbierak podwójny
double prise de courant
Doppelstromabnehmer
- 356 łyżwa
patin
Gleitschuh
- 357 odbierak łyżwowy
prise de courant à patin
Gleitschuhstromabnehmer
- 358 odbierak wózkowy podziemny
charrue de rail souterrain
Stromabnehmer für unterirdische Stromschiene
- c) Przyrządy łączeniowe i zabezpieczające — Appareils de connexion et de protection — Schalt- u. Sicherheitsapparate
- 359 odłącznik
disjoncteur
Trennschalter
- 360 odłącznik główny
disjoncteur principal
Haupttrenner
- 361 główny wyłącznik ręczny
interrupteur principal à main
Haupthandausschalter

- 362 **wyłącznik uziomowy**
interrupteur de mise à la terre
Erdungsschalter
- 363 **ochrona przeciw przeciążeniom**
protection contre surcharge
Ueberlastungsschutz
- 364 **opór dodatkowy**
résistance additionnelle
Vorschaltwiderstand
- 365 **opór ograniczający**
résistance de limitation
Begrenzungswiderstand
- 366 **opór stabilizacyjny, statkujący**
résistance de stabilisation
Stabilisierungswiderstand
- 367 **główny bezpiecznik topikowy**
(coupe-circuit à) fusible principal
Hauptschmelzsicherung
- 368 **główny wyłącznik samoczynny**
disjoncteur principal
Hauptselbstschalter
- 369 **wyłącznik samoczynny szybki**
disjoncteur à rupture brusque
Schnellselbstschalter
- 370 **przełącznik odciążający**
relais de décharge
Entlastungsschutz
- 371 **ochrona przeciwprzepięciowa**
protection contre les surtensions
Überspannungsschutz
- 372 **ochronnik różkowy**
parafoudre à cornes
Hörnerblitzableiter
- 373 **ochronnik zaworowy**
parafoudre à cathodes
Kathodenfallableiter
- 374 **dławik ochronny**
bobine à réactance
Drosselspule
- 375 **ochronnik kondensatorowy**
parafoudre à condensateur
Kondensatorableiter
- 376 **elektropneumatyczny przełącznik (pompy)**
regulateur électropneumatique
(d'une pompe)
Pumpenselbstschalter
- 377 **styk główny**
contact principal
Hauptkontakt
- 378 **styk pomocniczy**
contact auxiliaire
Hilfskontakt
- 379 **styk odrywowy**
contact de rupture
Abreisselektrode
- 380 **styk nieruchomy**
contact fixe
fester Kontakt
- 381 **styk ruchomy**
contact mobile
beweglicher Kontakt
- 382 **przerywanie wielokrotne**
coupure multiple
Mehrfachunterbrechung
- 383 **iskra otwarcia**
étincelle de rupture
Unterbrechungsfunken
- 384 **zdmuch iskier różkowy**
soufflage de l'arc par cornes
Hörnerfunkenlöschung
- 385 **zdmuch iskier magnetyczny**
soufflage magnétique de l'arc
magnetische Funkenlöschung
- 386 **komora iskrowa**
cheminée de l'arc
Funkenkammer
- d) **Silniki trakcyjne — Moteurs de traction — Bahnmotoren**
- 387 **silnik naosiowy**
moteur à entraînement direct
Achsmotor
- 388 **silnik o wale drążonym**
moteur à arbre creux
Motor mit Hohlwelle
- 389 **silnik przekładniowy**
moteur à entraînement indirect
Vorgelegemotor
- 390 **silnik o napędzie korbowodowym**
moteur à entraînement par bielle
Motor für Stangenantrieb
- 391 **silnik szybkobieżny**
moteur à grande vitesse
schnellaufender Motor
- 392 **silnik wolnobieżny**
moteur à petite vitesse
langsamlaufender Motor
- 393 **silnik podwoziowy**
moteur fixé au bogie
Untergestellmotor
- 394 **silnik łapowy**
moteur à pattes
Tatzenmotor
- 395 **silnik ramowy**
moteur fixé à la caisse
Gestellmotor
- 396 **silnik wysokoosadzony**
moteur surélevé
hochliegender Motor
- 397 **silnik niskoosadzony**
moteur surbaissé
tiefliegender Motor
- 398 **silnik bliźniaczy, podwójny**
moteur jumelé
Doppelmotor
- 399 **silnik potrójny**
moteur triple
Dreifachmotor
- 400 **silnik budowy zwartej**
moteur de construction compacte
Bahnmotor gedrängter Bauart
- 401 **silnik z przewietrzaniem własnym**
moteur auto-ventilé
selbstgelüfteter Motor
- 402 **silnik z przewietrzaniem obcym**
moteur à ventilation forcée
künstlich gelüfteter Motor
- 403 **silnik prądu stałego**
moteur à courant continu
Gleichstrommotor
- 404 **silnik szeregowy**
moteur série
Reihenschlussmotor
- 405 **silnik prądu zmiennego**
moteur à courant alternatif
Wechselstrommotor
- 406 **silnik komutatorowy**
moteur à collecteur
Kommutatormotor
- 407 **silnik repulsyjny**
moteur à repulsion
Repulsionsmotor
- 408 **kadłub**
bâti, enveloppe
Gehäuse
- 409 **kadłub dwudzielny**
bâti en deux pièces
zweiteiliges Gehäuse
- 410 **łożysko łapowe**
palier d'essieu
Tatzenlager
- 411 **łożysko wirnikowe**
palier d'induit
Ankerlager
- 412 **tarcza łożyskowa**
cadran à palier
Ankerschild
- e) **Transformatory — Transformateurs — Transformatoren**
- 413 **Transformator płaszczowy**
transformateur à enveloppe
Manteltransformator
- 414 **skrzynia transformatora**
cuve de transformateur
Transformatorgefäß
- 415 **transformator stopniowy**
transformateur à degrés
Stufentransformator
- 416 **transformator jednowzwojeniowy, autotransformator**
autotransformateur
Autotransformator, Spartransforma-
- 417 **transformator pokretny** [tor
transformateur tournant
Drehtransformator
- 418 **transformator rozruchowy**
transformateur de démarrage
Anlasstransformator
- 419 **transformator główny**
transformateur principal
Haupttransformator
- f) **Oporniki — Résistances — Widerstände**
- 420 **opornik rozruchowy**
résistance de démarrage
Anfahrwiderstand
- 421 **opornik hamulcowy**
résistance de freinage
Bremswiderstand
- 422 **opornik stopniowany**
résistance à plots
Stufenwiderstand
- 423 **opornik drutowy**
résistance à fil
Drahtwiderstand
- 424 **opornik taśmowy**
résistance en bande
Bandwiderstand
- 425 **opornik żelwny**
résistance en fonte
Gusseisenwiderstand
- 426 **dzwono opornikowe**
élément de résistance
Widerstandselement
- 427 **taśma oporowa**
ruban de résistance
Widerstandsband
- 428 **drut oporowy**
fil de résistance
Widerstandsdraht
- 429 **osłona opornika**
protection de la résistance
Schutzverkleidung des Widersta-
- 430 **rama opornikowa** [des
cadre de résistance
Widerstandsrahmen
- g) **Nastawniki — Combinateurs — Fahrschalter**
- 431 **nastawnik walcowy**
combinateur à cylindre
Walzenfahrschalter
- 432 **nastawnik młoteczkowy**
combinateur à cames
Nockenfahrschalter
- 433 **nastawnik główny**
combinateur principal
Hauptfahrschalter

- 434 **nastawnik rozrządczy**
combinateur de commande
Steuerschalter
- 435 **walec główny nastawnika**
arbre principal du combinateur
Hauptschalterwalze des Fahrschal-
- 436 **walec odłączowy** [ters
arbre disjoncteur
Abschaltwalze
- 437 **walec przelączowy**
arbre de commutation
Umschaltwalze
- 438 **pierścień stykowy**
bague à contacts
Kontakttring
- 439 **wycinek stykowy**
segment de contact
Kontaktsegment
- 440 **listwa palcowa**
plaque à gradins
Kontaktleiste
- 441 **palec stykowy**
doigt de contact
Kontaktfinger
- 442 **styk obrotowy**
contact glissant
Wanderkontakt
- 443 **styk gasikowy**
contact à soufflage
Funkenlöschkontakt
- 444 **styk wymienny**
contact échangeable
auswechselbarer Kontakt
- 445 **gasik iskrowy**
extincteur d'étincelles
Funkenlöscher
- 446 **cewka gasikowa**
bobine de soufflage
Funkenlöschspule
- 447 **przegroda przeciwiskrowa**
cloison isolée d'étincelles
Fächerplatte
- 448 **tarcza kułakowa**
plaque à câmes
Kurvenscheibe
- 449 **nawrotnik**
inverseur de sens de marche
Richtungswender
- 450 **walec nawrotny**
arbre d'inversion
Fahrtwenderwalze
- 451 **grupownik**
combinateur de groupement
Gruppierungsschalter
- 452 **regulator pola, osłabnik pola**
combinateur de champ réduit
Feldschwächungsschalter
- 453 **korba nastawnika**
manette du combinateur
Schaltkurbel (des Fahrschalters)
- 454 **rączka kierunkowa**
manette de changement de marche
Richtungshebel
- 455 **czujnik bezpieczeństwa**
dispositif d'homme mort
Tote-Mann-Kurbel
- 456 **pokrętło**
volant
Schaltrad
- 457 **blokownik**
dispositif de verouillage
Verriegelungsvorrichtung
- 458 **zapadka więźna**
cliquet d'arrêt
Sperrhebel
- 459 **kółko zapadkowe**
disque d'arrêt
Sperrscheibe
- 460 **szkielet nastawnika**
carcasse du combinateur
Fahrschaltergehäuse
- 461 **osłona nastawnika**
couvercle du combinateur
Fahrschalterverschalung
- 462 **tarcza nastawnika**
cadran du combinateur
Oberplatte des Fahrschalters
- 463 **nastawnik położenia**
régulateur de la position
Stellungsregler
- 464 **samoczynny regulator prądu**
regulateur automatique du courant
selbsttätiger Stromregler
- 465 **przełącznik przyspieszenia**
relais d'accélération
Fortschaltrelais
- 466 **silnik rozrządczy**
moteur de commande
Steuermotor
- 467 **walec rozrządczy**
arbre de commande
Steuerwalze
- 468 **stycznik**
contacteur
Schütze
- h) **Przewody elektryczne pojaz-
dowe — Canalisation élec-
trique des voitures — Elek-
trische Wagenleitungen**
- 469 **Przewód łączeniowy (dwóch od-
bieraków)**
câble de jonction (de deux prises
du courant)
(Stromabnehmer-) Verbindungslei-
[tung
- 470 **kiszka kablowa**
faisceau de câbles
Kabelwurst
- 471 **znamionko kablowe**
fiche de câble
Kabelerkennungszeichen
- 472 **przewód rozrządczy**
conducteur de commande
Steuerleitung
- 473 **sprzęg elektryczny**
accouplement électrique
elektrische Kupplung
- 474 **kiszka sprzęgowa**
câble d'accouplement
Kupplungskabel
- 475 **puszka sprzęgowa**
boîte d'accouplement
Kupplungsdose
- 476 **wtycznik sprzęgowy**
fiche d'accouplement
Kupplungsstecker
- 477 **skrzynka przyłączowa**
boîte de raccordement
Schaltkasten
- 478 **sprzęgnik rozrządczy**
coupleur de commande
Steuerkupplung
- 479 **sprzęgnik hamulcowy**
coupleur de frein
Bremskupplung
- 480 **sprzęgnik oświetleniowy**
coupleur d'éclairage
Lichtkupplung
- i) **Oświetlenie i ogrzewanie
elektryczne pojazdów —
Eclairage et chauffage élec-
trique des voitures — Elek-
trische Wagenbeleuchtung
und Wagenheizung**
- 481 **prądnica odosiowa**
génératrice d'essieu
Achsgenerator, Achsendynamo
- 482 **przełącznik biegunów**
inverseur de pôles
Polumschalter
- 483 **lampa reflektorowa**
lampe à réflecteur
Reflektorlampe
- 484 **lampa sygnałowa**
lampe-signal
Signallampe
- 485 **lampa probiercza**
lampe de contrôle
Prüflampe
- 486 **gniazdko (oświetleniowe) probier-
contact de contrôle [cze
Prüfkontakt**
- 487 **próbnik żarówkowy**
essayeur de lampes
Lampenprüfer
- 488 **piecyk wagonowy elektryczny**
radiateur électrique
elektrischer Heizkörper
- 489 **ogrzewacz okienny**
dispositif de chauffage de fenêtres
Scheibenerwärmer
- 490 **dywanik grzejny**
tapis chauffeur
Fusswärmeplatte
- 491 **bateria (akumulatorów) wagonowa**
batterie de traction
Fahrzeuggatterie
- 492 **bateria akumulatorów wymienna**
batterie d'accumulateurs échangea-
ble
auswechselbare Speicherbatterie
- 493 **skrzynia bateryjna**
caisse à accumulateurs
Batteriekasten

7. UTRZYMANIE URZĄDZEŃ KOLEJOWYCH

ENTRETIEN DE L'INSTALLATIONS DE CHEMINS DE FER — INSTANDHALTUNG DER BAHNEINRICHTUNGEN

A. WARSZTATY I SPRZĘT — Ateliers et outillage — Werkstätten und Werkzeuge

1 warsztaty główne
ateliers centraux
Hauptwerkstätte

2 warsztaty lokomotywowe
atelier pour locomotives
Lokomotivwerkstätte

3 warsztaty wagonowe
ateliers pour wagons
Wagenwerkstätte

4 oddział warsztatów
subdivision des ateliers
Werkstättenabteilung

5 kuźnia
forge
Schmiede

- 6 **odlewnia**
fonderie
Giesserei
- 7 **oddział tokarski**
ateliers de tours
Dreherei
- 8 **oddział kołowy**
ateliers de roues
Räderwerkstätte
- 9 **ślusarnia**
ateliers de serrurerie
Schlosserei
- 10 **blacharnia**
tôlerie
Blechbearbeitungswerkstätte
- 11 **wygotownia**
installation pour le nettoyage par
Abkochanlage [bouillonnement]
- 12 **oddział montażowy**
atelier de montage
Montagewerkstätte
- 13 **narzędziarnia**
atelier d'outilleur
Werkzeugmacherei
- 14 **stolarnia**
menuiserie
Schreinerei
- 15 **suszarnia**
installation de séchage
Trockenanlage
- 16 **lakiernia**
ateliers de vernissage
Lackierwerkstätte
- 17 **oddział elektryczny**
ateliers électriques
elektrotechnische Werkstätte
- 18 **nawijalnia**
atelier de bobinage
Wickelei
- 19 **probiernia**
salle d'essai
Prüfraum
- 20 **warsztat torowy**
ateliers de la voie
Gleiswerkstätte
- 21 **zajezdnia**
depôt
Wagenhalle
- 22 **warsztaty zajezdniowe**
ateliers de dépôt
Werkstätte in der Wagenhalle
- 23 **składy**
magasin, entrepôt
Lager
- 24 **urządzenia warsztatowe**
installations d'atelier
Werkstatteneinrichtungen
- 25 **kanal przeglądowy**
fosse de révision
Revisionsgrube
- 26 **stoisko podnośnikowe**
platte-forme de levage
Hebestand
- 27 **koziół podnośnikowy**
chèvre
Hebebock
- 28 **narzędzia**
outillage
Werkzeuge
- 29 **sprzęt montażowy**
matériel de montage
Montagematerial
- 30 **wagon montażowy**
voiture de montage
Montagewagen
- 31 **wóz wieżowy**
chariot de montage (de la ligne
Turmwagen [aérienne])
- 32 **odśmiecarka (szynowa)**
wagon pour nettoyage des rails
Schienenreinigungswagen
- 33 **wygładzarka szynowa**
raboteuse (pour rails)
Schienenschleifmaschine
- 34 **odśnieżarka**
chasse-neige
Schneepflug
- 35 **odśnieżarka śmigłowa**
chasse-neige centrifuge
Kreiselchneepflug
- 36 **solarka**
wagon à sel
Salzstreuungswagen
- 37 **drabina przewoźna**
échelle roulante
fahrbare Leiter
- 38 **drabina rozsuwna**
échelle déployable
Schubleiter
- 39 **drażek izolacyjny, bosak**
perche isolante
Schaltstange
- 40 **dynamometr, siłomierz**
dynamomètre
Dynamometer
- 41 **próbnik złączy**
appareil d'essai de joints
Schienenstossprüfapparat
- 42 **skrobarka do sadzi**
grattoir du givre
Rauhreifkratzer
- 43 **giętarka (szyn)**
machine à cintrer (les rails)
(Schienen-) Biegemaschine
- 44 **szablioniarka**
gabarit-presse pour bobines
Schablonenpresse
- 45 **stożak probierczy**
châssis d'essais
Prüfgestell
- 46 **skrobarka komutatorowa**
grattoir pour collecteurs
Glimmerfräsmaschine
- 47 **odkurzarka**
aspirateur
Entstäubungsapparat
- 48 **suszarka**
étuve
Trockenofen
- 49 **toromierz**
gabarit de voie
Spurlehre
- B. WARUNKI PRACY — Conditions de fonctionnement — Betriebsbedingungen**
- 50 **przeгляд główny**
relevage
Hauptuntersuchung
- 51 **przeгляд okresowy**
révision périodique
periodische Untersuchung
- 52 **przeгляд bieżący**
révision courante
laufende Untersuchung
- 53 **drużyna montażowa**
équipe de montage
Montagekolonne
- 54 **podciąganie drutu jezdneho**
retendage du fil de contact
Nachspannen des Fahrdrabtes
- 55 **luzowanie drutu jezdneho**
relâchage du fil de contact
Nachlassen des Fahrdrabtes
- 56 **odśnieżanie szyn**
enlèvement de la neige
Schneebeseitigung
- 57 **odśmiecanie żłobka szyn**
nettoyage (de la gorge) des rails
Schienenrillenreinigung
- 58 **usuwanie fal szynowych**
rabotage des rails ondulés
Riffelbeseitigung
- 59 **smarowanie**
graissage
Schmierung
- 60 **smarowanie smarem stałym**
graissage à graisse consistante
Starrschmierung
- 61 **smarowanie smarem ciekłym**
graissage à l'huile
Ölschmierung
- 62 **nasławianie klocków**
réglage des sabots
Nachstellen der Bremsklötze
- 63 **naprasowanie koła**
calage de la roue
Aufpressen eines Rades
- 64 **nasadzanie obręczy**
embatage des bandages
Aufziehen des Radreifens
- 65 **nagrzewanie obręczy**
chauffage des bandages
Radreifenerwärmung
- 66 **obtaczanie obręczy**
tournage des bandages
Abdrehen der Radreifen
- 67 **zdejmowanie obręczy**
désembatage des bandages
Abziehen der Radreifen